

**UNIVERSIDADE ESTADUAL DE CAMPINAS
DEPARTAMENTO DE ENGENHARIA DE ALIMENTOS
FACULDADE DE ENGENHARIA DE ALIMENTOS**

MARIA LUCIA MASSON

**ESTUDO DA PREDIÇÃO DA SOLUBILIDADE DOS ÓLEOS
ESSENCIAIS DE LARANJA E LIMÃO E AROMA DE MAÇÃ EM
DIÓXIDO DE CARBONO PRESSURIZADO.**

Orientador: PROFa. Dra. MARIA ANGELA DE ALMEIDA MEIRELES

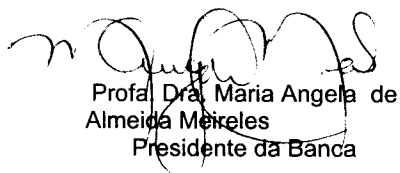
PARECER

Este exemplar corresponde à redação final da tese defendida por Maria Lucia Masson aprovada pela Comissão Julgadora em 01 de julho de 1999.

Campinas-SP

Campinas, 01 de julho de 1999

Dezembro/1998


Prof. Dra. Maria Angela de
Almeida Meireles
Presidente da Banca



**UNIVERSIDADE ESTADUAL DE CAMPINAS
DEPARTAMENTO DE ENGENHARIA DE ALIMENTOS
FACULDADE DE ENGENHARIA DE ALIMENTOS**

MARIA LUCIA MASSON

**ESTUDO DA PREDIÇÃO DA SOLUBILIDADE DOS ÓLEOS
ESSENCIAIS DE LARANJA E DE LIMÃO E AROMA DE MAÇÃ EM
DIÓXIDO DE CARBONO PRESSURIZADO.**

Orientador: PROFa. Dra. MARIA ANGELA DE ALMEIDA MEIRELES

Tese apresentada a Faculdade de Engenharia de Alimentos da Universidade Estadual de Campinas para obtenção de título de Doutor em Engenharia de Alimentos.

Campinas - SP

Dezembro/1998

BC

V	E.
1980 BC	38523
229199	
C	X
PRECO	R\$ 11,00
DATA	25/08/99
N. CFD	

CM-00125655-4

FICHA CATALOGRÁFICA ELABORADA PELA
BIBLIOTECA DA F.E.A. - UNICAMP

M388e

Masson, Maria Lucia

Estudo da predição da solubilidade dos óleos
essenciais de laranja e de limão e aroma de maçã em
dióxido de carbono pressurizado. / Maria Lucia
Masson. -- Campinas, SP: [s.n.], 1999.

Orientador: Maria Angela de Almeida Meireles.
Tese (Doutorado) – Universidade Estadual de
Campinas. Faculdade de Engenharia de Alimentos.

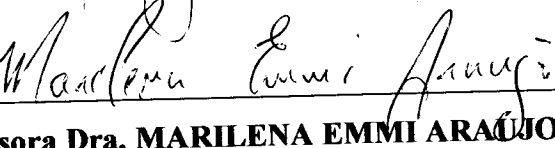
1. Solubilidade. 2. Dióxido de carbono. 3. Equação
de estado. 4. Misturas. I. Meireles, Maria Angela de
Almeida. II.. Universidade Estadual de Campinas.
Faculdade de Engenharia de Alimentos. III. Título.

**ESTUDO DA PREDIÇÃO DA SOLUBILIDADE DOS ÓLEOS ESSENCIAIS DE
LARANJA E LIMÃO E AROMA DE MAÇÃ EM DIÓXIDO DE CARBONO
PRESSURIZADO.**

por
MARIA LUCIA MASSON

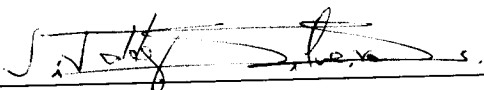
Tese aprovada em _____ de _____ de 1999.


Professora Dra. MARIA ANGELA DE ALMEIDA MEIRELES

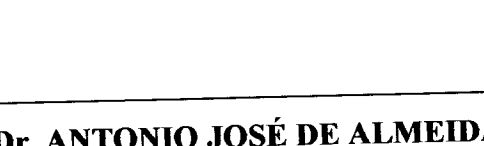

Professora Dra. MARILENA EMMI ARAÚJO


Professor Dr. ELIAS B. TAMBOURGI


Professor Dr. LUIZ ANTONIO VIOTTO


Professor Dr. VIVALDO SILVEIRA Jr.

Professora Dra. FERNANDA ELIZABETH X. MURR


Professor Dr. ANTONIO JOSÉ DE ALMEIDA MEIRELLES

TESE DE DOUTORADO

AUTOR: Eng.Mestre Maria Lucia Masson

TÍTULO: **Predição da solubilidade de misturas de componentes de óleos essenciais e aromas em Dióxido de Carbono pressurizado.**

ORIENTADOR: Dra. Maria Angela de Almeida Meireles

Dept. de Engenharia de Alimentos - FEA - UNICAMP - Novembro/1998

RESUMO

Os óleos essenciais de limão e laranja, são produtos de importância econômica para o Brasil e a sua obtenção com alta qualidade, é uma característica tecnológica de processo, altamente desejável. Procedimentos como a desterpenação dos óleos, aumentando sua estabilidade, também devem ser realizados com a mínima alteração nas características dos produtos. A extração e o fracionamento usando como solvente o dióxido de carbono supercrítico, vem sendo indicados, tendo em vista os resultados promissores relatados em bibliografia. Porém o estudo desta tecnologia, direcionada para os produtos mencionados, depende ainda da real concepção termodinâmica do processo, que possibilita o domínio tecnológico e a utilização racional de recursos. Neste sentido um método capaz de predizer a solubilidade de um componente ou uma mistura no solvente supercrítico é fundamental para atingir os objetivos mencionados. Com este mesmo objetivo, diferentes pesquisadores tem proposto equações de estado e complexas regras de mistura, mas todas acabem sendo limitadas devido a fatores característicos dos diferentes componentes da mistura. Neste sentido é que neste trabalho se propôs a aplicação de uma metodologia simplificada para o cálculo da solubilidade, utilizando a equação de estado de Peng-Robinson, com a regra de mistura quadrática. Os dados de equilíbrio líquido-vapor são levados em consideração para efeito de cálculo, incluindo todos os componentes selecionados, e não são ignorados, como na maioria dos estudos envolvendo solventes supercríticos. Na ausência de dados experimentais de equilíbrio entre a maioria dos componentes integrantes dos óleos essenciais de laranja e limão e aroma de maçã, empregou-se o método UNIFAC para a predição destes a baixa pressão, obtendo assim parâmetros de interação binária para todos os binários que compõem a mistura. Estes resultados aplicados a regra de mistura quadrática na equação de estado de Peng-Robinson, apresentaram uma melhora

significativa na qualidade da equação para a predição da solubilidade dos componentes dos sistemas selecionados em dióxido de carbono pressurizado. Os resultados obtidos são comparados com dados experimentais de solubilidade obtidos para os óleos essenciais de limão e laranja e aroma de maçã.

Palavras chave: solubilidade, dióxido de carbono pressurizado, equação de estado, regra de mistura.

DOCTOR OF ENGINEERIG THESIS

AUTHOR: Maria Lucia Masson Bac. Chem. Eng., Master of Chem. Technology.

TITLE: Solubility predictions of essential oils and aroma components in pressurized Carbon Dioxide.

SUPERVISOR: Maria Angela de Almeida Meireles, PhD

Dept. of Food Engineering - FEA - UNICAMP - November - 1998

ABSTRACT

The essential oils of lemon and orange, are products economic importance to Brazil and obtain these products with high quality, is a technological characteristic of process, highly desirable. Procedures as desterpenation of the oils, increasing its stability, should also be accomplished with the minimum alteration in the characteristics of the products. The extraction and fractionating methods using as solvent supercritical carbon dioxide, becomes being suitable, tends in view the promising results related in bibliography. Even so the study of this technology, addressed for the mentioned products, still depends on the real thermodynamic conception of the process, that facilitates the technological domain and the rational use of resources. In this sense a method capable to predict the solubility of a component or a mixture in the supercritical solvent is fundamental to reach the mentioned objectives. With this same objective, different researchers proposed equations of state and complex mixing rules, but ends up being limited due to characteristic factors of the different components of the mixture. In this work it was intend the application of a simplified methodology for the calculation of the solubility, using Peng-Robinson's equation of state, using quadratic rule of mixing. The data of liquid-vapor equilibrium are taken in consideration for calculation effect, including all the selected components, and they are not ignorated, as in most of the studies involving supercritical fluids. In the absence of experimental data of equilibrium among some components of the essential oils of lemon and orange and apple's aroma, UNIFAC method was used for the prediction of these same data in low pressure, obtaining binary parameters of interaction for all the binary in the composition of mixture. These results applied in the mixing rule and used in the Peng-Robinson's equation of state, presented a significant improvement in the quality of the equation for the prediction of the solubility of the components of elected systems in carbon

dioxide pressurized. The obtained results are compared with experimental data of solubility obtained for essential oil of lemon and orange, and apple's aroma.

Keywords: solubility, pressurized carbon dioxide pressurized, equation of state, mixing rules.

AGRADECIMENTOS

- A Profa. Dra. Maria Angela de Almeida Meireles, pela orientação e incentivo neste trabalho.
- Ao Prof. Dr. Fernando Cabral, pela colaboração na elaboração dos algoritmos computacionais.
- A Profa. Dra. Marilena Emmi Araújo pelo incentivo e colaboração nos trabalhos realizados .
- Aos professores Lucio Cardozo Filho, Sandra Ferreira pela colaboração em trabalhos realizados.
- A Alessandra Lopes de Oliveira e Mauro, pela amizade, apoio e colaboração em trabalhos.
- Aos colegas Eduardo, Jorge Alberto, Luíza , Marcelo, José Guilherme, Vera e todos que direta ou indiretamente me auxiliaram com apoio e companheirismo.
- Aos professores e funcionários da FEA pela contribuição para a realização deste trabalho.
- A FAPESP pelo apoio material e financeiro que permitem a evolução e manutenção do LASEFI – Laboratório de Separações Físicas da FEA.

*Dedico este trabalho a
minha mãe e em memória de meu pai.*

ÍNDICE

CAPÍTULO 1 - INTRODUÇÃO	1
CAPÍTULO 2:- REVISÃO BIBLIOGRÁFICA	5
2.1 INTRODUÇÃO	5
2.1. AROMA DE MAÇÃ.	6
2.2 ÓLEO DE LARANJA E DE LIMÃO.	11
2.3 EQUILÍBRIO DE FASES: MODELAGEM.	12
2.4 DADOS DE EQUILÍBRIO.	18
CAPÍTULO 3:- EQUILÍBRIO DE FASES - EQUAÇÕES	22
3.1 EQUAÇÕES DE ESTADO -BREVE HISTÓRICO	22
CAPÍTULO 4 - MATERIAL E MÉTODOS	34
4.1 - MATERIAL.	34
4.2 - METODOLOGIA ADOTADA PARA A OBTENÇÃO DOS DADOS PSEUDO-EXPERIMENTAIS.	37
4.3 - PROPRIEDADES CRÍTICAS	38
4.4 - CÁLCULO DA PRESSÃO DE VAPOR DOS COMPONENTES PUROS.	39
4.5 - OBTENÇÃO DOS DADOS PSEUDO-EXPERIMENTAIS.	39
4.6 - AJUSTE DOS PARÂMETROS BINÁRIOS (K_{ALJ} E K_{BLJ}).	40

4.6.1 - PROGRAMA UNIFAC [SANDLER, 1989].	40
4.6.2 - PROGRAMA COEFUGN.	42
4.6.3 PROGRAMA CPARTEST.	47
4.7 - EQUILÍBRIO LÍQUIDO - VAPOR	48
4.7.1 - PROGRAMA PENGROB.BAS	48
4.8 - PROGRAMAS UTILIZADOS .	49
4.9 – CÁLCULO DA SOLUBILIDADE.	51
4.10 - ETAPAS DO TRABALHO.	51
CAPÍTULO 5 - RESULTADOS E DISCUSSÃO	53
5.1 - PROPRIEDADES CRÍTICAS E PRESSÃO DE VAPOR DOS COMPONENTES	53
5.2 - AVALIAÇÃO DO ALGORITMO UNIFAC NA PREDIÇÃO DO EQUILÍBRIO LÍQUIDO - VAPOR DOS SISTEMAS BINÁRIOS.	55
5.3 - APLICAÇÃO DA METODOLOGIA UNIFAC PARA SISTEMAS TERNÁRIOS A BAIXA PRESSÃO	59
5.4 - SOLUBILIDADE	68
5.4.1 - SISTEMA ÓLEO ESSENCIAL DE LARANJA.	68
5.4.2 - ÓLEO ESSENCIAL DE LIMÃO.	72
5.4.3 SOLUBILIDADE DO AROMA DE MAÇÃ EM CO ₂ SUPERCRÍTICO.	75

CAPÍTULO 6 - CONCLUSÕES.	81
CAPÍTULO 7 - BIBLIOGRAFIA .	87
APÊNDICE A - CONJUNTOS DE DADOS PSEUDO-EXPERIMENTAIS GERADOS PELO EMPREGO DO ALGORITMO UNIFAC, PARA CÁLCULO DE PARÂMETROS DE INTERAÇÃO BINÁRIA.	95
APÊNDICE B - ALGORITMOS EMPREGADOS	111
ANEXO A - FÓRMULAS ESTRUTURAIS	191
ANEXO B - MÉTODO SIMPLEX	199

LISTA DE TABELAS

Tabela 2.1 – Componentes voláteis produzidos pelas maçãs.	07
Tabela 2.2 – Rendimento típico da maçã	08
Tabela 2.3 – Análise da torta de prensagem desidratada de maçã	09
Tabela 2.4 – Retenção de aroma na casca da maçã e torta prensada de maçã desidratada por vários métodos.	09
Tabela 2.5 – Composição do aroma da casca de maçã, obtido por extração supercrítica com CO ₂	11
Tabela 4.1 – Composição do óleo essencial de laranja	33
Tabela 4.2 – Composição do óleo essencial de limão	33
Tabela 4.3 – Composição molar do aroma de maçã.	34
Tabela 5.1 - Propriedades críticas para os componentes dos sistemas em estudo-Geral	53
Tabela 5.2 - Propriedades críticas para os componentes dos sistemas - Álcoois	54
Tabela 5.3 - Propriedades críticas para os componentes dos sistemas Aldeídos	54
Tabela 5.4 - Propriedades críticas para os componentes dos sistemas – Éster	54
Tabela 5.5 - Propriedades críticas para os componentes dos sistemas – Terpenos e Sesquiterpenos	55
Tabela 5.6 – Diferenças relativas entre os valores experimentais e preditos pelo UNIFAC, para a fase vapor	60
Tabela 5.7 – Sistemas estudados	65
Tabela 5.8 – Parâmetros de interação binária, calculados para os binários que compõem o sistema ternário CO ₂ -etanol-água	65
Tabela 5.9 – Parâmetros de interação binária para o sistema CO ₂ -limoneno-citral	67

Tabela 5.10 – Parâmetros de interação binária – óleo essencial de laranja	70
Tabela 5.11 – Diferença calculada entre os valores de solubilidade do óleo de laranja em CO ₂ supercrítico , experimental e calculada	71
Tabela 5.12 - Parâmetros de interação binária para os componentes do óleo essencial de limão	73
Tabela 5.13 – Composição da fase pesada do óleo de limão extraída com CO ₂ supercrítico, calculada a 323,15 K e 97,5 bar.	73
Tabela 5.14 – Composição da fase leve do óleo de limão extraída com CO ₂ supercrítico, calculada a 323,15 K e 97,5 bar.	7
Tabela 5.15 - Diferença calculada entre os valores de solubilidade do óleo de limão em CO ₂ supercrítico, experimental e calculada.	76
Tabela 5.16 – Parâmetros de interação binária entre os componentes do sistema aroma de maçã	79

LISTA DE FIGURAS

FIGURA 4.1 - Fluxograma explicativo para o programa COEFUGN.PA	46
FIGURA 4.2 Sequência de ações na metodologia adotada	50
FIGURA 5.1 Curva de equilíbrio para o sistema p-cimeno/β-pineno, a pressão de 1,0132 bar, apresentando dados experimentais [BERNARDO-GIL & RIBEIRO, 1993] e pseudo-experimentais gerados pelo UNIFAC	57
FIGURA 5.2 Curva de equilíbrio para o sistema α-pineno/limoneno, a pressão de 1,0132 bar, apresentando dados experimentais [BERNARDO-GIL & RIBEIRO, 1989] e pseudo-experimentais gerados pelo UNIFAC.	58
FIGURA 5.3 Curva Temperatura versus fração molar de β-pineno equilíbrio para o sistema β-pineno/limoneno, a pressão de 1,0132 bar, apresentando dados experimentais [BERNARDO-GIL & RIBEIRO, 1993] e pseudo-experimentais gerados pelo UNIFAC.	59
FIGURA 5.4 Curva temperatura versus fração molar de metil-propanoato, para dados isobáricos ($P=1,0132$ bar), para o sistema metil-propanoato/2-propanol, apresentando dados experimentais [KIM, YOON & LEE, 1994], e dados preditos pelo UNIFAC.	61
FIGURA 5.5 Curva temperatura versus fração molar de n-butanol, para dados isobáricos ($P= 0,30$ bar), para o sistema n-butanol/2-metil,1-butanol, apresentando dados experimentais [TAMIR & WISNIAK, 1975], e dados preditos pelo UNIFAC.	61
FIGURA 5.6 Curva temperatura versus fração molar de n-butanol, para dados isobáricos ($P= 1$ bar), para o sistema n-butanol/2-metil,1-butanol, apresentando dados experimentais [TAMIR & WISNIAK, 1975], e dados preditos pelo UNIFAC.	62
FIGURA 5.7.a Curva temperatura versus fração molar de butil-metanoato, para o sistema etanol/butil-metanoato com dados isobáricos ($P=1,0132$ bar), apresentando dados experimentais [GONZALES & ORTEGA, 1995], e dados preditos pelo UNIFAC.	62
FIGURA 5.7.b Curva temperatura versus fração molar de butil - etanoato, para o sistema etanol/butil-etanoato com dados isobáricos ($P=1,0132$ bar), apresentando dados experimentais, [GONZALES & ORTEGA, 1995] e dados preditos pelo UNIFAC.	63

FIGURA 5.7.c Curva temperatura versus fração molar de butil-propanoato, para o sistema etanol/butil-propanoato com dados isobáricos ($P=1,0132$ bar), apresentando dados experimentais [GONZALES & ORTEGA, 1995] e dados preditos pelo UNIFAC.

63

FIGURA 5.7.d Curva temperatura versus fração molar de butil-butanoato, para o sistema etanol/butil-butanoato com dados isobáricos ($P=1,0132$ bar), apresentando dados experimentais [GONZALES & ORTEGA, 1995] e dados preditos pelo UNIFAC.

64

FIGURA 5.8 Diagrama fração molar da fase pesada x fração molar da fase leve para o sistema CO_2 -etanol-água, na temperatura de 373 K e pressão de 99,05 bar, apresentando dados experimentais, dados calculados por: equação de Peng-Robinson, com um parâmetro de interação binária, equacão de Peng-Robinson com dois parâmetros de interação binária, e UNIFAC.

FIGURA 5.9 Diagrama de equilíbrio fração molar da fase leve x fração molar da fase pesada para o sistema CO_2 - etanol - água, na temperatura de 383 K e pressão de 99,05 bar, apresentando dados experimentais, dados calculados por: dados calculados por: equação de Peng-Robinson, com um parâmetro de interação binária, equacão de Peng-Robinson com dois parâmetros de interação binária, e UNIFAC.

71

FIGURA 5.10 Diagrama Pressão-Fração molar de CO_2 calculado com a equação de Peng Robinson para o sistema CO_2 -limoneno-citral, na temperatura de 323,2 K, com parâmetros de interação binária para os sistemas que contém somente o CO_2 , e com parâmetros para todos os sistemas binários que fazem parte do sistema em questão e apresentando dados de experimentais de equilíbrio .

72

FIGURA 5.11 Curva de solubilidade para o sistema óleo essencial de laranja, calculada na temperatura de 308,15 K, com dados experimentais obtidos por SANTANA [1996], solubilidade calculada com parâmetros CO_2 – comp. (i), CO_2 – comp.(I) e limoneno - comp (i), e CO_2 – comp (i), limoneno – comp (i) e α -pineno – comp (i).

71

FIGURA 5.12 Curva de solubilidade para o sistema óleo essencial de limão, calculada nas temperaturas de 323,15 K, 333,15 K e 353,55 K com dados experimentais, 323,15 K, 333,25 K e 353,55 K.

74

FIGURA 5.13 Solubilidade do etanol em CO_2 supercrítico na temperatura de 323,15 K: dados experimentais; dados calculados com a equação de estado de Peng-Robinson, com dois parâmetros de interação.

76

FIGURA 5.14 Solubilidade do butanol em CO₂ supercrítico na temperatura de 323,15 K : dados experimentais; dados calculados com a equação de estado de Peng-Robinson, com dois parâmetros de interação.

77

FIGURA 5.15 Solubilidade do propanol em CO₂ supercrítico na temperatura de 323,15 K : dados experimentais; dados calculados com a equação de estado de Peng-Robinson, com dois parâmetros de interação.

77

FIGURA 5.16 – Curvas de solubilidade para o aroma de maçã extraído com CO₂ supercrítico na pressão de 70 bar e temperatura de 298,15 K, calculadas para o sistema empregando os parâmetros de interação binária para os binários CO₂/comp(i) e butanol/comp(i); CO₂/comp(i), butanol/comp(i) e propanol/comp(i); CO₂/comp(i), butanol/comp(i), propanol/comp(i) e pentanol/comp(i) e dados experimentais.

79

Nomenclatura

l	Parâmetro da método UNIQUAC: $l = (r_i - q_i)z/2 - (r_i - 1)$
q	Parâmetro de área superficial da molécula no método UNIQUAC
r	Parâmetro de volume da molécula no método UNIQUAC
z	Número médio de coordenação do método UNIQUAC
f	Fugacidade
x	Fração molar da fase pesada.
y	Fração molar da fase leve.
Q	Parâmetro funcional de grupo para a área superficial.
R	Parâmetro funcional de grupo para o volume.
G	energia de Gibbs
a	parâmetro de atração da equação de estado.
b	parâmetro de repulsão da equação de estado.
A	$(a/bRT)\ln((v+b)/v)$
K	parâmetro de interação binária.
P	Pressão, em bars.
R	Constante ideal dos gases, $8,314 \times 10^{-2}$ bar m ³ /kmol K.
T	Temperatura absoluta, em K.
V	Volume molar, em m ³ /kmol.
Z	fator de compressibilidade da mistura.
Z_i	fator de compressibilidade do componente i puro.

Subscritos.

a, b	Parâmetros de mistura das equações de estado
i, j	Componente i ou j.
0	Propriedade à pressão zero.
m, n	Grupos para o método UNIFAC
C	Refere-se a propriedades críticas.
R	Refere-se a propriedades reduzidas.

Sobrescritos.

L	refere-se à fase líquida.
V	refere-se à fase vapor.
e	valores experimentais.
C	refere-se a valores combinatoriais para o método UNIFAC
R	Refere-se a valores residuais para o método UNIFAC
E	refere-se a energia livre
c	valores calculados.

Letras gregas

ϑ	Fração de volume da espécie i na mistura para o método UNIQUAC.
τ	Parâmetros ajustáveis no método UNIQUAC.
θ	Fração de área da espécie i na mistura para o método UNIQUAC.
η	$= \frac{a_i}{b_i RT}$
Γ	Contribuição residual para o cálculo do coeficiente de atividade no método UNIFAC
v	Número de grupos de uma espécie para o método UNIFAC.
Θ	Fração da área superficial do grupo m
ψ	Parâmetro médio da energia de interação entre grupos e de todos os grupos na mistura para o método UNIFAC.
χ	Fração molar do grupo na mistura, para o método UNIFAC
ω	Fator acêntrico.
γ^∞	coeficiente de atividade a diluição infinita.
γ	coeficiente de atividade.
φ	coeficiente de fugacidade.
φ^*	coeficiente de fugacidade do componente puro.
$\alpha(T_r)$	parte dependente da temperatura do parâmetro a.

CAPÍTULO 1 - INTRODUÇÃO

O crescente interesse na aplicação de fluídos supercríticos em processos de separação, modificação de propriedades físicas e reações, tem correspondente crescimento na necessidade de conhecimento sobre o comportamento de fase das misturas binárias e multicomponentes. A extração com fluídos supercríticos aplicada a alimentos tem sido uma das áreas que mais se desenvolveu entre as tecnologias de fracionamento e separação, nos últimos trinta anos, incluindo constituintes de resinas e especiarias (HUBERT & VITZTHUM, 1978; FERREIRA, MEIRELES & CABRAL, 1993). Porém, dados experimentalmente medidos, de equilíbrio e/ou solubilidade, não estão disponíveis para a maioria das misturas de interesse e os dados existentes para muitos sistemas estão limitados a uma faixa estreita de concentração. Estimar a solubilidade de uma substância ou de misturas em fluídos supercríticos é a chave para a avaliação de várias aplicações de fluídos supercríticos. Pesquisas sobre métodos preditivos são contínuas, e para estes as propriedades físicas do solvente, soluto e a seleção de uma equação de estado adequada são necessários. Formas mais simples de equações de estado não são efetivas na descrição de fluídos a alta pressão. As equações de Peng-Robinson e Redlich-Kwong, são usadas com sucesso para esta finalidade, por incorporarem termos dependentes da temperatura. Para a utilização bem sucedida da equação a misturas, é essencial a seleção de regras de mistura próprias e parâmetros de interação binária.

Quando trabalha-se com fracionamento de misturas a altas pressões, como na extração com CO₂ supercrítico, o número de parâmetros binários utilizados nas regras de mistura é limitado pela disponibilidade de dados experimentais de equilíbrio a alta pressão, para os componentes formadores dos sistemas. Procura-se contornar este problema quando aplicam-se equações de estado, atribuindo-se aos parâmetros de interação binária, valores iguais a zero quando os dados experimentais não são conhecidos, ou valores semelhantes aos obtidos para substâncias com estruturas semelhantes aquelas que compõem o sistema

(por exemplo, limoneno e α -pineno). Entretanto o erro pode ser grande o suficiente para comprometer os resultados. Um outro aspecto surge quando utiliza-se esta mesma simplificação, ao determinar a composição da fase pesada, que resulta não satisfatória, devido ao fato de o solvente, geralmente o CO₂, estar presente em altas concentrações na fase leve, o qual influirá no cálculo da composição da fase leve. Deste modo a predição do equilíbrio para a fase leve é, portanto, da solubilidade dos componentes no CO₂, em alguns casos, não sofre em grande extensão pela falta de dados de equilíbrio entre os componentes da mistura, porém a representação para a fase pesada não é satisfatória.

Nos últimos dez anos, o desenvolvimento de correlações para componentes puros e regras de mistura, tem permitido resultados com melhores representações para misturas complexas, incluindo componentes polares. Os métodos de contribuição de grupo também tem sido utilizados em regras de mistura nas equações de estado cúbicas, incorporando o excesso de energia livre de Gibbs, expresso por modelos como o UNIQUAC, ASOG, ou UNIFAC. Entretanto, devido a problemas na utilização destes métodos a altas pressões, e a inconsistências termodinâmicas e matemáticas na determinação do volume molar para as equações de estado cúbicas, ocorrem limitações na aplicação. Uma das primeiras regras de mistura deste tipo, foi a de HURON & VIDAL (1979), calculando o excesso de energia livre de Gibbs a pressão infinita em modelos, desenvolvidos para baixas pressões. Em trabalhos subsequentes, MOLLERUP [1986], SCWARTZENTRUBER *et al* [1986], SCWARTZENTRUBER & RENON [1989] e HEIDEMANN & KOKAL [1990], utilizaram para o cálculo do excesso de energia livre de Gibbs a pressão de referência zero, onde a equação de estado torna-se quadrática, e uma solução simples existe [PRIVIDAL *et al*, 1992]. A maioria destes desenvolvimentos tem contribuído para a melhoria nas predições, mas à custa de simplicidade, e portanto, do tempo de computação, e algumas vezes da consistência termodinâmica, especialmente quando é usado o método UNIFAC. A regra de mistura deste tipo, apresenta-se como uma equação para o excesso de energia livre de Gibbs em função do volume molar da mistura (considerado função implícita da pressão); o volume molar tem de ser determinado pela solução da equação de estado, cujos parâmetros são por sua vez dependentes do excesso de energia livre de Gibbs. O método

aplicado com rigor, conduz a um conjunto complexo de equações implícitas, porém a principal desvantagem é a inconsistência no modelo da equação de estado cúbica, devido às restrições dos métodos que como o UNIFAC são utilizados somente para a fase líquida e a baixas pressões. Como a equação de estado é forçada a reproduzir o comportamento termodinâmico de acordo com o UNIFAC em ambas as fases, os coeficientes de fugacidade da fase vapor calculados poderão ser inconsistentes, pois torna-se necessário usar um volume “tipo-líquido” para calcular as propriedades da fase vapor, valor que é escolhido de uma forma arbitrária [SCHWARTZENTRUBER & RENON, 1989; SCHWARTZENTRUBER *et al*, 1986].

Novamente, a ausência de dados de equilíbrio a alta pressão para os componentes de misturas como os aromas e óleos essenciais, torna a predição do equilíbrio líquido-vapor difícil, quando utilizam-se regras de mistura convencionais, pois o número de parâmetros binários necessários para uma descrição termodinâmica correta é muito maior do que o disponível. Deste modo a predição do equilíbrio para a fase leve e portanto da solubilidade dos componentes no CO₂, em alguns casos, não sofre em grande extensão pela falta de dados de equilíbrio entre os componentes da mistura, porém a representação para a fase pesada não é satisfatória. Devido à dificuldades na obtenção dos dados de equilíbrio experimentais para componentes dos óleos essenciais e aromas entre si, como limoneno, verbenol e outros a alta pressão, devido a problemas nas medições destes dados (como quantidades muito pequenas para obtenção de medidas precisas na fase leve), ou decomposição dos componentes da mistura quando próximas a seus pontos críticos. O objetivo geralmente, é trabalhar com sistemas multicomponentes reais o que possibilita que obtenham-se resultados mais reais, permitindo, inclusive, avaliar as regras de mistura desenvolvidas.

Neste trabalho, propõe-se o estudo do equilíbrio de fases para sistemas, incluindo os óleos essenciais e aromas, obtidos com a extração com dióxido de carbono supercrítico, especialmente os de maçã, laranja e limão. A metodologia empregada para esta finalidade, será a utilização de equações de estado com parâmetros de interação binária, obtidos com dados de equilíbrio a baixa pressão e/ou a alta pressão, pois a dependência destes

parâmetros em relação à pressão não é acentuada. Para esta finalidade utilizam-se parâmetros binários do método de contribuição de grupo UNIFAC, que é mais adequado para a predição do equilíbrio líquido-vapor ou líquido-líquido a baixa pressão e através de uma correlação entre este modelos e a equação de estado cúbica de Peng-Robinson, calcular os parâmetros de interação binária para esta equação.

CAPÍTULO 2:- REVISÃO BIBLIOGRÁFICA

2.1 Introdução

Embora a habilidade de fluidos de supercríticos (SCFs) dissolver sólidos não-voláteis seja conhecida por mais de um século, o interesse pela exploração comercial só aconteceu nos últimos vinte anos. Este interesse foi motivado durante a recente década de 1970 devido a preocupações sobre custos de energia e pela idéia (incorrecta) de que separações que usam solventes supercríticos poderiam ser alternativas energéticamente mais atraentes que a destilação e extração líquida. A capacidade dos fluidos supercríticos substituírem solventes industriais tóxicos, a habilidade de extrair materiais novos a condições moderadas e a possibilidade de afinação das características solventes para reações altamente específicas ou separações são as considerações principais que estão sob interesse industrial e científico a respeito de fluidos supercríticos.

A extração supercrítica está bem estabelecida, exemplos são a decafeinação de café com CO₂ supercrítico, processo empregado pela General Food e o processo para separar os componentes da fração pesada de petróleo utilizando pentano supercrítico. Vale ressaltar ainda a contribuição na extração de biomoléculas, onde trabalha-se com soluções diluídas, para as quais o CO₂ sub-crítico, apresentou características muito vantajosas, sendo empregado para a extração de surfactanas, após 1980 [ADAMSKY & BECKMAN, 1994]. O processo de formulações farmacêuticas termo-sensíveis que se beneficiam das temperaturas operacionais moderadas (normalmente com CO₂) e a recuperação de um produto puro que não requer nenhuma separação adicional para o solvente.

Um fluido é supercrítico quando sua temperatura e pressão são mais altas que o seu ponto crítico estimado (T_c, P_c). A maioria das aplicações interessantes de SCFs acontecem usando os seguintes limites: 1<T/T_c<1,1 e 1<P/P_c<2. A estas condições, o fluido existe como uma única fase que tem algumas propriedades vantajosas de líquido e gás ao mesmo tempo: tem densidade

suficiente para apresentar poder solvente apreciável; a difusividade de solutos em SCFs é mais alta que em líquidos, e a viscosidade de SCFs é mais baixa, o que facilita o transporte de massa. Finalmente, por causa da compressibilidade alta de fluidos próximo ao ponto crítico, a densidade e poder solvente podem ser afinados sensivelmente por mudanças pequenas em pressão. A propriedade mais interessante para o processo de extração supercrítica é a seletividade do solvente em relação a um composto específico. O solvente mais utilizado é o dióxido de carbono, cujas propriedades o tornam ideal para estas aplicações, por não ser explosivo, caro ou tóxico, sendo abundante na natureza e facilmente separável das substâncias extraídas. A polaridade do dióxido de carbono pode ser classificada entre a do dicloro-metano e éter etílico, portanto, compostos apolares como gorduras, óleos e determinados componentes dos aromas como os terpenos, dissolvem-se em pequenas quantidades. Componentes de peso molecular menor que gorduras e óleos, com polaridade média, como a cafeína, nicotina, colesterol e álcoois apresentam maior grau de solubilidade [HIERRO & SANTA MARIA, 1992].

2.1. Aroma de maçã.

O interesse na extração de óleos essenciais e aromas cresce a cada dia, na medida em que as exigências dos consumidores, leva a indústria a buscar novos e melhores produtos. Porém a própria delicadeza e complexidade da mistura que forma os aromas e óleos essenciais, sua sensibilidade e mudanças quando submetidos a diferentes condições de temperatura, umidade e luz, são características que transformaram processos considerados inicialmente inviáveis técnica e economicamente, em opções atrativas. Para exemplificar, tome-se como exemplo um dos sistemas em estudo - o aroma de maçã, sua constituição, e reações quando submetido a diferentes processamentos empregados industrialmente: extração por solventes para obtenção do aroma, alterações devido a oxidação de seus componentes durante os processos de extração do suco, alterações térmicas da composição do aroma, quando submetido a processamentos térmicos. DIMICK & HOSKIN, [1983], são autores de uma revisão onde relacionam dados sobre os índices de qualidade e aroma pós-colheita, contribuição da casca para o aroma, avaliação sensorial, efeitos de armazenamento, desidratação e métodos de extração do aroma de maçã. A complexidade do processo inicia pela própria composição do aroma, como podemos constatar

pela Tabela 2.1. Nesta tabela estão listados alguns dos componentes do aroma, incluindo as lactonas, éteres, ácidos e bases; o número de componentes pode exceder a duzentos.

Tabela 2.1- Componentes voláteis produzidos pelas maçãs.

Álcoois	Aldeídos	Cetonas	Ácidos esterificados
Etanol	Acetaldeído	Acetona	Etil-acetato
D-2-Metilbutan-1-ol	n-Butanal	Etil-metil-cetona	n-Butil-acetato
2-Metilpropan-1-ol	Propanal		n-Hexil-acetato
Metanol	Isobutanal		n-Heptil-acetato
Isopropanol	Isovaleraldeído		Etil n-propionato
C ₆ - Álcoois	n-Hexanal		Etil-2-metilbutirato

Fonte: DIMICK, P.S. & HOSKIN, J.C. [1981].

Estudos sobre a retenção de voláteis que compõem a fração do aroma de maçã solúvel no suco foram realizados utilizando a extração com Freon 114 (extração de 38% dos ésteres), éter (19% dos ésteres), iso-pentano e CO₂, por SCHULTZ & RANDALL., [1970].

Os coeficientes de atividade a diluição infinita (γ^∞) dos componentes de aromas, de várias séries químicas, foram medidos em modelos de sistemas alimentares (água/carboidratos, água/polietileno-glicol) a concentrações determinadas de vários solutos. Os resultados experimentais obtidos por SORRENTINO, VOILLEY & RICHON, [1986] foram usados para determinar os parâmetros de contribuição de grupo de modelos termodinâmicos. As capacidades preditivas das equações obtidas mostraram uma precisão boa (8% de desvio médio).

Os coeficientes de atividade a diluição infinita (γ^∞) de vários álcoois, aldeídos e ésteres, considerados como principais componentes do aroma de maçã, foram medidos em modelos de soluções alimentícias contendo glucose, frutose, sacarose e ácido málico. As medidas foram realizadas pelo método de diluição exponencial, a temperaturas entre 25°C e 68°C. Os dados experimentais foram correlacionados com o modelo de Wilson com um parâmetro. Os resultados revelaram que os valores dos coeficientes de atividade a diluição infinita para uma série homóloga aumenta com o comprimento da cadeia carbônica. Estes valores para álcoois e ésteres de baixo peso molecular, aumentam com a temperatura, enquanto que para componentes mais

pesados decresce ou permanece praticamente constante. A presença de solutos do suco de maçã aumenta os coeficientes de atividade da maioria dos componentes do aroma estudado [CARELLI, CRASPIRE & LOZANO, 1991].

A polpa de maçã é um produto primário do processamento industrial da maçã. A pele, centros, e sementes procedentes das operações do processamento, são usualmente maceradas para obtenção do suco, deixando como sub-produto potencialmente utilizável, a torta resultante da prensagem. Esta torta é frequentemente usada como ingrediente na alimentação animal; além do que, seu alto teor de pectina a torna uma matéria-prima possível de ser utilizada para a manufatura de pectina, um processo comumente utilizado na Europa. Entretanto em países como o Brasil, a existência de grandes quantidades de resíduos provenientes da industrialização de frutas cítricas, torna esta utilização não econômica. A quantidade de pele e centro produzida no processamento varia consideravelmente, dependendo da maturidade, tamanho e qualidade da maçã, bem como das condições de processamento. Considera-se que 27% da maçã é removida nas operações de retirada da pele e do centro, sendo que esta percentagem pode chegar até 40% (Tabela 2.2).

TABELA 2.2 - Rendimento típico da maçã.

Item	Peso (kg)
Maçãs (inteiras)	103,75
Polpa	59,87
Cascas	21,55
Centros (40% do total de cascas)	8,62
Suco proveniente das cascas	12,93
Cascas em pó	0,68

Fonte: BOMBEN *et al.*, [1971].

Esta polpa apresenta 75% em água e algumas propriedades que a tornam potencialmente utilizável na indústria de alimentos são [BOMBEN *et al.*, 1971]:

- a pele contém a maior concentração do aroma;
- existem evidências de que a pele contém mais nutrientes, como a vitamina C, do que a polpa;
- o alto teor de pectina na pele (Tabela 2.3) a torna adequada como agente espessante.

TABELA 2.3- Análise da torta de prensagem desidratada de maçã.

Constituinte	% em peso
Sólidos totais	96,7
Açúcares totais	30,4
Açúcares redutores	19,4
pectina (ácido anidrourônico)	23,0
Gordura (extrato com éter)	6,8
Proteína	4,4
Fibra crua	15,2
Cinzas	1,4

Fonte: BOMBEN *et al* [1971].

A Tabela 2.4 apresenta os dados a respeito da retenção de aroma na casca da maçã submetida a diferentes métodos de secagem [BOMBEN *et al*, 1971].

TABELA 2.4 - Retenção do aroma na casca da maçã e torta prensada de maçã desidratada por vários métodos.

Método de secagem e material	Temperatura do processo (°C)	Tempo de residência (min)	% do aroma retido.
Secagem em tambor da torta de prensagem.	148,9	0,7	-
Secagem em corrente de ar da torta de prensagem	93,3	90,0	4
Secagem das cascas em tambor.	148,9	0,7	4
Secagem em corrente de ar da casca.	93,3	60,0	4
Secagem ao ar da casca após imersão em solução a 2% dextrina.	60	90,0	7
Secagem ao ar da pele após imersão em sol. a 2% de dextrina.	60	90,0	6
Liofilização da casca.	43,3	(18 horas)	21
Secagem em tambor da torta de prensagem com adição de aroma.	-	-	74

Fonte: BOMBEN *et al* [1971].

Pesquisadores tem atuado na área da extração do aroma de maçã, através de extração líquido-líquido, extração por solventes [SCHULTZ & RANDAL, 1970]. A extração com dióxido de carbono líquido [SCHULTZ & RANDAL, 1970] ou supercrítico [BUNDSCUH *et al*, 1988], é bastante recente.

Para a obtenção de extrato concentrado de componentes do aroma a partir de sucos de maçã, pera e laranja, e extrato de café, SCHULTZ & RANDAL [1970] utilizaram o dióxido de carbono líquido, por ser seletivo para estes componentes e ser virtualmente insolúvel para açúcares, ácidos, sais, amino-ácidos, óleos e água. Os extratos foram comparáveis aos aromas originais. As extrações foram realizadas em um equipamento com um único estágio, a temperatura ambiente (25°C) e 67,63 bar. A distribuição dos álcoois e ésteres entre o dióxido de carbono líquido e a água foram medidos. Constataram que, dentro de cada série homóloga existe uma relação aproximadamente semi-logarítmica entre o coeficiente de distribuição dos componentes nas duas fases e o número de átomos de carbono.

O isolamento de componentes do aroma da casca da maçã foi realizado com o fracionamento do extrato em duas frações, por BUNDSCHUH, TYLLA, BAUMANN & GIERSCHNER [1988], desenvolvendo um novo processo de separação e a composição do extrato obtido encontra-se na Tabela 2.5.

TABELA 2.5 - Composição do aroma da casca de maçã, obtido por extração supercrítica com CO_2 .

Substância	Extração a 70 bar/ 25°C ($\mu\text{g/kg}$)	Extração a 100 bar/ 25°C ($\mu\text{g/kg}$)
Propanol	164	208
Iso butanol	125	168
Butanol	1694	1804
2-Pentanol	50	49
Álcool amílico	65	107
Capronaldeído	1829	1773
Butilacetato	289	311
Trans-2-Hexenal	1082	1003
Hexanol	1406	1251
Isoamilacetato	97	79
Propion-butil-ester	8	5
Butil-butirato	164	116
Hexilacetato	1358	1107
Octanol	151	124
2-Nonanol	4	4
Hexil-propionato	101	86
Butil-hexanoato	2992	2985
Anisol	43	37

Fonte: BUNDSCHUH, BERGNER & EDELHÄUSER [1988].

O fracionamento foi realizado em um único separador (usualmente é feito em dois separadores). Considerando o rendimento em aroma e o custo do processo, as condições ótimas de extração são 70 bar e 25°C. A partir de maçãs da variedade *Jonagold*, obtiveram um rendimento de 1,5 g/kg de um óleo aromático com odor intenso, uma solução dos componentes do aroma em lipídeos. Determinaram o rendimento do extrato como função do fluxo de solvente e solvente alimentado; o consumo de solvente foi calculado. A interpretação das curvas de extração levou os autores à hipótese de que os componentes do aroma estão associados à membranas lipídicas na célula.

2.2 Óleo de laranja e de limão.

O primeiro sub-produto da indústria de sucos cítricos foi o óleo de laranja, sendo o processo de recuperação já praticado antes da década de 40. O óleo das frutas cítricas está localizado nas glândulas que possuem de 0,4 a 0,6 mm de diâmetro localizadas sob a camada externa da fruta denominada flavedo. As substâncias que compõem este óleo são terpenos, sesquiterpenos, aldeídos, álcoois, ésteres e esteróis. MARQUES [1997], estudou a desterpênação do óleo essencial de laranja *Citrus sinensis*. Na Tabela 2.6, pode-se enumerar qualitativa e quantitativamente os principais constituintes do óleo essencial de laranja.

O processo de obtenção mais comum do óleo essencial de laranja e de limão é o de destilação, o que torna seus componentes mais suscetíveis à oxidação, rearranjos estruturais, hidratação, reações catalisadas por ácidos e oxidação pelo oxigênio do ar ou dissolvido [SHAW & COLEMAN, 1972].

A extração de óleos essenciais cítricos com dióxido de carbono supercrítico, foi objeto de estudo para numerosos trabalhos. CALAME & STEINER [1982] aplicaram a tecnologia para a extração do óleo essencial da casca de limão; COPPELLA & BARTON [1987], estudaram o equilíbrio líquido-vapor da mistura óleo de limão e dióxido de carbono a pressões na faixa de 40 - 90 kgf/cm² e temperaturas entre 30 e 40°C.

Tabela 2.6 Principais compostos do óleo essencial de laranja.

Constituinte	Concentração
Etanol	0,1%
Acetato de etila	50 ppm
Acetaldeído	20 ppm
Hexanal	200 ppm
Butirato de etila	0,1%
trans-2-Hexenal	50 ppm
alfa-Pineno	0,4%
Sabineno	0,4%
Mirceno	1,8%
Octanal	0,5%
d-Limoneno	93,6%
Linalol	0,5%
Decanal	0,6%
Neral	0,2%
Geranial	0,1%
Valenceno	1,7%

Fonte: VORA & JOHNSON [1983].

2.3 Equilíbrio de fases: modelagem.

A modelagem do processo de extração com fluidos supercríticos requer, como para todos os processos de separação física, cálculos de equilíbrio de fases. As equações de estado, especialmente as cúbicas, são amplamente usadas para estes cálculos por serem aplicáveis às fases líquida e gasosa de um sistema e fornecerem uma descrição consistente do equilíbrio de fases tanto a alta quanto a baixa pressão. A restrição é que são aplicáveis a sistemas simples, como por exemplo, hidrocarbonetos. Algumas modificações, simples e eficazes, tem sido introduzidas nas regras de mistura usualmente utilizadas para o parâmetro de atração das equações de estado, com o objetivo de estender a aplicabilidade das mesmas e obter uma boa predição do equilíbrio de fase para misturas de componentes polares. Algumas modificações propõem que a regra de mistura seja obtida a partir do excesso de energia livre expresso por um modelo para o coeficiente de atividade, ou ainda pelo método de composição ou densidade local, que é flexível para descrever a não-idealidade da fase líquida sem sacrificar a dependência

quadrática da composição em relação ao segundo coeficiente virial [MATHIAS *et al.*, 1991; HURON & VIDAL, 1979].

O esforço dos pesquisadores tem-se dirigido no sentido de estender a aplicabilidade das equações de estado, para melhorar a representação do equilíbrio de fases para misturas de substâncias altamente polares e assimétricas. Vários investigadores simplesmente estenderam as regras de mistura quadráticas para o parâmetro atrativo da equação de estado incluindo polinômios de ordem superior na composição [PANAGIOTOPoulos & REID, 1986; STRYJEK & VERA, 1986; ADACHI & SUGIE, 1985; SCHWARTZENTRUBER & RENON, 1989; SCHWARTZENTRUBER *et al.*, 1989]. Outras modificações, como a de HURON & VIDAL [1979], mostram como as regras de mistura das equações de estado podem utilizar os modelos de excesso de energia livre de Gibbs para coeficientes de atividade. A regra de mistura de Panagiotopoulos-Reid fornece uma excelente representação do equilíbrio de fases de misturas binárias fortemente não ideais, porém não é adequada para misturas multicomponente por não ser invariante, pois apresenta variações quando um componente está distribuído em dois ou mais componentes idênticos; é definida por:

$$\alpha = \alpha^{(0)} + \alpha^{(1)} \quad (2.1)$$

onde

$$\alpha^{(0)} = \sum_i x_i \sum_j x_j (a_i a_j)^{1/2} (1 - K_{aij}) \quad (2.2)$$

$$\alpha^{(1)} = \sum_i x_i \sum_j x_j^2 (a_i a_j)^{1/2} l_{ji} \quad (2.3)$$

com $l_{ii} = l_{jj} = 0$, e $l_{ij} = -l_{ji}$. O termo assimétrico definido pela equação (2.3) é uma maneira de ajustar dados de equilíbrio de fase binário, mas não é adequado para sistemas multicomponente.

HURON & VIDAL [1979], propuseram a incorporação de modelos de excesso de energia livre nas regras de mistura das equações de estado. Em seu trabalho e no trabalho similar de SOAVE [1984] a energia livre de Gibbs da equação de estado para a mistura de fluidos é calculada a pressão infinita, onde o volume molar é o parâmetro volumétrico de van der Waals; isto é $v=b$ na mistura, e $v_i=b_i$ no caso de fluidos puros antes da mistura. O modelo de energia livre utilizado foi o NRTL, e as equações de estado foram as de Redlich-Kwong e van der Waals, respectivamente por HURON & VIDAL [1979] e SOAVE [1984]. O modelo NRTL também foi usado com a equação de Peng-Robinson por STRYJEK & VERA [1986] com vários sistemas formados por álcoois e água.

Em estudo recente, TWU, COM & BUCK [1997], demonstraram que as equações de estado onde se empregam regras de mistura que incorporam modelos de excesso de energia livre, pode-se empregar o excesso de energia livre de Gibbs calculado a pressão infinita ou a pressão zero. As regras de mistura derivadas da energia livre de Gibbs a pressão zero podem teoricamente fazer uso dos parâmetros dos modelos de coeficiente de atividade na regra de mistura, sem necessidade de nenhum tipo de ajuste. No entanto, se o coeficiente de atividade a pressão infinita é empregado, a regra de mistura necessita parâmetros de interação binária adicionais. Um exemplo é a regra de mistura de Wong - Sandler, que é inábil a reproduzir o modelo de energia livre com o qual está combinada [COUTSIKOS *et al*, 1995], característico também das regras de mistura que incorporam o modelo de energia livre a pressão zero [KALOSPIROS *et al*, 1995].

Algumas centenas de conjuntos de dados a baixa pressão tem sido correlacionados para modelos de coeficiente de atividade e os métodos de contribuição de grupo existem como ferramentas preditivas. Entretanto estas correlações aplicam-se a fluidos em estado padrão a baixa pressão, não a pressão infinita, e não podem ser usadas diretamente nas expressões a pressão infinita de HURON & VIDAL [1979]. GUPTA & DAUBERT [1986] demonstraram a inserção do UNIFAC em equações de estado mas não obtiveram bons resultados.

MOLLERUP [1986] apontou a possibilidade de combinar modelos de excesso de energia livre e equações de estado onde o estado de referência para a mistura é definido a baixas (ou zero) pressões. O ponto chave é que a equação de estado só pode ser resolvida calculando-se um volume “tipo - líquido” a pressão zero. No modelo UNIWAALS proposto por GUPTE *et al* [1986] e em trabalho similar de SOAVE [1986], foi empregado o estado padrão da mistura, isto é, a temperatura e pressão da mistura, para o cálculo da energia livre de Gibbs. Entretanto, o uso da pressão da mistura, ao invés de uma pressão fixa, introduz riscos de inconsistência matemática. Uma versão modificada do modelo UNIWAALS foi introduzida por GANI *et al* [1988] e GANI [1989] onde torna explícita (ao menos parcialmente) a dependência essencial do parâmetro de atração em relação à densidade na regra de mistura da equação de estado, que é uma consequência da variação da pressão na expressão para o excesso de energia livre.

GUPTE *et al.* [1986], propuseram a combinação do método UNIFAC modificado [FREDENSLUND *et al*, 1977], com a equação de estado de van der Waals, para a predição do equilíbrio líquido-vapor a alta pressão usando uma matriz de parâmetros de interação de grupo baseada em dados de equilíbrio líquido - vapor a baixa pressão. HEIDEMANN & KOKAL [1990] retornaram à sugestão de MOLLERUP [1986] de usar o estado padrão à pressão zero tão diretamente quanto possível. As funções que correlacionam ΔG^E e os ‘estados padrão’ dos componentes estão intimamente conectados. Temos que:

$$\Delta G^E / RT = \sum x_i \ln \gamma_i \quad (2.4)$$

Quando a fase é formada por um componente puro i , $\gamma_i = 1$. A expressão é usada a baixa pressão ($P \sim 0$) ou à pressão do sistema. Quando trabalhamos com uma mistura, o experimento do qual ΔG^E é derivado envolve mistura de componentes puros, todos à mesma temperatura e pressão, com a mistura atingindo ao final a mesma T e P. Para a maioria das misturas, este experimento não pode ser realizado. Usualmente, ao menos um dos componentes da mistura não existe no estado líquido na temperatura e pressão da mistura. A consideração principal quanto ao método proposto por HEIDEMANN & KOKAL [1990], é de que há uma séria dificuldade em

estender os modelos de excesso de energia livre para incluir componentes a pressão crítica ou próxima à crítica, concentrada em dois pontos. Primeiramente, se a temperatura é muito alta não existe solução na pressão zero para o volume do componente puro na equação de estado. E, segundo, a equação transcendental dos parâmetros da mistura pode não ter solução. O procedimento de extrapolação é proposto para obter as propriedades no estado padrão para os componentes puros, como solução para estes dois problemas.

Uma alternativa à inserção direta do modelo de excesso de energia livre na regra de mistura da equação de estado é usá-lo na determinação dos parâmetros de interação binária em regras de mistura convencionais. SCHWARTZENTRUBER *et al* [1986, 1989] foram os primeiros pesquisadores a propor o uso do UNIFAC para gerar dados que pudessem ser ajustados com três parâmetros dependentes da temperatura para sistemas binários.

As equações de estado são muito sensíveis aos parâmetros das regras de mistura, os quais não podem geralmente ser avaliados, por não existirem dados experimentais aos quais tem de ser ajustados. SCHWARTZENTRUBER *et al* [1986], propuseram uma metodologia simples para obter os parâmetros binários da equação de estado de Mathias a partir do método de contribuição de grupos UNIFAC.

Combinando expressões obtidas para os coeficientes de atividade a diluição infinita, para a equação de estado que define os parâmetros de mistura a_{ij} e b_{ij} , com os valores calculados para estes mesmos coeficientes usando o modelo de contribuição de grupos UNIFAC, obtém-se um conjunto de duas equações lineares correlacionando os parâmetros de interação binária K_{aj} e K_{bj} ao coeficiente de atividade a diluição infinita a uma dada temperatura. É possível portanto obter os parâmetros binários da equação de estado a partir dos dados experimentais ou de um modelo de coeficiente de atividade para o qual os parâmetros binários são conhecidos.

Utilizando uma equação de estado do tipo Redlich-Kwong, e incluindo o procedimento proposto por PENELOUX *et al* [1982] para reproduzir mais exatamente o volume molar líquido,

SCHWARTZENTRUBER *et al* [1989] utilizaram a mesma metodologia para o cálculo dos parâmetros de interação binária, utilizando para a correção da pressão de vapor uma expressão similar à proposta por MATHIAS [1983]. Com as relações propostas foi representado com sucesso o equilíbrio líquido-vapor de alguns sistemas do tipo: água + hidrocarbonetos e etileno + metanol.

SCHWARTZENTRUBER *et al* [1987], utilizaram para a representação do equilíbrio líquido-vapor para o sistema ternário CO₂+propano+metanol, e seus binários introduzindo uma regra de mistura com três parâmetros na equação de Soave, modificada por Mathias. Os parâmetros binários da equação de estado foram estimados através da combinação do método de coeficiente de atividade UNIFAC na fase líquida e a correlação de Hayden O'Conell para a fase vapor. O método consiste na geração de curvas pseudo-experimentais de ponto de bolha e de orvalho a duas temperaturas no intervalo de validade do UNIFAC (geralmente 298,15 K e 318,15 K), e ajuste dos parâmetros da equação de estado a estes dados. A equação de estado, com estes parâmetros não só reproduz exatamente as previsões a baixa pressão do UNIFAC, como fornecem resultados muito melhores a altas pressões e temperaturas [SCHWARTZENTRUBER *et al*, 1989].

Os trabalhos desenvolvidos por SCHWARTZANTRUBER *et al* [1986, 1989] são os que conceitualmente mais se aproximam da proposta deste trabalho, ajustando os parâmetros binários das regras de mistura através do uso de modelos de coeficiente de atividade, como o UNIQUAC e UNIFAC, sem obrigar a equação de estado a reproduzir o comportamento deste modelo, através da inserção da expressão da energia livre de Gibbs na definição do parâmetro de repulsão da equação de estado. Há necessidade de dados de equilíbrio líquido - vapor a alta e a baixa pressão para os binários do tipo: CO₂/componentes de óleos essenciais e/ou aromas, de modo a ajustar os parâmetros binários das equações de estado. Porém quando estes dados experimentais não existem, podemos utilizar métodos preditivos como os modelos UNIFAC e ASOG, para gerar dados pseudo-experimentais e obter melhores resultados quando trabalhamos com sistemas multicomponentes.

2.4 Dados de equilíbrio.

Muito se falou sobre a carência de dados experimentais de equilíbrio a alta pressão para componentes e misturas supercríticas. Os dados publicados em literatura são citados aqui, com as respectivas condições em que foram medidos. Note-se que estes dados correspondem a substâncias de interesse para este trabalho, e não uma revisão completa a respeito de todos os dados publicados.

Os álcoois são uma classe de componentes presentes em quantidades apreciáveis no aroma de maçã, além do que estão entre as substâncias de maior interesse na extração com fluídos supercríticos, por serem solúveis no dióxido de carbono supercrítico, e atuarem como potencializadores das propriedades de solubilidade do CO₂ em mistura com compostos polares. LEU *et al* (1991), determinaram as composições das fases para o equilíbrio líquido - vapor de uma mistura de CO₂-metanol, a temperaturas de 323,2; 352,6; 394,2 e 477,6 K. As medições foram realizadas à pressão de vapor do metanol para a região crítica. As relações de equilíbrio foram calculadas a cada temperatura da fase. As temperaturas críticas e correspondentes pressões críticas foram determinadas empregando gráficos e o *locus* crítico foi construído para a mistura binária.

Usando dados publicados na literatura, MASSON & MEIRELES [1994] determinaram os parâmetros binários e as composições das fases para o equilíbrio líquido - vapor de misturas binárias de CO₂+álcoois (metanol, etanol, propanol, butanol, pentanol e hexanol) na faixa de temperatura entre 314 e 337 K, ajustando os parâmetros da equação de estado de Peng-Robinson. Os resultados obtidos, podem ser considerados qualitativos e não quantitativos, para a correta representação do equilíbrio líquido - vapor das misturas estudadas.

STABY & MOLLERUP [1993], realizaram um levantamento sobre dados de equilíbrio líquido – vapor de misturas CO₂-álcoois, publicados na literatura até 1992, relacionando 220 trabalhos.

As solubilidades do α - pineno (hidrocarboneto monoterpênico) e do cis-verbenol (terpeno oxigenado), foram medidas a temperaturas de 313 a 328 K e pressões de 0,5 a 1,2 bar. Os dados experimentais de solubilidade foram correlacionados usando o modelo de gás comprimido com a equação de estado de Peng-Robinson e equações empíricas baseadas na dependência da concentração do soluto em relação à densidade do solvente puro. As propriedades críticas desconhecidas foram estimadas pelo método de contribuição de grupo JOBACK. A pressão de vapor do cis-verbenol foi determinada pelo método modificado de Wilson. As condições ótimas para a extração com fluido supercrítico de ambos os terpenos foram determinadas [RICHTER & SOVOVÁ, 1993].

NADAIS & BERNARDO-GIL [1993], mediram dados de equilíbrio líquido-vapor para o sistema binário α -pineno+d(-)limoneno, determinados a 0,04; 0,667 e 1,013 bar em uma célula de equilíbrio semelhante à de Othmer. A pressão de vapor dos componentes puros foram medidas e os dados correlacionados com a equação de Antoine. Os parâmetros para as equações de Margules, Wilson, NRTL e UNIQUAC foram calculados com o auxílio da técnica de Nelder-Mead para minimizar a função objetivo, baseada na pressão total. Também foram realizadas previsões com o método UNIFAC.

WAGNER & PAVLÍCEK [1993], mediram o equilíbrio isotérmico líquido - vapor para o sistema dióxido de carbono + p-cimeno a 313,15 e 323,15 K no intervalo de pressão de 40 a 100 bar. Os dados experimentais foram ajustados para a equação de estado de Soave-Redlich-Kwong, adotando o procedimento da máxima verossimilhança.

CABRAL [1993], determinou os parâmetros de interação binária para as equações de estado de van der Waals, Peng-Robinson, Soave-Redlich-Kwong, utilizando a técnica modificada de Nelder - Mead, para minimizar a função objetivo baseada nas composições das fases. Com esta metodologia descreveu a termodinâmica da extração supercrítica com CO₂ para os óleos essenciais de limão, pimenta-do-reino e cravo da Índia, obtendo bons resultados.

CABEZAS *et al* [1988], publicaram dados de equilíbrio líquido - líquido para o sistema furfural + água com 2-metil-2-butanol e também 2-etil-1-hexanol como solvente a 298 K. As seletividades para a extração do furfural a partir de soluções aquosas são comparada com álcoois e hidrocarbonetos clorinados. Predições do equilíbrio ternário para o álcool nos sistemas, usando o método UNIFAC mostraram os maiores desvios para o sistema água+furfural+2-metil-2-butanol. Estes desvios foram reduzidos ao considerar o álcool como um grupo propanol mais dois grupos metíleno.

KURIHARA *et al* [1993], publicaram dados de equilíbrio líquido-vapor para o sistema metanol+etanol+água e seus três sistemas binários constituintes metanol+etanol, etanol+água e metanol+água foram medidos a 1,013 bar usando um eboliômetro. Os dados binários experimentais foram correlacionados pela equação NRTL. O equilíbrio de fases para o sistema ternário metanol + etanol + água foi predito através dos parâmetros binários NRTL com boa exatidão.

O equilíbrio líquido - vapor foi medido para sistemas binários de 1-pentanol + 2-metil-1-butanol, + 2-metil-2-butanol, e 3-metil-2-butanol a 373,15 K. Os resultados foram analisados utilizando o teste de consistência ponto a ponto [VAN NESS *et al*, 1973, modificado por FREDENSLUND *et al*, 1977], e o desvio do comportamento ideal foi considerado pequeno em todos os casos [AUCEJO *et al*, 1994].

SUSIAL & ORTEGA [1993], determinaram dados isobáricos de equilíbrio líquido - vapor a 0,7466; 1,0132 e 1,2799 bar para misturas binárias contendo metil-propanoato + n-butil álcool pelo método dinâmico, com circulação de vapor e líquido. Nenhum ponto azeotrópico foi detectado. Os dados foram considerados, do ponto de vista termodinâmico, consistentes de acordo com o teste ponto a ponto. A aplicação dos métodos de contribuição de grupo ASOG, UNIFAC e UNIFAC modificado para os coeficientes de atividade nas três faixas de pressões estudadas apresentou erros menores que 10%, 11% e 3%, respectivamente.

CAPÍTULO 3:- EQUILÍBRIO DE FASES - EQUAÇÕES

3.1 EQUAÇÕES DE ESTADO –BREVE HISTÓRICO

As equações de estado, são usadas para cálculos de equilíbrio de fases em sistemas contendo componentes supercríticos, por serem aplicáveis a todas as fases de um sistema e fornecerem uma descrição consistente do equilíbrio de fases, tanto a alta quanto a baixa pressão. Algumas modificações, simples e eficazes, tem sido introduzidas nas regras de mistura, relacionadas ao parâmetro de atracção das equações de estado, com o objetivo de estender a aplicabilidade destas equações e obter uma descrição correta para misturas de componentes polares. As regras de mistura concebidas a partir do excesso de energia livre expresso por um modelo de coeficiente de atividade, ou ainda pelo método de composição ou densidade local, que é flexível para descrever a não-idealidade da fase líquida sem sacrificar a dependência quadrática da composição em relação ao segundo coeficiente virial [MATHIAS *et al*, 1991; HURON & VIDAL, 1979] são alguns exemplos.

A equação de estado cúbica mais antiga, simples e melhor conhecida é a concebida por van der Waals:

$$P = \frac{RT}{V - b} - \frac{a}{V^2} \quad (3.1)$$

Apesar de sua simplicidade esta equação fornece uma descrição qualitativa do comportamento P-V-T de substâncias no estado líquido ou gasoso, porém não é suficientemente exata para propósitos de projeto [SOAVE, 1984].

A equação de Redlich-Kwong, considerada uma modificação da equação de van der Waals, tem a seguinte forma [REDLICH & KWONG, 1949]:

$$P = \frac{RT}{V-b} - \frac{a}{T^{\frac{1}{2}} V(V+b)} \quad (3.2)$$

A substituição do termo a/T^2 por $a(T)$, uma função da temperatura, foi proposta por SOAVE [1972]. Outra modificação no termo de atração na equação de estado, foi proposta pelo próprio SOAVE [1979] com o objetivo de torná-la aplicável a substâncias polares e suas misturas. Isto foi feito pela introdução de dois parâmetros empíricos na expressão para $\alpha(T_R)$, obtidos por análise de regressão de dados de pressão de vapor:

$$a(T) = a(T_c)\alpha(T_R) \quad (3.3)$$

$$\alpha(T_R) = 1 + (1 - T_R) \left(m + n / T_R \right) \quad (3.4)$$

Na equação desenvolvida por PENG & ROBINSON [1976] atualmente mais utilizada, temos:

$$P = \frac{RT}{V-b} - \frac{a(T)}{V(V+b) + b(V-b)} \quad (3.5)$$

O termo de atração a é considerado dependente da temperatura e é definido por:

$$a(T) = a(T_c)\alpha(T_R) \quad (3.6)$$

onde:

$$a(T_C) = (0,45724) \frac{R^2 T_C^2}{P_C} \quad (3.7)$$

e

$$\alpha(T_R) = \left(1 + m \left(1 - (T_R)^{\frac{1}{2}} \right)^2 \right) \quad (3.8)$$

onde o coeficiente m é típico para o composto examinado e pode ser expresso como função do fator acêntrico ω .

Para compostos polares é necessário que a expressão (3.8) seja mais geral, contendo ao menos dois coeficientes. A função $\alpha(T_R)$ deve preencher certos requisitos básicos, dentre os quais:

- ser positiva para todas as temperaturas, evitando que a constante “a” perca seu significado físico;
- ser igual a 1,0 no ponto crítico para que a equação de estado satisfaça a continuidade da isoterma crítica no ponto crítico;
- aproximar-se de zero com o aumento da temperatura, de modo que o termo atrativo torne-se menos importante a temperatura mais altas;
- ser matematicamente simples e contínua;
- ser uma expressão generalizada, aplicável independentemente do componente ou propriedade [TWU, 1991].

Como exemplo, podemos citar a equação 3.4, proposta por SOAVE [1979] que corrige a correlação dos dados de pressão de vapor para todos os tipos de fluidos com grande exatidão, porém não é adequada para extrapolação a altas temperaturas; a função torna-se negativa para temperaturas maiores que $T_R = 1 / 2m \left[1 + m - n\sqrt{(1 + m - n)^2 + 4mn} \right]$, e a função não é generalizada em termos de propriedades de componentes puros, como desejável para aplicações práticas.

Autores como LEET *et al*, [1988]; WATSON *et al*, [1986]; VALDERRAMA, [1990]; VALDERRAMA & DE LA PUENTE, [1994], preferem definir a correlação para m e n como uma função quadrática do produto do fator acêntrico pelo fator de compressibilidade, isto é (ωZ_C), propondo:

$$m = 0,4745 + 2,7349\omega Z_C + 6,0984(\omega Z_C)^2 \quad (3.9)$$

$$n = 0,0674 + 2,1031\omega Z_C + 3,9512(\omega Z_C)^2 \quad (3.10)$$

O termo de repulsão b é definido por:

$$b = \frac{1}{8} \frac{RT_C}{P_C} \quad (3.11)$$

De modo a estender a aplicação de uma equação de estado a sistemas multicomponente, regras de mistura apropriadas (isto é, expressões que conectam os parâmetros dos componentes puros aos parâmetros e composição da mistura) tem de ser usadas.

A regra de mistura proposta originalmente para as equações de van der Waals e Redlich-Kwong, derivadas de considerações teóricas são :

$$a^{0,5} = \sum_i x_i a_i^{0,5} \quad (3.12)$$

e

$$b = \sum_i x_i b_i \quad (3.13)$$

onde a e b referem-se à mistura e a_i e b_i aos componentes. A modificação mais comum expressa o parâmetro de mistura a com uma regra quadrática :

$$\alpha = \sum_i x_i x_j a_{ij} \quad (3.14)$$

onde $a_{ii} = a_i$, e os termos a_{ij} (simétricos) são obtidos pela relação:

$$a_{ij} = a_{ji} = (1 - K_{aj}) (a_i a_j)^{0.5} \quad (3.15)$$

onde K_{aj} é usualmente denominado parâmetro de interação binária, independente da temperatura, de modo que um único valor é suficiente para cada par de componentes. Com esta implementação, as regras de mistura podem ser estendidas a sistemas contendo componentes fracamente polares [SOAVE, 1984]. Mas com o aumento da polaridade dos componentes estas regras de mistura tornam-se inadequadas. Com a introdução de um segundo parâmetro binário, obtém-se um grau mais alto de flexibilidade [SOAVE, 1984]:

$$b = \sum_i \sum_j x_i x_j b_{ij} \quad (3.16)$$

$$b_{ii} = b_i \quad (3.17)$$

$$b_{ij} = b_{ji} = \frac{1}{2} (1 - K_{bij}) (b_i + b_j) \quad (3.18)$$

Estes parâmetros de interação binária são obtidos através de ajustes das equações de estado a dados de equilíbrio líquido-vapor ou líquido-líquido dos sistemas binários que formam um sistema multicomponente.

Métodos não sofisticados para obtenção dos parâmetros binários são utilizados, particularmente quando existem poucos dados para que se obtenha uma análise estatística adequada. Os parâmetros da maioria dos modelos de coeficiente de atividade, são relacionados aos coeficientes de atividade a diluição infinita γ^∞ , sendo estas relações válidas inclusive para equações de estado. SCHWARTZENTRUBER *et al* [1986], desenvolveram expressões deste tipo para a equação de MATHIAS [1983], uma modificação da EOS de Soave-Redlich-Kwong, introduzida para a função adimensional da temperatura reduzida:

$$\alpha_i(T_{r_i})^{0,5} = 1 + m_i(1 - T_{r_i}^{0,5}) - p_i(1 - T_{r_i})(0,7 - T_{r_i}) \quad (3.19)$$

e para componentes supercríticos a função torna-se:

$$\alpha_i(T_{r_i})^{0,5} = \exp(c_i(1 - T_{r_i}^{d_i})) \quad (3.20)$$

O parâmetro m_i está correlacionado com o fator acêntrico:

$$m_i = 0,48508 + 1,55171\omega_i - 0,15613\omega_i^2 \quad (3.21)$$

e os parâmetros supercríticos são obtidos por:

$$d_i = 1 + m_i / 2 + 0,3p_i \quad (3.22)$$

$$c_i = \frac{d_i - 1}{d_i} \quad (3.23)$$

Quando trabalha-se com mais de um componente, regras de mistura quadráticas para ambos os coeficientes a e b são assumidas. Os parâmetros de interação binária K_{aj} e K_{bj} apresentam dependência linear com a temperatura; para obter uma extrapolação mais realista os autores sugerem, que a função seja linear com relação a T^{-1} [SCHWARTZENTRUBER *et al*, 1986].

Os parâmetros de interação binária da equação de estado foram calculados a partir do método UNIFAC. Da definição do coeficiente de atividade do componente (i) na mistura, temos:

$$\gamma_i = \frac{\varphi_i^*}{\varphi_i} \quad (3.24)$$

onde γ_i é o coeficiente de atividade do componente (i) à pressão de equilíbrio na convenção assimétrica, φ_i é o coeficiente de fugacidade do componente (i) na mistura, e φ_i^* é o coeficiente de fugacidade do componente (i) puro à mesma pressão e temperatura.

O coeficiente φ_i é calculado utilizando-se uma equação de estado:

$$RT \ln \varphi_i = \int_{N,y}^{\infty} \left(\frac{\partial P}{\partial N_i} \Big|_{T,N_{j \neq i}} - \frac{RT}{V} \right) dV - RT \ln Z \quad (3.25)$$

obtendo-se:

$$\begin{aligned} \ln \varphi_i = & -\ln \frac{P(v-b)}{RT} - \frac{a}{bRT} \ln \frac{v+b}{v} + \\ & Z - 1 + \left(\sum_{j \neq i} x_j \frac{\partial a}{\partial x_j} \Big|_{T,P,X_{j \neq i}} \right) \frac{1}{bRT} \ln \frac{v+b}{v} + \left(\sum_{j \neq i} x_j \frac{\partial b}{\partial x_j} \Big|_{T,P,x_{j \neq i}} \right) \left(1 - Z - \frac{a}{bRT} \ln \frac{v+b}{v} \right) \end{aligned} \quad (3.26)$$

A aplicação da equação (3.26) ao componente (i) puro fornece:

$$\ln \gamma_i = \ln \frac{v_i - b_i}{v - b} + A_i - \\ - A + Z - Z_i + \left(\sum_{j \neq i} x_j \frac{\partial a}{\partial x_j} \Big|_{T, P, x_{j \neq i}} \right) \frac{A}{a} + \left(\sum_{j \neq i} x_j \frac{\partial b}{\partial x_j} \Big|_{T, P, x_{j \neq i}} \right) \frac{1 - Z - A}{b} \quad (3.27)$$

onde:

$$A_k = \frac{a_k}{b_k RT} \ln \frac{v_k + b_k}{v_k} \quad (3.28)$$

(o subscrito k refere-se tanto ao componente (i) puro como na mistura).

Na equação (3.27), prevendo-se que todos os componentes na mistura são suficientemente subcríticos (de modo que a equação de estado tenha uma raiz para o volume líquido), é possível manter a pressão em zero, de modo que os termos Z e Z_i desaparecem. A resolução da equação de estado é também simplificada, reduzindo-se a uma equação polinomial de segunda ordem:

$$v_{0k}^2 + v_{0k} \left(b_k - \frac{a_k}{RT} \right) + \frac{a_k b_k}{RT} = 0 \quad (3.29)$$

Em um sistema binário temos, a partir da regra de mistura quadrática:

$$\frac{da}{dx_2} = 2(a_2 x_2 - a_1 x_1 + a_{12}(x_1 - x_2)) \quad (3.30)$$

$$\frac{db}{dx_2} = 2(b_2 x_2 - b_1 x_1 + b_{12}(x_1 - x_2)) \quad (3.31)$$

e finalmente a expressão para o coeficiente de atividade do componente 1 é:

$$\ln \gamma_{01} = \ln \frac{v_{01} - b_1}{v_0 - b} + (A_{01} - A_0) + 2x_2[x_2 R_{21} - x_1 R_{12}] \quad (3.32)$$

onde:

$$A_{0k} = \frac{a_k}{b_k RT} \ln \frac{v_{0k} + b_k}{v_{0k}} \quad (3.33)$$

e

$$R_{ij} = \frac{A_0}{a} (a_i - a_{ij}) + \frac{1 - A_0}{b} (b_i - b_{ij}) \quad (3.34)$$

Chamando γ_{0i}^∞ o coeficiente de atividade a diluição infinita do componente (i) no componente (j), a aplicação da equação (3.33) para $x_j = 1$ e $x_i = 1$ obtém-se as equações:

$$\ln \gamma_{01}^\infty = \ln \frac{v_{01} - b_1}{v_{02} - b_2} + (A_{01} - A_{02}) + 2 - 2A_{02} \frac{a_{12}}{a_2} - 2(1 - A_{02}) \frac{b_{12}}{b_2} \quad (3.35)$$

$$\ln \gamma_{02}^\infty = \ln \frac{v_{02} - b_2}{v_{01} - b_1} + (A_{02} - A_{01}) + 2 - 2A_{01} \frac{a_{12}}{a_1} - 2(1 - A_{01}) \frac{b_{12}}{b_1} \quad (3.36)$$

onde

$$A_{0i} = \eta_i \ln \frac{v_{0i} + b_i}{v_{0i}} \quad (3.37)$$

$$\eta_i = \frac{a_i}{b_i RT} \quad (3.38)$$

Com esta metodologia SCHWARTZENTRUBER *et al* [1986], demonstraram um método eficiente, rápido e consistente para obter os parâmetros de interação binária para equações de estado, utilizando métodos de contribuição de grupos como o UNIFAC, o que leva à possibilidade de tornar o método totalmente preditivo.

A ausência de dados de equilíbrio líquido-vapor a alta pressão para a maioria dos sistemas binários formados por componentes dos óleos essenciais, torna a previsão do equilíbrio difícil, pois o número de parâmetros binários necessários é muito maior que o disponível. Utilizando um método similar ao de SCHWARTZENTRUBER, PONCE-RAMIREZ & RENON [1986], iniciou-se o estudo das equações necessárias para a proposição da metodologia deste trabalho, pelo critério da iso-fugacidade para um componente (i) da mistura. A expressão que define a fugacidade do componente (i) na fase líquida é expressa através de um modelo de coeficiente de atividade como o UNIQUAC, ou de contribuição de grupos como o UNIFAC:

$$\hat{f}_i^L = x_i \gamma_i^0 f_i^0 \quad (3.39)$$

onde $f_i^0 = P_{vapor_i}$ quando trabalhamos com os coeficientes de atividade experimentais, ou é calculado com a equação de Peng-Robinson aplicada ao componente puro, e a expressão para o coeficiente de atividade γ , para o modelo UNIQUAC, é:

$$\gamma_i^0 = \exp \left[\ln \frac{\varphi_i}{x_i} + \frac{z}{2} q_i \ln \frac{\theta_j}{\varphi_i} + l_i + \frac{\varphi_i}{x_i} \sum_j l_j - q_i \left(1 - \ln \left(\sum_j \theta_j \tau_{ij} \right) - \sum_j \frac{\theta_j \tau_{ij}}{\sum_k \theta_k \tau_{kj}} \right) \right] \quad (3.40)$$

Para uma mistura binária, temos:

$$\ln \gamma_1 = \ln \gamma_1^C + \ln \gamma_1^R \quad (3.41)$$

$$\ln \gamma_1^R = \ln \frac{\varphi_1}{x_1} + \frac{z}{2} q_1 \ln \frac{g_1}{\varphi_1} + \varphi_2 \left(l_1 - \frac{r_1}{r_2} l_2 \right) \quad (3.42)$$

$$\ln \gamma_1^R = -q_1 \ln(g_1 + g_2 \tau_{21}) + g_2 q_1 \left(\frac{\tau_{21}}{g_1 + g_2 \tau_{21}} - \frac{\tau_{12}}{g_1 \tau_{12} + g_2} \right) \quad (3.43)$$

Para a fase vapor ou fase leve:

$$f_i^V = y_i \varphi_i P \quad (3.44)$$

onde o termo φ_i (coeficiente de fugacidade do componente (i)) é obtido a partir de uma equação de estado, como por exemplo a de Peng - Robinson:

$$\begin{aligned} \ln \varphi_i &= \ln \frac{f_i(T, P, y_i)}{y_i P} = \\ &\frac{b_i}{b} (Z - 1) - \ln(Z - \frac{bP}{RT}) - \frac{a}{2\sqrt{2}bRT} \left[\frac{2 \sum_j y_j a_{ij}}{a} - \frac{b_j}{b} \right] \ln \left[\frac{Z + (\sqrt{2} + 1) \frac{bP}{RT}}{Z - (\sqrt{2} - 1) \frac{bP}{RT}} \right] \end{aligned} \quad (3.45)$$

Para uma mistura binária, temos:

$$\ln \varphi_1 = \frac{b_1}{b} (Z-1) - \ln \left(Z - \frac{bP}{RT} \right) - \frac{a}{2\sqrt{2bRT}} \left[2y_1 a_{11} + 2y_2 a_{12} - \frac{b_1}{b} \right] \ln \left[\frac{Z + (\sqrt{2}+1) \frac{bP}{RT}}{Z - (\sqrt{2}-1) \frac{bP}{RT}} \right] \quad (3.46)$$

Igualando-se as fugacidades obtidas das equações (3.39) e (3.46), resulta uma relação entre os parâmetros de interação binária do modelo UNIQUAC e da equação de estado de Peng-Robinson:

$$\begin{aligned} \frac{b_1}{b} (Z-1) - \ln \left(Z - \frac{bP}{RT} \right) - \frac{a}{2\sqrt{2bRT}} \left[2y_1 a_{11} + 2y_2 a_{12} - \frac{b_1}{b} \right] \ln \left[\frac{Z + (\sqrt{2}+1) \frac{bP}{RT}}{Z - (\sqrt{2}-1) \frac{bP}{RT}} \right] = \\ \left\{ \ln \frac{\varphi_1}{x_1} + \frac{z}{2} q_1 \ln \frac{\vartheta_2}{\varphi_1} + l_1 + \frac{\varphi_1}{x_1} (l_1 + l_2) - q_1 [1 - \ln(\vartheta_1 + \vartheta_2 \tau_{12})] - \left[\frac{\vartheta_1}{\vartheta_1 + \vartheta_2 \tau_{21}} + \frac{\vartheta_2}{\vartheta_1 \tau_{12} + \vartheta_2} \right] \right\}^{\frac{P_{vap} x_1}{P y_1}} \end{aligned} \quad (3.47)$$

Com a equação (3.47), obteve-se uma relação direta entre os parâmetros de interação binária da equação de estado e do método de coeficiente de atividade. Segue-se daí que ao resolver um dos lados da equação (3.47), pode-se obter os parâmetros desconhecidos desta equação ou seja, se for possível calcular a fugacidade da fase líquida com o método do coeficiente de atividade, é possível calcular os valores dos parâmetros de interação binária da equação de estado através desta relação, que é a base de raciocínio para o desenvolvimento da metodologia deste trabalho.

CAPÍTULO 4 - MATERIAL E MÉTODOS

4.1 - Material.

1 - Dados de equilíbrio líquido-vapor para:

- ◆ Sistemas binários compostos por CO₂/comp. (i)* a alta pressão.
- ◆ Sistemas binários compostos por comp. (i)/comp. (j) a baixa pressão.

2 - Algoritmo UNIFAC.BAS, para o cálculo de dados pseudo-experimentais a baixa pressão para sistemas do tipo comp.(i)/comp.(j).

3 - Algoritmo CPARTEST.PAS, para o cálculo dos parâmetros de interação binária para sistemas do tipo CO₂/comp.(i) e comp. (i)/comp.(j) cujos dados experimentais são conhecidos.

4 - Algoritmo PENG-ROB.BAS, para o cálculo do equilíbrio líquido-vapor para os sistemas submetidos ao fracionamento com CO₂ a altas pressões.

5 - Microcomputador Pentium 200 MMX.

O estudo termodinâmico do fracionamento de sistemas multicomponentes, como óleos essenciais e aromas com CO₂ supercrítico, envolve a aplicação de equações cúbicas de estado com regras de mistura apropriadas, nas quais utilizam-se os parâmetros de interação binários entre sistemas binários CO₂/componente (i)*. Esta simplificação deve-se ao fato da solubilização

* componente (i): representa qualquer substância química dentre as formadoras dos

do(s) componente(s) ocorrer na fase leve, onde o CO₂ está presente em maior quantidade, considerando-se praticamente desprezível a interação entre os componentes. Porém esta simplificação pode levar a erros de avaliação, pois a composição da fase pesada também influí na composição da fase leve, além do fato de que o CO₂ está presente em pequena proporção, tornando a interação entre os componentes importante para efeitos de cálculos.

No entanto, o número de componentes existentes nos óleos essenciais e aromas leva a necessidade de realizar uma quantidade de medidas experimentais muito grande, tornando o trabalho longo e caro. A metodologia simplificada proposta neste trabalho utiliza dados experimentais quando existem, e na ausência destes, gera dados pseudo-experimentais para o cálculo dos parâmetros de interação binária, necessários para a correta descrição termodinâmica dos sistemas. Utiliza-se como material, dados experimentais de equilíbrio, obtidos na literatura especializada, os quais são comparados aos dados pseudo-experimentais para os mesmos sistemas binários componente (i) + componente (j) (método UNIFAC -UNIquac Functional-group Activity Coefficient) e a composição conhecida para o óleo essencial de laranja, óleo essencial de limão e aroma de maçã, que constam nas Tabelas 4.1, 4.2 e 4.3.

TABELA 4.1 Composição do óleo essencial de laranja.

Componente	% molar
d-limoneno	97,76
α-pineno	0,61
Linalol	0,73
Sabineno	0,18
Mirceno	0,73

Fonte: CARDOZO FILHO [1997].

TABELA 4.2 Composição do óleo essencial de limão.

Componente	% molar
Limoneno	81,6
Citral	16,1
β-pineno	1,4
Bisaboleno	0,9

Fonte: KALRA *et al.*, [1987].

TABELA 4.3 Composição molar do aroma de maçã.

Componente	% molar
Butanol	32,15
trans-Hexen-2-al	14,07
Hexanol	16,17
Hexil-acetato	9,99
Octanol	1,26
Butil-hexanoato	22,88
Butil-acetato	3,48

Fonte: BUNDSCUH, BERGNER & EDELHÄUSER [1988].

As composições apresentadas foram utilizadas para os cálculos de solubilidade. A maioria dos componentes integrantes dos óleos essenciais, não está inclusa nessa composição, apenas os principais, extraídos em quantidades significativas. Levou-se em conta também o fato de obter-se ou não parâmetros de interação binária $\text{CO}_2/\text{componente}$ (*i*). Na proposta deste estudo, os parâmetros de interação binária entre todos os componentes formadores do sistema foram empregados e não somente entre alguns, evitando que no resultado, as interações entre os componentes predominantes em alguma das fases, possa afetar o cálculo do equilíbrio em outra fase onde não esteja presente da mesma forma.

4.2 – Metodologia adotada para a obtenção dos dados pseudo-experimentais.

Os aromas e óleos essenciais são misturas multicomponentes, formadas por dezenas de compostos. Segundo DIMICK & HOSKIN [1983], 265 compostos diferentes foram isolados no aroma de maçã. A descrição adequada do equilíbrio líquido-vapor de sistemas desta natureza é bastante trabalhosa e complexa, e por este motivo, trabalha-se somente com os componentes presentes em quantidades apreciáveis nestes sistemas. Da mesma maneira, a obtenção de dados experimentais de equilíbrio para proceder a uma análise adequada é bastante trabalhosa, e implica no dispêndio de tempo e dinheiro, que na maior parte das vezes não está de acordo com as necessidades e possibilidades imediatas de engenheiros e outros profissionais que atuam nesta

área. A necessidade de conhecimento dos dados experimentais que possam gerar os parâmetros binários para as equações de estado, levou a proposição de uma metodologia simplificada e adequada para a resolução destes problemas.

No estudo do fracionamento de componentes formadores de aromas e de óleos essenciais com CO₂ supercrítico, na maioria dos casos, não são conhecidos os dados experimentais de equilíbrio e propriedades como a pressão de vapor, e nem mesmo as constantes críticas de uma grande variedade de componentes, tornando necessário recorrer a métodos preditivos, para obter dados que tornem possível o estudo do fracionamento destes componentes.

Para determinar as constantes críticas, cujos valores experimentais não foram encontrados em literatura, utilizou-se o método preditivo de JOBACK. Para o cálculo da pressão de vapor dos componentes puros utilizou-se a equação de Wagner. Com o auxílio do método UNIFAC são calculados dados de equilíbrio líquido-vapor a baixas pressões, utilizados posteriormente para o cálculo de parâmetros de interação binária para a equação de estado de Peng-Robinson, assumiu-se, simplificadamente que os parâmetros de interação binária são independentes da pressão. Na metodologia proposta, necessita-se informações como a fórmula molecular dos componentes e dados sobre pressão de vapor. Obtém-se como resposta, as composições das fases em equilíbrio, a pressão e os coeficientes de atividade correspondentes a temperatura desejada.

Com o objetivo de calcular, para a equação de estado cúbica de Peng-Robinson, parâmetros binários que reproduzam o comportamento dos componentes do sistema predito pelo método UNIFAC, utilizou-se o método Simplex modificado por Nelder-Mead para minimizar a função objetivo, apresentada na equação (4.20).

Assumindo-se que os parâmetros de interação binária são independentes da pressão, utilizaram-se resultados obtidos através desta metodologia para o estudo do equilíbrio líquido-vapor a alta pressão.

4.3 – Propriedades críticas.

As propriedades críticas dos componentes estudados foram obtidas a partir de dados apresentados em publicações do Design Institute for Physical Property Data American Institute of Chemical Engineers. As substâncias cujas propriedades críticas não constam nas publicações citadas, foram estimadas pelos métodos de contribuição de grupos de JOBACK, para o qual apresenta as relações:

$$T_c = T_b \left(0,584 + 0,965 \sum D_T - \left(\sum D_T \right)^2 \right)^{-1} \quad (4.1)$$

$$P_c = \left(0,113 + 0,0032 n_A - \sum D_P \right)^2 \quad (4.2)$$

$$V_c = 17,5 + \sum D_V \quad (4.3)$$

As unidades são T em Kelvins, P em bar e V em centímetro cúbico por mol. Os valores de D , são encontrados em JOBACK [citado por REID *et al*, 1987].

4.4 Cálculo da pressão de vapor dos componentes puros.

A pressão de vapor dos componentes puros foi predita usando a equação de estado de Wagner:

$$\ln P_R = (1 - T_R) \left(A(1 - T_R) + B(1 - T_R)^{1.5} + C(1 - T_R)^3 \right) \quad (4.4)$$

onde

$$A = -0,294 + 1,1708 \left((T_{Rb} \ln P_C) / (1 - T_{Rb}) \right)$$

$$B = \left((ab + 2ac - \ln P_C)(1 - T_{Rb}) - 3(T_{Rb} \ln P_C) \right) / \left(1,5(1 - T_{Rb})^{1.5} \right)$$

$$C = \left(ac(1 - T_{Rb}) - T_{Rb} \ln P_C - B(1 - T_{Rb})^3 \right) / \left((1 - T_{Rb})^3 \right)$$

sendo $(ab/ac) = 2,7305 - 2,0324T_{Rb}$ para hidrocarbonetos alifáticos;

$$(ab/ac) = 3,6775 - 3,25T_{Rb} \quad \text{para álcoois;}$$

$$(ab/ac) = 2,0575 - 1,05T_{Rb} \quad \text{para ésteres.}$$

4.5 - Obtenção dos dados pseudo-experimentais.

Os dados pseudo-experimentais foram obtidos através do método preditivo UNIFAC, desenvolvido por FREDENSLUND [1977]. O algoritmo utilizado para a predição foi o desenvolvido por SANDLER [1989], no qual considerou-se que a fase gasosa se comporta como um fluido ideal, o que é adequado pois utilizou-se este algoritmo para calcular os dados pseudo-experimentais para sistemas binários a baixa pressão. Uma vez que a solubilidade destes componentes em CO₂, é determinada pela sua concentração na fase leve, uma concentração bastante baixa, a utilização dos parâmetros obtidos a baixas pressões, não causará grandes variações para o cálculo da composição da fase leve, mas será significativo para a fase pesada, onde a concentração de CO₂ é pequena e a interação entre os componentes é importante.

4.6 – Ajuste dos parâmetros binários (K_{aij} e K_{bij}).

4.6.1 - PROGRAMA UNIFAC .

Utilizou-se o método UNIFAC na sua quarta versão, para gerar dados pseudo-experimentais, quando não existiam dados experimentais para o equilíbrio líquido-vapor entre os binários estudados.

O UNIFAC é um método para cálculo do coeficiente de atividade, com base em duas contribuições: um termo combinatorial que depende do volume e área superficial de cada molécula, e um termo residual, que resulta das interações energéticas entre as moléculas. No

método UNIFAC, ambos os termos são obtidos por métodos de contribuição de grupos (a mistura é analisada como uma mistura de grupos funcionais ao invés de moléculas):

$$\ln \gamma_i = \ln \gamma_i(\text{combinatorial}) + \ln \gamma_i(\text{residual}) \quad (4.5)$$

O termo combinatorial é avaliado usando a seguinte equação:

$$\ln \gamma_i(\text{combinatorial}) = \ln \frac{\phi_i}{x_i} + \frac{z}{2} q_i \ln \frac{\theta_i}{\phi_i} + l_i - \frac{\phi_i}{x_i} \sum_i x_i l_i \quad (4.6)$$

O termo residual é dado por:

$$\ln \gamma_i(\text{residual}) = \sum_k v_k^{(i)} [\ln \Gamma_k - \ln \Gamma_k^{(i)}] \quad (4.7)$$

onde:

$$\ln \Gamma_k = Q_k \left[1 - \ln \left(\sum_m \Theta_m \Psi_{mk} \right) - \sum_m \frac{\Theta_m \Psi_{km}}{\sum_n \Theta_n \Psi_{nm}} \right] \quad (4.8)$$

$$\Theta_m = \frac{\chi_m Q_m}{\sum_n \chi_n Q_n} \quad (4.9)$$

sendo Θ_m a fração de área superficial do grupo m e χ_m a fração molar do grupo m na mistura, e:

$$\Psi_{mn} = \exp \left[\frac{-(u_{mn} - u_{nm})}{kT} \right] = \exp \left[\frac{-a_{mn}}{T} \right] \quad (4.10)$$

onde u_{mn} é uma medida da energia de interação entre os grupos m e n, e a soma de todos os grupos na mistura.

O programa UNIFAC desenvolvido por SANDLER [1989], assume a fase vapor ideal. As pressões de vapor para as substâncias que formam aromas, nas temperaturas de interesse (10-25°C), são da ordem de 10^{-4} bar, portanto baixas o suficiente para que a suposição de idealidade da fase vapor seja satisfeita. O algoritmo foi modificado para trabalhar com a equação de estado de Peng-Robinson com dois parâmetros de interação binária. O fluxograma referente ao programa UNIFAC utilizado, encontra-se no Apêndice A.

Empregando-se o programa UNIFAC obteve-se um conjunto de dados x_{pe} , y_{pe} , T e P, com o qual foi realizada a predição do equilíbrio líquido-vapor, para os sistemas binários do tipo: componente (*i*)/ componente (*j*) do óleo essencial, usando o programa COEFUGN, desenvolvido a partir do programa CPARTEST [CABRAL, 1993].

4.6.2 - PROGRAMA COEFUGN.

Para o cálculo dos parâmetros de interação binária para a equação cúbica de estado, utilizou-se o algoritmo COEFUGN, desenvolvido a partir do programa computacional CPARTEST [CABRAL, 1993], que ajusta parâmetros binários utilizando o método SIMPLEX modificado de NELDER & MEAD [1965], com a obtenção dos valores de K_{aij} e K_{bij} que correspondem ao menor valor para a função objetivo $S(K_{aij}, K_{bij})$. Para este cálculo é necessário obter o valor da fugacidade na fase líquida dos componentes do sistema e os pontos pseudo-experimentais (T_e , P_e , x_e , y_e e f_e), com o método UNIFAC. Neste procedimento no entanto, não buscou-se ajustar parâmetros, uma vez que a fugacidade da fase líquida já foi calculada com o método UNIFAC, mas calcular parâmetros que correspondem aqueles que reproduzem a qualidade deste método para a equação de estado cúbica de Peng-Robinson. A fugacidade da fase líquida é calculada por:

$$f_i^L = x_i \gamma_i P_i(FP) \quad (4.11)$$

onde FP é o fator de correção (fator de Pointing), calculado para a fase líquida, de acordo com a metodologia descrita em PRAUSZNITZ [1980]:

$$P_i(FP) = \left[f_i^0 \exp \frac{\bar{v}_i^L (P - P^0)}{RT} \right] \quad (4.12)$$

A função objetivo (S), foi definida, para os dados pseudo-experimentais de equilíbrio [T_{pe} , P_{pe} , x_{pe} (1), x_{pe} (1), y_{pe} (1), y_{pe} (2)], como:

$$S = \min |S(K_{aj}, K_{bj})| \quad (4.13)$$

$$(T, P) \equiv (T_{pe}, P_{pe}) \xrightarrow{K_{aj}, K_{bj}} f_c(1), f_c(2), \quad (4.14)$$

O programa COEFUGN, oferece duas opções quanto à função objetivo, que são:

$$S(K_{aj}, K_{bj}) = \sum_{j=1}^n \sum_{i=1}^2 \left(\left(\frac{f_c^L(i) - f_{pe}^L(i)}{f_{pe}^L(i)} \right)^2 + \left(\frac{y_c(i) - y_{pe}(i)}{y_{pe}(i)} \right)^2 \right)_i \quad (4.15)$$

$$S(K_{aj}, K_{bj}) = \sum_{j=1}^n \sum_{i=1}^2 \left(\left(\frac{f_c^L(i) - f_{pe}^L(i)}{f_{pe}^L(i)} \right)^2 \right)_i \quad (4.16)$$

onde:

$i = 1,2$ (número de componentes)

n = número de pontos experimentais

As etapas para o cálculo dos parâmetros de interação binária são as seguintes:

- a) utilizando o programa UNIFAC [SANDLER, 1989] foram gerados o dados pseudo-experimentais de equilíbrio líquido-vapor e calculados os coeficientes de atividade, para os sistemas binários de interesse;
- a) com os dados obtidos no item a) utilizou-se o programa COEFUGN, para calcular os parâmetros de interação binária.

Os dados de entrada necessários para que o programa COEFUGN seja executado, são os pontos pseudo-experimentais de equilíbrio, x_1 , y_1 , P , T , f_1 e f_2 , além das propriedades críticas, P_c , T_c e ω . As opções que o programa oferece são:

- a) quatro equações de estado:

a.1) van der Waals:

$$(P + a/V^2)(V - b) = RT \quad (4.17)$$

com os parâmetros:

$$a_i = 27R^2T_{ci}^2/64P_{ci}, b_i = RT_{ci}/8P_{ci}$$

$$a = \sum \sum y_i y_j \sqrt{a_i a_j} (1 - K_{aj}), b = \sum \sum \frac{1}{2} (b_i + b_j) (1 - K_{bj})$$

a.2) Peng-Robinson:

$$P = \frac{RT}{V - b} - \frac{a\alpha}{V^2 + 2bV - b^2} \quad (4.18)$$

com os parâmetros:

$$\begin{aligned} a_i &= 0,45724R^2T_{ci}^2 / P_{ci}, \quad b_i = 0,07780RT_{ci} / P_{ci}, \\ \alpha_i &= [1 + (0,37464 + 1,54226\omega_i - 0,26992\omega_i^2)(1 - T_{Ri}^{0,5})]^2, \\ a\alpha &= \sum \sum y_i y_j (a\alpha_i a\alpha_j)^{1/2} (1 - K_{aij}), \quad b = \sum \sum \frac{1}{2} (y_i + y_j) (b_i + b_j) (1 - K_{bij}) \end{aligned}$$

a.3) Redlich-Kwong:

$$P = \frac{RT}{V - b} - \frac{a}{T^{1/2}V(V + b)} \quad (4.19)$$

com os parâmetros:

$$\begin{aligned} a_i &= 0,42748R^2T_c^{2,5} / P_c, \quad b_i = 0,08664RT_c / P_c \\ a &= \sum \sum y_i y_j (a_i a_j)^{1/2} (1 - K_{aij}), \quad b = \sum \sum \frac{1}{2} (y_i + y_j) (b_i + b_j) (1 - K_{bij}) \end{aligned}$$

a.4) Soave-Redlich-Kwong:

$$P = \frac{RT}{V - b} - \frac{a\alpha}{V(V + b)} \quad (4.20)$$

com os parâmetros:

$$a_i = 0,42747R^2T_{ci}^2 / P_{ci}, \quad b_i = 0,08664RT_{ci} / P_{ci},$$

$$\alpha_i = [1 + (0,48508 + 1,55171\omega_i - 0,15613\omega_i^2)(1 - T_{Ri}^{0,5})]^2,$$

$$a\alpha = \sum \sum y_i y_j (a\alpha_i a\alpha_j)^{1/2} (1 - K_{aij}), \quad b = \sum \sum \frac{1}{2} (y_i + y_j) (b_i + b_j) (1 - K_{bij})$$

Esta metodologia foi utilizada com o modelo UNIQUAC, visando testar o algoritmo computacional e a metodologia escolhida, pois a utilização da equação de estado diretamente para a obtenção dos parâmetros de interação binária é a opção usual. Como os parâmetros obtidos são consistentes, quando obtidos diretamente da equação de estado ou da utilização do programa COEFUGN, utilizou-se o modelo UNIFAC para o cálculo do coeficiente de atividade, pois o objetivo é desenvolver um método preditivo.

Este programa é utilizado para obtenção dos parâmetros de interação binária K_{aij} , K_{bij} , entre o CO_2 e os componentes do sistema estudado, conforme o fluxograma da Figura 4.1.

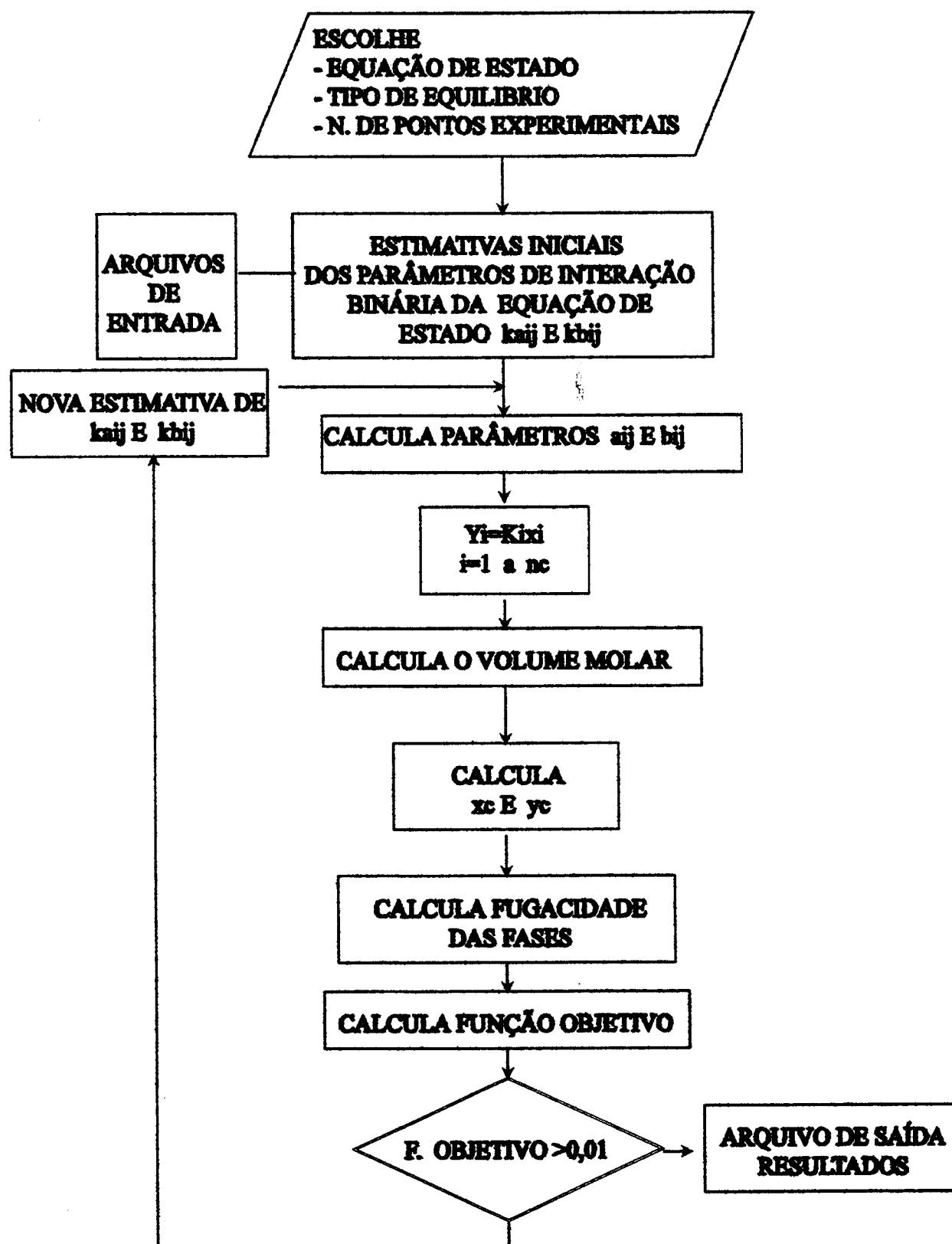


FIGURA 4.1 - Fluxograma explicativo para o programa COEFUGN.PAS.

4.6.3 PROGRAMA CPARTEST.

O programa CPARTEST foi desenvolvido por CABRAL [1993], e modificado neste trabalho, para adequar-se a metodologia empregada. Para o ajuste dos parâmetros binários K_{aij} e K_{bij} encontram-se os valores que melhor reproduzem os pontos experimentais através da minimização de uma função objetivo definida como:

$$S(K_{aij}, K_{bij}) = \sum_{j=1}^n \sum_{i=1}^2 \left[\left(\frac{x^c(i) - x^e(i)}{x^e(i)} \right)^2 + \left(\frac{y^c(i) - y^e(i)}{y^e(i)} \right)^2 \right]_j \quad (4.21)$$

ou quando a composição da fase pesada não é conhecida:

$$S(K_{aij}, K_{bij}) = \sum_{j=1}^n \sum_{i=1}^2 \left[\left(\frac{y^c(i) - y^e(i)}{y^e(i)} \right)^2 \right]_j \quad (4.22)$$

Utilizando-se de diferentes pares dos parâmetros (K_{aij} , K_{bij}), gera-se uma superfície de respostas para a função objetivo. O ajuste dos parâmetros de interação binária aos pontos experimentais é realizado através de um programa computacional denominado “Ajusta_Parâmetros”, consistindo em aplicar o método SIMPLEX modificado de NELDER & MEAD [1965] – Anexo B - na obtenção dos melhores valores de K_{aij} e K_{bij} que minimizam a função objetivo e utilizando como subrotina o programa “ELV” para o cálculo do equilíbrio de fases [CABRAL,1993].

4.7 - Equilíbrio líquido – vapor.

4.7.1 - PROGRAMA PENGROB.BAS

O programa PENGROB.BAS foi desenvolvido por SANDLER [1989], em linguagem BASIC e modificado, utilizando-se o algoritmo para cálculo da pressão e temperatura de orvalho, empregando o seguinte procedimento para o cálculo do equilíbrio de fases:

- a) Conhecendo-se x_i^* (fração molar do componente (i) da mistura original em base livre de solvente), e fazendo-se uma estimativa inicial para x_i (fração molar do componente (i) na fase pesada), a composição da fase pesada (L) fica definida.
- b) As estimativas iniciais para o coeficiente de partição $K_i = y_i / x_i$ definem a composição y_i da fase leve (V).
- c) Calculam-se as fugacidades de todos os componentes em ambas as fases e verifica-se se $f_i^L = f_i^V$, se isto não ocorrer, corrige-se o valor de K_i :

$$K_i^{(novo)} = K_i^{(anterior)} \cdot \left(f_i^L / f_i^V \right) \quad (4.23)$$

- d) Com o novo valor de K_i , recalcula-se a composição nas fases L e V (através de balanço de massa).
- e) Repete-se os cálculos dos itens (c) e (d) até obter a igualdade das fugacidades.

Este programa é utilizado para o cálculo do equilíbrio líquido - vapor a altas pressões e os fluxogramas referentes aos programas original e modificados encontram-se no Anexo A.

4.8 - PROGRAMAS UTILIZADOS .

Em resumo os programas utilizados para os cálculos são:

- JOBACK: programa desenvolvido por MULLER, CARDOZO FILHO & MEIRELES [1996] para o cálculo das propriedades críticas com o método de contribuição de grupo descrito no item 4.3.

- UNIFAC: programa desenvolvido para o cálculo dos coeficientes de atividade e fugacidade das fases quando não conhecemos qualquer tipo de dado de equilíbrio entre os componentes;

- COEFUGN: programa modificado a partir do CPARTEST; é utilizado para obter os parâmetros de interação binária, quando não se conhecem dados de equilíbrio entre os componentes, utilizando as fugacidades calculadas e dados pseudo - experimentais gerados com o programa UNIFAC; a função objetivo a ser minimizada é a diferença entre a fugacidade calculada para a fase líquida da mistura binária, empregando os métodos: preditivo e a equação cúbica de estado;

PENGROB: programa modificado a partir de algoritmo publicado por Sandler, para trabalhar com a equação de estado de Peng-Robinson com dois parâmetros de interação binária e constando de sub-rotinas para cálculo de pressão e temperatura no ponto de bolha, ponto de orvalho e flash.

Através da Figura 4.2, pode-se visualizar a metodologia utilizada.

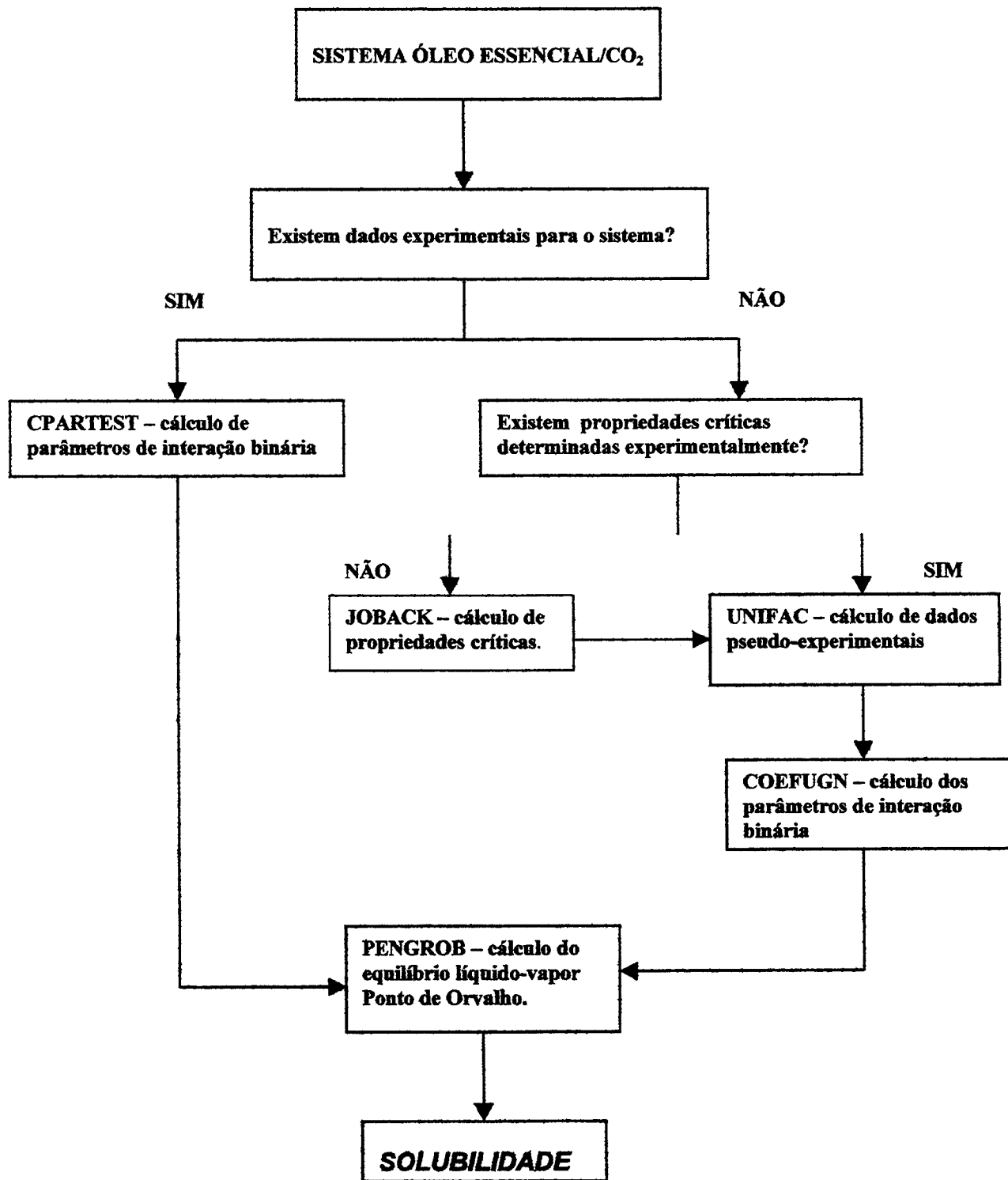


FIGURA 4.2 Seqüência de ações na metodologia adotada.

4.9 – CÁLCULO DA SOLUBILIDADE.

O cálculo da solubilidade é realizado a partir do algoritmo PENGROB, utilizando a subrotina para cálculo de pressão e temperatura do ponto de orvalho. Esta escolha foi realizada tendo em vista que a composição que encontra-se após uma extração corresponde na realidade a fase leve da mistura, e portanto o cálculo do ponto de orvalho da mistura é a aproximação mais realista a utilização dos dados.

Para a análise dos desvios médios entre valores calculado e experimentais utilizamos as seguintes equações:

$$\Delta y = \frac{y_{\text{exp}} - y_{\text{calc}}}{y_{\text{exp}}} \quad \text{e} \quad \Delta x = \frac{x_{\text{exp}} - x_{\text{calc}}}{x_{\text{exp}}}$$

O resultado foi expresso como a média entre as diferenças calculadas para todos os pontos.

4.10- ETAPAS DO TRABALHO.

Determinamos uma seqüência para as atividades necessárias para o desenvolvimento do trabalho:

- 1-verificar se os parâmetros obtidos com o método UNIFAC, são adequados à descrição do equilíbrio líquido-vapor de misturas binárias a baixas pressões;
- 2 - encontrar os parâmetros de interação binária entre os componentes da mistura, através da metodologia proposta no item 4, utilizando-os na equação cúbica de estado de Peng-Robinson, de modo que esta empregue o maior número possível de parâmetros conhecidos, para a predição do equilíbrio líquido-vapor de misturas.
- 3- verificar a melhoria na capacidade preditiva da equação cúbica de estado de Peng-Robinson, ao ser usada para calcular e predizer a solubilidade dos sistemas contendo CO₂ supercrítico.

CAPÍTULO 5 - RESULTADOS E DISCUSSÃO

5.1 Propriedades críticas e pressão de vapor dos componentes

A maioria dos componentes dos óleos essenciais e aromas apresentam comportamento termodinâmico bastante complexo. Propriedades críticas e informações sobre dados experimentais de equilíbrio termodinâmico são imprescindíveis para a utilização de equações de estado para a descrição do comportamento termodinâmico de componentes puros e misturas. As informações experimentais para alguns componentes estudados não foram encontradas, devido a características próprias destes, como pressão de vapor muito baixa, dificuldades na purificação destes compostos, degradação dos compostos antes de chegar à temperatura crítica. No entanto estas substâncias são importantes para a correta predição da solubilidade do sistema, pois trata-se de componentes ativos, e sem o conhecimento de suas propriedades termodinâmicas é inviável a utilização do programa UNIFAC para calcular dados pseudo-experimentais, pois neste método necessitamos conhecer a estrutura química e dados da pressão de vapor do componente. Estes dados pseudo-críticos serão utilizados na equação de estado, que é um polinômio em terceiro grau em função de Z, A e B e portanto dependente do conhecimento das propriedades críticas dos componentes. Com o método de JOBACK para o cálculo das propriedades críticas destes componentes, como descrito no ítem 4.3, calcularam-se as propriedades necessárias. As propriedades críticas dos componentes envolvidos neste estudo estão listadas na Tabela 5.1, 5.2, 5.3, 5.4, 5.4, 5.5. A Tabela 5.1 mostra as propriedades do dióxido de carbono e da água. A Tabela 5.2, refere-se as propriedades dos álcoois que compõem os sistemas selecionados.

TABELA 5.1: Propriedades críticas para os componentes dos sistemas em estudo-Geral.

Componente	P _C (bar)	T _C (K)	V _C (m ³ /kmol)	T _b (K)	ω
CO ₂ ^a	73,760	304,20	0,094	194,70	0,2250
H ₂ O ^a	220,48	647,30	0,056	373,20	0,3440

^a Data Compilation Tables of Properties of Pure Compounds - DAUBERT & DANNER [1985].

TABELA 5.2: Propriedades críticas para os componentes dos sistemas -Álcoois.

Componente	P _C (bar)	T _C (K)	V _C (m ³ /kmol)	T _b (K)	ω
Etanol ^a	63,835	516,25	0,1669	351,44	0,6371
2-Propanol ^a	47,643	508,31	0,2201	355,41	0,6689
n-Propanol ^a	51,696	536,71	0,2185	370,35	0,6279
n-Butanol ^a	44,127	562,93	0,2745	390,81	0,5945
1-metil2-butanol ^a	38,800	579,45	0,327	404,35	0,5558
n-Pentanol ^a	38,800	586,15	0,326	410,95	0,5938
Linalol ^b	26,620	653,46	0,5543	471,15	0,5720
n-Hexanol ^a	35,100	611,35	0,3813	430,15	0,5803
n-Octanol ^a	44,13	562,93		420,81	0,658

^a Data Compilation Tables of Properties of Pure Compounds - DAUBERT & DANNER [1985].

A Tabela 5.3 relaciona os aldeídos estudados e suas propriedades termodinâmicas, bem como na Tabela 5.4, encontram-se listados os ésteres que compõem os sistemas selecionados.

TABELA 5.3: Propriedades críticas para os componentes dos sistemas - Aldeídos.

Componente	P _C (bar)	T _C (K)	V _C (m ³ /kmol)	T _b (K)	ω
Citral ^a	24,860	682,73	0,5455	501,15	0,6440

^a refere-se a propriedades críticas calculadas através do método de JOBACK.

TABELA 5.4: Propriedades críticas para os componentes dos sistemas - Éster.

Componente	P _C (bar)	T _C (K)	V _C (m ³ /kmol)	T _b (K)	ω
Etil-acetato ^a	38,301	523,25	0,286	350,21	0,3611

^a Data Compilation Tables of Properties of Pure Compounds - DAUBERT & DANNER [1985].

Os terpenos e sesquiterpenos que fazem parte do escopo deste trabalho são apresentados na Tabela 5.5 , bem como suas respectivas propriedades.

TABELA 5.5: Propriedades críticas para os componentes dos sistemas - Terpenos e Sesquiterpenos.

Componente	P _C (bar)	T _C (K)	V _C (m ³ /kmol)	T _b (K)	ω
Limoneno ^b	27,870	650,38	0,4889	450,60	0,3910
α -Pineno ^a	25	620	0,5004	428,80	0,3220
β -Pineno ^a	25	635	0,4839	506,15	0,4630
γ -Terpineno ^b	27,14	658,97	0,49309	456,15	0,376
Sabineno ^b	28,58	638,05	0,49826	498,26	0,348
P-Cimeno ^b	28,130	651,08	0,4801	449,00	0,3740
Mirceno ^b	27,880	636,25	0,4878	440,81	0,3920

^a Data Compilation Tables of Properties of Pure Compounds - DAUBERT & DANNER [1985].

^b refere-se a propriedades críticas calculadas através do método de JOBACK.

5.2 Avaliação do algoritmo UNIFAC na predição do equilíbrio líquido - vapor dos sistemas binários.

A aplicação do programa UNIFAC (apêndice B), tem como requisito o conhecimento de dados sobre a pressão de vapor das substâncias envolvidas. Para os componentes puros calculam-se as pressões de vapor utilizando a equação de Antoine quando os dados experimentais estão disponíveis; quando esta informação experimental não é acessível, a equação de Wagner é a mais adequada para a predição, pela qualidade dos resultados e pela facilidade, pois conhecendo-se apenas as propriedades críticas dos componentes, é calculada a pressão de vapor.

Calculadas as pressões de vapor, obtém-se curvas de equilíbrio líquido-vapor para alguns sistemas binários, usando o programa computacional UNIFAC e comparam-se com dados experimentais publicados. Alguns sistemas binários formados por componentes selecionados foram usados para verificar a adequação do programa utilizado. Geralmente, os álcoois e substâncias de alta e média polaridade apresentam problemas quanto ao uso de equações de

estado ou métodos preditivos devido ao comportamento não-ideal da fase vapor. Outros compostos como os ésteres e fenóis apresentam o mesmo problema quanto à descrição do equilíbrio de fases.

A representação de sistemas binários, envolvendo terpenos e sesquiterpenos, foi analisada para os sistemas α -pineno/limoneno, β -pineno/limoneno e β -pineno/ p-cimeno. Nas Figuras 5.1 a 5.3, os resultados obtidos demonstram que o programa computacional UNIFAC, prediz o equilíbrio líquido-vapor destas misturas binárias a baixas pressões, com uma precisão demonstrada visualmente e pelos desvios médios calculados. Pode-se constatar que o algoritmo utilizado é satisfatório para este tipo de sistema, havendo um desvio pequeno visualmente entre os dados experimentais e aqueles obtidos por método preditivo. Pode-se mesmo afirmar que os resultados obtidos com o UNIFAC, são mais adequados para o sistema α -pineno/limoneno. Cabe ainda salientar aqui que a escolha dos grupos para a aplicação correta do algoritmo é um fator decisivo para a obtenção de resultados, os grupos selecionados estão apresentados no Anexo A.

Na Figura 5.1, os dados para o sistema β -pineno/p-cimeno, na pressão de 1,032 bar foram calculados com o programa computacional UNIFAC (Anexo A – grupos utilizados para os cálculos) e comparados com dados experimentais obtidos por BERNARDO - GIL & RIBEIRO [1993]. Os desvios médios foram calculados para a fase leve, para todos os pontos experimentais, obtendo-se um valor de 0,6652, mostrando que o programa computacional UNIFAC é adequado para este sistema. A Figura 5.2 refere-se ao sistema α -pineno/limoneno na pressão de 0,3 bar, utilizando-se dados experimentais obtidos por BERNARDO-GIL & RIBEIRO [1989].

Na figura 5.3 pode-se constatar o resultado obtido quando aplica-se o programa computacional UNIFAC ao sistema α -pineno/limoneno na pressão de 1,0132 bar e a comparação com os dados obtidos por BERNARDO-GIL & RIBEIRO [1989], demonstrando que o algoritmo é adequado para este tipo de sistema, observação reforçada pelo resultado obtido para os desvios médios entre as frações molares da fase leve, calculado para todos os pontos experimentais, no valor de -1,46379.

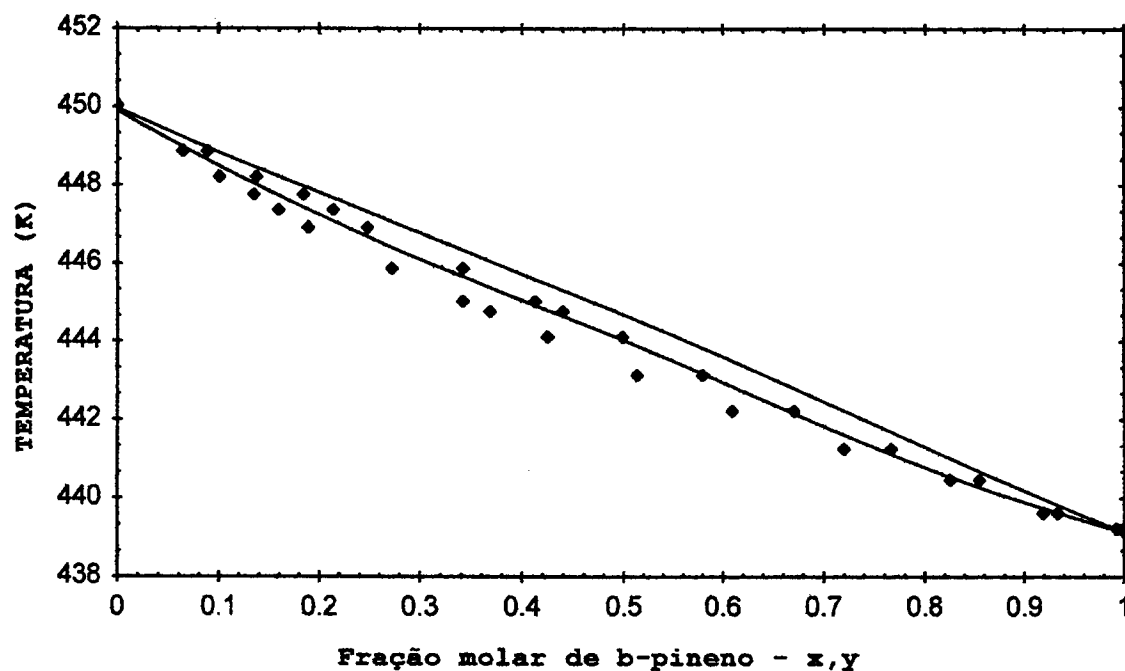


FIGURA 5.1 - Curva de equilíbrio para o sistema β -pineno/ p-cimeno, a pressão de 1,0132 bar, apresentando (♦) dados experimentais [BERNARDO-GIL & RIBEIRO, 1993] e (—) pseudo-experimentais gerados pelo UNIFAC.

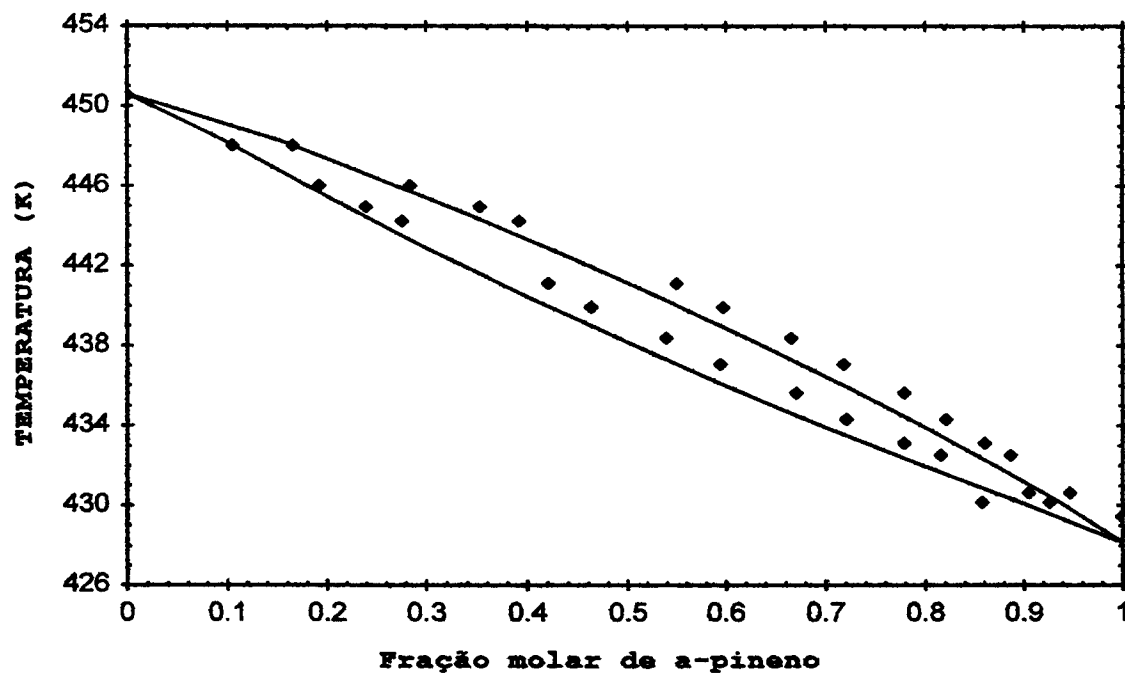


FIGURA 5.2 - Curva de equilíbrio para o sistema α -pineno/limoneno, a pressão de 1,0132 bar, apresentando (♦) dados experimentais [NADAIS & BERNARDO-GIL, 1993] e (—) pseudo-experimentais gerados pelo UNIFAC.

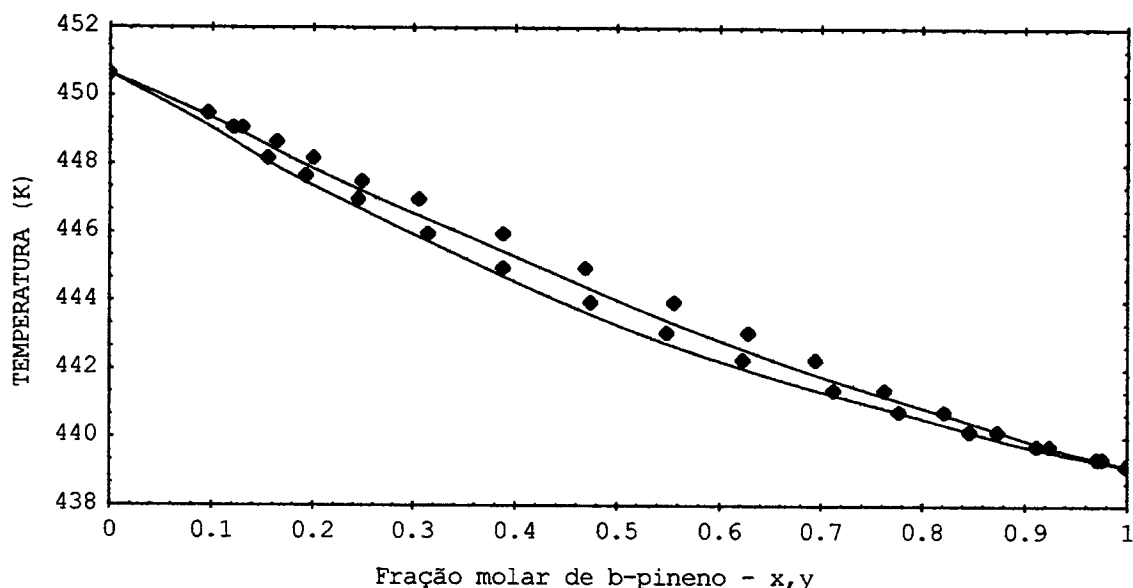


FIGURA 5.3 - Curva Temperatura versus fração molar de β -pineno equilíbrio para o sistema β -pineno/limoneno, a pressão de 1,0132 bar, apresentando (♦) dados experimentais [BERNARDO-GIL & RIBEIRO, 1993] e (—) pseudo-experimentais gerados pelo UNIFAC.

Para representar os sistemas binários envolvendo álcool/éster, escolheram-se dados publicados para: a) metil-propanoato/2-propanol; b) etanol/butil-metanoato; c) etanol/butil-etanoato; d) etanol/butil-propanoato e e) etanol/butil-butanoato.

Na Figura 5.4, para o sistema metil-propanoato/2-propanol, pode-se verificar que os dados preditos pelo programa computacional UNIFAC, são muito próximos dos dados experimentais. Como as estruturas de ambos são similares e os pesos moleculares próximos, os resultados obtidos como o UNIFAC, são melhores para este sistema comparado aos outros envolvendo álcool/ésteres. As diferenças relativas entre os valores calculados e os experimentais de -0,37583 para a fase leve e -1,73309 para a fase leve comprovam a adequação do algoritmo para este tipo de sistema, quando as estruturas químicas, apesar de apresentarem funções diferentes, são semelhantes quanto ao número de átomos de Carbono e configuração.

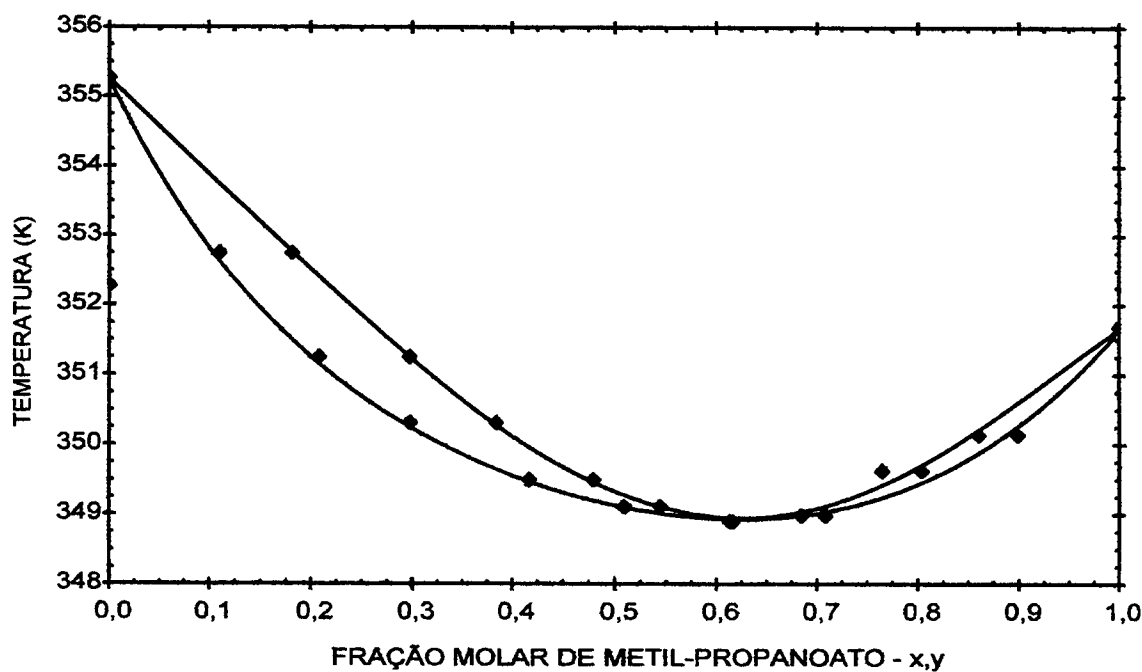


FIGURA 5.4 Curva temperatura *versus* fração molar de metil-propanoato, para dados isobáricos ($P=1,0132$ bar), para o sistema metil-propanoato/2-propanol, apresentando (♦) dados experimentais [KIM, YOON & LEE, 1994], e (—) dados preditos pelo UNIFAC.

Para o sistema n-butanol/2-metil-butanol, analisado nas figuras 5.5 e 5.6, verifica-se que o resultado é adequado para o sistema na pressão de 0,3 bar, entretanto ao realizar a mesma comparação quando a pressão do sistema é 1 bar, o resultado não se apresenta tão adequado, demonstrando que o algoritmo tem limitações quando a pressão de trabalho é mais alta. A confirmação está nos dados da Tabela 5.2, onde a diferença para o sistema na pressão de 0,3 bar é de -3,27381, para a fase leve, enquanto que para a fase pesada, esta diferença é de -0,32567, enquanto para a pressão de 1 bar essas diferenças caem para 0,057973 e 0,223964, respectivamente.

Os resultados obtidos com a aplicação do programa computacional UNIFAC para sistemas do tipo etanol/butil-éster, não estão de acordo com os dados experimentais obtidos na literatura e que essa discordância aumenta na medida em que o peso molecular dos ésteres aumenta, como verifica-se através das Figuras 5.7.a, 5.7.b, 5.7.c e 5.7.d. Para o sistema binário etanol/butil-metanoato, os resultados foram bastante adequados, sendo a diferença entre os

valores experimentais e calculados para a fração molar de etanol na fase leve iguais a -0,03235482, enquanto que para o sistema etanol/butil-etanoato, já notou-se um desvio maior quanto aos pontos experimentais, apresentando valor igual a -0,16673163, caracterizado principalmente na fase vapor. A seleção dos grupos para a aplicação do programa computacional UNIFAC foi mais trabalhosa. Confirma-se aqui a influência do tipo de molécula e do número de átomos de Carbono na performance do algoritmo, quanto mais semelhantes as estruturas, melhores os resultados.

TABELA 5.6: Diferenças relativas entre os valores experimentais e preditos pelo UNIFAC, para a fase vapor.

Sistema	$\Delta y/y$	$\Delta x/x$
etanol/butil-metanoato	-0,03236	-0,00247
etanol/butil-etanoato	-0,16673	-0,00511
etanol/butil-propanoato	-0,25313	-0,01761
etanol/butil-butanoato	-0,73186	-0,02049
β -pineno/limoneno	-0,27810	-0,00299
α -pineno/limoneno (P=1,032 bar)	-1,46379	n.c.
etanol / octanol	-3,64619	-4,24822
Metil-propanoato / 2-propanol	-0,37583	-1,73309
Butanol/2-metil,1-butanol (1 bar)	0,057973	0,223964
Butanol/2-metil,1-butanol(0,3 bar)	-3,27381	-0,32567
p-cimeno / β -pineno	0,66952	-0,26123

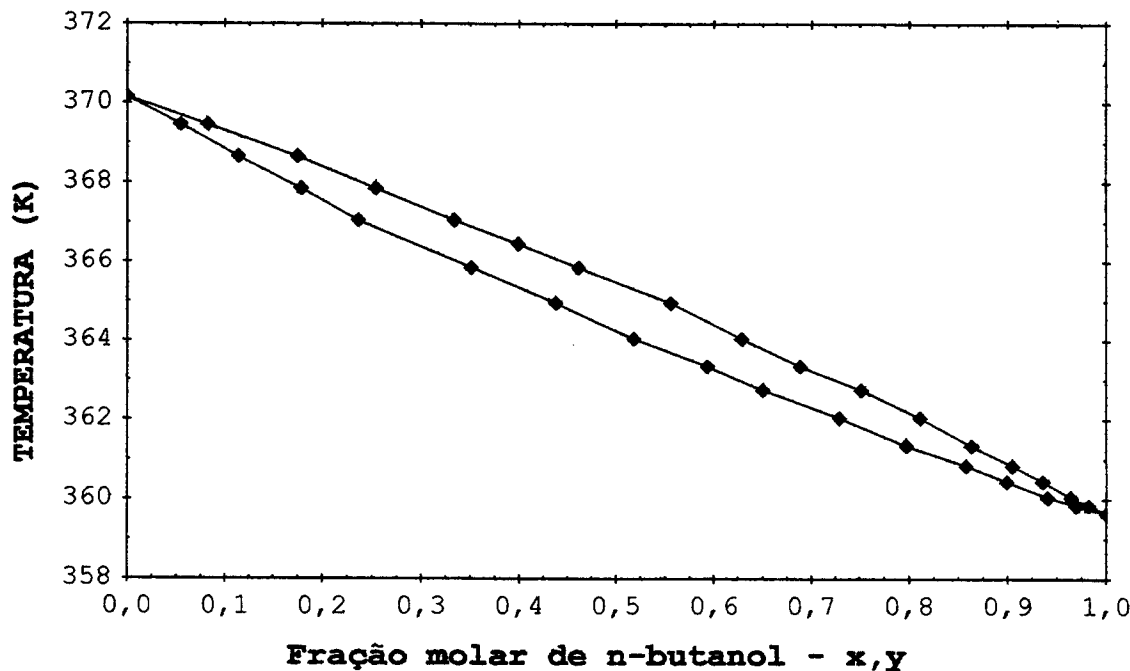


FIGURA 5.5 - Curva temperatura *versus* fração molar de n-butanol, para dados isobáricos ($P=0,30$ bar), para o sistema n-butanol/2-metil,1-butanol, apresentando (◆) dados experimentais[TAMIR & WISNIAK, 1975], e (—) dados preditos pelo UNIFAC.

Analizando todos os sistemas estudados, pode-se notar uma constância quanto aos resultados obtidos quando trabalhou-se com sistemas compostos por terpenos e sesquiterpenos, o que não ocorre com sistemas envolvendo álcoois e ésteres, que variam muito de acordo com a pressão de trabalho.

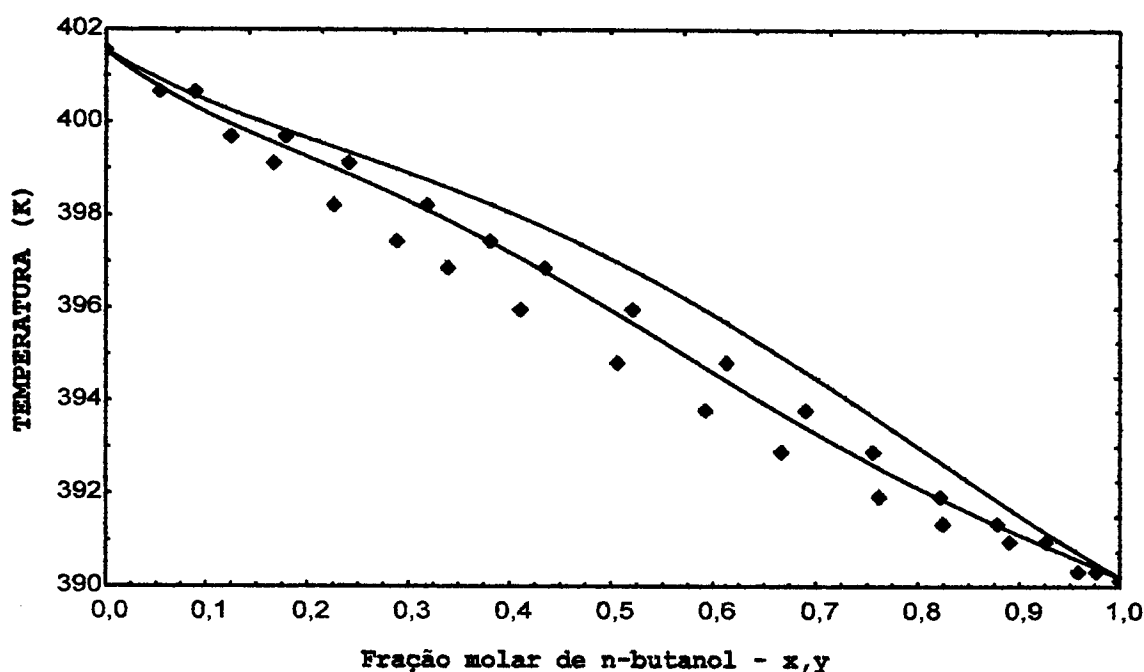


FIGURA 5.6 - Curva temperatura versus fração molar de n-butanol, para dados isobáricos ($P=1$ bar), para o sistema n-butanol/2-metil,1-butanol, apresentando (◆) dados experimentais [TAMIR & WISNIAK, 1975], e (—) dados preditos pelo UNIFAC.

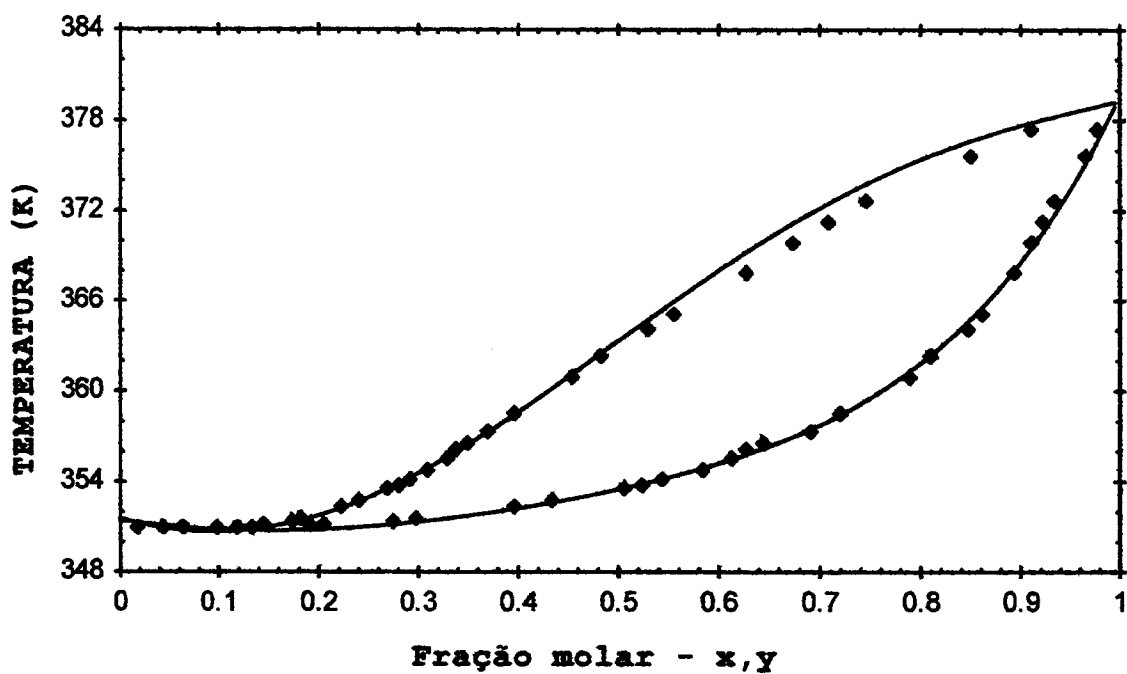


FIGURA 5.7.a Curva temperatura versus fração molar de butil-metanoato, para o sistema etanol/butil-metanoato com dados isobáricos ($P=1,0132$ bar), apresentando (◆) dados experimentais [GONZALES & ORTEGA, 1995], e (—) dados preditos pelo UNIFAC.

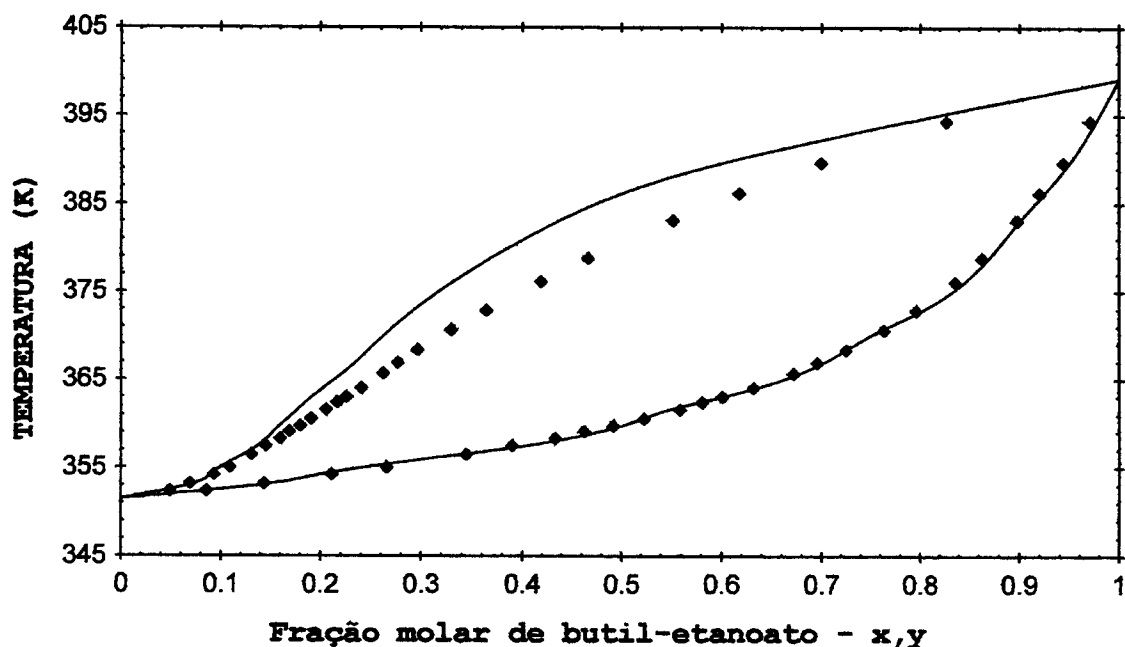


FIGURA 5.7.b Curva temperatura *versus* fração molar de butil - etanoato, para o sistema etanol/butil-ethanoato com dados isobáricos ($P=1,0132$ bar), apresentando (◆) dados experimentais, [GONZALES & ORTEGA, 1995] e (—) dados preditos pelo UNIFAC.

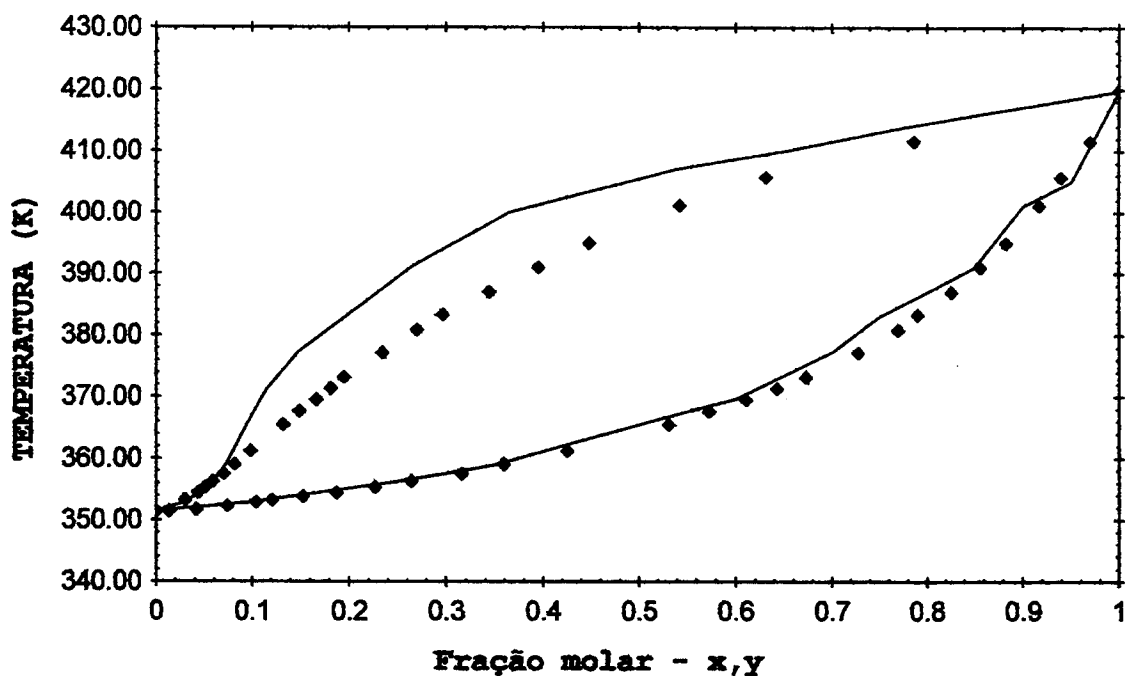


FIGURA 5.7.c Curva temperatura *versus* fração molar de butil-propanoato, para o sistema etanol/butil-propanoato com dados isobáricos ($P=1,0132$ bar), apresentando (◆) dados experimentais [GONZALES & ORTEGA, 1995] e (—) dados preditos pelo UNIFAC.

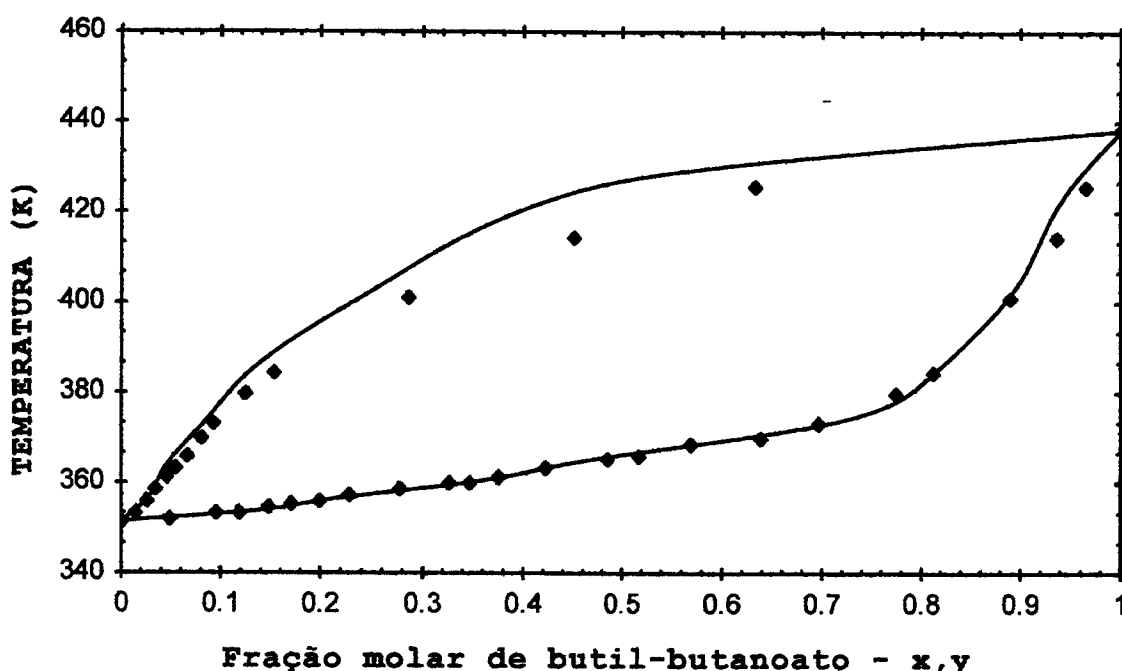


FIGURA 5.7.d Curva temperatura *versus* fração molar de butil-butanoato, para o sistema etanol/butil-butanoato com dados isobáricos ($P=1,0132$ bar), apresentando (◆) dados experimentais [GONZALES & ORTEGA, 1995] e (—) dados preditos pelo UNIFAC.

O algoritmo apresentou resultados que podem ser considerados adequados para substâncias como terpenos e sesquiterpenos, com exceção dos sistemas envolvendo p-cimeno e α -pineno; para ésteres os resultados obtidos, demonstram que se deve ter mais cuidado ao utilizar o programa computacional UNIFAC para gerar os dados pseudo-experimentais, e utilizá-lo com restrições; quanto maiores as diferenças estruturais, principalmente no que se refere a número de átomos de carbono na molécula, o algoritmo apresentou desempenho cada vez mais fraco. Finalmente, para substâncias consideradas de alta polaridade, como os álcoois, os resultados se apresentaram inadequados, principalmente quando a pressão de trabalho é alta, indicando que para este tipo de substâncias o algoritmo não é adequado. Portanto deve-se no último caso, utilizar apenas dados experimentais, quando estes existirem.

5.3 Aplicação da metodologia UNIFAC para sistemas ternários a baixa pressão.

A aplicação da metodologia para sistemas a alta pressão, necessita comprovação de que realmente todos os parâmetros entre os componentes destes sistemas são necessários para a predição da solubilidade do óleo essencial/aroma em CO₂ e contribuem para melhorá-la. Para esta finalidade selecionou-se dados de equilíbrio líquido - vapor a baixa pressão (sistemas binários) e dados de equilíbrio líquido - vapor a alta pressão (sistemas ternários), ajustando os parâmetros de interação para os sistemas a baixa pressão através do modelo UNIFAC, ou utilizando os coeficientes de atividade experimentais, para cálculo da fugacidade. Para isto considerou-se a fugacidade no estado padrão como sendo igual à pressão de vapor dos componentes puros, quando utilizou-se o coeficiente de atividade experimental; considerou-se ainda o fator de Poynting igual a um, assumindo-se pressões muito baixas.

Nos casos estudados utilizou-se a equação de Peng-Robinson (EOS), empregando a regra de mistura quadrática com dois parâmetros de interação binária. Obteve-se dados pseudo-experimentais, aplicando o programa computacional UNIFAC, e a partir destes dados calcularam-se parâmetros de interação binária com o programa computacional COEFUGN. Os parâmetros de interação binária foram empregados na equação de estado de Peng-Robinson. Para estes testes preliminares utilizamos os sistemas apresentados na Tabela 5.7, envolvendo o CO₂, alguns componentes polares (água e etanol) e fracamente polares (citral e limoneno).

TABELA 5.7 : Sistemas estudados.

Sistema	Fonte	Algoritmos usados
CO ₂ - etanol-água	Hirotoshi <i>et al</i> [1993]	PENGR
CO ₂ - etanol	Suzuki & Sue [1990]	CPARTEST
CO ₂ -água	Takenduchi & Kennedy [1964]	CPARTEST
etanol-água	Kurihara <i>et al</i> [1995]	UNIFAC,COEFUGN

Os parâmetros de interação obtidos para os sistemas binários envolvidos são apresentados na Tabela 5.8.

TABELA 5.8: Parâmetros de interação binária, calculados para os binários que compõem o sistema ternário CO₂-etanol-água.

Sistema	K _{aij}	K _{bij}	F. Objetivo	Programa
CO ₂ -etanol	0,08625	0,0	6,52	CPARTEST
CO ₂ -água	-0,0328	0,0	1,67	CPARTEST
etanol-água	0,09979	0,0784	131,16	CPARTEST
	0,08000	0,1755	0,0857	COEFUGN

O resultado obtido da aplicação dos parâmetros na equação de estado de Peng-Robinson para o sistema CO₂-etanol-água, foram calculados pela diferença entre a fração molar experimental e a fração molar calculada, sendo: método \Rightarrow UNIFAC EOS

$$\Delta y \Rightarrow 0,2486 \quad 0,2486$$

Na figura 5.8, o gráfico representa a fração molar da fase leve *versus* fração molar da fase pesada, permitindo visualizar o resultado obtido utilizando os parâmetros binários calculados na temperatura de 373 K, e na Figura 5.9 apresentam-se dados obtidos para a temperatura de 383 K.

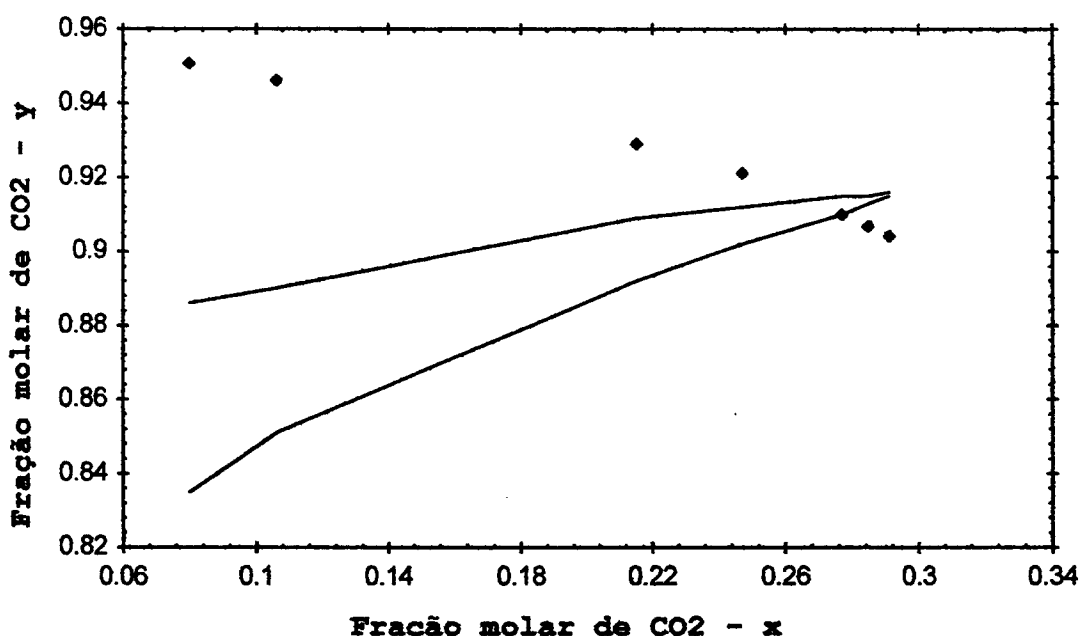


FIGURA 5.8 Diagrama fração molar da fase pesada x fração molar da fase leve para o sistema CO₂-etanol-água, na temperatura de 373 K e pressão de 99,05 bar, apresentando (♦) dados experimentais, dados calculados por:

— equação de Peng-Robinson, com um parâmetro de interação
----- UNIFAC

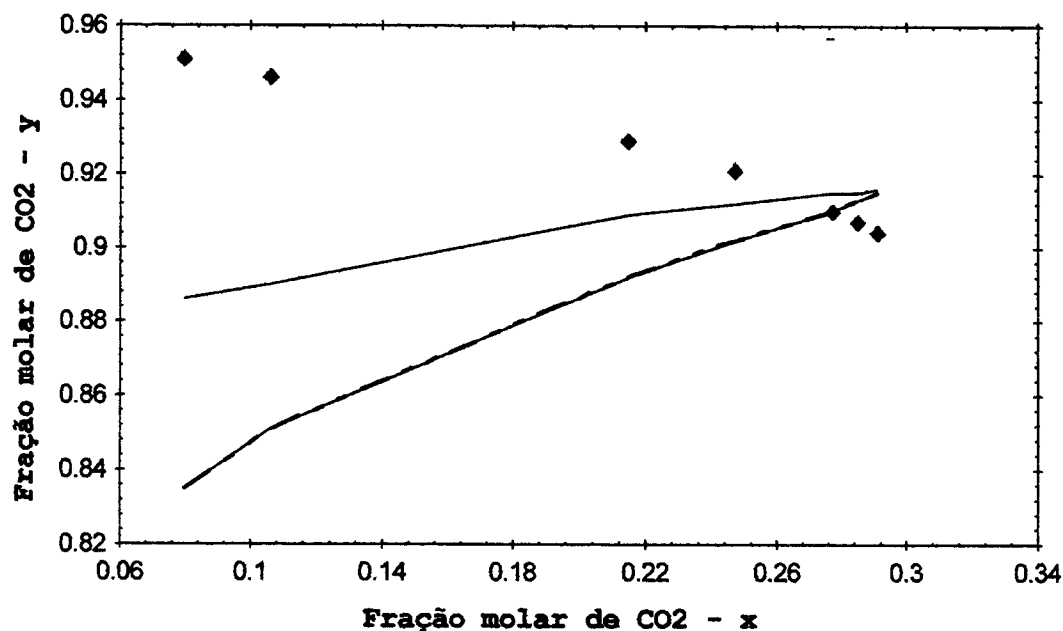


FIGURA 5.9 Diagrama de equilíbrio fração molar da fase leve x fração molar da fase pesada para o sistema CO₂ - etanol - água, na temperatura de 383 K e pressão de 99,05 bar, , apresentando (♦) dados experimentais, dados calculados por:

- equação de Peng-Robinson, com um parâmetro de interação binária
- · · — equação de Peng-Robinson com dois parâmetros de interação binária
- - - UNIFAC

Numéricamente, os resultados são iguais, ou seja a inclusão dos parâmetros de interação binária entre água e etanol, não influiram no cálculo da composição da fase leve, o que demonstra que o fato do CO₂ estar presente em grandes quantidades nesta fase, faz com que a inclusão deste parâmetro não seja tão crítico neste caso. Porém a influência para o cálculo da fase pesada é bastante evidente. A explicação pode estar também na alta polaridade dos componentes do sistema etanol - água, e a diferença entre as propriedades críticas da água e do etanol, dificultando a representação quando utiliza-se a equação de estado clássica. Concluiu-se que os parâmetros entre os componentes que não incluem o CO₂ exercem influência negativa sobre o resultado final na predição do equilíbrio líquido - vapor de misturas multicomponentes.

Capítulo 5- RESULTADOS E DISCUSSÃO

O outro sistema ternário estudado preliminarmente foi CO₂-limoneno-citral, que é formado por componentes com polaridade menos acentuada e que fazem parte dos óleos essenciais, objetivo deste trabalho. Na figura 5.10 podemos observar os resultados obtidos com a equação de estado de Peng-Robinson aplicada para o sistema, incluindo somente os parâmetros de interação binária para os sistemas binários que incluem o CO₂, e incluindo os parâmetros obtidos para todos os sistemas binários que formam o sistema ternário em questão. Pudemos observar que a inclusão dos parâmetros de interação binária obtidos através da predição dos dados de equilíbrio para o sistema limoneno - citral usando o programa computacional UNIFAC, melhorou a predição.

Os parâmetros de interação binária utilizados para o cálculo constam da Tabela 5.9, e as propriedades críticas dos componentes estão nas Tabelas de 5.1 a 5.6.

TABELA 5.9: Parâmetros de interação binária para o sistema CO₂-limoneno-citral.

Sistema	K _{aij}	K _{bij}	F. Objetivo	Programa
CO ₂ -limoneno	0,000642	0,01364	6,5229	CPARTEST
CO ₂ -citral	-0,01512	-0,000016	6,6319	CPARTEST
limoneno-citral	0,05643	0,00830	4,2938	COEFUGN

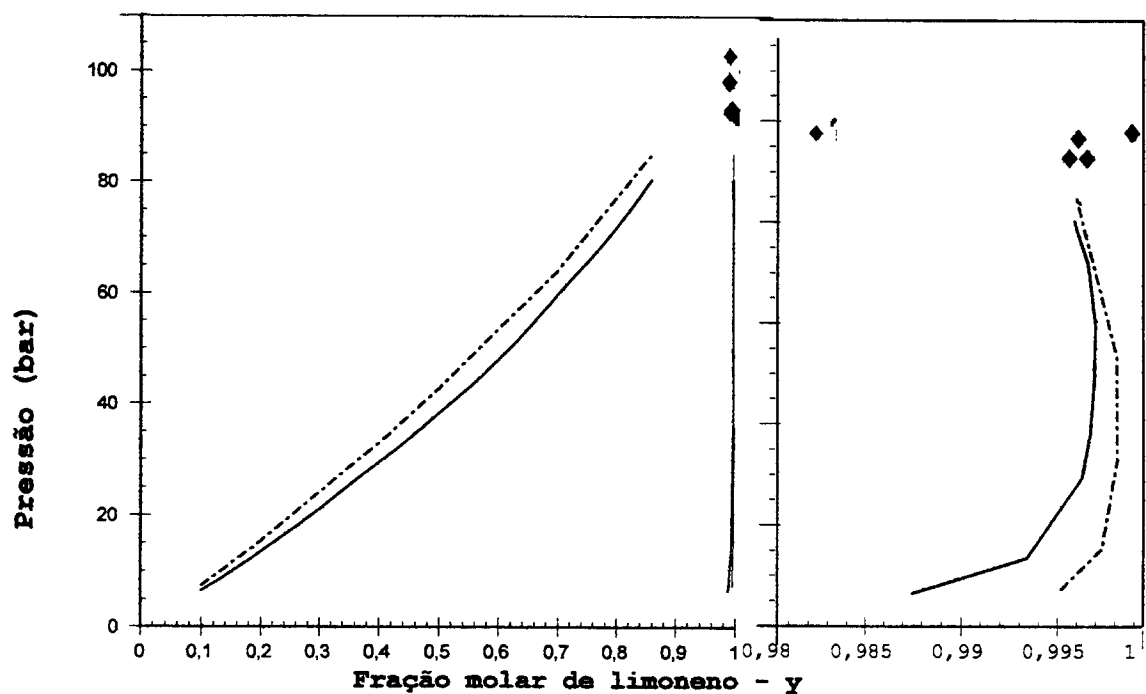


FIGURA 5.10 Diagrama Pressão-Fração molar de CO₂ calculado com a equação de Peng Robinson para o sistema CO₂-limoneno-citral, na temperatura de 323,2 K, com parâmetros de interação binária para os sistemas que contém somente o CO₂ (—), e com parâmetros para todos os sistemas binários que fazem parte do sistema em questão (----) e apresentando (◆) dados de experimentais de equilíbrio .

5.4 Solubilidade

5.4.1 Sistema óleo essencial de laranja.

A composição do óleo essencial de laranja tem sido determinada por vários autores, entre eles MEIRELES & NIKOLOV [1994], FERRER & MATHEWS [1987], MOSHONAS & SHAW [1996], ARAUJO *et al* [1994]. No trabalho de SANTANA (1996), a composição do óleo essencial de laranja foi utilizada para os cálculos de equilíbrio líquido - vapor do sistema formado

pelo CO₂ e os componentes selecionados do óleo de laranja para este estudo. Os dados experimentais de solubilidade para o óleo de laranja em CO₂, foram obtidos por SANTANA [1996]. Apresentam-se na Tabela 5.10, os parâmetros de interação binária calculados a partir de dados pseudo-experimentais obtidos com a aplicação do programa computacional UNIFAC para o cálculo do equilíbrio líquido - vapor e da solubilidade do óleo essencial de laranja em CO₂ supercrítico.

TABELA 5.10: Parâmetros de interação binária - óleo essencial de laranja.

Sistema	K _{aij}	K _{bij}
CO ₂ /D-Limoneno	0,0642	0,01364
CO ₂ /α-Pineno	0,0825	0,00001
CO ₂ /Etanol	0,0922	0,00000
CO ₂ /Octanol	0,0973	0,00002
CO ₂ /Linalol	0,0099	-0,07547
d-Limoneno/α-Pineno	0,0007	0,00001
d-Limoneno/Etanol	0,0260	-0,01803
d-Limoneno/Octanol	0,05236	0,02225
d-Limoneno/Linalol	0,09357	0,07203
α-Pineno/Etanol	0,03887	0,00843
α-Pineno/Octanol	0,05157	0,00001
α-Pineno/Linalol	0,04147	0,00207
Etanol/Octanol	-0,08000	-0,07025
Etanol/Linalol	-0,00308	0,00001
Octanol/Linalol	0,00001	0,00001

Para o cálculo do equilíbrio líquido - vapor e da solubilidade, selecionou-se cinco componentes principais, o limoneno, α-pineno, etanol, octanol e linalol, para os quais foram ajustados parâmetros de interação binária para a equação de Peng-Robinson usada com dois parâmetros. Os parâmetros de interação binária entre CO₂/comp (i) foram calculados utilizando dados experimentais encontrados na literatura, enquanto para o cálculo dos parâmetros entre componentes, utilizaram-se dados pseudo-experimentais gerados pelo UNIFAC. A função-objetivo empregada para o cálculo dos parâmetros entre CO₂/comp (i), é definida pela diferença entre as frações molares experimentais e calculadas, enquanto que para os parâmetros componente (i)/componente (j), a função objetivo é definida pela diferença entre as fugacidades

da fase líquida pseudo-experimental e calculada. Para este sistema, somente para o binário etanol/octanol foram encontrados dados experimentais de equilíbrio líquido-vapor, publicados por ARCE, BLANCO, & TOJO [1995].

Os resultados obtidos com estes parâmetros de interação binária são apresentados na Figura 5.11 e na Tabela 5.11. A solubilidade calculada utilizando unicamente os parâmetros de interação entre o CO₂/componente (*i*) apresentou valores que comparados aos experimentais determinados por SANTANA [1996] são menos adequados para descrever o comportamento do sistema quanto à solubilidade, demonstrado pelo valor da diferença total em -1,50. Quando utilizaram-se todos os parâmetros de interação binária, o desvio foi menor, igual a 0,3.

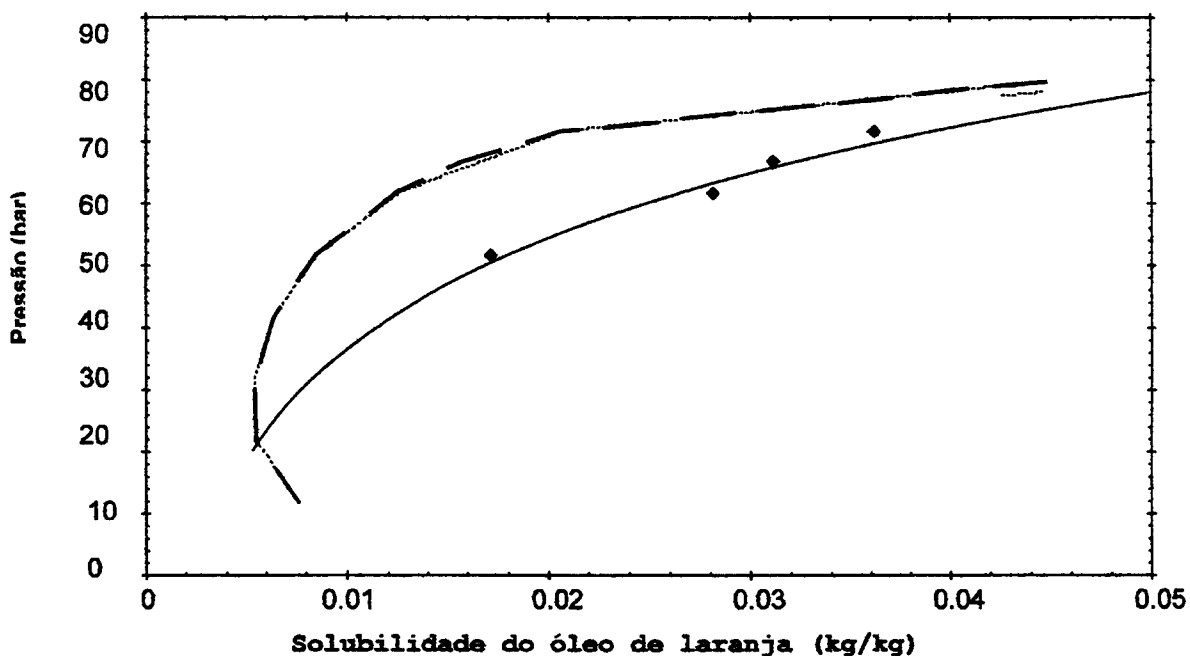


FIGURA 5.11 Curva de solubilidade para o sistema óleo essencial de laranja, calculada na temperatura de 308,15 K, com
(♦) dados experimentais obtidos por CARDOZO FILHO [1997]

- — solubilidade calculada com parâmetros CO₂ – componente (*i*)
- — CO₂ – componente (*I*) e limoneno - componente (*i*)
- — CO₂ – componente (*i*), limoneno – componente (*i*) e α -pineno – componente (*i*).

TABELA 5.11: Diferença calculada entre os valores de solubilidade do óleo de laranja em CO₂ supercrítico, experimental e calculada.

Pressão (bar)	Solub. calc. (g/g) *	Solub. calc. (g/g) **	Solub. calc. (g/g) ***	Solub. exp. (g/g)	Dif. relati va *	Dif. relati va **	Dif. relativa ***
50	0,000833	0,000837	0,001235	0,0017	-0,51	-0,51	-0,27
60	0,001225	0,001235	0,00205	0,0028	-0,56	-0,56	-0,27
70	0,002046	0,002052	0,004467	0,0036	-0,43	-0,43	0,24
Dif. Relativa						-1,50	1,50
Total						-0,30	

* dados calculados : equação de Peng-Robinson empregando parâmetros de interação binária entre CO₂/comp (i), demais parâmetros considerados zero.

** dados calculados: equação de Peng –Robinson empregando parâmetros de interação binária entre CO₂/comp (i) e comp. (i)/comp.(j), exceto para α-pineno (parâmetros iguais a zero).

*** dados calculados com a equação de Peng-Robinson empregando parâmetros de interação binária entre todos os componentes.

Pode-se visualizar o comportamento do sistema na Figura 5.11, onde para cada situação pode-se observar a grande diferença ocasionada pela utilização dos parâmetros de interação binária entre cada componente. O maior desvio foi causado pela inclusão dos parâmetros entre limoneno/comp. (i), o que já seria esperado, tendo em vista que o limoneno é o principal componente do óleo de laranja, correspondendo a aproximadamente 90% em peso do óleo. A inclusão dos parâmetros de interação binária entre todos os componentes considerados na mistura, como pretendeu-se neste trabalho, e ainda com o cálculo dos parâmetros realizado utilizando os dados pseudo-experimentais, foi o fator responsável pela melhoria no cálculo da solubilidade de misturas em CO₂ pressurizado, mesmo utilizando uma regra de mistura simples como a regra de mistura quadrática empregada.

5.4.2 Óleo essencial de limão.

Os resultados obtidos com o óleo essencial de limão, aplicando a metodologia proposta, incluindo parâmetros binários entre todos os componentes da mistura, obtida pela extração com CO₂ supercrítico, são apresentados nas tabelas 5.13 e 5.14. Os parâmetros de interação binária são apresentados na Tabela 5.12. Na Tabela 5.13, pode-se visualizar a composição do óleo extraído a 323,15 K e 97,5 bar, comprovando-se que a utilização dos parâmetros entre todos os componentes tornou os resultados obtidos com a equação de estado de Peng-Robinson muito mais próximos dos resultados experimentais.

TABELA 5.12: Parâmetros de interação binária para os componentes do óleo essencial de limão.

SISTEMA	K _{aij}	K _{bij}
CO ₂ /limoneno	0,0642	0,01364
CO ₂ /citral	0,0399	0,000104
CO ₂ /terpineno	0,0	0,022836
CO ₂ /sabineno	0,2592	0,0352
limoneno/citral	0,12676	0,000001
limoneno/terpineno	0,00257	0,000354
limoneno/sabineno	-0,45938	0,00009
citral/terpineno	-0,35307	0,0000004
citral/sabineno	0,01554	0,00019
terpineno/sabineno	-0,04683351	0,048367

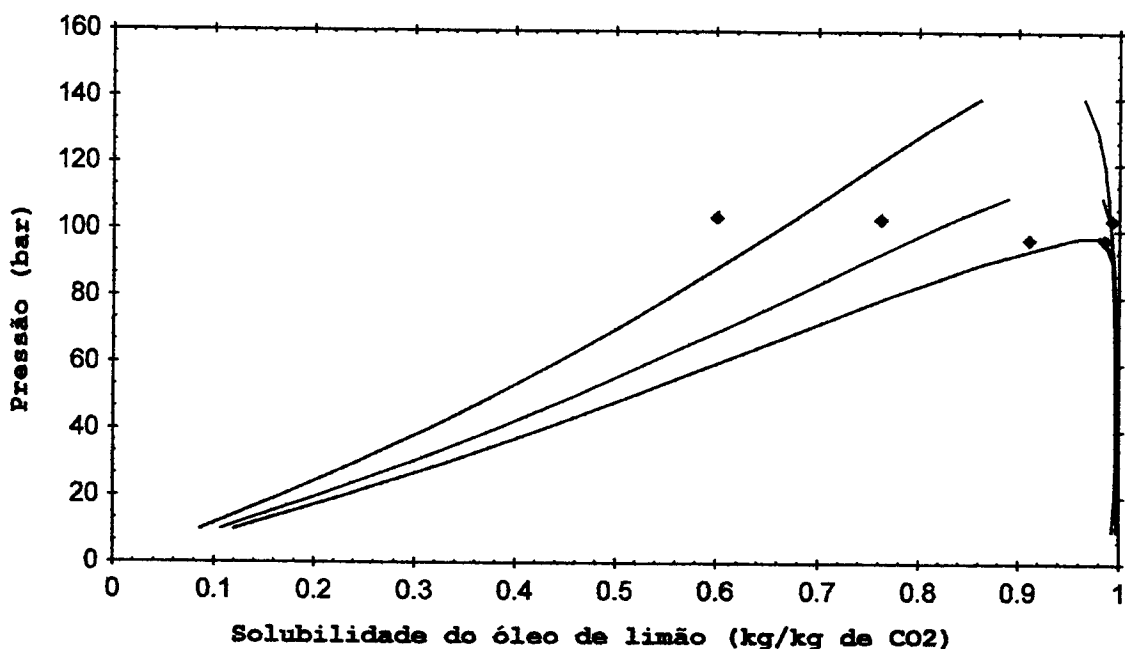
TABELA 5.13: Composição da fase pesada do óleo de limão extraída com CO₂ Supercrítico, calculada a 323,15 K e 97,5 bar.

Componente	Calculado - CO ₂ /comp(i)	Calculado – todos os componentes.	Experimental
CO ₂	0,43	0,901	0,88
d-Limoneno	0,37	0,06	0,08
Citral	0,08	0,019	0,02
Terpineno	0,06	0,01	0,01
Sabineno	0,06	0,01	0,01

TABELA 5.14: Composição da fase leve do óleo de limão extraída com CO₂ supercrítico, calculada a 323,15 K e 97,5 bar.

Componente	Calculado - CO ₂ /comp(i)	Calculado – todos os componentes.	Experimental
CO ₂	0,9955	0,9853	0,9848
d-Limoneno	0,0025	0,0105	0,0102
Citral	0,001	0,0022	0,0016
Terpineno	0,0002	0,001	0,0017
Sabineno	0,0008	0,001	0,0017

Na Figura 5.12, apresenta-se a solubilidade do óleo essencial de limão em CO₂ supercrítico.

**FIGURA 5.12** Curva de solubilidade para o sistema óleo essencial de limão, calculada nas temperaturas de 323,15 K, 333,15 K e 353,55 K apresentando (◆) dados experimentais, (---) 323,15 K, (—) 333,25 K e (—) 353,55 K.

Os resultados obtidos para a predição a 97,5 bar e 323,15 K apresentaram boa adequação ao valor experimental, não ocorrendo o mesmo, na mesma escala para os pontos preditos a

333,25 e 353,55 K. Os resultados obtidos com a metodologia usada, demonstram que os efeitos das interações entre os componentes, influí e muito na adequação dos resultados obtidos, pois mesmo os resultados que não foram considerados mais exatos, diferenciaram-se dos resultados obtidos utilizando somente os parâmetros de interação binária entre os binários solvente/soluto.

Uma questão que surge é a de que usando-se tantos parâmetros de interação binária na equação, estariam estes realmente descrevendo o comportamento real da mistura. Incluindo tantos parâmetros, a solubilidade poderia estar aparentemente sendo melhor calculada, mas sem descrever o comportamento real da mistura. Por este motivo, calculou-se qual seria a composição da mistura na fase pesada e na fase líquida, para determinar se os parâmetros usados na equação de estado, melhoram por aproximação da composição real, ou se é a coincidência de erros que se anulam que poderia levar a conclusões erradas. Na Tabela 5.13, através do cálculo da composição da mistura, constatou-se que com a metodologia proposta, a qualidade da predição é melhorada para a fase pesada, pois a composição do óleo é descrita com maior exatidão quanto ao teor de limoneno, citral, terpineno e sabineno dentro da mistura, quando comparada aos resultados obtidos usando somente os parâmetros de interação binária entre CO₂/componente (*i*).

Pode-se afirmar, com base nos resultados da Tabela 5.14, que o desvio no cálculo da solubilidade está concentrado principalmente no componente d-Limoneno, mas a diferença é alta para os outros componentes também.

Na Tabela 5.15, para o cálculo da solubilidade do sistema óleo de limão em CO₂ supercrítico a 323,15 K pode-se constatar a diferença causada pela inclusão dos parâmetros de interação binária entre todos os componentes. Não somente a fase pesada é descrita com maior exatidão com a inclusão dos parâmetros, também para a fase leve a melhoria na descrição do sistema é marcante. A qualidade da equação de estado para descrever o comportamento do sistema e predizer a solubilidade melhora sensivelmente, ficando mais próxima dos valores experimentais. A qualidade da predição assume cada vez mais caráter quantitativo ao invés de qualitativo. Pode-se constatar ainda que o emprego dos parâmetros binários entre o d-limoneno/

componente (*i*), causa as mudanças mais marcantes na qualidade da equação, pelo fato de que este componente está presente em maior proporção no óleo essencial.

TABELA 5.15: Diferença calculada entre os valores de solubilidade do óleo de limão em CO₂ supercrítico, experimental e calculada.

Pressão (bar)	Solub. Calc. (g/g) *	Solub. Calc. (g/g) **	Solub. Exp. (g/g)	Diferenças relativas*	Diferenças relativas**
97,5	0,021	0,0322	0,0438	0,5216	0,2652
103,1	0,012	0,0182	0,0242	0,1737	0,2486
103,8	0,028	0,0224	0,0181	-0,5571	-0,2344
Desvio médio Total				1,2524	0,7482

* dados calculados com a equação de Peng-Robinson e parâmetros de interação binária entre CO₂/comp (*i*).

** dados calculados com a equação de Peng –Robinson e parâmetros de interação binária entre CO₂/comp (*i*) e comp (*i*)/comp(*j*).

5.2.3 Solubilidade do aroma de maçã em CO₂ supercrítico.

O aroma de maçã é um sistema formado por componentes polares, principalmente álcoois e ésteres, fato que por si só já leva a prever dificuldades na utilização de equações de estado para o cálculo da solubilidade. Utilizamos para tanto a composição do aroma apresentada no Capítulo 4, obtida por BUNDSCUH *et al* (1994). No entanto, para uma grande maioria dos componentes apresentados não existem dados experimentais de equilíbrio publicados, exceção dos álcoois e alguns ésteres. Diante deste quadro, selecionou-se componentes para os quais obteve-se a quantidade mínima necessária de informações, os álcoois – propanol, butanol e pentanol e o éster, etil-acetato. E expressou-se suas concentrações de acordo com a composição conhecida. Os parâmetros de interação binária entre CO₂/componente (*i*), para os álcoois foram obtidos por MASSON & MEIRELES [1994] e os parâmetros entre componentes, calculados pela metodologia proposta, exceção feita aos parâmetros entre etil-acetato/butanol, calculados usando dados experimentais publicados por DARWISH & Al-KHATEIB [1996].

Utilizando os parâmetros obtidos por MASSON & MEIRELES [1994], calculou-se a solubilidade dos álcoois em CO₂ supercrítico. Os resultados obtidos são apresentados nas figuras 5.13, 5.14 e 5.15.

Os parâmetros de interação binária empregados são apenas qualitativos e não quantitativos para o cálculo da solubilidade do etanol, propanol e butanol em CO₂ supercrítico, sendo o desvio da ordem de -3,66 para o binário CO₂/ etanol, 1,20 para CO₂/butanol e -2,607 para o CO₂/propanol. Esta verificação foi realizada para atender ao objetivo visado, e comprovou-se que a equação de estado apresenta resultados qualitativos para substâncias polares como os álcoois.

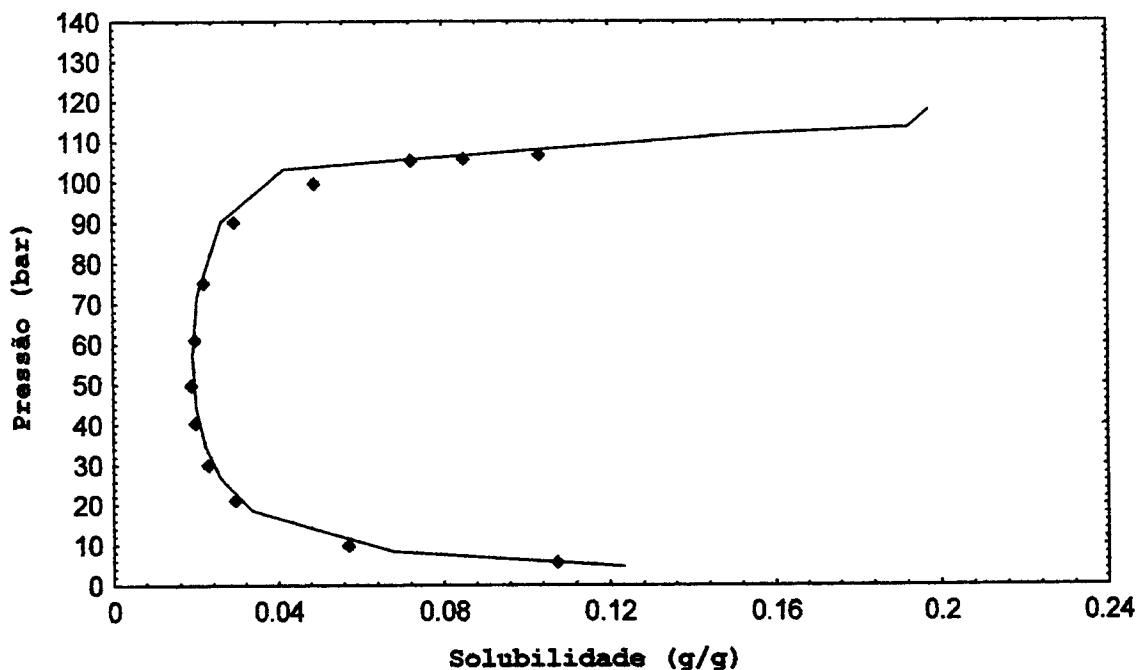


FIGURA 5.13 Solubilidade do etanol em CO₂ supercrítico na temperatura de 323,15 K: (♦) dados experimentais; (—) dados calculados com a equação de estado de Peng-Robinson, com dois parâmetros de interação.

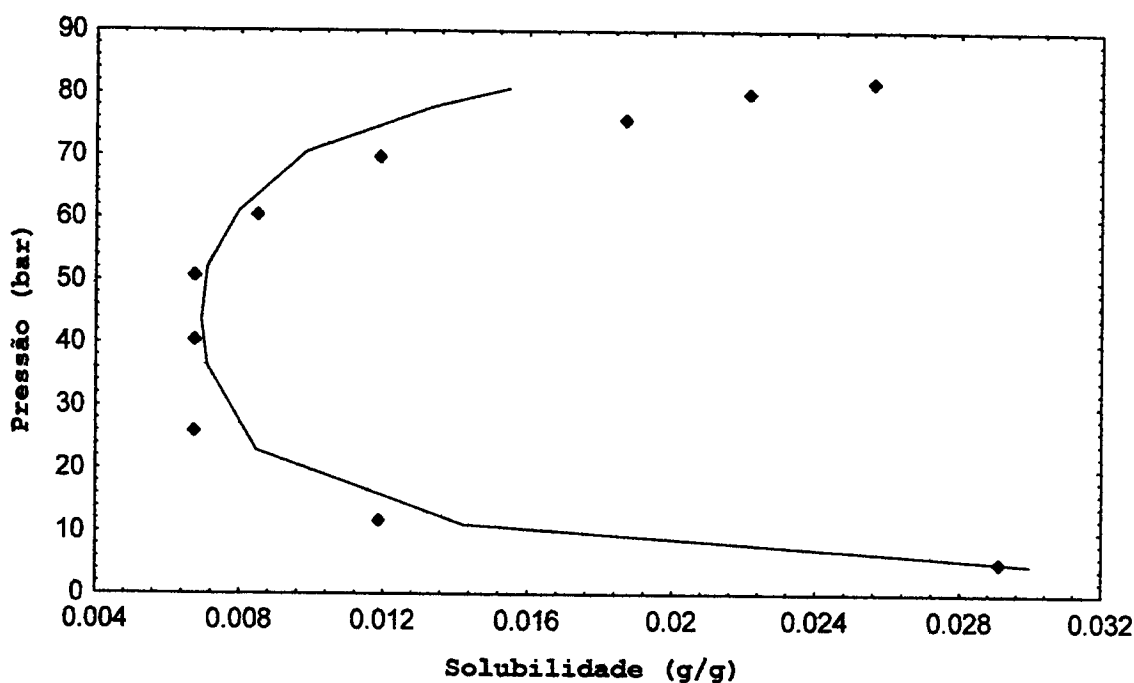


FIGURA 5.14 Solubilidade do butanol em CO₂ supercrítico na temperatura de 323,15 K : (◆) dados experimentais; (—) dados calculados com a equação de estado de Peng-Robinson, com dois parâmetros de interação.

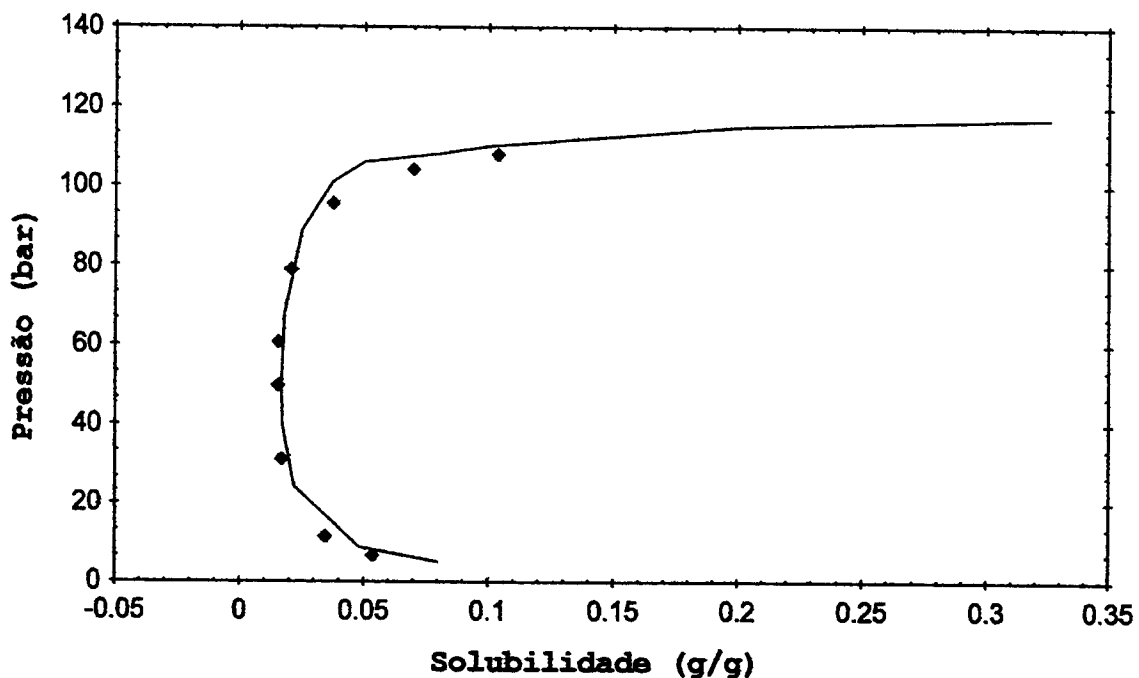


FIGURA 5.15 Solubilidade do propanol em CO₂ supercrítico na temperatura de 323,15 K : (◆) dados experimentais e (—) dados calculados com a equação de estado de Peng-Robinson, com dois parâmetros de interação.

Todos os parâmetros de interação binária para os componentes selecionados encontram-se na Tabela 5.17. Os resultados obtidos não foram adequados para o cálculo da solubilidade, como podemos verificar apenas visualizando a figura 5.16. Numa primeira tentativa, o programa para cálculo do ponto de orvalho utilizado, não apresentou convergência para nenhum ponto utilizando os parâmetros entre CO₂/componente (*i*) somente. Quando empregou-se o primeiro parâmetro de interação binária entre os componentes, a diferença foi grande, pois conseguimos a convergência do programa, e a cada parâmetro utilizado a convergência foi melhorada. É óbvio dos resultados, que para a descrição deste sistema não bastam apenas os componentes selecionados, necessitariamos conhecer no mínimo, dados experimentais de equilíbrio entre CO₂/comp(*i*) para um número maior de componentes, visando uma descrição adequada. No entanto pode-se constatar também que a inclusão do parâmetros de interação binária entre componentes tem grande influência sobre os resultados. Dos resultados preliminares obtidos com o sistema CO₂/etanol/água, confirma-se a limitação das equações empregadas e da regra de mistura, quanto a polaridade dos componentes.

TABELA 5.17: Parâmetros de interação binária entre os componentes do sistema aroma de maçã.

Sistema	k _{aij} (k _{bij} =0)	S(k _{aij} e k _{bij})	k _{aij} / k _{bij}	S (k _{aij} e k _{bij})
CO ₂ -propanol	0,0850000	5,6108	0,0840000 / 0,0000090	5,5986
CO ₂ -butanol	0,0900000	2,0258	0,0945000 / 0,0074250	2,0795
CO ₂ -pentanol	0,0985938	21,5084	0,0846543 / 0,0977844	14,6837
CO ₂ -etyl-acetato	-0,455666	5,4581	0,00720703/0,0000290	4,8745
Butanol/propanol	0,22997453	15,3202	0,21258731/-0,0231682	15,3177
Butanol/pentanol	n.c		n.c.	
Propanol/pentanol	n.c.		n.c.	
Etilacetato/butanol*	0,25579296	94,2585	0,255792916/0,1065055	97,9229

* Dados experimentais de equilíbrio isobárico obtidos por DARWISH & AL-KHATEIB [1996].

Apesar das limitações do UNIFAC e da equação de estado, quanto a componentes polares e misturas a baixas pressões, pode-se constatar a influência marcante que os parâmetros entre componentes traz para a descrição termodinâmica do sistema. Na Figura 5.16, apresenta-se o

resultado quanto ao cálculo da solubilidade do aroma de maçã em dióxido de carbono supercrítico. Os dados experimentais de solubilidade foram obtidos da literatura e a composição utilizada consta no Capítulo 4 – Material e métodos. A curva correspondente a utilização da equação de Peng-Robinson somente com os parâmetros de interação entre CO₂/componente (*i*) não consta dos resultados; isto deve-se ao fato de que o programa utilizado para o cálculo do ponto de orvalho não convergiu para nenhum ponto, não apresentando resultados. No entanto com a inclusão de parâmetros binários entre os componentes que não o CO₂, o programa apresentou uma grande melhoria, convergindo para concentrações na mistura para as quais o CO₂ predomina na fase gasosa, a concentrações acima de 0,9. O que expressa um resultado bastante próximo da realidade.

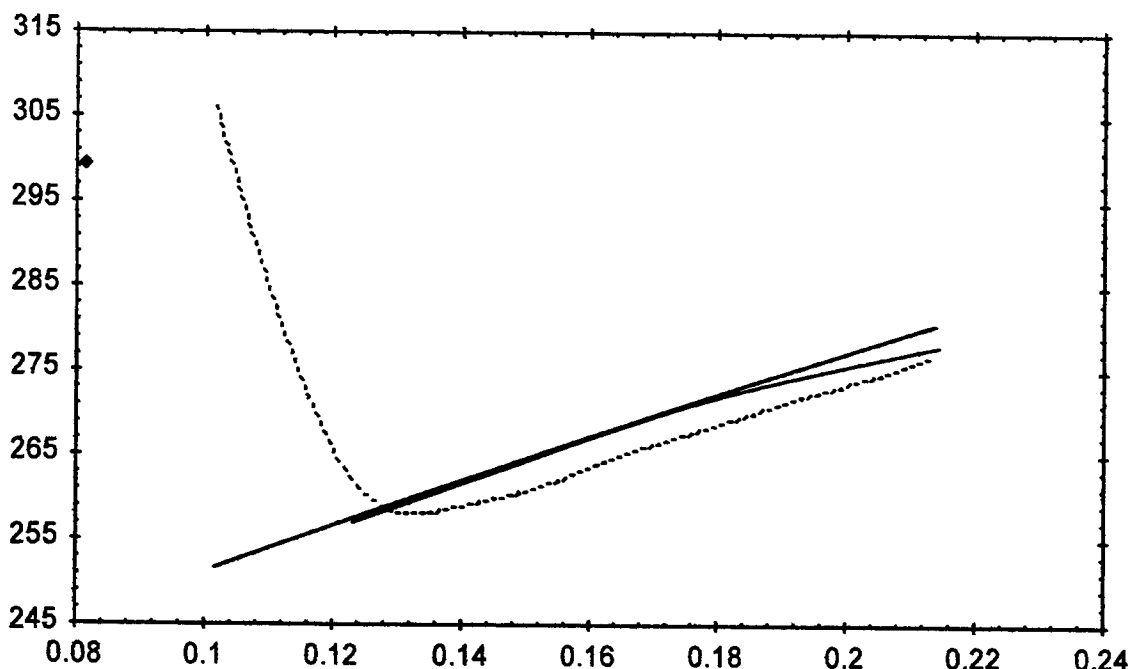


FIGURA 5.16 – Curvas de solubilidade para o aroma de maçã extraído com CO₂ supercrítico na pressão de 70 bar e temperatura de 298,15 K, calculadas para o sistema empregando os parâmetros de interação binária para os binários: (—) CO₂/comp(*i*) e butanol/comp(*i*); (—.) CO₂/comp(*i*), butanol/comp(*i*) e propanol/comp(*i*); (— —) CO₂/comp(*i*), butanol/comp(*i*), propanol/comp(*i*) e pentanol/comp(*i*) e (◆) dados experimentais.

Apesar da diferença entre o valor da solubilidade experimental e calculada ser alto, a diferença obtida e a melhoria na convergência da equação foi grande o suficiente para permitir concluir que a utilização de regras de mistura mais adequadas a componentes polares, seria de grande utilidade e traria a resultados mais próximos dos experimentais, usando a mesma metodologia aqui proposta.

CAPÍTULO 6 - CONCLUSÕES.

A necessidade de obter métodos confiáveis e com caráter quantitativo, capazes de predizer a solubilidade de um componente ou uma mistura em um determinado solvente, tem levado ao desenvolvimento de metodologias e novas equações de estado. No entanto nestas metodologias, a simplificação utilizada empregando somente os parâmetros solvente/comp.(i) e desprezando a interação entre comp (i)/comp (j), pelo fato de considerá-la importante apenas para a fase líquida, tem levado muitas vezes a rotular previamente métodos como não adequados, quando na realidade, um método realmente correto somente forneceria boas respostas, usando a real composição da mistura. Portanto o método que melhor descreve o comportamento de um sistema, com o maior numero de informações, deverá ser considerado o mais confiável.

Neste trabalho pôde-se constatar que a metodologia simplificada empregada, ao incluir maior numero de componentes, levou a respostas mais corretas, de modo que consegue-se:

- a) A composição da fase pesada influe e muito na resposta da equação de estado, quanto ao cálculo da solubilidade, sendo que os parâmetros de interação binária entre os componentes do aroma ou óleo essencial, devem ser levados em conta, principalmente para componentes presentes em grande quantidade na fase pesada.
- b) A utilização de métodos preditivos para a obtenção de dados pseudo-experimentais, foi adequada para a maioria dos sistemas estudados. Porém, é recomendável que ao trabalhar com sistemas formados por componentes polares, utilizem-se os dados experimentais, devido a dificuldade que estes métodos apresentam na correta descrição do comportamento termodinâmico destes.
- c) A regra de mistura escolhida para este trabalho, foi a quadrática, mais simples entre todas, e mostrou haver campo potencial de melhoria na sua aplicabilidade. E da mesma forma, esta

melhoria na performance deverá ser obtida ao aplicar outras regras de mistura, mais complexas, uma vez que o sistema estará sendo analisado sem aproximações, mas levando em conta a sua totalidade.

- d) A utilização dos dados pseudo-experimentais, para a predição da solubilidade correspondeu a uma alteração significativa da performance da equação de estado, equivalente na maioria dos casos a utilização dos dados experimentais de equilíbrio. Confirma-se aqui também a dificuldade de equações de estado e métodos de contribuição de grupo, quando aplicados a sistemas contendo componentes polares.

SUGESTÕES PARA TRABALHOS FUTUROS.

Como sugestão para trabalhos futuros, o estudo de sistemas empregando outras versões do método UNIFAC, modificado para altas pressões e temperaturas, e utilizando outros métodos matemáticos para o algoritmo empregado, como a máxima verossimilhança. Seria também adequado estudar outras equações de estado e diferentes regras de mistura, com as quais há a possibilidade de resultados muito promissores.

Capítulo 7 - BIBLIOGRAFIA

ADACHI, Y. ; SUGIE, H., Effects of mixing rules on phase equilibrium calculations., **Fluid Phase Equilibria**, 24(3) 353-362, 1985.

ADAMSKY F.A.; BECKMAN E.J. Inverse emulsion polymerization of acrylamide in supercritical carbon-dioxide, **Macromolecules**, 27(1) 312-314, 1994.

ANDERSON T.F.; ABRAMS D.S.; GRENS E.A. Evaluation of parameters for nonlinear thermodynamic models, **AIChE Journal**, 24(1), 20-29, 1978.

ARAUJO M.E.; MEIRELES M.A.A.; MARQUES D.M.; FERREIRA S.R.S. Prediction of the phase equilibria of orange essential oil with the Peng Robinson equation. **Annual AIChE Meeting**, San Francisco, California, 1994.

ARCE A.; BLANCO A.; TOJO J. Prediction of vapor-liquid equilibria of bynary systems using UNIFAC method: Comparison between OH and COOH groups in alcohols. **International Chemical Engineering**, 26(2), 278-290, 1986

AUCEJO A.; BURGUET M. C.; MONTÓN J. B.; MUÑOZ R.; SANCHOTELLO M.; VÁZQUEZ M. I. Vapor-liquid-equilibria for systems of 1-butanol with 2-methyl-1-butanol, 3-methyl-1-butanol, 2-methyl-2-butanol, and 3-methyl-2-butanol at 30 and 100 kPa. **Journal of Chemical Engineering Data**, 39(2), 271-274, 1994.

BARNER H.E.; ADLER S.B. Calculation of solution nonideality from binary T-x data. **Industrial Engineering Chemical Process Design Development**, 12(1), 71-75, 1973.

BERNARDO-GIL M.G.; RIBEIRO M.A. Vapor-liquid equilibria of binary mixtures of β -pinene with limonene and p-cymene at atmospheric pressure. **Fluid Phase Equilibria**, 85, 153-160, 1993.

BERTUCCO A.; FERMEGLIA M.; KIKIC, I. The modified Carnahan-Starling-van der Waals equation for supercritical fluid extraction. **Chemical Engineering Journal**, 32(1), 21-30, 1986.

BOMBEN J.L.; GUADANI D.C.; HARRIS J.G. Apple-flavoured thickener from apple peel. **Food Technology**, 25(11), 1108-1117, 1971

BUNDSCUH E.; BAUMANN G.; GIERCHNER K. Untersuchungen zur CO₂-hochdruckextraktion von aromastoffen aus reststoffen der apfelterarbeitung. **Deutsche Lebensmittel-Rundschau**, 84, 205-210, 1988.

CABEZAS J.L.; BÁRCENA L. A.; COCA J.; COCKREM M., Extraction of furfural from aqueous solutions using alcohols. **Journal of Chemical Engineering Data**, 33, 435-437, 1988.

CABRAL F.A. **Uso de equações cúbicas para estimativas de solubilidade de óleos essenciais e de seus componentes em dióxido de carbono.** Tese de Doutorado. FEA-DEA-UNICAMP, 1993

CALAME J.P.; STEINER R. CO₂ extraction in the flavor and perfumery industries. **Chemistry and Industry**, 19, 399-405, 1982.

- CARELLI A.A.; CRAPISTE G.H.; LOZANO J.E. Activity coefficients of aroma compounds in model solutions simulating apple juice. **Journal of Agricultural and Food Chemistry**, 39(9), 1636-1640, 1991.
- CARDOZO FILHO L.; WOLFF F.; MEIRELES M.A.A. High pressure phase equilibrium: prediction of essential oil solubility. **Ciência e Tecnologia de Alimentos**, 17(4), 485-488, 1997.
- COPPELA S.J.; BARTON P. Supercritical carbon dioxide of lemon oil. In SQUIRES T.G.; PAULATIS, M.E. Supercritical fluids. **Chemical Engineering principles and applications**, 1 ed., ACS Symposium series n°329, 1987.
- COUTSIKOS P.; KALOSPIROS N. S.; TASSIOS D. P. Capabilities and limitations of the Wong-Sandler mixing rules. **Fluid Phase Equilibria**, 108(1-2), 59-78, 1995.
- DAUBERT T.E.; DANNER R.P. **Data Compilation Tables of Properties of Pure Compounds**. American Institute of Chemical Engineers, New York, 1985.
- DARWISH N.A.; ALKHATEIB A.A. Isobaric vapor-liquid equilibria os the system ethyl acetate/n-butanol at 70,5 and 94,0 kPa. **Fluid Phase Equilibria**, 126(1), 105-113, 1996.
- DI GIACOMO G.; BRANDANI V.; DEL RE G.; MUCCIANTE V. Solubility of essential oil components in compressed supercritical carbon dioxide. **Fluid Phase Equilibria**, 52, 405-411, 1989.
- DIMICK P.S.; HOSKIN J.C. Review of apple flavor - state of the art. **CRC Critical Reviews in Food Science and Nutrition**, 18(4), 387-409, 1983.
- FREDENSLUND A.; GMEHLING J.; RASMUNSEN P. **Vapor-liquid equilibria using UNIFAC: a group contribution method**. Elsevier Ed., Amsterdam, 1977.

FERRER O.J.; MATTHEWS R.F. Terpene reduction in cold-pressed orange oil by frontal analysis displacement adsorption chromatography. **Journal of Food Science**, 52(2), 801-804, 1987.

FERREIRA S.R.S.; MEIRELES M.A.A.; CABRAL F.A. Extraction of essential oil of black pepper with liquid carbon dioxide. **Journal of Food Engineering**, 20(2), 121-133, 1993.

GANI R. Combined phase and reaction equilibria calculations using the UNIWAALS equation of state., **Fluid Phase Equilibria**, 53(2), 89-96, 1989.

GANI R.; TZOUVORAS N.; RASMUSSEN P.; FREDENSLUND, A.A. Prediction of gas solubility and vapor-liquid equilibria by group contribution. , **Fluid Phase Equilibria**, 47(1), 133-152, 1989.

GONZÁLEZ E.; ORTEGA J. Densities and isobaric vapor-liquid equilibria of butyl esters (methanoate to butanoate) with ethanol at 101,32 kPa. **Journal of Chemical Engineering Data**, 40, 1178-1183, 1995.

GUPTE P. A.; DAUBERT T. E. Extension of UNIFAC to high-pressure VLE using Vidal mixing rules. **Fluid Phase Equilibria**, 28(2), 155-170.

HEIDMANN R.F.; KOKAL S.L. Combined excess free energy models and equations of state. **Fluid Phase Equilibria**, 56, 17-37, 1990.

HIERRO M.T.G.; SANTA-MARIA G. Supercritical fluid extraction of vegetable and animal fats with CO₂ - a mini review. **Food Chemistry**, 45(3), 189-192, 1992.

HUBERT P.; VITZTHUM O.G. Fluid extraction of hops, spices, and tobacco with supercritical gases. **Angewandte Chemie-International Edition in English**, 17(10), 710-715M 1978.

HURON M. J.; VIDAL J. New mixing rules in simple equations of state for representing vapor-liquid equilibria of strongly nonideal mixtures. **Fluid Phase Equilibria**, 3, 255-271, 1979.

IWAI Y.; MOROTOMI T.; SAKAMOTO K.; KOGA Y.; ARAI Y. High pressure vapor-liquid equilibria for carbon dioxide+limonene. **Journal of Chemical Engineering Data**, 41, 951-952, 1996.

JOBACK in: REID R.C.; PRAUSNITZ J.M.; POLING B.E. **The properties of Gases and Liquids**, 4th ed. McGraw-Hill Co., New York, USA, 1987.

KALOSPIROS N. S.; TZOUVARAS N.; COUTSIKOS P.; TASSIOS D. P., Analysis of zero-reference-pressure EOS / GE models. **AIChE Journal**, 41(4), 928-937, 1995.

KALRA H.; CHUNG S.Y-K.; CHEN C.J. Phase equilibrium data for supercritical extraction of lemon flavors and palm oils with carbon dioxide. **Fluid Phase Equilibria**, 36(2), 263-278, 1987.

KAMLET M.J.; DOHERTY, R.M.; ABBOUD J.L.M.; ABRAHAM M.H. TAFT R.W. Solubility: A new look, **Chemtechnology**, 566-576, 1986.

KURIHARA K.; NAKAMICHI M.; KOJIMA K. Isobaric vapor-liquid-equilibria for methanol+ethanol+water and the 3 constituent binary-systems. **Journal of Chemical and Engineering Data**, 38(3), 446-449, 1993.

LEET W.A.; LIN H.M.; CHAO K.C. Augmented BACK equation of state: Polar fluid mixtures. **AIChE Journal**, 34, 1773- 1779, 1988b.

LEU A.D.; CHUNG S.Y.-K.; ROBINSON D.B. The equilibrium phase properties of (carbon dioxide+methanol). **Journal of Chemical Thermodynamics**, 23, 979-985,1991.

LUCAS K. Calculation of properties of gases and liquids by molecular theory: State of knowledge and application in chemical engineering. **International Chemical Engineering**, 18(3), 408-417, 1978.

MASSON M.L; MEIRELES M.A.A. Aplicação da equação de Peng-Robinson a sistemas binários contendo substâncias polares-alcanóis. **Ciência e Tecnologia de Alimentos**, 14_(supl.), 118-131, 1994.

MATHIAS P.M.; COPEMAN T.W. Extension of the Peng-Robinson equation of state to polar fluids and fluid mixtures. **Fluid Phase Equilibria**, 13(1), 91-108,1983.

MATHIAS P.M.; KLOTZ H.C.; PRAUSNITZ J.M. Equation-of-state mixing rules for multicomponent mixtures: the problem of invariance. **Fluid Phase Equilibria**, 67(1), 31-44, 1991.

MOLLERUP J. A note on the derivation of mixing rules from excess Gibbs energy models. **Fluid Phase Equilibria**, 25(3), 323-327, 1986.

Capítulo 7 - BIBLIOGRAFIA

MOSHONAS M.G.; SHAW P.E. Changes in composition of volatile components in aseptically package orange juice during storage. **Journal of Agricultural & Food Chemistry**, 37(1), 157-161, 1989.

NADAIS M.H.; BERANRDO-GIL M.G. Vapour-liquid equilibria of α -pinene + limonene at reduced pressures. **Fluid Phase Equilibria**, 91(2), 321-330, 1993.

NELDER J.A.; MEAD R.A. A simplex method for function. **Computation Journal**, 7, 308-313, 1965

NITTA T.; TUREK E.A.; GREENKORN R.A.; CHAO K.C. Group contribution molecular model of liquids and solution. **AIChE Journal**, 23(2), 144-160, 1977.

PANAGIOTOPoulos A.Z.; REID R.C. Multiphase high-pressure equilibria in ternary aqueous systems. **Fluid Phase Equilibria**, 29(5), 525-534, 1986.

PENELOUX A.; RAUZY E.; FREZE R. A consistent correction for Redlich-Kwong-Soave volumes. **Fluid Phase Equilibria**, 8(1), 7-23, 1982.

PENG D.Y.; ROBINSON, D.B. A new two-constant equation of state. **Industrial Engineering Chemistry Fundamentals**, 15, 59-64, 1976.

PERRY M.B.; WHITE C.M. Correlations of molecular connectivity with critical volume and acentricity. **AIChE Journal**, 33(1), 146-151, 1987.

RODRIGUES M.F.; BERNARDO-GIL, M.G. Vapor-liquid equilibrium of binary mixtures of limonene with α -pinene and β -pinene at reduced pressures. **Journal of Chemical Engineering Data**, 40, 1193-1195, 1995.

RICHTER M.; SOVOVÁ H. The solubility of two monoterpenes in supercritical carbon dioxide. **Fluid Phase Equilibria**, 85(2), 285-300, 1993.

SANDLER S.I. **Chemical and Engineering Thermodynamics**. Wiley ed. New York, 1989.

SANTANA H.B. **Desenvolvimento de metodologia para determinação da solubilidade de óleos essenciais em dióxido de carbono pressurizado**. Tese de Mestrado. FEA-DEA-UNICAMP, 1996.

SCHULTZ W.G.; RANDALL J.M. Liquid carbon dioxide for selective aroma extraction. **Food Technology**, 24, 1282-1286, November, 1970.

SCHWARTZENTRUBER J.; RENON H. Development of a new cubic equation of state for phase equilibrium calulations. **Fluid Phase Equilibria**, 52(1), 127-134, 1989.

SCHWARTZENTRUBER J.; RENON H. Extension of unifac to high-pressures and temperatures by use of a cubic equation of state. **Industrial & Engineering Chemistry Research**, 28(7), 1049,1055, 1989.

SCHWARTZENTRUBER J.; GALIVEL-SOLASTIOUK F.; RENON H. Representation of the vapor-liquid equilibrium of ternary system carbon dioxide-propane-methanol and its binaries with a cubic equation of state: a new mixing rule. **Fluid Phase Equilibria**, 38(3), 217-226, 1987.

SCHWARTZENTRUBER J.; PONCE-RAMIREZ L.; RENON H. Prediction of the binary parameters of a cubic equation of state from a group-contribuition method. **Industrial Engineering Chemical Process Design and Development**, 25, 804-809, 1986. SHAW P.E.; COLEMAN R.L. Recovering volatile flavor compounds from orange essence oils. **Proceeding of the Florida State Horticultural Society**, 85, 239-242, 1972.

SOAVE G. Improvement of the van der Waals equation of state. **Chemical Engineering Science**, 39(2), 357-369, 1984.

SORRENTINO F.; VOILLEY A.; RICHON D. Activity coefficients of aroma compounds in model food systems. **AIChE Journal**, 32(12), 1988-1993, 1986.

STABY A.; MOLLERUP J. Mutual solubilities of mono alcohols and carbon dioxide – a review of experimental data. **Fluid Phase Equilibria**, 89(2), 351-381, 1993.

STRYJEK R.; VERA J.H. A improved cubic equation of state. **ACS Symposium Series**, 300, 560-570, 1986.

SUSIAL P.; ORTEGA J. Isobaric vapor-liquid equilibria for methyl propanoate + isobutyl alcohol. **Journal of Chemical Engineering Data**, 38, 434-436, 1993.

SUSIAL P.; ORTEGA J. Isobaric Vapor-Liquid Equilibria in the system methyl propanoato+ n-butil álcool. **Journal of Chemical Engineering Data**, 38, 647-649, 1993.

TUFEU, R., SUBRA, P., & PLATEAUX, C., Contribution to the experimental determination of the phase diagrams of some (carbon dioxide + a-terpene) mixtures., Journal of Chemical Thermodynamics, 1993, 25, 1219-1228.

TAMIR A.; WISNIAK J. Vapor-liquid-equilibria of isobutanol/n-butanol and isopropanol/sec-butanol systems. **Journal of Chemical and Engineering Data**, 20(4), 391-392, 1975.

TARAKAD R.R.; DANNER R.P. Improved corresponding states method for polar fluids: Correlation of second virial coefficients. **AIChE Journal**, 23(5), 685-695, 1977.

TWU H. C.; COON J. E.; BLUCK D. Equations of state using na extended Twu-Coon mixing rule incorporating UNIFAC for high temperature and high pressure phse equilibrium predictions. **Fluid Phase Equilibria**, 139, 1-13, 1997.

VALDERRAMA J.O.; DE LA PUENTE H.; IBRAHIM A. A. Generalization of a polar-fluid Soave-Redlich-Kwong equation of state. **Fluid Phase Equilibria.**, 93(4), 377-383, 1994.

VALDERRAMA J.O. A generalized Patel-Teja equation of state for polar and nonpolar fluids and their mixtures. **Journal of Chemical Engineering of Japan**, 23(1), 87-91, 1990.

VAN NESS C.J.; NEUMANN A.W.; OMENYI S.N.; ABSOLOM D.R. Role of repulsive van der Waals interactions in various separation methods. **Separation & Purification Methods**, 7(2), 245-272, 1978.

VORA J.D.; JOHNSON J.D. Natural citrus essences. **Food Technology**, 35(12), 92-97, 1983.

WAGNER Z.; PAVLÍCEK D. Vapour-liquid equilibrium in the carbon dioxide-p-cymene system at high pressure. **Fluid Phase Equilibria**, 90(2), 135-141, 1993.

WATSON P.; CASCELLA M.; MAY D.; SALERNO S.; TASSIOS D. Prediction of vapor-pressures and saturated molar volumes with a simple cubic equation of state - 2 - The van der Waals-711 EOS. **Fluid Phase Equilibria**, 27(1), 35-52, 1986.

WINNICK J. Thermodynamics of simple polar liquids. **Industrial Engineering Chemical Fundamental**, 11(2), 239-243

APÊNDICE A -

**CONJUNTOS DE DADOS PSEUDO-EXPERIMENTAIS
GERADOS PELO EMPREGO DO ALGORITMO UNIFAC, PARA
CÁLCULO DE PARÂMETROS DE INTERAÇÃO BINÁRIA.**

DADOS PSEUDO-EXPERIMENTAIS GERADOS PELO MODELO DE CONTRIBUIÇÃO DE GRUPO UNIFAC - SISTEMA d-LIMONENO (1) + α -PINENO (2).

P (bar)	T (K)	x(1)	y(1)	$\gamma(1)$	$\gamma(2)$
0,0139	313,15	0,1	0,0394	1,0004	
0,0130	313,15	0,2	0,0838	1,0018	17,504
0,0121	313,15	0,3	0,1345	1,0039	22,834
0,0115	313,15	0,4	0,1933	1,0069	25,936
0,0102	313,15	0,5	0,2628	1,0107	26,854
0,0092	313,15	0,6	0,3465	1,0152	25,626
0,0083	313,15	0,7	0,4501	1,0205	22,301
0,0073	313,15	0,8	0,5819	1,0266	16,885
0,0063	313,15	0,9	0,7565	1,0334	9,444
0,0232	323,15	0,1	0,0416	1,0340	1,0004
0,0217	323,15	0,2	0,0883	1,0265	1,0017
0,0202	323,15	0,3	0,1414	1,0200	1,0039
0,0187	323,15	0,4	0,2025	1,0145	1,0068
0,0176	323,15	0,5	0,2742	1,0099	1,0105
0,0156	323,15	0,6	0,3599	1,0063	1,0150
0,0141	323,15	0,7	0,4646	1,0035	1,0202
0,0125	323,15	0,8	0,5961	1,0015	1,0262
0,0109	323,15	0,9	0,7672	1,0004	1,0329
0,0371	333,15	0,1	0,0438	1,0335	1,0004
0,0348	333,15	0,2	0,0927	1,0261	1,0017
0,0325	333,15	0,3	0,1480	1,0197	1,0038
0,0302	333,15	0,4	0,2114	1,0142	1,0067
0,0279	333,15	0,5	0,2851	1,0098	1,0124
0,0255	333,15	0,6	0,3724	1,0062	1,0147
0,0231	333,15	0,7	0,4781	1,0034	1,0199
0,0207	333,15	0,8	0,6091	1,0015	1,0258
0,0182	333,15	0,9	0,7768	1,0004	1,0323
0,0576	343,15	0,1	0,0459	1,0329	1,0004
0,0542	343,15	0,2	0,0970	1,0256	1,0017
0,0507	343,15	0,3	0,1544	1,0194	1,0037
0,0473	343,15	0,4	0,2198	1,0140	1,0066
0,0438	343,15	0,5	0,2954	1,0096	1,0102
0,0402	343,15	0,6	0,3842	1,0061	1,0145
0,0367	343,15	0,7	0,4906	1,0034	1,0196
0,0330	343,15	0,8	0,6211	1,0015	1,0254
0,0294	343,15	0,9	0,7854	1,0004	1,0319

DADOS PSEUDO-EXPERIMENTAIS GERADOS PELO MODELO DE CONTRIBUIÇÃO DE GRUPO UNIFAC - SISTEMA d-LIMONENO (1) + ETANOL (2).

P (bar)	T (K)	x(1)	y(1)	γ (1)	γ (2)
0,17819	313,15	0,1	0,0228	7,6621	1,0402
0,17499	313,15	0,2	0,0269	4,4252	1,1445
0,17500	313,15	0,3	0,0269	2,9565	1,3080
0,17673	313,15	0,4	0,0261	2,1743	1,5424
0,17892	313,15	0,5	0,0254	1,7115	1,8753
0,17997	313,15	0,6	0,0251	1,4186	2,3585
0,17703	313,15	0,7	0,0257	1,2264	3,0912
0,16374	313,15	0,8	0,0286	1,1010	4,2763
0,12351	313,15	0,9	0,0397	1,0265	6,3774
0,29421	323,15	0,1	0,0235	7,4259	1,0398
0,28876	323,15	0,2	0,0278	4,3100	1,1431
0,28845	323,15	0,3	0,0277	2,8905	1,3047
0,29080	323,15	0,4	0,0273	2,1331	1,5357
0,29361	323,15	0,5	0,0267	1,6849	1,8618
0,29411	323,15	0,6	0,0266	1,4015	2,3314
0,28741	323,15	0,7	0,0276	1,2160	3,0347
0,26305	323,15	0,8	0,0311	1,0957	4,1515
0,19512	323,15	0,9	0,0441	1,0249	6,0763
0,46796	333,15	0,1	0,0242	7,1985	1,0394
0,45903	333,15	0,2	0,0288	4,1990	1,1417
0,45801	333,15	0,3	0,0291	2,8271	1,3014
0,46093	333,15	0,4	0,0286	2,0937	1,5288
0,46412	333,15	0,5	0,0281	1,6595	1,8482
0,46297	333,15	0,6	0,0282	1,3853	2,3042
0,44953	333,15	0,7	0,0295	1,2063	2,9791
0,40733	333,15	0,8	0,0337	1,0908	4,0318
0,29751	333,15	0,9	0,0487	1,0234	5,7983
0,71976	343,15	0,1	0,0248	6,9801	1,0390
0,72561	343,15	0,2	0,0297	4,0921	1,1402
0,70324	343,15	0,3	0,0302	2,7661	1,2980
0,70644	343,15	0,4	0,0298	2,0559	1,5219
0,70939	343,15	0,5	0,0295	1,6354	1,8345
0,70470	343,15	0,6	0,0299	1,3700	2,2771
0,67997	343,15	0,7	0,0316	1,1972	2,9245
0,61027	343,15	0,8	0,0365	1,0863	3,9171
0,43949	343,15	0,9	0,0536	1,0220	5,5416

DADOS PSEUDO-EXPERIMENTAIS GERADOS PELO MODELO DE CONTRIBUIÇÃO DE GRUPO UNIFAC - SISTEMA d-LIMONENO (1) + n- OCTANOL (2).

P (bar)	T (K)	x(1)	y(1)	γ (1)	γ (2)
0,00247	313,15	0,1	0,5482	2,5503	1,0088
0,00334	313,15	0,2	0,6945	2,1827	1,0370
0,00394	313,15	0,3	0,7625	1,8873	1,0887
0,00436	313,15	0,4	0,8022	1,6488	1,1711
0,00466	313,15	0,5	0,8291	1,4561	1,2968
0,00488	313,15	0,6	0,8500	1,3012	1,4887
0,00504	313,15	0,7	0,8691	1,1788	1,7901
0,00518	313,15	0,8	0,8912	1,0862	2,2919
0,00529	313,15	0,9	0,9254	1,0243	3,2119
0,00452	323,15	0,1	0,5139	2,4905	1,0087
0,00599	323,15	0,2	0,6652	2,1373	1,0364
0,00702	323,15	0,3	0,7379	1,8529	1,0870
0,00774	323,15	0,4	0,7812	1,6230	1,1676
0,00826	323,15	0,5	0,8111	1,4372	1,2902
0,00863	323,15	0,6	0,8346	1,2880	1,4759
0,00891	323,15	0,7	0,8564	1,1703	1,7648
0,00915	323,15	0,8	0,8816	1,0817	2,2388
0,00932	323,15	0,9	0,9199	1,0228	3,0870
0,00794	333,15	0,1	0,4818	2,4338	1,0085
0,01034	333,15	0,2	0,6368	2,0943	1,0357
0,01203	333,15	0,3	0,7137	1,8204	1,0854
0,01322	333,15	0,4	0,7605	1,5987	1,1642
0,01407	333,15	0,5	0,7932	1,4195	1,2835
0,01469	333,15	0,6	0,8193	1,2756	1,4633
0,01516	333,15	0,7	0,8439	1,1624	1,7403
0,01554	333,15	0,8	0,8723	1,0775	2,1884
0,01581	333,15	0,9	0,9147	1,0215	2,9725
0,01348	343,15	0,1	0,4521	2,3800	1,0084
0,01726	343,15	0,2	0,6094	2,0535	1,0351
0,01993	343,15	0,3	0,6901	1,7896	1,0838
0,02181	343,15	0,4	0,7401	1,5758	1,1609
0,02316	343,15	0,5	0,7756	1,4028	1,2770
0,02415	343,15	0,6	0,8043	1,2640	1,4510
0,02490	343,15	0,7	0,8316	1,1551	1,7167
0,02548	343,15	0,8	0,8632	1,0736	2,1407
0,02585	343,15	0,9	0,9097	1,0202	2,8675

DADOS PSEUDO-EXPERIMENTAIS GERADOS PELO MODELO DE CONTRIBUIÇÃO DE GRUPO UNIFAC - SISTEMA d-LIMONENO (1) + LINALOL (2).

P (bar)	T (K)	x(1)	y(1)	γ (1)	γ (2)
0,00160	313,15	0,1	0,7141	2,1564	1,0063
0,00246	313,15	0,2	0,8308	1,9226	1,0270
0,00312	313,15	0,3	0,8789	1,7207	1,0659
0,00363	313,15	0,4	0,9055	1,5466	1,1292
0,00402	313,15	0,5	0,9227	1,3973	1,2274
0,00433	313,15	0,6	0,9355	1,2706	1,3794
0,00458	313,15	0,7	0,9462	1,1653	1,6213
0,00480	313,15	0,8	0,9572	1,0820	2,0296
0,00503	313,15	0,9	0,9719	1,0237	2,7917
0,00292	323,15	0,1	0,6742	2,1154	1,0062
0,00439	323,15	0,2	0,8030	1,8893	1,0266
0,00552	323,15	0,3	0,8579	1,6938	1,0648
0,00640	323,15	0,4	0,8888	1,5254	1,1269
0,00708	323,15	0,5	0,9091	1,3810	1,2228
0,00761	323,15	0,6	0,9243	1,2587	1,3703
0,00806	323,15	0,7	0,9372	1,1574	1,6028
0,00845	323,15	0,8	0,9505	1,0776	1,9896
0,00857	323,15	0,9	0,9680	1,0223	2,6949
0,00514	333,15	0,1	0,6347	2,0762	1,0061
0,00755	333,15	0,2	0,7742	1,8574	1,0262
0,00942	333,15	0,3	0,8359	1,6683	1,0638
0,01087	333,15	0,4	0,8712	1,5053	1,1246
0,01200	333,15	0,5	0,8947	1,3657	1,2182
0,01290	333,15	0,6	0,9124	1,2476	1,3612
0,01365	333,15	0,7	0,9277	1,1501	1,5847
0,01432	333,15	0,8	0,9434	1,0736	1,9515
0,01499	333,15	0,9	0,9639	1,0210	2,6058
0,00876	343,15	0,1	0,5963	2,0388	1,0061
0,01256	343,15	0,2	0,7450	1,8271	1,0258
0,01554	343,15	0,3	0,8131	1,6440	1,0627
0,01785	343,15	0,4	0,8528	1,4863	1,1223
0,01967	343,15	0,5	0,8796	1,3513	1,3513
0,02112	343,15	0,6	0,9000	1,2917	1,3523
0,02331	343,15	0,7	0,9178	1,1433	1,5672
0,02342	343,15	0,8	0,9361	1,0699	1,9152
0,02449	343,15	0,9	0,9598	1,0198	2,5237

DADOS PSEUDO-EXPERIMENTAIS GERADOS PELO MODELO DE CONTRIBUIÇÃO DE GRUPO UNIFAC - SISTEMA α -PINENO (1) + ETANOL (2).

P (bar)	T (K)	x(1)	y(1)	γ (1)	γ (2)
0,18473	313,15	0,1	0,0617	7,6574	1,0359
0,18210	313,15	0,2	0,0710	4,5969	1,1323
0,18154	313,15	0,3	0,0767	3,1172	1,2880
0,18287	313,15	0,4	0,0749	2,2992	1,5166
0,18538	313,15	0,5	0,0724	1,8030	1,8499
0,18802	313,15	0,6	0,0704	1,4824	2,3502
0,18864	313,15	0,7	0,0700	1,2675	3,1454
0,18172	313,15	0,8	0,0736	1,1233	4,5273
0,14923	313,15	0,9	0,0928	1,0339	7,2819
0,30453	323,15	0,1	0,0604	7,4595	1,0357
0,30003	323,15	0,2	0,0738	4,4905	1,1316
0,29892	323,15	0,3	0,0755	3,0528	1,2860
0,30079	323,15	0,4	0,0740	2,2575	1,5122
0,30436	323,15	0,5	0,0719	1,7751	1,8404
0,30770	323,15	0,6	0,0704	1,4638	2,3296
0,30701	323,15	0,7	0,0706	1,2557	3,0985
0,29280	323,15	0,8	0,0752	1,1169	4,4104
0,23607	323,15	0,9	0,0969	1,0317	6,9447
0,48356	333,15	0,1	0,0592	7,2668	1,0355
0,47617	333,15	0,2	0,0726	4,3869	1,1308
0,47409	333,15	0,3	0,0746	2,9903	1,2840
0,47652	333,15	0,4	0,0733	2,2171	1,5077
0,48126	333,15	0,5	0,0716	1,7483	1,8307
0,48495	333,15	0,6	0,0705	1,4460	2,3086
0,48117	333,15	0,7	0,0714	1,2446	3,0514
0,45445	333,15	0,8	0,0771	1,1109	4,2963
0,36018	333,15	0,9	0,1014	1,0298	6,6304
0,74260	343,15	0,1	0,0582	7,0798	1,0353
0,73088	343,15	0,2	0,0716	4,2864	1,1301
0,72720	343,15	0,3	0,0738	2,9298	1,2820
0,73008	343,15	0,4	0,0729	2,1782	1,5031
0,73588	343,15	0,5	0,0715	1,7225	1,8208
0,73907	343,15	0,6	0,0708	1,4291	2,2873
0,72924	343,15	0,7	0,0723	1,2342	3,0044
0,68228	343,15	0,8	0,0791	1,1054	4,1854
0,53220	343,15	0,9	0,1061	1,0280	6,3381

DADOS PSEUDO-EXPERIMENTAIS GERADOS PELO MODELO DE CONTRIBUIÇÃO DE GRUPO UNIFAC - SISTEMA α -PINENO (1) + n-OCTANOL (2).

P (bar)	T (K)	x(1)	y(1)	γ (1)	γ (2)
0.00433	313,15	0,1	0.7433	2.1642	1.0062
0.00677	313,15	0,2	0.8510	1.9350	1.0264
0.00867	313,15	0,3	0.8944	1.7357	1.0644
0.01013	313,15	0,4	0.9180	1.5625	1.1267
0.01126	313,15	0,5	0.9332	1.4126	1.2241
0.01214	313,15	0,6	0.9443	1.2840	1.3764
0.01285	313,15	0,7	0.9534	1.1758	1.6227
0.01347	313,15	0,8	0.9626	1.0886	2.0492
0.01410	313,15	0,9	0.9749	1.0262	2.8807
0.00741	323,15	0,1	0.7047	2.1197	1.0061
0.01134	323,15	0,2	0.8250	1.8987	1.0259
0.01442	323,15	0,3	0.8752	1.7063	1.0633
0.01681	323,15	0,4	0.9029	1.5391	1.1243
0.01866	323,15	0,5	0.9210	1.3945	1.2192
0.02011	323,15	0,6	0.9343	1.2706	1.3668
0.02129	323,15	0,7	0.9454	1.1667	1.6032
0.02233	323,15	0,8	0.9566	1.0835	2.0060
0.02340	323,15	0,9	0.9714	1.0245	2.7707
0.01229	333,15	0,1	0.6660	2.0772	1.0060
0.01841	333,15	0,2	0.7980	1.8640	1.0255
0.02321	333,15	0,3	0.8548	1.6783	1.0622
0.02697	333,15	0,4	0.8868	1.5169	1.1218
0.02990	333,15	0,5	0.9079	1.3774	1.2144
0.03221	333,15	0,6	0.9236	1.2581	1.3574
0.03411	333,15	0,7	0.9368	1.1583	1.5841
0.03579	333,15	0,8	0.9502	1.0787	1.9647
0.03749	333,15	0,9	0.9677	1.0229	2.6694
0.01980	343,15	0,1	0.3720	2.0367	1.0059
0.02903	343,15	0,2	0.2299	1.8309	1.0251
0.03629	343,15	0,3	0.1665	1.6517	1.0610
0.04199	343,15	0,4	0.1302	1.4958	1.1194
0.04647	343,15	0,5	0.1059	1.3612	1.2096
0.05004	343,15	0,6	0.0877	1.2463	1.3480
0.05299	343,15	0,7	0.0721	1.1504	1.5655
0.05561	343,15	0,8	0.0563	1.0744	1.9253
0.05822	343,15	0,9	0.0360	1.0214	2.5761

DADOS PSEUDO-EXPERIMENTAIS GERADOS PELO MODELO DE CONTRIBUIÇÃO DE GRUPO UNIFAC - SISTEMA α -PINENO (1) + LINALOL (2).

P (bar)	T (K)	x(1)	y(1)	γ (1)	γ (2)
0.00297	313,15	0,1	0.8463	1.6688	1.0026
0.00518	313,15	0,2	0.9209	1.5822	1.0122
0.00711	313,15	0,3	0.9486	1.4934	1.0320
0.00878	313,15	0,4	0.9631	1.4037	1.0673
0.01017	313,15	0,5	0.9719	1.3150	1.1263
0.01324	313,15	0,6	0.9781	1.2295	1.2236
0.01227	313,15	0,7	0.9827	1.1497	1.1497
0.01308	313,15	0,8	0.9868	1.0792	1.6818
0.01387	313,15	0,9	0.9915	1.0246	2.2732
0.00506	323,15	0,1	0.8124	1.6683	1.0026
0.00865	323,15	0,2	0.9015	1.5822	1.0121
0.01180	323,15	0,3	0.9356	1.4934	1.0319
0.01451	323,15	0,4	0.9536	1.4037	1.0667
0.01680	323,15	0,5	0.9647	1.3150	1.1246
0.01869	323,15	0,6	0.9725	1.2295	1.2196
0.02027	323,15	0,7	0.9784	1.1497	1.3781
0.02164	323,15	0,8	0.9836	1.0792	1.6583
0.02297	323,15	0,9	0.9896	1.0246	2.2085
0.00837	333,15	0,1	0.7762	1.6482	1.0026
0.01400	333,15	0,2	0.8800	1.5633	1.0121
0.01895	333,15	0,3	0.9209	1.4762	1.0319
0.02322	333,15	0,4	0.9428	1.3885	1.0667
0.02683	333,15	0,5	0.9565	1.3023	1.1246
0.02985	333,15	0,6	0.9661	1.2194	1.2196
0.03237	333,15	0,7	0.9735	1.1424	1.3781
0.03458	333,15	0,8	0.9801	1.0749	1.6583
0.03675	333,15	0,9	0.9875	1.0230	2.2085
0.01347	343,15	0,1	0.7384	1.6287	1.0026
0.02026	343,15	0,2	0.8565	1.5451	1.0121
0.02955	343,15	0,3	0.9046	1.4596	1.0317
0.03605	343,15	0,4	0.9307	1.3740	1.0661
0.04157	343,15	0,5	0.9473	1.2901	1.1229
0.04621	343,15	0,6	0.9589	1.2098	1.2154
0.05013	343,15	0,7	0.9680	1.1356	1.3685
0.05525	343,15	0,8	0.9762	1.0709	1.6354
0.05697	343,15	0,9	0.9853	1.0216	2.1482

DADOS PSEUDO-EXPERIMENTAIS GERADOS PELO MODELO DE CONTRIBUIÇÃO DE GRUPO UNIFAC - SISTEMA ETANOL (1) + n-OCTANOL (2).

P (bar)	T (K)	x(1)	y(1)	γ (1)	γ (2)
0.02223	313,15	0,1	0.9502	1.1359	1.0007
0.04269	313,15	0,2	0.9769	1.1201	1.0032
0.06244	313,15	0,3	0.9861	1.1036	1.0082
0.08158	313,15	0,4	0.9908	1.0866	1.0168
0.10005	313,15	0,5	0.9937	1.0691	1.0305
0.11785	313,15	0,6	0.9956	1.0514	1.0518
0.13504	313,15	0,7	0.9970	1.0342	1.0849
0.15179	313,15	0,8	0.9982	1.0183	1.1372
0.16848	313,15	0,9	0.9991	1.0057	1.2226
0.03697	323,15	0,1	0.9411	1.1333	1.0007
0.07057	323,15	0,2	0.9725	1.1179	1.0031
0.10317	323,15	0,3	0.9835	1.1018	1.0081
0.13471	323,15	0,4	0.9891	1.0851	1.0164
0.16516	323,15	0,5	0.9925	1.0679	1.0299
0.19453	323,15	0,6	0.9948	1.0506	1.0508
0.22291	323,15	0,7	0.9965	1.0337	1.0834
0.25056	323,15	0,8	0.9978	1.0180	1.1347
0.27812	323,15	0,9	0.9989	1.0056	1.2186
0.05927	333,15	0,1	0.9311	1.0007	1.0007
0.11255	333,15	0,2	0.9677	1.0031	1.0031
0.16427	333,15	0,3	0.9805	1.0079	1.0079
0.21434	333,15	0,4	0.9871	1.0161	1.0161
0.26270	333,15	0,5	0.9911	1.0292	1.0292
0.30937	333,15	0,6	0.9938	1.0498	1.0498
0.35449	333,15	0,7	0.9958	1.0818	1.0818
0.39847	333,15	0,8	0.9974	1.1322	1.1322
0.44228	333,15	0,9	0.9988	1.2146	1.2146
0.09199	343,15	0,1	0.9203	1.1280	1.0007
0.17366	343,15	0,2	0.9624	1.1133	1.0030
0.25299	343,15	0,3	0.9773	1.0980	1.0077
0.32983	343,15	0,4	0.9850	1.0821	1.0157
0.44027	343,15	0,5	0.9896	1.0656	1.0286
0.51076	343,15	0,6	0.9928	1.0490	1.0488
0.57914	343,15	0,7	0.9952	1.0326	1.0801
0.61280	343,15	0,8	0.9970	1.0109	1.1297
0.68015	343,15	0,9	0.9986	1.0054	1.2106

DADOS PSEUDO-EXPERIMENTAIS GERADOS PELO MODELO DE CONTRIBUIÇÃO DE GRUPO UNIFAC - SISTEMA ETANOL(1) + LINALOL (2).

P (bar)	T (K)	x(1)	y(1)	γ (1)	γ (2)
0.02368	313,15	0,1	0.9808	1.2489	1.0010
0.04592	313,15	0,2	0.9911	1.2235	1.0047
0.06709	313,15	0,3	0.9947	1.1961	1.0124
0.08711	313,15	0,4	0.9964	1.1667	1.0261
0.10587	313,15	0,5	0.9975	1.1357	1.0493
0.12333	313,15	0,6	0.9982	1.1033	1.0874
0.13953	313,15	0,7	0.9987	1.0704	1.1510
0.15469	313,15	0,8	0.9992	1.0388	1.2608
0.16955	313,15	0,9	0.9996	1.0125	1.4642
0.03909	323,15	0,1	0.9758	1.2425	1.0010
0.07562	323,15	0,2	0.9888	1.2180	1.0046
0.11047	323,15	0,3	0.9933	1.1915	1.0120
0.14346	323,15	0,4	0.9955	1.1630	1.0254
0.17442	323,15	0,5	0.9968	1.1328	1.0479
0.20328	323,15	0,6	0.9978	1.1012	1.0852
0.23008	323,15	0,7	0.9984	1.0690	1.1473
0.25521	323,15	0,8	0.9990	1.0381	1.2546
0.27981	323,15	0,9	0.9995	1.0122	1.4529
0.06220	333,15	0,1	0.9699	1.2360	1.0009
0.12004	333,15	0,2	0.9861	1.2125	1.0044
0.17528	333,15	0,3	0.9916	1.1869	1.0116
0.22764	333,15	0,4	0.9944	1.1593	1.0246
0.27686	333,15	0,5	0.9961	1.1299	1.0466
0.32280	333,15	0,6	0.9972	1.0991	1.0830
0.36552	333,15	0,7	0.9981	1.0677	1.1436
0.40562	333,15	0,8	0.9987	1.0374	1.2484
0.44489	333,15	0,9	0.9993	1.0120	1.4418
0.09581	343,15	0,1	0.9633	1.2297	1.0009
0.18433	343,15	0,2	0.9830	1.2070	1.0042
0.26900	343,15	0,3	0.9897	1.1824	1.0113
0.34936	343,15	0,4	0.9931	1.1557	1.0239
0.42502	343,15	0,5	0.9952	1.1271	1.0453
0.49573	343,15	0,6	0.9966	1.0970	1.0807
0.56157	343,15	0,7	0.9976	1.0663	1.1400
0.62344	343,15	0,8	0.9984	1.0367	1.2422
0.68403	343,15	0,9	0.9992	1.0118	1.4308

DADOS PSEUDO-EXPERIMENTAIS GERADOS PELO MODELO DE CONTRIBUIÇÃO DE GRUPO UNIFAC - SISTEMA n-OCTANOL (1) + LINALOL (2).

P (bar)	T (K)	x(1)	y(1)	γ (1)	γ (2)
0,00058	313,15	0,1	0,2203	1,0481	1,0005
0,00066	313,15	0,2	0,3861	1,0383	1,0022
0,00074	313,15	0,3	0,5160	1,0296	1,0050
0,00081	313,15	0,4	0,6212	1,0220	1,0090
0,00088	313,15	0,5	0,7085	1,0155	1,0144
0,00095	313,15	0,6	0,7827	1,0100	1,0211
0,00102	313,15	0,7	0,8470	1,0057	1,0292
0,00109	313,15	0,8	0,9036	1,0026	1,0389
0,00116	313,15	0,9	0,9542	1,0006	1,0503
0,00120	323,15	0,1	0,2108	1,0462	1,0005
0,00135	323,15	0,2	0,3729	1,0369	1,0021
0,00149	323,15	0,3	0,5021	1,0285	1,0048
0,00162	323,15	0,4	0,6081	1,0212	1,0087
0,00176	323,15	0,5	0,6971	1,0149	1,0138
0,00189	323,15	0,6	0,7733	1,0096	1,0203
0,00203	323,15	0,7	0,8399	1,0055	1,0281
0,00216	323,15	0,8	0,8988	1,0025	1,0374
0,00229	323,15	0,9	0,9518	1,0006	1,0483
0,00234	333,15	0,1	0,2022	1,0446	1,0005
0,00260	333,15	0,2	0,3608	1,0355	1,0020
0,00286	333,15	0,3	0,4892	1,0275	1,0047
0,00311	333,15	0,4	0,5958	1,0204	1,0084
0,00335	333,15	0,5	0,6862	1,0143	1,0133
0,00359	333,15	0,6	0,7644	1,0093	1,0195
0,00383	333,15	0,7	0,8331	1,0053	1,0271
0,00407	333,15	0,8	0,8942	1,0024	1,0360
0,00430	333,15	0,9	0,9495	1,0006	1,0465
0,00436	343,15	0,1	0,1945	1,0430	1,0005
0,00481	343,15	0,2	0,3498	1,0343	1,0020
0,00525	343,15	0,3	0,4773	1,0265	1,0045
0,00568	343,15	0,4	0,5843	1,0196	1,0081
0,00610	343,15	0,5	0,6760	1,0138	1,0129
0,00652	343,15	0,6	0,7559	1,0089	1,0189
0,00693	343,15	0,7	0,8265	1,0051	1,0261
0,00733	343,15	0,8	0,8898	1,0023	1,0347
0,00774	343,15	0,9	0,9473	1,0006	1,0448

DADOS PSEUDO-EXPERIMENTAIS GERADOS PELO MODELO DE CONTRIBUIÇÃO DE GRUPO UNIFAC - SISTEMA LIMONENO (1) + CITRAL (2).

P (bar)	T (K)	x(1)	y(1)	γ (1)	γ (2)
0,06308	323,15	0,1	0,0305	1,7031	1,0096
0,05908	323,15	0,2	0,0564	1,4736	1,0355
0,05510	323,15	0,3	0,0810	1,3171	1,0748
0,05092	323,15	0,4	0,1072	1,2078	1,1259
0,04637	323,15	0,5	0,1378	1,1308	1,1880
0,04124	323,15	0,6	0,1770	1,0769	1,2609
0,03537	323,15	0,7	0,2326	1,0402	1,3446
0,02856	323,15	0,8	0,3218	1,0167	1,4393
0,02061	323,15	0,9	0,4953	1,0039	1,5457
0,08375	333,25	0,1	0,0470	1,6753	1,0092
0,07954	333,25	0,2	0,0861	1,4577	1,0341
0,07515	333,25	0,3	0,1227	1,3078	1,0719
0,07042	333,25	0,4	0,1605	1,2024	1,1213
0,06516	333,25	0,5	0,2034	1,1278	1,1815
0,05917	333,25	0,6	0,2562	1,0752	1,2522
0,05225	333,25	0,7	0,3272	1,0394	1,3334
0,04416	333,25	0,8	0,4327	1,0164	1,4254
0,03467	333,25	0,9	0,6125	1,0039	1,5287
0,14808	343,55	0,1	0,0966	1,6262	1,0085
0,14677	343,55	0,2	0,1712	1,4290	1,0315
0,14414	343,55	0,3	0,2363	1,2909	1,0669
0,14041	343,55	0,4	0,2988	1,1925	1,1133
0,13556	343,55	0,5	0,3639	1,1221	1,1699
0,12948	343,55	0,6	0,4369	1,0722	1,2366
0,12197	343,55	0,7	0,5238	1,0379	1,3134
0,11275	343,55	0,8	0,6338	1,0158	1,4004
0,10152	343,55	0,9	0,7825	1,0037	1,4981

DADOS PSEUDO-EXPERIMENTAIS GERADOS PELO MODELO DE CONTRIBUIÇÃO DE
GRUPO UNIFAC - SISTEMA β -PINENO (1) +SABINENO(2).

P (bar)	T (K)	x(1)	y(1)	$\gamma(1)$	$\gamma(2)$
0,05378	323,15	0,1	0,1288	1,0296	1,0004
0,05546	323,15	0,2	0,2482	1,0230	1,0015
0,05708	323,15	0,3	0,3597	1,0173	1,0034
0,05865	323,15	0,4	0,4645	1,0125	1,0059
0,06019	323,15	0,5	0,5637	1,0086	1,0092
0,06167	323,15	0,6	0,6581	1,0054	1,0130
0,06312	323,15	0,7	0,7483	1,0030	1,0176
0,06454	323,15	0,8	0,8351	1,0013	1,0227
0,06592	323,15	0,9	0,9188	1,0003	1,0285
0,07369	333,25	0,1	0,1228	1,0296	1,0004
0,07551	333,25	0,2	0,2381	1,0230	1,0015
0,07725	333,25	0,3	0,3472	1,0173	1,0034
0,07893	333,25	0,4	0,4509	1,0125	1,0059
0,08054	333,25	0,5	0,5502	1,0086	1,0092
0,08210	333,25	0,6	0,6456	1,0054	1,0130
0,08361	333,25	0,7	0,7379	1,0030	1,0176
0,08508	333,25	0,8	0,8274	1,0013	1,0227
0,08649	333,25	0,9	0,9146	1,0003	1,0285
0,1312	343,55	0,1	0,1159	1,0314	1,0004
0,1334	343,55	0,2	0,2264	1,0244	1,0016
0,1355	343,55	0,3	0,3323	1,0184	1,0036
0,1375	343,55	0,4	0,4345	1,0133	1,0063
0,1394	343,55	0,5	0,5335	1,0091	1,0097
0,1412	343,55	0,6	0,6300	1,0058	1,0138
0,1429	343,55	0,7	0,7245	1,0032	1,0186
0,1445	343,55	0,8	0,8174	1,0014	1,0241
0,1460	343,55	0,9	0,9091	1,0003	1,0271

DADOS PSEUDO-EXPERIMENTAIS GERADOS PELO MODELO DE CONTRIBUIÇÃO DE
GRUPO UNIFAC - SISTEMA β -PINENO + TERPINENO,

P (bar)	T (K)	x(1)	y(1)	$\gamma(1)$	$\gamma(2)$
0,05900	323,15	0,1	0,1209	1,0043	1,0001
0,05719	323,15	0,2	0,2361	1,0034	1,0002
0,05848	323,15	0,3	0,3461	1,0026	1,0005
0,05975	323,15	0,4	0,4513	1,0019	1,0009
0,06102	323,15	0,5	0,5520	1,0014	1,0013
0,06228	323,15	0,6	0,6487	1,0009	1,0019
0,06354	323,15	0,7	0,7415	1,0005	1,0026
0,06479	323,15	0,8	0,8309	1,0002	1,0034
0,06604	323,15	0,9	0,9170	1,0001	1,0044
0,07129	333,25	0,1	0,1238	1,0047	1,0001
0,07317	333,25	0,2	0,2411	1,0037	1,0002
0,07504	333,25	0,3	0,3523	1,0029	1,0005
0,07690	333,25	0,4	0,4580	1,0021	1,0009
0,07875	333,25	0,5	0,5587	1,0015	1,0015
0,08059	333,25	0,6	0,6548	1,0009	1,0021
0,08242	333,25	0,7	0,7467	1,0005	1,0029
0,08424	333,25	0,8	0,8346	1,0002	1,0037
0,08606	333,25	0,9	0,9190	1,0001	1,0047
0,11455	343,55	0,1	0,1294	1,0054	1,0001
0,11827	343,55	0,2	0,2503	1,0042	1,0003
0,12197	343,55	0,3	0,3637	1,0032	1,0006
0,12565	343,55	0,4	0,4703	1,0024	1,0011
0,12931	343,55	0,5	0,5709	1,0016	1,0017
0,13296	343,55	0,6	0,6659	1,0010	1,0024
0,13659	343,55	0,7	0,7559	1,0006	1,0032
0,14020	343,55	0,8	0,8413	1,0003	1,0042
0,11381	343,55	0,9	0,9225	1,0001	1,0053

DADOS PSEUDO-EXPERIMENTAIS GERADOS PELO MODELO DE CONTRIBUIÇÃO DE GRUPO UNIFAC - SISTEMA SABINENO + TERPINENO,

P (bar)	T (K)	x(1)	y(1)	γ(1)	γ(2)
0,05900	323,15	0,1	0,1209	1,0043	1,0001
0,05719	323,15	0,2	0,2361	1,0034	1,0002
0,05848	323,15	0,3	0,3461	1,0026	1,0005
0,05975	323,15	0,4	0,4513	1,0019	1,0009
0,06102	323,15	0,5	0,5520	1,0014	1,0013
0,06228	323,15	0,6	0,6487	1,0009	1,0019
0,06354	323,15	0,7	0,7415	1,0005	1,0026
0,06479	323,15	0,8	0,8309	1,0002	1,0034
0,06604	323,15	0,9	0,9170	1,0001	1,0044
0,07129	333,25	0,1	0,1238	1,0047	1,0001
0,07317	333,25	0,2	0,2411	1,0037	1,0002
0,07504	333,25	0,3	0,3523	1,0029	1,0005
0,07690	333,25	0,4	0,4580	1,0021	1,0009
0,07875	333,25	0,5	0,5587	1,0015	1,0015
0,08059	333,25	0,6	0,6548	1,0009	1,0021
0,08242	333,25	0,7	0,7467	1,0005	1,0029
0,08424	333,25	0,8	0,8346	1,0002	1,0037
0,08606	333,25	0,9	0,9190	1,0001	1,0047
0,11455	343,55	0,1	0,1294	1,0054	1,0001
0,11827	343,55	0,2	0,2503	1,0042	1,0003
0,12197	343,55	0,3	0,3637	1,0032	1,0006
0,12565	343,55	0,4	0,4703	1,0024	1,0011
0,12931	343,55	0,5	0,5709	1,0016	1,0017
0,13296	343,55	0,6	0,6659	1,0010	1,0024
0,13659	343,55	0,7	0,7559	1,0006	1,0032
0,14020	343,55	0,8	0,8413	1,0003	1,0042
0,11381	343,55	0,9	0,9225	1,0001	1,0053

DADOS PSEUDO-EXPERIMENTAIS GERADOS PELO MODELO DE CONTRIBUIÇÃO DE GRUPO UNIFAC - SISTEMA ETIL-ACETATO(1) + PROPANOL(2).

P (bar)	T (K)	x(1)	y(1)	γ (1)	γ (2)
0,004274	298	0,1	0,5751	1,8907	1,0089
0,005907	298	0,2	0,7197	1,6352	1,035
0,007150	298	0,3	0,7889	1,4462	1,0782
0,0081543	298	0,4	0,8323	1,3052	1,1394
0,0090197	298	0,5	0,8647	1,1999	1,2205
0,0098119	298	0,6	0,8920	1,1221	1,3246
0,010577	298	0,7	0,9174	1,0662	1,4562
0,011347	298	0,8	0,9428	1,0287	1,6215
0,012148	298	0,9	0,9699	1,0071	1,8289
0,004274	308	0,1	0,4608	1,8907	1,0086
0,005908	308	0,2	0,6200	1,6352	1,0337
0,007150	308	0,3	0,7050	1,4462	1,0751
0,008154	308	0,4	0,7615	1,3052	1,1339
0,009020	308	0,5	0,8052	1,1999	1,2116
0,009812	308	0,6	0,8430	1,1221	1,3112
0,010577	308	0,7	0,8789	1,0662	1,4367
0,011347	308	0,8	0,9155	1,0287	1,5936
0,012148	308	0,9	0,9551	1,0071	1,7896
0,008418	318	0,1	0,4029	1,8472	1,0082
0,010882	318	0,2	0,5645	1,6065	1,0324
0,012755	318	0,3	0,6563	1,4273	1,0723
0,014262	318	0,4	0,7194	1,2929	1,1287
0,015547	318	0,5	0,7694	1,1922	1,2034
0,016703	318	0,6	0,8133	1,1175	1,2988
0,017793	318	0,7	0,8554	1,0638	1,4186
0,018858	318	0,8	0,8987	1,0276	1,5679
0,019923	318	0,9	0,9460	1,0068	1,7536

APÊNDICE B

ALGORITMOS EMPREGADOS.

I.1 Algoritmo UNIFAC.

```

1000 *****
1005 *          UNIFAC.BAS *
1010 *  VAPOR-LIQUID ACTIVITY COEFFICIENTS ESTIMATED BY THE *
1020 *          UNIFAC GROUP CONTRIBUTION METHOD *
1030 *          FOR USE WITH THE SECOND EDITION OF *
1040 *  CHEMICAL AND ENGINEERING THERMODYNAMICS BY S. I. SANDLER *
1050 *          PUBLISHED BY J. WILEY & SONS, INC., N.Y. *
1060 *          PROGRAM LAST REVISED 12/25/87 *
1070 *  COPYRIGHT AUGUST, 1987 BY STANLEY I. SANDLER *
1080 *****

1090 CLS : KEY OFF: SCREEN 0, 1
1100 PRINT TAB(12);
*****"
1110 PRINT TAB(12); /* VAPOR-LIQUID ACTIVITY COEFFICIENTS ESTIMATED BY
THE */
1120 PRINT TAB(12); /* UNIFAC GROUP CONTRIBUTION METHOD */
1130 PRINT TAB(12); /* BY STANLEY I. SANDLER, DEPT. OF CHEMICAL
ENGINEERING */
1140 PRINT TAB(12); /* UNIVERSITY OF DELAWARE, NEWARK, DE 19716 U.S.A.
*/
1150 PRINT TAB(12); /* COPYRIGHT AUGUST, 1987 BY STANLEY I. SANDLER.
*/
1160 PRINT TAB(12); /* */
1170 PRINT TAB(12); /* DUPLICATION OR DISTRIBUTION IN ANY FORM WITHOUT
THE */
1180 PRINT TAB(12); /* WRITTEN PERMISSION OF AUTHOR AND COPYRIGHT
HOLDER IS */
1190 PRINT TAB(12); /* PROHIBITED AND IN VIOLATION OF FEDERAL COPYRIGHT
LAWS. */
1200 PRINT TAB(12);
*****"
1210 PRINT : PRINT : PRINT "Loading data...."
1220 DEFINT I-K, M-N
1230 OPTION BASE 1
1240 DIM IARM(100), ANM(100), ANMX(100), LGC(10), LNG(10, 10), LNGM(100),
ILS(10), G(10)
1250 DIM A(44, 44), R(85), Q(85), N1(85), N2(85), IAR(10, 10), AN(10, 10), P(21), XX(21)
1260 DIM N2$(85), N1$(85), C$(10), X(10), R1(10), Q1(10), TH(10), PH(10), L(10), L2(10)
1270 DIM CTH(10, 10), CTHM(100), D2(20), LG(10), Y(100), GAM(2, 21), YY(2, 21),
PVAP(2)

```

```
1280 DIM H$(17), AA(2), BB(2), CC(2), AMS1(100), AMS2(100), UMW(85)
1290 OPEN "T", #1, "c:UFNRQM.DTA"
1300 FOR I = 1 TO 85
1310 INPUT #1, N1$(I), N1(I), N2$(I), N2(I), R(I), Q(I), UMW(I)
1320 NEXT I
1330 CLOSE #1
1340 OPEN "T", #1, "c:UNFA44.DTA"
1350 FOR I = 1 TO 44
1360 FOR JJ = 1 TO 11
1370 J = 1 + 4 * (JJ - 1)
1380 INPUT #1, A(I, J), A(I, J + 1), A(I, J + 2), A(I, J + 3)
1390 NEXT JJ
1400 NEXT I
1410 CLOSE #1
1420 PRINT : PRINT "Are you using a graphics monitor? (y or n)": INPUT IMON$
1430 IF IMON$ = "Y" OR IMON$ = "y" THEN IMNFLG = 1
1440 GOTO 1710
1450 PRINT "Select next function key."
1460 KEY 1, "Cmpnts"
1470 KEY 2, " Conc "
1480 KEY 3, " Temp "
1490 KEY 9, ""
1500 KEY 10, " EXIT "
1510 KEY(1) ON: KEY(2) ON: KEY(3) ON: KEY(10) ON
1520 IF (ITEMP + ICONC) = 2 THEN KEY 4, "Coeffs"
1530 IF (ITEMP + ICONC) = 2 THEN KEY(4) ON
1540 IF IMX > 2 THEN GOTO 1590
1550 IF ITEMP = 1 THEN KEY 5, "Gm Lst": IF ITEMP = 1 THEN KEY(5) ON
1560 IF ILST = 1 THEN KEY 6, "xy Lst": IF ILST = 1 THEN KEY(6) ON
1570 IF (ILST1 + IMNFLG) = 2 THEN KEY 7, "xy Gph": IF (ILST1 + IMNFLG) = 2 THEN
KEY(7) ON
1580 KEY 8, "AntCon": KEY(8) ON
1590 KEY ON
1600 IF IMX > 2 THEN GOTO 1610
1610 ON KEY(1) GOSUB 1710
1620 ON KEY(2) GOSUB 2180
1630 ON KEY(3) GOSUB 2480
1640 ON KEY(4) GOSUB 2570
1650 ON KEY(10) GOSUB 3830
1660 ON KEY(5) GOSUB 4580
1670 ON KEY(6) GOSUB 4770
1680 ON KEY(7) GOSUB 5010
1690 ON KEY(8) GOSUB 5450
1700 GOTO 1700
1710 'COMP>
```

1720 CLS : KEY OFF: GOSUB 4560: ILST = 0: ILST1 = 0: ICONC = 0: IRTRN = 0: IPVAP = 0
1730 ITEMP = 0: IAPFLG = 0
1740 FOR I = 1 TO 10: FOR J = 1 TO 10: IAR(I, J) = 0: AN(I, J) = 0
1750 NEXT J: NEXT I
1760 PRINT "ENTER COMPONENT INFORMATION (10 components, 10 groups each maximum)"
1770 I = 0
1780 I = I + 1: IF I = 11 THEN 1880
1790 PRINT : PRINT "Enter name of COMP"; I; "(12 Characters Max.) or <ENDLINE> to terminate entries."
1800 INPUT C\$(I)
1810 IF C\$(I) = "" THEN IMX = I - 1: IF C\$(I) = "" THEN 1880
1820 GOSUB 4070
1830 IF ILS(I) < 11 GOTO 1780
1840 CLS : BEEP: BEEP
1850 PRINT "SORRY. PROGRAM DIMENSIONS ONLY ALLOW 10 DIFFERENT SUBGROUPS PER MOLECULE."
1860 BEEP: PRINT "PRESS ANY KEY TO CONTINUE."
1870 IF INKEY\$ <> "" THEN 1820 ELSE 1870
1880 CLS
1890 FOR I = 1 TO 4: KEY(I + 10) OFF: NEXT I
1900 CLS : PRINT : PRINT TAB(20); "UNIFAC ESTIMATION OF ACTIVITY COEFFICIENTS"
1910 PRINT TAB(20); "-----": PRINT
1920 PRINT TAB(34); "COMPONENT DATA"
1930 PRINT TAB(34); "-----"
1940 PRINT TAB(48); "Molecular Subgroups"
1950 PRINT TAB(42); "-----"
1960 PRINT TAB(9); "Component No. Name Number Description Frequency"
1970 PRINT TAB(9); "-----"
1980 L1\$ = " ## \ \ ## \ \ \ ###"
1990 L2\$ = " ## \ \ \ ###"
2000 FOR I = 1 TO IMX: JMX = ILS(I)
2010 PRINT USING L1\$; I; C\$(I); IAR(I, 1); N2\$(IAR(I, 1)); AN(I, 1)
2020 IF JMX = 1 THEN 2060
2030 FOR J = 2 TO JMX
2040 PRINT USING L2\$; IAR(I, J); N2\$(IAR(I, J)); AN(I, J)
2050 NEXT J
2060 PRINT
2070 X(I) = 1 / IMX
2080 TK = 300'JUST TO CALL UNIFAC SUBROUTINE WITHOUT DIVIDE BY ZERO
2090 NEXT I
2100 PRINT : PRINT "Press any key to continue."
2110 IF INKEY\$ = "" GOTO 2110
2120 PRINT : PRINT "Checking for availability of interaction parameters."

```
2130 PRINT "This may take several seconds if many groups are present."
2140 IRTRN = 2
2150 GOSUB 3870
2160 GOTO 2630
2170 RETURN 1450
2180 'CONC>
2190 ICONC = 1
2200 FOR IQ = 1 TO 10: NNSE$ = INKEY$: NEXT IQ
2210 CLS : PRINT "ENTER COMPONENT CONCENTRATIONS": PRINT
2220 GOSUB 4560
2230 PRINT "Enter component concentrations in MOLE FRACTION units beginning with
Comp. 1"
2240 PRINT
"~~~~~"
2250 SUMX = 0: FOR I = 1 TO 10: X(I) = 0: NEXT I
2260 FOR I = 1 TO IMX
2270 PRINT : PRINT "Mole Fraction of Component"; I; "- " + C$(I): INPUT X(I)
2280 IF X(I) > 1 THEN PRINT "!!! INPUT ERROR !!!": GOTO 2270
2290 IF X(I) < 0 THEN PRINT "!!! INPUT ERROR !!!": GOTO 2270
2295 IF X(I) = 0 THEN X(I) = .000001
2300 SUMX = SUMX + X(I): NEXT I
2310 IF SUMX < .999999 THEN GOTO 2340
2320 IF SUMX > 1.000001 THEN GOTO 2340
2330 GOTO 2350
2340 PRINT "MOLE FRACTIONS DO NOT SUM TO 1, BEING NORMALIZED"
2350 FOR I = 1 TO IMX: X(I) = X(I) / SUMX: NEXT I
2390 PRINT : PRINT TAB(30); "COMPONENT CONCENTRATIONS": PRINT
TAB(30); "-----"
2400 PRINT TAB(22); "No      Name      Mole Fraction"
2410 PRINT TAB(22); "-- ----- -----"
2420 L1$ = "      ## \ \ #.#####"
2430 FOR I = 1 TO IMX
2440 PRINT USING L1$, I; C$(I); X(I)
2450 NEXT I
2460 GOSUB 3870
2470 RETURN 1450
2480 'TEMP>
2490 GOSUB 4560
2500 FOR IQ = 1 TO 10: NNSE$ = INKEY$: NEXT IQ
2510 CLS : ITEMP = 1: PRINT "ENTER TEMPERATURE": PRINT
2520 ILST = 0: ILST1 = 0: IPVAP = 0
2530 PRINT "Enter temperature in Deg C. "; : INPUT TC
2540 PRINT : PRINT "Temperature = "; TC; " deg C"
2550 TK = TC + 273.15
2560 RETURN 1450
2570 'COEFF>
```

```
2580 GOSUB 4560
2590 FOR IQ = 1 TO 10: NNSE$ = INKEY$: NEXT IQ
2600 'UNIFAC CALCULATION
2610 'COMBINATORIAL
2620 IRTRN = 0
2630 R2 = 0: Q2 = 0
2640 FOR I = 1 TO IMX
2650 R1(I) = 0: Q1(I) = 0
2660 FOR J = 1 TO ILS(I)
2670 R1(I) = R1(I) + R(IAR(I, J)) * AN(I, J)
2680 Q1(I) = Q1(I) + Q(IAR(I, J)) * AN(I, J)
2690 NEXT J
2700 R2 = R2 + X(I) * R1(I)
2710 Q2 = Q2 + X(I) * Q1(I)
2720 NEXT I
2730 L1 = 0
2740 FOR I = 1 TO IMX
2750 PH(I) = R1(I) * X(I) / R2
2760 TH(I) = Q1(I) * X(I) / Q2
2770 L(I) = 5 * (R1(I) - Q1(I)) - (R1(I) - 1)
2780 L1 = L1 + X(I) * L(I)
2790 NEXT I
2800 FOR I = 1 TO IMX
2810 LGC(I) = LOG(PH(I) / X(I)) + 5 * Q1(I) * LOG(TH(I) / PH(I)) + L(I) - (PH(I) / X(I)) * L1
2820 NEXT I
2830 'RESIDUAL
2840 FOR I = 1 TO IMX
2850 SUMQ = 0
2860 FOR J = 1 TO ILS(I)
2870 D2(J) = AN(I, J) * Q(IAR(I, J))
2880 SUMQ = SUMQ + D2(J)
2890 NEXT J
2900 FOR J = 1 TO ILS(I)
2910 CTH(I, J) = D2(J) / SUMQ
2920 NEXT J
2930 NEXT I
2940 SUMQ = 0
2950 FOR K = 1 TO KMAX
2960 D2(K) = ANMX(K) * Q(IARM(K))
2970 SUMQ = SUMQ + D2(K)
2980 NEXT K
2990 FOR K = 1 TO KMAX
3000 CTHM(K) = D2(K) / SUMQ
3010 NEXT K
3020 'GAMMA RESIDUAL FOR EACH GROUP IN EACH MOLECULE
3030 IAFLG = 0
```

```
3040 FOR I = 1 TO IMX
3050 FOR K = 1 TO ILS(I)
3060 KK = N1(IAR(I, K))
3070 SUM1 = 0: SUM2 = 0
3080 FOR M = 1 TO ILS(I)
3090 MM = N1(IAR(I, M))
3100 SUM3 = 0
3110 FOR N = 1 TO ILS(I)
3120 NN = N1(IAR(I, N))
3130 SUM3 = SUM3 + CTH(I, N) * EXP(-A(NN, MM) / TK)
3140 NEXT N
3150 SUM2 = SUM2 + CTH(I, M) * (EXP(-A(KK, MM) / TK)) / SUM3
3160 SUM1 = SUM1 + CTH(I, M) * EXP(-A(MM, KK) / TK)
3170 NEXT M
3180 LNG(I, K) = Q(IAR(I, K)) * (1 - LOG(SUM1) - SUM2)
3190 NEXT K
3200 NEXT I
3210 'GAMMA RESIDUAL FOR EACH GROUP IN MIXTURE
3220 FOR K = 1 TO KMAX
3230 SUM1 = 0: SUM2 = 0
3240 KK = N1(IARM(K))
3250 FOR M = 1 TO KMAX
3260 MM = N1(IARM(M))
3270 SUM3 = 0
3280 FOR N = 1 TO KMAX
3290 NN = N1(IARM(N))
3300 SUM3 = SUM3 + CTHM(N) * EXP(-A(NN, MM) / TK)
3310 NEXT N
3320 SUM2 = SUM2 + CTHM(M) * (EXP(-A(KK, MM) / TK)) / SUM3
3330 IF MM = KK GOTO 3380
3340 IF A(MM, KK) < 0 GOTO 3380
3341 IF MM = 7 AND KK = 31 GOTO 3380
3342 IF MM = 31 AND KK = 7 GOTO 3380
3343 IF MM = 22 AND KK = 23 GOTO 3380
3344 IF MM = 23 AND KK = 22 GOTO 3380
3350 IF IAPFLG = 1 GOTO 3380
3360 IAFLG = IAFLG + 1
3370 AMS1(IAFLG) = N2(IARM(M)): AMS2(IAFLG) = N2(IARM(K))
3380 SUM1 = SUM1 + CTHM(M) * EXP(-A(MM, KK) / TK)
3390 NEXT M
3400 LNGM(K) = Q(IARM(K)) * (1 - LOG(SUM1) - SUM2)
3410 NEXT K
3420 'GAMMA RESIDUAL FOR EACH MOLECULE
3430 FOR I = 1 TO IMX
3440 SUM = 0
3450 FOR J = 1 TO ILS(I)
```

```

3460 FOR K = 1 TO KMAX
3470 IF IARM(K) = IAR(I, J) THEN 3490
3480 NEXT K
3490 SUM = SUM + AN(I, J) * (LNGM(K) - LNG(I, J))
3500 NEXT J
3510 LG(I) = SUM + LGC(I)
3520 G(I) = EXP(LG(I))
3530 NEXT I
3540 IF IAPFLG > 0 THEN GOTO 3690
3550 IAPFLG = 1
3560 IF IAFLG > 0 THEN GOTO 3590
3570 PRINT : PRINT "All interaction parameters are available."
3580 GOTO 3690
3590 CLS : PRINT "Interaction parameters unavailable (and set to zero) for the"
3600 PRINT "following pairs of groups:" : PRINT
3610 FOR IAFLAG = 1 TO IAFLG
3620 IF AMS1(IAFLAG) < AMS2(IAFLAG) GOTO 3640
3630 PRINT " ", N2$(AMS1(IAFLAG)), " with ", N2$(AMS2(IAFLAG))
3640 NEXT IAFLAG
3650 PRINT : PRINT "Press any key to continue":
3660 FOR IQ = 1 TO 10: NNSE$ = INKEY$: NEXT IQ
3670 IF INKEY$ = "" THEN GOTO 3670
3680 CLS
3690 IF IRTRN = 1 GOTO 4700
3700 IF IRTRN = 2 GOTO 2170
3710 CLS
3720 PRINT : PRINT TAB(27); "COMPONENT ACTIVITY COEFFICIENTS"
3730 PRINT TAB(27); "-----"
3740 L1$ = " & #####.## &"
3750 PRINT : PRINT USING L1$; "Temperature:"; TC; "Deg C": PRINT TAB(13); "-----"
-----"
3760 PRINT TAB(13); "No      Name      Mole Fraction   Activity Coefficient"
3770 PRINT TAB(13); "-- ----- ----- -----"
3780 L1$ = " ## \    \ #.#####     #####.####"
3790 FOR I = 1 TO IMX
3800 PRINT USING L1$; I; C$(I); X(I); G(I)
3810 NEXT I
3820 PRINT : RETURN 1450
3830 'EXIT>
3840 KEY OFF: CLS : PRINT "BYE...AND THANK YOU FOR USING UNIFAC...."
3850 END
3860 'COMPUTATION OF GROUP MOLE FRACTIONS>
3870 FOR J = 1 TO ILS(1)
3880 IARM(J) = IAR(1, J): ANM(J) = AN(1, J): ANMX(J) = X(1) * AN(1, J)
3890 NEXT J
3900 KMAX = ILS(1)

```

```
3910 FOR I = 2 TO IMX
3920 FOR J = 1 TO ILS(I)
3930 FOR K = 1 TO KMAX
3940 IF IARM(K) = IAR(I, J) THEN 3960
3950 GOTO 3980
3960 ANM(K) = ANM(K) + AN(I, J)
3970 ANMX(K) = ANMX(K) + X(I) * AN(I, J): GOTO 4030
3980 NEXT K
3990 KMAX = KMAX + 1
4000 IARM(KMAX) = IAR(I, J)
4010 ANM(KMAX) = AN(I, J)
4020 ANMX(KMAX) = X(I) * AN(I, J)
4030 NEXT J
4040 NEXT I
4050 RETURN
4060 'GROUP ENTRY ROUTINE>
4070 KEY(14) ON
4080 ON KEY(14) GOSUB 4360
4090 KEY(11) ON
4100 ON KEY(11) GOSUB 4350
4110 KEY(13) ON
4120 ON KEY(13) GOSUB 4340
4130 KEY(12) ON
4140 ON KEY(12) GOSUB 4330
4150 FOR JI = 1 TO 85: Y(JI) = 0: NEXT JI: Z = 1
4160 CLS : KEY OFF
4170 PRINT "ENTER FREQUENCY OF UNIFAC SUBGROUPS IN ", C$(I)
4180 PRINT "CURSOR KEYS ARE ACTIVE. BLANK = ZERO. PRESS ENTER WHEN
DONE."
4190 FOR IJ = 1 TO 20
4200 LOCATE IJ + 3, 1: PRINT N2$(IJ)
4210 LOCATE IJ + 3, 15: PRINT N2$(IJ + 20)
4220 LOCATE IJ + 3, 27: PRINT N2$(IJ + 40)
4230 LOCATE IJ + 3, 41: PRINT N2$(IJ + 60)
4240 NEXT IJ
4250 FOR IJ = 81 TO 85
4260 LOCATE IJ - 77, 55: PRINT N2$(IJ)
4270 NEXT IJ
4280 GOSUB 4370
4290 A$ = INKEY$
4300 IF A$ = CHR$(13) THEN GOTO 4460: ELSE IF A$ = "" THEN GOTO 4290: ELSE G =
VAL(A$)
4310 IF G > 9 THEN BEEP ELSE GOSUB 4450
4320 GOTO 4290
4330 Z = Z - 20: IF Z < 1 THEN BEEP: Z = Z + 20: RETURN: ELSE GOTO 4370
4340 Z = Z + 20: IF Z > 85 THEN BEEP: Z = Z - 20: RETURN: ELSE GOTO 4370
```

```
4350 Z = Z - 1: IF Z < 1 THEN BEEP: Z = Z + 1: RETURN: ELSE GOTO 4370
4360 Z = Z + 1: IF Z > 85 THEN BEEP: Z = Z - 1: RETURN: ELSE GOTO 4370
4370 IF Z < 1 THEN Z = 1
4380 IF Z < 21 THEN LOCATE Z + 3, 11, 1: RETURN
4390 IF Z < 41 THEN LOCATE Z - 17, 24, 1: RETURN
4400 IF Z < 61 THEN LOCATE Z - 37, 38, 1: RETURN
4410 IF Z < 81 THEN LOCATE Z - 57, 52, 1: RETURN
4420 IF Z < 100 THEN LOCATE Z - 77, 61, 1: RETURN
4430 IF Z > 85 THEN Z = 85: GOTO 4370
4440 RETURN
4450 Y(Z) = G: PRINT Y(Z): GOTO 4370
4460 JM = 1
4470 FOR Z = 1 TO 85
4480 IF Y(Z) = 0 THEN GOTO 4520
4490 IF JM = 11 THEN 1840
4500 IAR(I, JM) = Z: AN(I, JM) = Y(Z)
4510 JM = JM + 1
4520 NEXT Z
4530 ILS(I) = JM - 1
4540 CLS : Z = 1: GOTO 1780
4550 'KEY OFF ROUTINE>
4560 KEY OFF: FOR I = 1 TO 10: KEY(I) OFF: KEY I, "": NEXT I
4570 RETURN
4580 'ACTIVITY COEFFICIENT LIST
4590 GOSUB 4560
4600 IRTRN = 1: CLS
4610 PRINT " x(1)    GAM(1)    GAM(2)    GEX(J/MOL)"
4620 L1$ = " ##### #####~## #####~## #####~##"
4630 FOR IXX = 1 TO 21: X(1) = .05 * (IXX - 1): X(2) = 1 - X(1)
4640 IF X(1) > 0! GOTO 4660
4650 X(1) = .000001: X(2) = .999999
4660 IF X(2) > 0 GOTO 4680
4670 X(1) = .999999: X(2) = .000001
4680 GOSUB 3870
4690 GOTO 2630
4700 GAM(1, IXX) = G(1): GAM(2, IXX) = G(2)
4710 GEX = 8.314 * TK * (X(1) * LG(1) + X(2) * LG(2))
4720 IF IXX = 1 OR IXX = 21 THEN GEX = 0
4730 PRINT USING L1$; X(1); GAM(1, IXX); GAM(2, IXX); GEX
4740 NEXT IXX
4750 ILST = 1
4760 RETURN 1450
4770 'x-y-T-P LIST
4780 CLS : GOSUB 4560
4790 IF IPVAC = 0 GOTO 4840
4800 FOR I = 1 TO 2
```

```
4810 PVAP(I) = EXP(AA(I) - BB(I) / (TK + CC(I)))
4820 NEXT I
4830 IPVAP = 1
4840 IF IPVAP = 1 THEN 4890
4850 FOR I = 1 TO 2
4860 PRINT "Enter vapor pressure of ", C$(I), "(in units of bar)"
4870 INPUT PVAP(I): NEXT I
4880 IPVAP = 1
4890 CLS : PRINT " x(1)    y(1)    y(2)    P(bar)"
4900 L1$ = "#.#### #.#### #.#### #.####^~~~"
4910 FOR I = 1 TO 21
4920 X(1) = .05 * (I - 1): X(2) = 1 - X(1): XX(I) = X(1)
4930 P1 = X(1) * GAM(1, I) * PVAP(1)
4940 P2 = X(2) * GAM(2, I) * PVAP(2)
4950 P(I) = P1 + P2
4960 YY(1, I) = P1 / (P1 + P2)
4970 YY(2, I) = P2 / (P1 + P2)
4980 PRINT USING L1$; X(1); YY(1, I); YY(2, I); P(I)
4990 NEXT I
5000 ILST1 = 1: RETURN 1450
5010 'x-y GRAPH
5020 CLS : GOSUB 4560
5030 L1$ = "x-y DIAGRAM OF \ \ AND \ \
5040 LOCATE 9, 20: PRINT USING L1$; C$(1); C$(2)
5050 LOCATE 11, 20: PRINT "*** PRESS ANY KEY TO BEGIN ***"
5060 LOCATE 12, 20: PRINT "*** AND PRESS ANY KEY WHEN FINISHED ***"
5070 A$ = INKEY$
5080 IF A$ = "" THEN 5070
5090 SCREEN 2
5100 CLS
5110 VIEW (60, 164)-(624, 3), , 1
5120 WINDOW (0, 0)-(1, 1)
5130 FOR I = 1 TO 9
5140 IF I < 2 THEN LINE (0!, .1 * I)-(.6, .1 * I), , , &HF0F0
5150 IF I >= 2 THEN LINE (0!, .1 * I)-(1!, .1 * I), , , &HF0F0
5160 IF I < 7 THEN LINE (.1 * I, 0!)-(.1 * I, 1), , , &HCCCC
5170 IF I >= 7 THEN LINE (.1 * I, .2)-(.1 * I, 1), , , &HCCCC
5180 NEXT I
5190 LINE (.6, 0)-(.6, .2): LINE -(1!, .2)
5200 LOCATE 22, 8: PRINT "0"; TAB(21); "0.2"; TAB(35); "0.4"; TAB(49); "0.6"; TAB(63);
"0.8"; TAB(78); "1.0"
5210 LOCATE 23, 32: PRINT "Liquid mole fraction of 1"
5220 FOR I = 1 TO 6
5230 YLBL = 1 - .2 * (I - 1)
5240 LOCATE 1 + 4 * (I - 1), 5: PRINT USING "#.#"; YLBL: NEXT I
5250 H$(1) = "V": H$(2) = "a": H$(3) = "p": H$(4) = "o": H$(5) = "r": H$(6) = " ": H$(7) = "m"
```

```
5260 H$(8) = "o": H$(9) = "l": H$(10) = "e": H$(11) = " ": H$(12) = "f": H$(13) = "r"
5270 H$(14) = "a": H$(15) = "c": H$(16) = " ": H$(17) = "1"
5280 FOR L = 1 TO 17
5290 LOCATE L + 2, 1: PRINT H$(L): NEXT L
5300 L1$ = "1 = \    \
5310 L2$ = "2 = \    \
5320 L3$ = "T = #####.## C"
5330 LOCATE 18, 57: PRINT USING L1$; C$(1)
5340 LOCATE 19, 57: PRINT USING L2$; C$(2)
5350 LOCATE 20, 57: PRINT USING L3$; TC
5360 LINE (0, 0)-(1!, 1!)
5370 LINE (0, 0)-(0, 0)
5380 FOR I = 1 TO 21
5390 LINE -(XX(I), YY(1, I)): NEXT I
5400 A$ = INKEY$
5410 IF A$ = "" THEN 5400
5420 SCREEN 0, 1
5430 GOTO 1450
5440 RETURN
5450 'ANTOINE CONSTANT ENTRY>
5460 CLS : GOSUB 4560
5470 FOR I = 1 TO 2
5480 PRINT : PRINT "ENTER CONSTANTS IN EQUATION PVAP(BAR) = EXP(A-
B/(T(K)+C))"
5490 PRINT "FOR ", C$(I), " OR 0 TO STOP": PRINT
5500 INPUT "A = ", AA(I): IF AA(I) = 0 THEN 1450
5510 INPUT "B = ", BB(I)
5520 INPUT "C = ", CC(I)
5530 NEXT I
5540 IPVAC = 1: GOTO 1450
```

Subroutine Unfa44.dta – Matriz de parâmetros utilizada

0,86.02,61.13,76.5
986.5,697.2,1318,1333
476.4,677,232.1,741.4
251.5,391.5,255.7,206.6
920.7,287.7,597,663.5
35.93,53.76,24.9,104.3
321.5,661.5,543,153.6
184.4,354.5,3025,335.8
479.5,298.9,526.5,689
-4.189,125.8,485.3,-2.859
387.1,-450.4,252.7,220.3
-35.36,0,38.81,74.15

APÉNDICE B

524.1,787.6,270.6,526.1
182.6,448.8,37.85,449.1
214.5,240.9,163.9,61.11
749.3,0,336.9,318.9
204.6,5.892,-13.99,-109.7
393.1,357.5,0,76.3
0,0,0,0
0,31.14,-137.4,0
-66.46,0,-70.45,0
48.33,0,0,0
-11.12,3.446,0,167
636.1,637.3,903.8,1329
25.77,347.3,5.994,-92.55
32.14,161.7,122.8,90.49
648.2,-4.449,212.5,537.4
-18.81,-144.4,-231.9,3
538.2,168,194.9,52.07
-10.43,-64.69,210.4,113.3
-13.59,0,169.9,0
-259.1,389.3,245.6,0
103.5,-432.3,238.9,30.04
-69.7,-113.6,-146.8,0
803.2,603.2,5695,884.9
-52.1,586.6,5688,115.2
213.1,0,-49.29,23.5
664.2,52.8,6096,603.8
-114.1,-111,-12.14,-141.3
-126.9,3629,4448,-9.451
0,-20.36,4975,0
-171.3,0,4284,0
0,101.4,5629,0
69.26,0,0,46.38
156.4,457,89.6,25.82
0,-137.1,353.5,-259.7
84,441.8,101.1,193.1
28.06,83.02,42.7,-323
-52.39,170,6.712,199
75.62,-112.1,-98.12,143.1
287.8,256.5,157.1,477
147.5,-120.5,-318.9,313.5
133.4,0,-202.1,0
225.8,44.78,-143.9,0
190.3,-817.7,0,-504.2
16.51,-12.52,-50,-44.5
249.1,0,-181,-101.7
23.39,306.4,-10.72,193.4

-128.6,359.3,266,53.9
489.7,580.5,36.23,-289.5
-38.32,-102.5,-139.4,-67.8
17.12,75.14,0,-31.09
37.84,0,0,0
106.3,0,-399.3,0
33.47,-48.25,-172.4,0
165.7,0,0,0
300,496.1,362.3,377.6
-229.1,289.6,0,324.5
-195.4,-257.3,72.87,0
540.5,48.89,168,304
-52.29,459,112.6,-14.09
325.4,370.4,353.7,497.5
678.2,220.6,399.5,887.1
0,188,0,0
0,0,-139,160.8
0,0,319,0
-197.5,0,0,-452.2
275.8,217.5,25.34,244.2
-451.6,-265.2,-601.8,0
-356.1,0,-449.4,0
0,0,0,0
119.9,-305.5,0,0
0,0,0,1827
0,0,0,0
0,0,-687.1,0
0,0,0,0
0,0,0,0
-494.2,0,0,0
26.76,42.92,140.1,365.8
164.5,108.7,472.5,-133.1
0,-37.36,-213.7,-38.47
-103.6,0,0,-169
6201,165.1,481.7,669.4
-191.7,-284,-354.6,-39.2
174.5,137.5,0,216.1
-46.28,-163.7,0,53.59
245.2,-246.6,-44.58,0
-34.57,0,-61.7,0
-18.8,-588.9,0,0
505.7,56.3,23.39,106
-404.8,-340.2,232.7,0
128,0,-110.3,11.31
304.1,0,0,0
0,0,0,0

APÊNDICE B

751.9,0,-483.7,0
0,0,0,0
0,0,0,0
0,0,0,0
0,0,0,0
0,0,0,0
114.8,132.1,85.84,-170
245.4,249.6,200.8,-36.72
372.2,185.1,0,372.9
-235.7,0,-73.5,0
475.5,0,494.6,660.2
-34.74,108.9,-209.7,54.47
629,-81.13,0,183
0,202.3,-101.7,148.3
18.88,0,52.08,-28.61
-83.3,0,0,0
560.2,0,0,0
90.49,-62.55,1967,2347
191.2,155.7,0,0
70.42,35.35,-261.1,0
0,0,0,0
0,0,0,-356.3
0,0,-287.2,36.84
0,0,0,0
4.339,0,0,0
0,0,0,0
0,0,0,0
-70.24,0,0,0
83.36,26.51,52.13,65.69
237.7,238.4,-314.7,0
191.1,-7.838,461.3,0
0,0,141.7,0
0,0,-18.51,664.6
301.1,137.8,-154.3,47.67
66.15,95.18,0,140.9
-8.538,0,-20.11,-149.5
-202.3,0,172.1,0
240.2,-273.9,254.8,0
417,0,0,0
-30.48,1.163,-44.85,0
-164,-481.7,-330.4,0
0,0,0,0
0,0,63.72,-41.11
-200.7,0,0,0
0,0,0,-99.81
68.81,0,0,0

APÉNDICE B

-70.14,0,0,0
0,0,0,0
0,0,0,0
0,0,0,0
65.33,-28.7,-22.31,223
-150,-500.4,-448.2,0
0,0,136,0
-49.3,108.8,0,-189.2
0,0,0,0
0,0,0,71.23
4350,0,0,0
0,0,0,0
0,0,0,0
0,0,0,0
-38.77,0,0,0
-83.98,-25.38,-223.9,109.9
28.6,-406.8,-598.8,0
225.3,0,0,0
0.38.89,865.9,0
0,0,0,0
0,-73.85,-352.9,-8.283
-86.36,0,0,0
0,0,0,0
0,0,0,0
0,-196.3,0,0
0,0,0,0
1139,2000,247.5,762.8
-17.4,-118.1,-367.8,-253.1
-450.3,0,-294.8,0
0,-15.07,0,0
0,0,-281.6,0
287,0,0,822
287.9,0,-139.3,0
0,0,-136.9,0
0,0,0,0
0,0,-334.4,0
-89.42,0,0,0
-101.6,0,31.87,49.8
-132.3,-378.2,-332.9,-341.6
-51.54,0,0,0
0,0,0,0
0,0,-169.7,-153.7
0,-351.6,-114.7,-165.1
0,0,0,0
0,0,0,0
0,0,0,0

APÉNDICE B

0,0,0,0
0,0,0
24.82,-40.62,-22.97,-138.4
185.4,157.8,242.8,0
-287.5,0,-266.6,0
38.81,0,0,0
777.4,134.3,0,0
88.75,-152.7,-15.62,-54.86
52.31,-515,0,230.9
21.37,0,0,0
0,-203,0,81.57
3.509,0,0,0
120.3,0,0,0
315.3,1264,62.32,268.2
-151,1020,-66.17,0
-297.8,0,-256.3,312.5
-338.5,0,0,0
0,-313.5,0,0
44.42,-183.4,76.75,212.7
0,0,0,0
0,0,0,0
-95,0,0,0
-11.16,0,0,0
-337,0,0,0
91.46,97.51,4.68,122.9
562.2,529,698.2,0
286.3,-47.51,35.38,0
225.4,0,0,0
429.7,0,-62.41,326.4
0,108.3,249.2,62.42
464.4,32.73,0,450.1
59.02,0,0,0
-125.9,0,0,0
-245.4,0,0,0
63.67,0,0,0
34.01,18.25,121.3,140.8
747.7,669.9,708.7,0
423.2,0,-132.9,0
-197.7,0,0,-141.4
0,587.3,258.6,1821
-84.53,0,0,56.33
0,0,0,0
0,0,0,177.6
0,0,215,0
0,0,0,0
-96.87,0,0,0

APÊNDICE B

36.7,51.06,288.5,33.61
742.1,649.1,826.7,0
552.1,242.8,176.5,488.9
-20.93,0,0,-293.7
0,18.98,74.04,1346
-157.1,0,0,-30.1
0,0,0,116.6
0,-64.38,0,86.4
0,0,363.7,0
111.2,0,0,0
255.8,0,0,0
-78.45,160.9,-4.7,134.7
856.3,860.1,1201,10000
372,0,129.5,403.1
113.9,261.1,91.13,-126
898.2,309.2,492,689
11.8,17.97,51.9,0
475.8,490.9,534.7,132.2
0,546.7,0,247.8
41.94,0,337.7,369.5
187.1,215.2,498.6,0
256.5,0,233.1,0
-141.3,-158.8,-237.7,375.5
246.9,661.6,920.4,0
128.1,0,-246.3,0
95.5,203.5,-108.4,1088
530.5,0,356.9,0
-314.9,0,0,-255.4
0,-154.5,0,0
0,0,0,0
-60.7,0,0,0
0,0,0,0
-145.1,0,0,0
-32.69,-1.996,10.38,-97.05
261.6,252.6,417.9,0
-142.6,0,129.3,0
-94.49,0,0,0
0,0,.2827,0
113,0,0,-34.68
794.4,0,533.2,0
0,0,139.8,304.3
10.17,-27.7,0,0
10.76,0,0,0
248.4,0,0,0
5541,0,1824,-127.8
561.6,0,360.7,0

0,0,0,0
0,0,0,0
134.9,0,0,0
0,0,0,514.6
0,-85.12,0,0
0,0,0,0
0,0,0,0
0,0,0,0
0,0,0,0
-52.65,16.62,21.5,40.68
823.5,914.2,1081,0
303.7,0,243.8,0
112.4,0,0,0
0,0,335.7,0
-73.09,0,-26.06,-60.71
0,0,0,0
0,0,0,0
0,0,0,0
-47.37,0,0,0
469.8,0,0,0
-7.481,0,28.41,0
461.6,382.8,0,0
160.6,0,0,239.8
63.71,106.7,0,0
0,0,125.7,0
-27.94,0,0,0
0,0,0,0
0,0,0,0
0,0,31.66,0
0,0,78.92,0
0,0,0,0
-25.31,0,157.3,404.3
521.6,0,23.48,0
317.5,0,-146.3,0
0,0,0,0
0,0,0,0
0,0,48.48,-133.1
0,0,0,0
0,0,0,0
0,0,0,0
0,0,0,0
0,0,0,0
140,0,221.4,150.6
267.6,0,0,838.4
0,0,152,0
9.207,0,0,0

APÊNDICE B

255.4,0,0,0
0,0,0,0
0,481.3,0,0
0,0,0,0
0,0,-417.2,0
0,0,302.2,0
0,0,0,0
128,0,58.68,0
501.3,0,0,0
138,0,21.92,0
476.6,0,0,0
0,0,0,0
0,-40.82,21.76,48.49
0,64.28,0,0
0,0,0,0
0,0,0,0
0,0,0,0
68.55,0,0,0
-31.52,0,155.6,291.1
721.9,494.7,0,0
-142.6,0,24.37,0
736.4,0,0,0
0,0,0,5256
1169,0,0,225.8
224,125.3,0,0
0,0,0,0
0,0,0,0
0,0,0,0
0,0,0,0
-72.88,41.38,0,0
0,0,0,0
443.6,0,0,0
0,0,0,0
0,0,329.1,0
0,0,0,0
0,174.4,0,0
0,0,0,0
0,0,0,0
0,0,-119.8,0
0,0,0,0
50.49,422.4,-2.504,-143.2
-25.87,695,-240,0
110.4,0,41.57,0
-122.1,0,0,0
0,0,0,0
0,-215,-343.6,-58.43

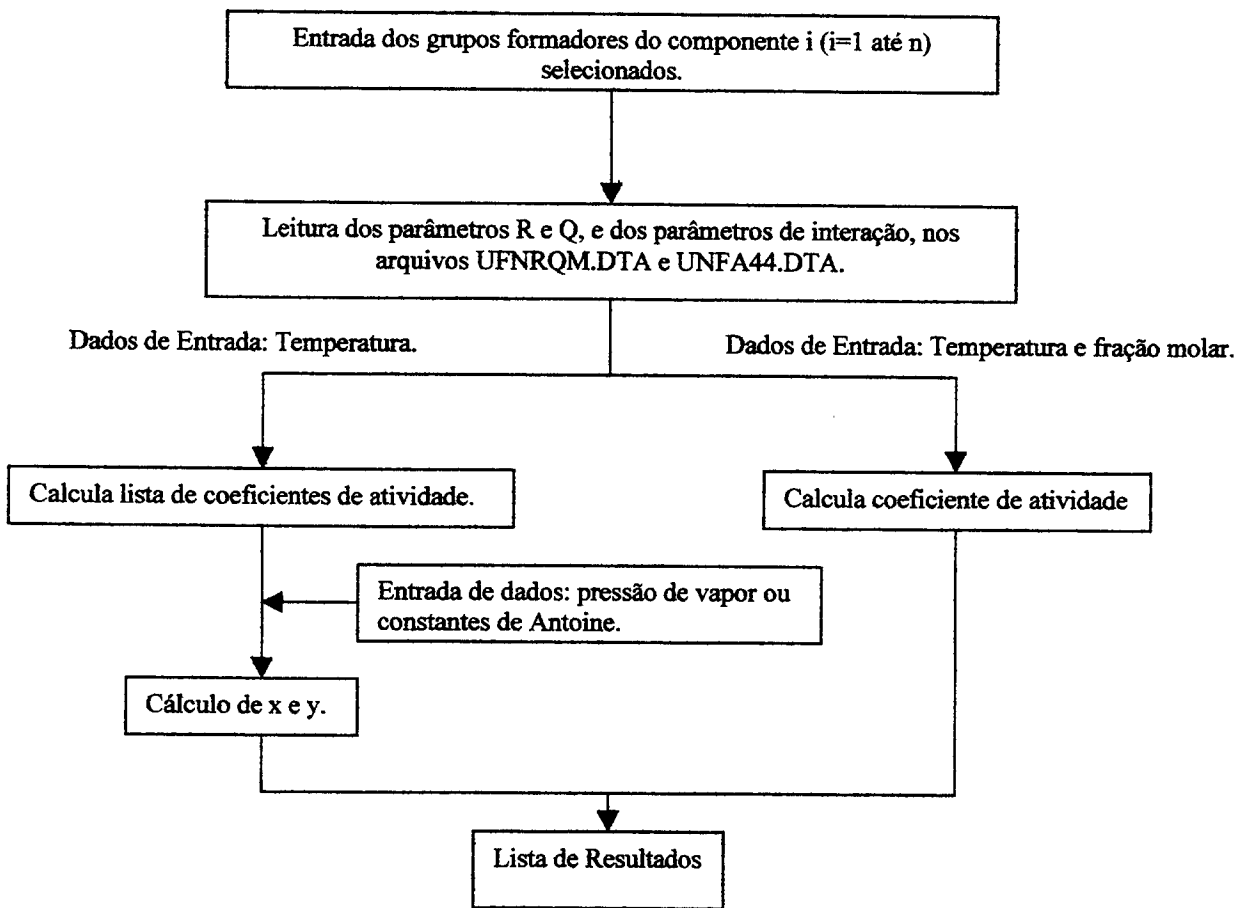
0,0,0,0
85.7,0,535.8,0
0,0,0,0
0,0,-97.71,0
153.7,0,0,0
-165.9,0,0,0
0,0,386.6,0
0,0,175.5,0
0,0,0,0
0,0,-42.31,0
0,0,0,-85.15
0,0,0,0
0,0,0,0
0,0,0,0
0,0,0,0
423.4,0,0,0
47.41,124.2,395.8,0
738.9,528,0,0
-40.9,0,16.99,0
-217.9,0,0,0
0,0,304,898.2
428.5,0,-149.8,-134.2
0,379.4,0,167.9
0,0,0,0
0,0,0,0
0,0,0,0
730.8,0,0,0
-5.132,0,-237.2,-157.3
649.7,645.9,0,0
0,0,0,0
167.1,0,0,116.5
0,0,0,0
0,0,0,-124.6
0,0,0,0
0,0,0,0
0,0,0,0
0,0,0,-117.2
0,0,0,0
-31.95,249,-133.9,-240.2
64.16,172.2,-287.1,0
97.04,0,0,0
-158.2,0,0,0
343.7,0,0,0
0,0,0,-186.7
0,0,0,0
-71.0,-191.7,0

APÊNDICE B

APÊNDICE B

0,745.3,0,0
13.89,0,-23.88,6.214
796.9,0,832.2,0
0,0,0,0
0,0,0,0
0,0,0,0
0,0,0,0
0,0,0,0
0,0,0,0
0,0,0,0
0,0,0,0
0,0,0,0
0,0,0,0
0,0,0,0

Fluxograma referente ao algoritmo UNIFAC



I.2 Algoritmo PENG.R.BAS

```
10' ****
11'*          PENG.R.BAS
12'* PENG-ROBINSON EQUATION OF STATE PHASE EQUILIBRIUM PROGRAM FOR
MIXTURES      FOR USE IN CHAPTER 8 OF THE SECOND EDITION OF
14'* CHEMICAL AND ENGINEERING THERMODYNAMICS BY S. I. SANDLER
*
15'*      PUBLISHED BY J. WILEY & SONS, INC., N. Y.      *
16'*      PROGRAM LAST REVISED 12/6/87      *
17'*      *
18' ****
19 KEY OFF: CLS
20 PRINT TAB(10);
"*****"
21 PRINT TAB(10); /* PROGRAMA PARA CALCULO DO EQUILIBRIO DE FASES EM
MISTURAS */
22 PRINT TAB(10); /* USANDO A EQUACAO DE ESTADO DE PENG ROBINSON
*/
23 PRINT TAB(10); /* MODIFICACAO DO PROGRAMA DE STANLEY I. SANDLER
*/
24 PRINT TAB(10); /* UNIVERSITY OF DELAWARE, NEWARK, DE 19716 U. S. A.
*/
25 PRINT TAB(10); /* COPYRIGHT SEPTEMBER, 1987 BY STANLEY I. SANDLER
*/
26 PRINT TAB(10); /* */
27 PRINT TAB(10); /* DUPLICATION OR DISTRIBUTION IN ANY FORM WITHOUT
THE */
28 PRINT TAB(10); /* WRITTEN PERMISSION OF AUTHOR AND COPYRIGHT
HOLDER IS */
29 PRINT TAB(10); /* PROHIBITED AND IN VIOLATION OF FEDERAL COPYRIGHT
LAWS. */
30 PRINT TAB(10);
"*****"
31 L42$ = "####.####": L14$ = "#.#####": L14E$ = "#.#####^~~~": L24$ =
"##.#####"
32 L1$ = "_____"
33 L2$ = "\  \ #.##### # #####^~~~ #.#####^~~~"
34 L3$ = "\  \ #.##### #.##### #.#####^~~~"
35 L5$ = "#.##### #.#####"
36 L6$ = "\  \ #.##### #.##### #.##### #.#####^~~~"
37 L4$ = "Phase compressibilities"
38 PI# = 3.1415926541#
40 DIM KK1$(10), TC#(10), PC#(10), WC#(10), TB#(10)
45 DIM DEL#(10, 10), X1#(10), X2#(10), Z#(10), zx#(10), AC#(10), eta#(10, 10)
```

```
50 DIM Y#(10), Y1#(10), Y2#(10), YY#(10), YZ#(10), ZZZ#(10), XX#(10), A#(10)
55 DIM C#(3), SA#(10), S#(2), D1#(10), b#(10), AIJ#(10, 10), bij#(10, 10)
60 DIM XLF#(10), XK1#(10), RAT1#(10), PS#(10)
70 DIM FOX#(10), F#(10), F1#(10), F2#(10)
80 R# = 8.314# 'R = J/Mol K
90 RG# = 8.314D-05'R = bar m^3/mol K
100 PRINT : PRINT : INPUT "Enter input device number, 0-keyboard, 1-diskfile"; INPF
110 IF INPF = 1 GOTO 330
120 PRINT "Enter disk filename to save critical properties"
130 INPUT "Example, a:co2&nc4.dat"; FILEOUT$
140 PRINT "This file can be used for data input on rerunning program"
150 OPEN FILEOUT$ FOR OUTPUT AS 2
160 INPUT "Enter the number of components"; nc
170 FOR i = 1 TO nc
180 INPUT "Enter species name (alphabetic, 7 letters)"; KK1$(i)
190 INPUT "Enter Tc(K),Pc(bar),wc, and Tboil(K)"; TC#(i), PC#(i), WC#(i), TB#(i)
200 NEXT i
210 PRINT #2, nc
220 FOR i = 1 TO nc
230 PRINT #2, KK1$(i)
240 PRINT #2, TC#(i), PC#(i), WC#(i), TB#(i)
250 NEXT i
260 CLOSE #2
270 FOR i = 1 TO nc
280 FOR j = 1 TO nc
290 DEL#(i, j) = 0#
295 eta#(i, j) = 0#
300 NEXT j
310 NEXT i
320 GOTO 410
330 INPUT "Enter input diskfile, ex. a:co2&nc4.dat"; FILEIN$
340 OPEN FILEIN$ FOR INPUT AS 1
350 INPUT #1, nc
360 FOR i = 1 TO nc
370 INPUT #1, KK1$(i)
380 INPUT #1, TC#(i), PC#(i), WC#(i), TB#(i)
390 NEXT i
400 CLOSE #1
410 IF nc = 1 GOTO 600
420 PRINT "Type 0 for all binary interaction parameters equal to zero"
430 INPUT " 1 otherwise "; INTFLG
440 IF INTFLG = 0 GOTO 530
450 FOR i = 1 TO nc
460 FOR j = i TO nc
470 IF i=j GOTO 510
480 PRINT "k("; i; ","; j; ") = "
```

```
490 INPUT DEL#(i,j)
493 PRINT "eta("; i; ","; j; ") = "
495 INPUT eta#(i,j)
500 DEL#(j,i) = DEL#(i,j)
505 eta#(j,i) = eta#(i,j)
510 NEXT j
520 NEXT i
530 IF INTFLG = 0 GOTO 600
540 PRINT "Matriz dos parametros de atracao binaria K(i,j)"
550 FOR i = 1 TO nc
560 FOR j = i TO nc
570 PRINT DEL#(i,j)
580 NEXT j
590 NEXT i
591 PRINT "Matriz dos parametros de interacao de volume Eta(i,j)"
592 FOR i = 1 TO nc
593 FOR j = i TO nc
594 PRINT eta#(i,j)
595 NEXT j
596 NEXT i
600 PRINT : PRINT "Type 1 for compressibility calculation"
610 PRINT " 2 for species fugacity calculation"
620 PRINT " 3 for bubble point temperature calculation"
630 PRINT " 4 for dew point temperature calculation"
640 PRINT " 5 for bubble point pressure calculation"
650 PRINT " 6 for dew point pressure calculation"
660 PRINT " 7 for isothermal flash calculation"
670 PRINT " 0 to leave"
680 INPUT ICODE
690 IF ICODE = 0 THEN END
700 PRINT
710 ON ICODE GOSUB 1950, 3300, 3630, 4960, 6250, 7600, 2260
720 GOTO 600
730
```

==

```
740 'subroutine prfuga
750 C1# = SQR(2#)
760 C2# = 1# + C1#
770 C3# = C1# - 1#
780 YMAX# = 0#
790 YMIN# = 0#
800 IF nc > 1 GOTO 840
810 AA# = A#(1)
820 BB# = b#(1)
830 GOTO 1000
```

APÊNDICE B

```
840 FOR i = 1 TO nc
850 SA#(i) = 0#
860 NEXT i
870 AA# = 0#
880 BB# = 0#
890 FOR i = 1 TO nc
895 FOR m = 1 TO nc
896 IF i = m GOTO 960
900 BB# = BB# + zx#(i) * zx#(m) * bij#(i, m)
930 AA# = AA# + zx#(i) * zx#(m) * AIJ#(i, m)
940 SA#(m) = SA#(m) + zx#(i) * AIJ#(i, m)
950 GOTO 980
960 AA# = AA# + zx#(i) * zx#(i) * A#(i)
965 BB# = BB# + zx#(i) * zx#(i) * b#(i)
970 SA#(m) = SA#(m) + zx#(m) * A#(m)
980 NEXT m
990 NEXT i
1000 CA# = AA# * P# / ((RG# * T#) ^ 2)
1010 CB# = BB# * P# / (RG# * T#)
1020 C#(1) = CB# - 1#
1030 C#(2) = CA# - CB# * (3# * CB# + 2#)
1040 C#(3) = CB# * (CB# * CB# + CB# - CA#)
1050 SSA# = (3# * C#(2) - C#(1) * C#(1)) / 3#
1060 SB# = (2# * (C#(1) ^ 3) - 9# * C#(1) * C#(2) + 27# * C#(3)) / 27#
1070 SR# = ((SSA# / 3#) ^ 3) + ((SB# / 2#) ^ 2)
1080 IF SR# < 0# THEN GOTO 1310
1090 IF SR# > 0# THEN GOTO 1150
1100 AZ# = (-SB# / 2#) ^ (1# / 3#)
1110 YZ#(1) = AZ# + AZ#
1120 YZ#(2) = -YZ#(1) / 2#
1130 YZ#(3) = YZ#(2)
1140 GOTO 1400
1150 XA# = (SQR(SR#)) - (SB# / 2#)
1160 IF XA# < 0# GOTO 1170 ELSE 1200
1170 XA# = -XA#
1180 AZ# = -1# * ((XA#) ^ (1# / 3#))
1190 GOTO 1210
1200 AZ# = (XA#) ^ (1# / 3#)
1210 XB# = -(SB# / 2#) - SQR(SR#)
1220 IF XB# > 0 GOTO 1260
1230 XB# = -XB#
1240 AB# = -(XB# ^ (1# / 3#))
1250 GOTO 1270
1260 AB# = (XB#) ^ (1# / 3#)
1270 YZ#(1) = AZ# + AB#
1280 YZ#(2) = YZ#(1)
```

1290 YZ#(3) = YZ#(1)
1300 GOTO 1400
1310 TEMP# = ((SSA# / 3#) ^ 3#)
1320 TEMP# = SQR(-TEMP#)
1330 CSPHI# = -SB# / (2# * TEMP#)
1340 TANPHI# = (SQR(1# - CSPHI# ^ 2)) / CSPHI#
1350 PHI# = ATN(TANPHI#)
1360 T11# = 2# * SQR(-SSA# / 3#)
1370 YZ#(1) = T11# * COS(PHI# / 3#)
1380 YZ#(2) = T11# * COS((PHI# + 2# * PI#) / 3#)
1390 YZ#(3) = T11# * COS((PHI# + 4# * PI#) / 3#)
1400 FOR i = 1 TO 3
1410 YZ#(i) = YZ#(i) - C#(1) / 3#
1420 NEXT i
1430 IF YZ#(1) > YZ#(2) THEN 1460
1440 IF YZ#(2) > YZ#(3) THEN YMAX# = YZ#(2) ELSE YMAX# = YZ#(3)
1450 GOTO 1470
1460 IF YZ#(1) > YZ#(3) THEN YMAX# = YZ#(1) ELSE YMAX# = YZ#(3)
1470 IF YZ#(1) < YZ#(2) THEN 1500
1480 IF YZ#(2) < YZ#(3) THEN YMIN# = YZ#(2) ELSE YMIN# = YZ#(3)
1490 GOTO 1510
1500 IF YZ#(1) < YZ#(3) THEN YMIN# = YZ#(1) ELSE YMIN# = YZ#(3)
1510 Z0# = YMAX#
1520 Z1# = YMIN#
1530 V1# = Z1# * RG# * T# / P#
1540 IF V1# < BB# THEN Z1# = Z0#
1550 '0 = VAPOR AND 1 = LIQUID
1580 IF ICOMP = 0 THEN RETURN
1590 IF IFASE = 0 THEN ZZ# = Z0# ELSE ZZ# = Z1#
1600 AG1# = (ZZ# + C2# * CB#) / (ZZ# - C3# * CB#)
1610 AG1# = LOG(AG1#)
1620 AG2# = CA# / (2# * CB# * C1#)
1630 IF nc > 1 GOTO 1680
1640 FOX#(1) = ZZ# - 1# - LOG(ZZ# - CB#) - AG1# * AG2#
1650 FOX#(1) = EXP(FOX#(1))
1660 F#(1) = P# * FOX#(1)
1670 GOTO 1740
1680 FOR m = 1 TO nc
1690 AG3# = (2# * SA#(m) / AA#) - (b#(m) / BB#)
1700 FOX#(m) = (b#(m) * (ZZ# - 1#) / BB#) - LOG(ZZ# - CB#) - AG1# * AG2# * AG3#
1710 FOX#(m) = EXP(FOX#(m))
1720 F#(m) = zx#(m) * P# * FOX#(m)
1730 NEXT m
1740 RETURN

1750

1760 'subroutine prcons
 1770 FOR i = 1 TO nc
 1780 AC#(i) = .457235529# * ((RG# * TC#(i)) ^ 2) / PC#(i)
 1790 b#(i) = 7.779607400000001D-02 * RG# * TC#(i) / PC#(i)
 1800 XK# = .37464# + (1.54226# - .26992# * WC#(i)) * WC#(i)
 1810 TR# = T# / TC#(i)
 1820 ALSQR# = 1# + XK# * (1# - SQR(TR#))
 1830 ALPHA# = ALSQR# * ALSQR#
 1840 A#(i) = ALPHA# * AC#(i)
 1850 NEXT i
 1860 IF nc = 1 GOTO 1930
 1870 FOR i = 1 TO nc - 1
 1880 FOR j = i + 1 TO nc
 1890 AIJ#(i, j) = (1# - DEL#(i, j)) * SQR(A#(i) * A#(j))
 1900 AIJ#(j, i) = AIJ#(i, j)
 1902 bij#(i, j) = (1# - eta#(i, j)) * ((b#(i) + b#(j)) / 2#)
 1904 bij#(j, i) = bij#(i, j)
 1910 NEXT j
 1920 NEXT i
 1930 RETURN
 1940

1950 'subroutine comp
 1960 SUM# = 0#
 1970 INPUT "Enter feed temperature (K), pressure (bar)"; T#, P#
 1980 IF nc = 1 THEN Z#(1) = 1#
 1990 IF nc = 1 GOTO 2080
 2000 FOR i = 1 TO nc
 2010 PRINT "Enter feed mole fraction of "; KK1\$(i);
 2020 INPUT Z#(i)
 2030 SUM# = SUM# + Z#(i)
 2040 NEXT i
 2050 FOR i = 1 TO nc
 2060 Z#(i) = Z#(i) / SUM#
 2070 NEXT i
 2080 GOSUB 1760 'call prcons
 2090 FOR i = 1 TO nc: zx#(i) = Z#(i): NEXT i
 2100 IFASE = 0: ICOMP = 0
 2110 GOSUB 740 'call prfuga
 2120 PRINT : PRINT L1\$
 2130 PRINT "Compressibility calculation using the Peng-Robinson EOS": PRINT
 2140 PRINT "Temperature= "; : PRINT USING L42\$; T#; : PRINT " K"

```
3040 IF IFLAG = 0 GOTO 3060
3050 GOTO 2590
3060 IF (XLF#(1) < 0#) OR (XLF#(1) > 1#) GOTO 3210
3070 PRINT : PRINT L1$
3080 PRINT "Isothermal flash calculation using the PENG-ROBINSON equation of state"
3090 PRINT "Temperature = "; : PRINT USING L42$; T#; : PRINT " K"
3100 PRINT "Pressure = "; : PRINT USING L42$; P#; : PRINT " bar": PRINT
3110 PRINT "Component    Feed      Liquid      Vapor      K"
3120 FOR i = 1 TO nc
3130 PRINT USING L6$; KK1$(i); Z#(i); X1#(i); Y#(i); XK1#(i)
3140 NEXT i
3150 PRINT
3160 PRINT "Split", : PRINT , : PRINT USING L14$; XLF#(1); : PRINT , : PRINT USING
L14$; XLF#(2)
3170 PRINT : PRINT L4$; : PRINT , : PRINT USING L14$; ZZ1#; : PRINT , : PRINT USING
L14$; ZZ2#
3180 PRINT : PRINT " Number of iterations = "; k
3190 PRINT L1$: PRINT : ICONV = 1
3200 GOTO 3220
3210 PRINT "No flash calculation possibile at these conditions"
3220 PRINT "Type 1 to run again with same components and kij's"
3230 PRINT " 0 to return to main menu"; : INPUT IENDFG
3240 IF IENDFG = 0 GOTO 3280
3245 IF ICONV = 0 GOTO 2320
3250 PRINT "Type 1 to use last K values as initial guess"
3260 INPUT " 0 to reinitialize K values "; KVALUE
3270 GOTO 2320
3280 RETURN
3290
```

```
3300 'subroutine spfug
3310 ICOMP = 1
3320 SUM# = 0#
3330 INPUT "Enter feed temperature (K), pressure (bar)"; T#, P#
3340 IF nc = 1 THEN Z#(1) = 1#
3350 IF nc = 1 GOTO 3440
3360 FOR i = 1 TO nc
3370 PRINT "Enter feed mole fraction of "; KK1$(i);
3380 INPUT Z#(i)
3390 SUM# = SUM# + Z#(i)
3400 NEXT i
3410 FOR i = 1 TO nc
3420 Z#(i) = Z#(i) / SUM#
3430 NEXT i
3440 INPUT "Enter 0 for vapor fugacity, 1 for liquid"; IFASE
3450 GOSUB 1760      'call prcons
```

```

3460 FOR i = 1 TO nc: zx#(i) = Z#(i): NEXT i
3470 GOSUB 740           'call prfuga
3480 PRINT : PRINT L1$
3490 PRINT "Fugacity calculation using the Peng-Robinson equation of state"
3500 PRINT "Temperature = "; : PRINT USING L42$; T#; : PRINT " K"
3510 PRINT "Pressure   = "; : PRINT USING L42$; P#; : PRINT " bar": PRINT
3520 PRINT "Component    Feed      Fugacity (bar)    (f/xP) "
3530 FOR i = 1 TO nc
3540 PRINT USING L2$; KK1$(i); zx#(i); F#(i); FOX#(i)
3550 NEXT i
3560 PRINT : PRINT L4$; : PRINT USING L14$; ZZ#
3570 PRINT L1$: PRINT
3580 PRINT "Type 1 to run again with same components and kij's"
3590 PRINT " 0 to return to main menu"; : INPUT IENDFG
3600 IF IENDFG <> 0 GOTO 3320
3610 RETURN
3620

```

```

3630 'subroutine bubptt
3640 k = 0: ICOMP = 1: KVALUE = 0
3650 SUM# = 0#: ICONV = 0
3660 INPUT "Enter feed pressure (bar)"; P#
3670 PRINT "Enter estimated bubble point temperature (K)"
3680 INPUT " or 0 for default estimate"; T#
3690 IF nc = 1 THEN Z#(1) = 1#
3700 IF nc = 1 GOTO 3790
3710 FOR i = 1 TO nc
3720 PRINT "Enter feed mole fraction of "; KK1$(i);
3730 INPUT Z#(i)
3740 SUM# = SUM# + Z#(i)
3750 NEXT i
3760 FOR i = 1 TO nc
3770 Z#(i) = Z#(i) / SUM#
3780 NEXT i
3790 IF T# <> 0 GOTO 3870
3800 TBG# = 0
3810 TCG# = 0
3820 FOR i = 1 TO nc
3830 TBG# = TBG# + Z#(i) * TB#(i)
3840 TCG# = TCG# + Z#(i) * TC#(i)
3850 NEXT i
3860 T# = .5# * (TBG# + TCG#)
3870 IF k > 30 GOTO 4880
3880 FOR i = 1 TO nc
3890 IF KVALUE = 1 GOTO 3950
3900 DT1# = (1# / T#) - (1# / TB#(i))

```

```
3910 DT2# = (1# / TC#(i)) - (1# / TB#(i))
3920 DLNP# = LOG(PC#(i))
3930 PS#(i) = EXP(DLNP# * DT1# / DT2#)
3940 XK1#(i) = PS#(i) / P#
3950 YY#(i) = Z#(i) * XK1#(i)
3960 NEXT i
3970 KKK = 0
3980 NLOOP = 1
3990 IF T# < 50# GOTO 4590
4000 IF T# > 1200# GOTO 4590
4010 k = k + 1
4020 GOSUB 1760      'call prcons
4030 FOR i = 1 TO nc: zx#(i) = Z#(i): NEXT i
4040 IFASE = 1
4050 GOSUB 740      'call prfuga
4060 FOR i = 1 TO nc: F1#(i) = F#(i): NEXT i
4070 ZZ1# = ZZ#
4080 SUMY# = 0#
4090 FOR i = 1 TO nc
4100 Y2#(i) = YY#(i)
4110 SUMY# = SUMY# + YY#(i)
4120 NEXT i
4130 FOR i = 1 TO nc
4140 YY#(i) = YY#(i) / SUMY#
4150 NEXT i
4160 SUMY# = 0#
4170 KKK = KKK + 1
4180 FOR i = 1 TO nc: zx#(i) = YY#(i): NEXT i
4190 IFASE = 0
4200 GOSUB 740      'call prfuga
4210 FOR i = 1 TO nc: F2#(i) = F#(i): NEXT i
4220 ZZ2# = ZZ#
4230 FOR i = 1 TO nc
4240 YY#(i) = F1#(i) * YY#(i) / F2#(i)
4250 Y1#(i) = YY#(i)
4260 SUMY# = SUMY# + YY#(i)
4270 NEXT i
4280 ITEST = 0
4290 FOR i = 1 TO nc
4300 TEST# = ABS(Y1#(i) - Y2#(i))
4310 IF TEST# > .0001# THEN ITEST = ITEST + 1
4320 YY#(i) = YY#(i) / SUMY#
4330 NEXT i
4340 IF KKK > 25 GOTO 4400
4350 IF ITEST <= 0 GOTO 4400
4360 FOR i = 1 TO nc
```

```
4370 Y2#(i) = Y1#(i)
4380 NEXT i
4390 GOTO 4160
4400 S#(NLOOP) = SUMY#
4410 KKK = 0
4420 IF (NLOOP - 1) > 0 GOTO 4460
4430 NLOOP = 2
4440 T# = T# - .005#
4450 GOTO 4020
4460 DSDT# = (S#(2) - S#(1)) / (.005#)
4470 IF (ABS(DSDT#) < .00001#) GOTO 4590
4480 DLT# = (S#(1) - 1#) / DSDT#
4490 IF ABS(DLT#) < .0026# GOTO 4670
4500 IF k > 50 GOTO 4650
4510 IF k < 11 THEN DD# = 20#
4520 IF k >= 11 THEN DD# = 5#
4530 IF DLT# > DD# THEN T# = T# + DD#
4540 IF DLT# > DD# GOTO 3980
4550 IF DLT# < -DD# THEN T# = T# - DD#
4560 IF -DLT# > DD# GOTO 3980
4570 T# = T# + DLT# + .0025#
4580 GOTO 3980
4590 IF k > 2 GOTO 4630
4600 IF ZZ1# >= .307# THEN T# = T# - 10#
4610 IF ZZ2# <= .307# THEN T# = T# + 10#
4620 GOTO 3980
4630 PRINT "Calculation not converging: one-phase region or poor initial guess"
4640 GOTO 4880
4650 PRINT : PRINT "Bubble point calculation did not converge": PRINT
4660 GOTO 4880
4670 YK# = k
4680 TTEST# = (ZZ1# - ZZ2#) ^ 2
4690 IF TTEST# > .00001# GOTO 4730
4700 IF ZZ1# >= .307# THEN T# = T# - 25# / SQR(YK#)
4710 IF ZZ1# < .307# THEN T# = T# + 25# / SQR(YK#)
4720 KVALUE = 0: GOTO 3870
4730 FOR i = 1 TO nc
4740 XK1#(i) = YY#(i) / Z#(i)
4750 NEXT i
4760 PRINT : PRINT L1$
4770 PRINT "Bubble point temperature calculation using the "
4780 PRINT "Peng Robinson equation of state"
4790 PRINT "Pressure = "; : PRINT USING L42$; P#; : PRINT " bar"
4800 PRINT "Calculated bubble point temperature = "; : PRINT USING L42$; T#; : PRINT "
K": PRINT
4810 PRINT "Component    Feed      Vapor      K"
```

```
4820 FOR i = 1 TO nc
4830 PRINT USING L3$; KK1$(i); Z#(i); YY#(i); XK1#(i)
4840 NEXT i
4850 PRINT : PRINT L4$: PRINT , : PRINT USING L5$; ZZ1#; ZZ2#: PRINT
4860 PRINT "Number of iterations = "; k
4870 PRINT L1$: PRINT : ICONV = 1
4880 PRINT "Type 1 to run again with same components and kij's"
4890 PRINT " 0 to return to main menu"; : INPUT IENDFG
4900 IF IENDFG = 0 GOTO 4940
4905 IF ICONV = 0 GOTO 3640
4910 PRINT "Type 1 to use last K values as initial guess"
4920 INPUT " 0 to reinitialize K values "; KVALUE
4930 k = 0: GOTO 3650
4940 RETURN
4950
```

```
4960 'subroutine dewptt
4970 ICOMP = 1: KVALUE = 0
4980 k = 0
4990 SUM# = 0#: ICONV = 0
5000 INPUT "Enter feed pressure (bar)"; P#
5010 PRINT "Enter estimated dew point temperature (K)"
5020 INPUT " or 0 for default estimate"; T#
5030 IF nc = 1 THEN Z#(1) = 1#
5040 IF nc = 1 GOTO 5130
5050 FOR i = 1 TO nc
5060 PRINT "Enter feed mole fraction of "; KK1$(i);
5070 INPUT Z#(i)
5080 SUM# = SUM# + Z#(i)
5090 NEXT i
5100 FOR i = 1 TO nc
5110 Z#(i) = Z#(i) / SUM#
5120 NEXT i
5130 IF T# <> 0 GOTO 5210
5140 TBG# = 0
5150 TCG# = 0
5160 FOR i = 1 TO nc
5170 TBG# = TBG# + Z#(i) * TB#(i)
5180 TCG# = TCG# + Z#(i) * TC#(i)
5190 NEXT i
5200 T# = .5# * (TBG# + TCG#)
5210 IF k > 30 GOTO 6180
5220 FOR i = 1 TO nc
5230 IF KVALUE = 1 GOTO 5290
5240 DT1# = (1# / T#) - (1# / TB#(i))
5250 DT2# = (1# / TC#(i)) - (1# / TB#(i))
```

APÉNDICE B

```
5260 DLNP# = LOG(PC#(i))
5270 PS#(i) = EXP(DLNP# * DT1# / DT2#)
5280 XK1#(i) = PS#(i) / P#
5290 XX#(i) = Z#(i) / XK1#(i)
5300 NEXT i
5310 KKK = 0
5320 NLOOP = 1
5330 IF T# < 100 GOTO 5930
5340 IF T# > 1200 GOTO 5930
5350 k = k + 1
5360 GOSUB 1760      'call prcons
5370 FOR i = 1 TO nc: zx#(i) = Z#(i): NEXT i
5380 IFASE = 0
5390 GOSUB 740      'call prfuga
5400 FOR i = 1 TO nc: F1#(i) = F#(i): NEXT i
5410 ZZ1# = ZZ#
5420 SUMX# = 0#
5430 FOR i = 1 TO nc
5440 X2#(i) = XX#(i)
5450 SUMX# = SUMX# + XX#(i)
5460 NEXT i
5470 FOR i = 1 TO nc
5480 XX#(i) = XX#(i) / SUMX#
5490 NEXT i
5500 SUMX# = 0#
5510 KKK = KKK + 1
5520 FOR i = 1 TO nc: zx#(i) = XX#(i): NEXT i
5530 IFASE = 1
5540 GOSUB 740      'call prfuga
5550 FOR i = 1 TO nc: F2#(i) = F#(i): NEXT i
5560 ZZ2# = ZZ#
5570 FOR i = 1 TO nc
5580 XX#(i) = F1#(i) * XX#(i) / F2#(i)
5590 X1#(i) = XX#(i)
5600 SUMX# = SUMX# + XX#(i)
5610 NEXT i
5620 ITEST = 0
5630 FOR i = 1 TO nc
5640 TEST# = ABS(X1#(i) - X2#(i))
5650 IF TEST# > .0001# THEN ITEST = ITEST + 1
5660 XX#(i) = XX#(i) / SUMX#
5670 NEXT i
5680 IF KKK > 25 GOTO 5740
5690 IF ITEST <= 0 GOTO 5740
5700 FOR i = 1 TO nc
5710 X2#(i) = X1#(i)
```

5720 NEXT i
5730 GOTO 5500
5740 S#(NLOOP) = SUMX#
5750 KKK = 0
5760 IF (NLOOP - 1) > 0 GOTO 5800
5770 NLOOP = 2
5780 T# = T# - .005#
5790 GOTO 5360
5800 DSDT# = (S#(2) - S#(1)) / .005#
5810 IF (ABS(DSDT#) < .00001#) GOTO 5930
5820 DLT# = (S#(1) - 1#) / DSDT#
5830 IF k > 50 GOTO 5950
5840 IF k < 11 THEN DD# = 50#
5850 IF k >= 11 THEN DD# = 10#
5860 IF DLT# > DD# THEN T# = T# + DD#
5870 IF DLT# > DD# GOTO 5320
5880 IF DLT# < -DD# THEN T# = T# - DD#
5890 IF DLT# < -DD# GOTO 5320
5900 IF ABS(DLT#) < .01# GOTO 5970
5910 T# = T# + DLT# + .0025#
5920 GOTO 5320
5930 PRINT "Calculation not converging: one-phase region or poor initial guess"
5940 GOTO 6180
5950 PRINT : PRINT "Dew point calculation did not converge": PRINT
5960 GOTO 6180
5970 YK# = k
5980 TTEST# = (ZZ1# - ZZ2#) ^ 2
5990 IF TTEST# > .00001# GOTO 6030
6000 IF ZZ1# >= .307# THEN T# = T# - 25# / SQR(YK#)
6010 IF ZZ1# < .307# THEN T# = T# + 25# / SQR(YK#)
6020 KVALUE = 0: GOTO 5210
6030 FOR i = 1 TO nc
6040 XK1#(i) = Z#(i) / XX#(i)
6050 NEXT i
6060 PRINT : PRINT L1\$
6070 PRINT "Dew point temperature calculation using the "
6080 PRINT "Peng Robinson equation of state"
6090 PRINT "Pressure = "; : PRINT USING L42\$; P#; : PRINT " bar"
6100 PRINT "Calculated dew point temperature = "; : PRINT USING L42\$; T#; : PRINT " K":
PRINT
6110 PRINT "Component Feed Liquid K"
6120 FOR i = 1 TO nc
6130 PRINT USING L3\$; KK1\$(i); Z#(i); XX#(i); XK1#(i)
6140 NEXT i
6150 PRINT : PRINT L4\$: PRINT , : PRINT USING L5\$; ZZ1#; ZZ2#: PRINT
6160 PRINT "Number of iterations = "; k

6170 PRINT L1\$: PRINT :ICONV = 1
 6180 PRINT "Type 1 to run again with same components and kij's"
 6190 PRINT " 0 to return to main menu"; : INPUT IENDFG
 6200 IF IENDFG = 0 THEN RETURN
 6205 IF ICONV = 0 GOTO 4980
 6210 PRINT "Type 1 to use last K values as initial guess"
 6220 INPUT " 0 to reinitialize K values "; KVALUE
 6230 GOTO 4980
 6240

6250 'subroutine bubptp
 6260 ICOMP = 1
 6270 IENDFG = 0
 6280 KVALUE = 0
 6290 PBG# = 0#
 6300 k = 0
 6310 SUM# = 0#: ICONV = 0
 6320 INPUT "Enter feed temperature (K)"; T#
 6330 PRINT "Enter estimated bubble point pressure (bar)"
 6340 INPUT " or 0 for default estimate"; P#
 6350 IF nc = 1 THEN Z#(1) = 1#
 6360 IF nc = 1 GOTO 6450
 6370 FOR i = 1 TO nc
 6380 PRINT "Enter feed mole fraction of "; KK1\$(i);
 6390 INPUT Z#(i)
 6400 SUM# = SUM# + Z#(i)
 6410 NEXT i
 6420 FOR i = 1 TO nc
 6430 Z#(i) = Z#(i) / SUM#
 6440 NEXT i
 6450 GOSUB 1760 'call prcons
 6460 IF KVALUE = 1 AND P# > .0001 GOTO 6600
 6470 FOR i = 1 TO nc
 6480 IF T# > (1.1# * TC#(i)) GOTO 6540
 6490 DT1# = (1# / T#) - (1# / TB#(i))
 6500 DT2# = (1# / TC#(i)) - (1# / TB#(i))
 6510 DLNP# = LOG(PC#(i))
 6520 PS#(i) = EXP(DLNP# * DT1# / DT2#)
 6530 GOTO 6570
 6540 TR# = T# / TC#(i)
 6550 AXP# = 7.224# - 2.598# * LOG(TR#) - 7.534# / TR#
 6560 PS#(i) = PC#(i) * EXP(APX#)
 6570 PBG# = PBG# + Z#(i) * PS#(i)
 6580 NEXT i
 6590 IF P# < .0001# THEN P# = PBG#
 6600 FOR i = 1 TO nc

6610 IF KVALUE = 1 GOTO 6630
6620 XK1#(i) = PS#(i) / P#
6630 YY#(i) = Z#(i) * XK1#(i)
6640 NEXT i
6650 KKK = 0
6660 NLOOP = 1
6670 IF P# < 0# GOTO 7270
6680 IF P# > 10000# GOTO 7270
6690 k = k + 1
6700 IF k > 150 GOTO 7290
6710 FOR i = 1 TO nc: zx#(i) = Z#(i): NEXT i
6720 IFASE = 1
6730 GOSUB 740 'call prfuga
6740 FOR i = 1 TO nc: F1#(i) = F#(i): NEXT i
6750 ZZ1# = ZZ#
6760 SUMY# = 0#
6770 FOR i = 1 TO nc
6780 Y2#(i) = YY#(i)
6790 SUMY# = SUMY# + YY#(i)
6800 NEXT i
6810 FOR i = 1 TO nc
6820 YY#(i) = YY#(i) / SUMY#
6830 NEXT i
6840 SUMY# = 0#
6850 KKK = KKK + 1
6860 FOR i = 1 TO nc: zx#(i) = YY#(i): NEXT i
6870 IFASE = 0
6880 GOSUB 740 'call prfuga
6890 FOR i = 1 TO nc: F2#(i) = F#(i): NEXT i
6900 ZZ2# = ZZ#
6910 FOR i = 1 TO nc
6920 4YY#(i) = F1#(i) * YY#(i) / F2#(i)
6930 Y1#(i) = YY#(i)
6940 SUMY# = SUMY# + YY#(i)
6950 NEXT i
6960 ITEST = 0
6970 FOR i = 1 TO nc
6980 TEST# = ABS(Y1#(i) - Y2#(i))
6990 IF TEST# > .0001# THEN ITEST = ITEST + 1
7000 YY#(i) = YY#(i) / SUMY#
7010 NEXT i
7020 IF KKK > 25 GOTO 7080
7030 IF ITEST <= 0 GOTO 7080
7040 FOR i = 1 TO nc
7050 Y2#(i) = Y1#(i)
7060 NEXT i

```
7070 GOTO 6840
7080 S#(NLOOP) = SUMY#
7090 KKK = 0
7100 IF (NLOOP - 1) > 0 GOTO 7140
7110 NLOOP = 2
7120 P# = P# - .005#
7130 GOTO 6710
7140 DSDP# = (S#(2) - S#(1)) / .005#
7150 IF (ABS(DSDP#) < .000001#) GOTO 7270
7160 DLP# = (S#(1) - 1#) / DSDP#
7170 IF k > 50 GOTO 7290
7180 IF k < 11 THEN DD# = 50#
7190 IF k >= 11 THEN DD# = 10#
7200 IF DLP# > DD# THEN P# = P# + DD#
7210 IF DLP# > DD# GOTO 6660
7220 IF DLP# < -DD# THEN P# = P# - DD#
7230 IF DLP# < -DD# GOTO 6660
7240 IF ABS(DLP#) < .01# GOTO 7310
7250 P# = P# + DLP# + .0025#
7260 GOTO 6660
7270 PRINT "Calculation not converging: one-phase region or poor initial guess"
7280 GOTO 7520
7290 PRINT : PRINT "Bubble point calculation did not converge": PRINT
7300 GOTO 7520
7310 YK# = k
7320 TTEST# = (ZZ1# - ZZ2#) ^ 2
7330 IF TTEST# > .00001# GOTO 7370
7340 IF ZZ1# >= .307# THEN P# = P# + 25# / SQR(YK#)
7350 IF ZZ1# < .307# THEN P# = P# - 25# / SQR(YK#)
7360 KVALUE = 0: GOTO 6600
7370 FOR i = 1 TO nc
7380 XK1#(i) = YY#(i) / Z#(i)
7390 NEXT i
7400 PRINT : PRINT L1$
7410 PRINT "Bubble point pressure calculation using the "
7420 PRINT "Peng Robinson equation of state"
7430 PRINT "Temperature = "; : PRINT USING L42$; T#; : PRINT " K"
7440 PRINT "Calculated bubble point pressure = "; : PRINT USING L42$; P#; : PRINT " bar": PRINT
7450 PRINT "Component    Feed      Vapor       K"
7460 FOR i = 1 TO nc
7470 PRINT USING L3$; KK1$(i); Z#(i); YY#(i); XK1#(i)
7480 NEXT i
7490 PRINT : PRINT L4$: PRINT , : PRINT USING L5$; ZZ1#; ZZ2#: PRINT
7500 PRINT "Number of iterations = ", k
7510 PRINT L1$: PRINT : ICONV = 1
```

```
7520 PRINT "Type 1 to run again with same components and kij's"
7530 PRINT "    0 to return to main menu"; : INPUT IENDFG
7540 TOLD# = T#
7550 IF IENDFG = 0 THEN RETURN
7555 IF ICONV = 0 GOTO 6290
7560 PRINT "Type 1 to use last K values as initial guess"
7570 INPUT "    0 to reinitialize K values "; KVALUE
7580 GOTO 6290
7590

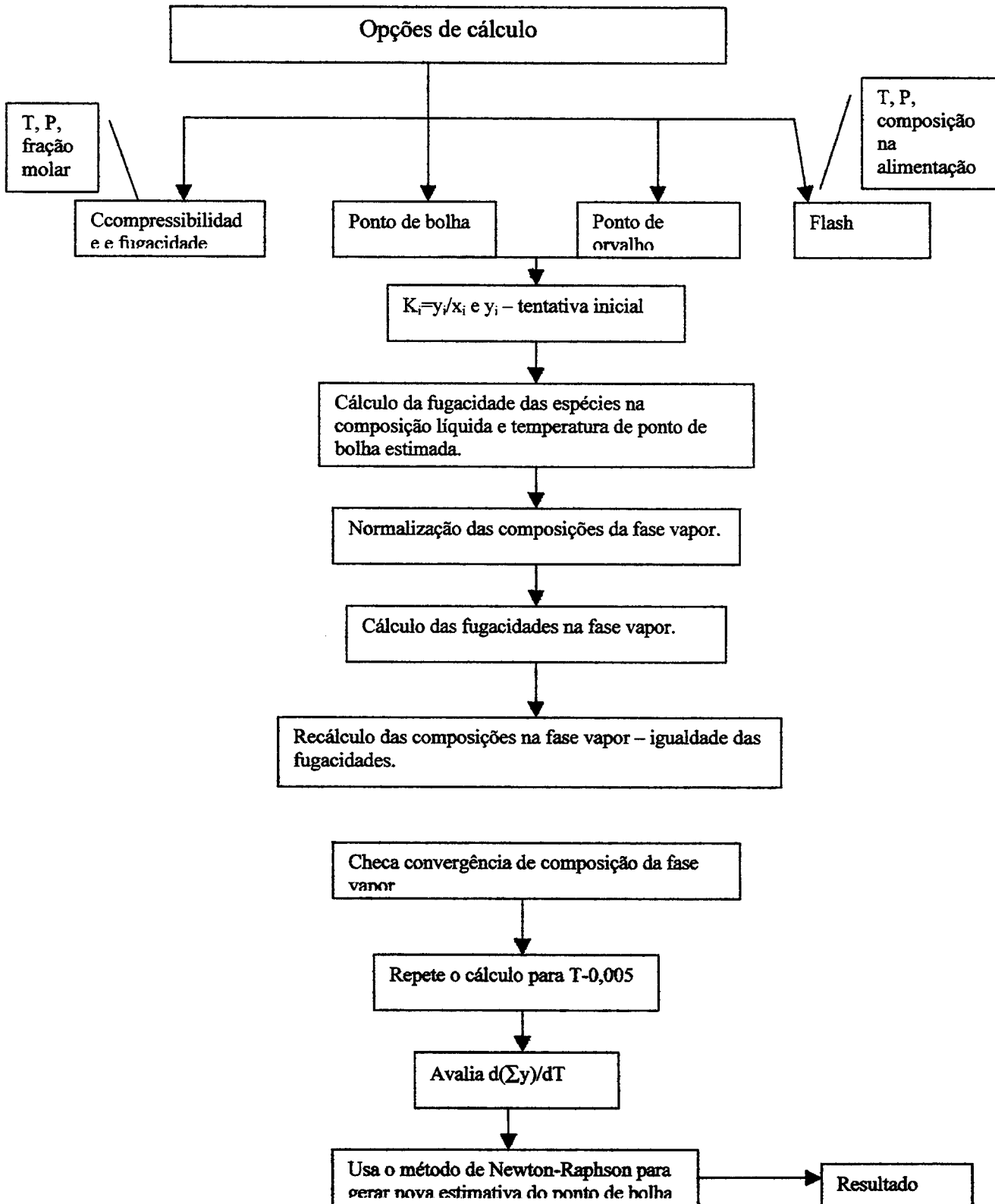

---


= 
7600 'subroutine dewptp '
7610 ICOMP = 1: KVALUE = 0
7620 k = 0
7630 SUM# = 0#: PDG# = 0#: ICONV = 0
7640 INPUT "Enter feed temperature (K)"; T#
7650 PRINT "Enter estimated dew point pressure (bar)"
7660 INPUT "    or 0 for default estimate"; P#
7670 IF nc = 1 THEN Z#(1) = 1#
7680 IF nc = 1 GOTO 7770
7690 FOR i = 1 TO nc
7700 PRINT "Enter feed mole fraction of "; KK1$(i);
7710 INPUT Z#(i)
7720 SUM# = SUM# + Z#(i)
7730 NEXT i
7740 FOR i = 1 TO nc
7750 Z#(i) = Z#(i) / SUM#
7760 NEXT i
7770 GOSUB 1760      'call prcons
7780 IF KVALUE = 1 AND P# > .0001 GOTO 7920
7790 FOR i = 1 TO nc
7800 DT1# = (1# / T#) - (1# / TB#(i))
7810 DT2# = (1# / TC#(i)) - (1# / TB#(i))
7820 DLNP# = LOG(PC#(i))
7830 PS#(i) = EXP(DLNP# * DT1# / DT2#)
7840 PDG# = PDG# + .25# * Z#(i) * PS#(i)
7850 NEXT i
7860 IF P# < .0001# THEN P# = PDG#
7870 FOR i = 1 TO nc
7880 IF KVALUE = 1 GOTO 7900
7890 XK1#(i) = PS#(i) / P#
7900 XX#(i) = Z#(i) / XK1#(i)
7910 NEXT i
7920 KKK = 0
7930 NLOOP = 1
7940 IF P# < 0# GOTO 8550
```

7950 IF P# > 10000# GOTO 8550
7960 k = k + 1
7970 IF k > 30 GOTO 8550
7980 GOSUB 1760 'call prcons
7990 FOR i = 1 TO nc: zx#(i) = Z#(i): NEXT i
8000 IFASE = 0
8010 GOSUB 740 'call prfuga
8020 FOR i = 1 TO nc: F1#(i) = F#(i): NEXT i
8030 ZZ1# = ZZ#
8040 SUMX# = 0#
8050 FOR i = 1 TO nc
8060 X2#(i) = XX#(i)
8070 SUMX# = SUMX# + XX#(i)
8080 NEXT i
8090 FOR i = 1 TO nc
8100 XX#(i) = XX#(i) / SUMX#
8110 NEXT i
8120 SUMX# = 0#
8130 KKK = KKK + 1
8140 FOR i = 1 TO nc: zx#(i) = XX#(i): NEXT i
8150 IFASE = 1
8160 GOSUB 740 'call prfuga
8170 FOR i = 1 TO nc: F2#(i) = F#(i): NEXT i
8180 ZZ2# = ZZ#
8190 FOR i = 1 TO nc
8200 XX#(i) = F1#(i) * XX#(i) / F2#(i)
8210 X1#(i) = XX#(i)
8220 SUMX# = SUMX# + XX#(i)
8230 NEXT i
8240 ITEST = 0
8250 FOR i = 1 TO nc
8260 TEST# = ABS(X1#(i) - X2#(i))
8270 IF TEST# > .0001# THEN ITEST = ITEST + 1
8280 XX#(i) = XX#(i) / SUMX#
8290 NEXT i
8300 IF KKK > 25 GOTO 8360
8310 IF ITEST <= 0 GOTO 8360
8320 FOR i = 1 TO nc
8330 X2#(i) = X1#(i)
8340 NEXT i
8350 GOTO 8120
8360 S#(NLOOP) = SUMX#
8370 KKK = 0
8380 IF (NLOOP - 1) > 0 GOTO 8420
8390 NLOOP = 2
8400 P# = P# - .005#

```
8410 GOTO 7980
8420 DSDP# = (S#(2) - S#(1)) / .005#
8430 IF (ABS(DSDP#) < .000001#) GOTO 8550
8440 DLP# = (S#(1) - 1#) / DSDP#
8450 IF k > 50 GOTO 8570
8460 IF k < 11 THEN DD# = 50#
8470 IF k >= 11 THEN DD# = 10#
8480 IF DLP# > DD# THEN P# = P# + DD#
8490 IF DLP# > DD# GOTO 7930
8500 IF DLP# < -DD# THEN P# = P# - DD#
8510 IF DLP# < -DD# GOTO 7930
8520 IF ABS(DLP#) < .01# GOTO 8590
8530 P# = P# + DLP# + .0025#
8540 GOTO 7930
8550 PRINT "Calculation not converging: one-phase region or poor pressure initial guess"
8560 GOTO 8800
8570 PRINT : PRINT "Dew point calculation did not converge": PRINT
8580 GOTO 8800
8590 YK# = k
8600 TTEST# = (ZZ1# - ZZ2#) ^ 2
8610 IF TTEST# > .00001# GOTO 8650
8620 IF ZZ2# >= .307# THEN P# = P# + 25# / SQR(YK#)
8630 IF ZZ2# < .307# THEN P# = P# - 25# / SQR(YK#)
8640 KVALUE = 0: GOTO 7870
8650 FOR i = 1 TO nc
8660 XK1#(i) = Z#(i) / XX#(i)
8670 NEXT i
8680 PRINT : PRINT L1$
8690 PRINT "Dew point pressure calculation using the "
8700 PRINT "Peng Robinson equation of state"
8710 PRINT "Temperature = "; : PRINT USING L42$; T#; : PRINT " K"
8720 PRINT "Calculated dew point pressure = "; : PRINT USING L42$; P#; : PRINT " bar":
PRINT
8730 PRINT "Component    Feed    Liquid    K"
8740 FOR i = 1 TO nc
8750 PRINT USING L3$; KK1$(i); Z#(i); XX#(i); XK1#(i)
8760 NEXT i
8770 PRINT : PRINT L4$: PRINT , : PRINT USING L5$; ZZ1#; ZZ2#: PRINT
8780 PRINT "Number of iterations = "; k
8790 PRINT L1$: PRINT : ICONV = 1
8800 PRINT "Type 1 to run again with same components and kij's"
8810 PRINT " 0 to return to main menu"; : INPUT IENDFG
8820 IF IENDFG = 0 THEN RETURN
8825 IF ICONV = 0 GOTO 7620
8830 PRINT "Type 1 to use last K values as initial guess"
8840 INPUT " 0 to reinitialize K values "; KVALUE
```

**8850 GOTO 7620
8860 END**



O fluxograma referente ao algoritmo Pengrob.bas, segue o mesmo caminho demonstrado acima, com exceção de trabalhar com a equação de Peng-Robinson com dois parâmetros de interação binária.

I.3 Programa COEFUGN, utilizado para cálculo dos parâmetros de interação binária.

```

{$N+}
Program Estima_Parametros;
Uses Crt,Dos,Printer;
const
  R = 0.0831434 {bar.l/K};
  ReAlfa = 1.0;
  ConBeta = 0.5;
  ExGama = 2.0;
  NC = 2;
Type
  Ponto = Record
    Te,Pe,Xe,Ye,Fe,Fe2: real;
  end;
  regfont = Record
    descfont: string;
  end;
  regres = Record
    etp: byte;
    eta,csi,obj: real;
  end;
  regfug = Record
    niter: byte;
    fugv,fugl: array[1..2] of real;
  end;
var
  {PRINCIPAL}
  existe,conferido,
  parar,acabou,voltar,saida,tresraiz : boolean;
  ifug,im,arqfase,item,l,j,i,m,n : byte;
  resp : char;
  opcao_menu : array[1..30] of string[30];
modulo,arg,Rp,Rq,Rr,Ar,Br,Dcm,Ra,Rb,
apsos,sos,Precisao,apoio,apoio1,apoio2 : real;
  {CALCULOS}
  Etapa_Local,Etapa_Global,EE,TEQ,
  Pt,Fob,fase,calcphase : byte;
  Des,Teta,FVFL,Vd,T,P,Km,Alfa,Sx,
  SPTO1,SPTO2,SPTO,AZ,BZ : real;
  w,Xa,Pc,Tc,X,Y,K,am,bm,Fv,Fl,F2 : array[1..2] of real;
  matfugv : array[1..2,1..50] of real;
  matfugl : array[1..2,1..50] of real;
  SA,SB,Vm : array[1..2] of real ;
  Z : array[1..3] of real;

```

```

Etha,Chsi,Soma : array[1..7] of real;
ETA,CSI,a,b,LNFI : array[1..2,1..2] of real;

{ARQUIVOS}
NPW,Ptela,numtela,NPE : byte;
arquivo : File of Ponto;
arqfont : file of regfont;
arqres : file of regres;
arqfug : file of regfug;
fugacom : regfug;
result : regres;
Valores : Ponto;
regdesc : regfont;
fonte,novasub,drive,novonome,arqnome : string;
Leitor : array[1..6,1..50] of real;

(***** Fim de Declaracoes *****)

Procedure TELA;
Begin { DESENHA UMA TELA PARA OS MENUS }
textbackground(1); textcolor(7); clrscr;
For i:=1 to 25 do begin Gotoxy(1,i); Write(#219); end;
For i:=2 to 79 do begin gotoxy(i,23); write(#223);
                      gotoxy(i,25); write(#220);
end;
for i:=25 downto 1 do begin gotoxy(79,i); write(#219); end;
For i:=78 downto 2 do begin gotoxy(i,1); Write(#223);
                      gotoxy(i,3); write(#220);
end;
end;
(***** fim da TELA *****)

Procedure JANELA(x1,y1,x2,y2,cor: byte);
var lg,at : byte;
BEGIN
  window(x1,y1,x2,y2); textbackground(cor); clrscr;
  lg:=x2-x1; at:=y2-y1+1; textcolor(0);
  gotoxy(1,1); write(#201);
  gotoxy(1,at); write(#200);
  gotoxy(lg,at); write(#188);
  gotoxy(lg,1); write(#187);
  for i:=2 to (lg-1) do
    begin
      gotoxy(i,1); write(#205);
      gotoxy(i,at); write(#205);
    end;
  for i:=2 to (at-1) do
    begin

```

```
    gotoxy(1,i); write(#186);
    gotoxy(lg,i); write(#186);
end;
textcolor(7);
END;
***** FIM DO JANELA *****
Function FAZ_MENU(ni,item,c1,c2,cor:byte):byte;
var
  npag,pag,prim,ult : byte;
begin
  npag:=(ni div 16) + 1; prim:=1; pag:=1;
  if npag>1 then ult:=16
  else ult:=ni;
repeat
  textbackground(cor); textcolor(7);
  for i:=prim to ult do
    begin
      if (i-prim)<8 then gotoxy(c1,2*(i-prim)+3)
      else gotoxy(c2,2*(i-prim-8)+3);
      write(i,'=>',opcao_menu[i]);
    end;
  i:=item;
repeat
  textcolor(cor); textbackground(5);
  if (i-prim)<8 then gotoxy(c1,2*(i-prim)+3)
  else gotoxy(c2,2*(i-prim-8)+3);
  write(i,'=>',opcao_menu[i]);
repeat
  resp:=readkey;
until resp in [#13,#27,#117,#72,#73,#75,#77,#80,#81];
if resp<>#13 then
begin
  textcolor(7); textbackground(cor);
  if (i-prim)<8 then gotoxy(c1,2*(i-prim)+3)
  else gotoxy(c2,2*(i-prim-8)+3);
  write(i,'=>',opcao_menu[i]);
end;
case resp of
  #27 : voltar:=true;
  #117 : saida:=true;
  #73 : if pag<>1 then begin
            prim:=prim-16; pag:=pag-1; ult:=pag*16;
          end;
  #81 : if (npag>1) and (pag<>npag) then
            begin
```

```
prim:=prim+16; pag:=pag+1;
if (ni-16*pag)>0 then ult:=pag*16
else ult:=ni;
end;
#72 : if i>prim then i:=i-1 else i:=ult; {sobe}
#80 : if i<ult then i:=i+1 else i:=prim; {desce}
#75,#77 : if (ult-prim)>8 {esq,dir}
then if i>(prim+8) then i:=i-8
else i:=i+8;
end;
until (resp in [#73,#81,#13]) or (voltar) or (saida);
until (voltar) or (resp=#13) or (saida);
textcolor(7); textbackground(1); FAZ_MENU:=i;
end;
***** fim do desenha menu *****
function RESPOSTA( op1,op2:char) : char ;
begin
repeat
resp:=readkey;
if resp=#0 then resp:=readkey
else resp:=Upcase(resp);
until resp in [op1,op2,#27,#117];
case resp of
#27 : voltar:=true;
#117 : saida:=true;
else resposta:=resp;
end;
end;
***** fim do resposta *****
function CONFERE(menor,maior : char ) : byte;
begin
confere:=0; conferido:=false;
repeat
resp:=readkey;
until resp in [#8,#13,#27,menor..maior,'-',#117];
case resp of
#27 : voltar :=true ;
#6 : parar:=true;
#117 : saida:=true;
#13 : acabou:=true;
end;
if ( ord(resp) <= ord(maior) ) and ( ord(resp) >= ord(menor) )
then begin
confere := ord(resp) - 48 ; write(resp); conferido:=true;
end;
end;
```

```
(*****fim do confere *****)
function LE_REAL(x,y:byte; valor:real) : real ;
var
  unid,inteiro,fracao : real;
  alg : byte ;
  u : integer;
  negativo : boolean;

BEGIN
  le_real:=valor ; inteiro:=0 ; fracao:=0 ; negativo:=false ;
  acabou:=false; gotoxy(x+1,y); clreol; write(valor:6:8);
  alg:=0; parar:=false;
  repeat
    repeat
      resp:=readkey;
      if resp=#0 then
        begin
          resp:=readkey;
          case resp of
            #117 : saida:=true;
{F1}           #59 : parar:=true;
            else resp:=#0;
            end;
        end;
    until resp in ['0'..'9','.',',',#6,#8,#13,#27,#117,#59] ;
    case resp of
      #59 : parar:=true;
      #13 : acabou:=true;
      #27 : voltar:=true;
      '.' : begin
        gotoxy(x,y); write('-'); negativo:=true; gotoxy(x+alg+1,y);
        end;
      #6 : parar:=true; {^F}
      ',' : begin
        if alg=0 then
          begin
            gotoxy(x+1,y); clreol; le_real:=0;
            write('0.');?>
            alg:=1;
          end
        else write('.');
        u:=-1; alg:=alg+1;
        repeat
          unid := CONFERE('0','9');
          if not ((voltar) or (saida)) then
            begin
              if conferido then
```

```
begin
    fracao := fracao + unid*exp( u*ln(10) );
    u := u - 1 ; alg:=alg+1;
end
else if (resp=#8) then
    LE_REAL:=LE_REAL(x,y,valor)
else if resp='-' then
    begin
        gotoxy(x,y); write('-');
        negativo:=true; gotoxy(x+alg+1,y);
    end;
end;
until (acabou) or (voltar) or (saida) or (parar);
end;
#8 : begin
    if (alg>0) then
        begin
            gotoxy(x,y); clreol;
            valor:=LE_REAL(x,y,valor);
            inteiro:=0; fracao:=valor;
        end ;
    end;
else begin
    if alg=0 then
        begin
            gotoxy(x+1,y); clreol; le_real:=0;
        end;
    unid := ord(resp) - 48 ; write(resp);
    inteiro := inteiro*10 + unid ; alg:=alg+1
end;
end ;
until (acabou) or (voltar) or (saida) or (parar) ;
if (acabou) and (alg<>0) then
    if negativo then LE_REAL := - (fracao + inteiro)
    else LE_REAL := fracao + inteiro ;
end;
(***** fim do le_real *****)
Function LE_NOMES(x,y,nlet : byte ;name : string ) : string ;
Begin
    {<ESC>-VOLTAR <ENTER>-ESCOLHER <BKS>-APAGAR <CTRL-END (#117)>-SAIR}
    gotoxy(x,y); clreol; write(name); i:=0;
repeat
    repeat
        resp:=readkey;
        if resp=#0 then
```

```

begin
    resp:=readkey;
    if resp=#117 then saida:=true
        else resp:=#0;
    end;
until (resp in ['a'..'z','A'..'Z','','#13,':','\,#8,#27,#32] ) or (saida) ;
case resp of
    #27 : voltar:=true;
    #13 : if ( length(name)=0 ) or ( length(name)>nlet ) then
        begin
            resp:=#8; write(#7);
        end
    else acabou:=true;
    #8 : begin
        if i>0 then
            begin
                delete(name,i,1); i:=i-1;
                gotoxy(x+i,y); cleol;
            end;
        end;
    else begin
        if i=0 then
            begin
                gotoxy(x,y); cleol; name="";
            end;
        resp:=upcase(resp);
        gotoxy(x+i,y); write(resp);
        i:=i+1; insert(resp,name,i);
    end;
end;
until (saida) or (voltar) or (acabou);
LE_NOMES:=name;
End;
(***** FIM DO LE-NOMES ****)
{ ##### ARQUIVOS #####
Procedure NOME_ARQUIVO;
Begin
    TELA; gotoxy(5,2); write('ARQUIVO DE TRABALHO');
    gotoxy(5,24); write(' <ESC>-VOLTAR <ENTER>-ESCOLHER <BKS>-APAGAR
<CTRL-END>-SAIR');
    window(2,4,78,22);
    gotoxy(5,2); write('DIGITE UM NOME COM NO MAXIMO 25 CARACTERES ');
    gotoxy(3,5); write('NOME => '); acabou:=false;

```

```
gotoxy(3,8); write('DRIVE => '); existe:=false;
gotoxy(3,12); write('FONTE => ');
repeat
  arqnome:=LE_NOMES(15,5,25,arqnome);      {coordenadas da janela}
until ( (voltar) or (saida) or (acobou) );
if not ( (voltar) or (saida) ) then
  begin
    acabou:=false;
    drive:=LE_NOMES(15,8,10,drive);   ChDir(drive);
    if not ( (voltar) or (saida) ) then
      begin
        assign(arquivo,arqnome+'.PAT');
        {$I-} reset(arquivo); {$I+}
        if ioreult=0 then
          begin
            existe:=true; close(arquivo);
            assign(arquivo,arqnome+'.PAT');
          end
        else if arqfase<>11 then {se nao for abrir}
          begin
            gotoxy(10,15); write('ARQUIVO INEXISTENTE');
            delay(2000); window(1,1,80,25); NOME_ARQUIVO;
          end;
      end;
    end;
    acabou:=true;
    fonte:="";
    assign(arqfont,arqnome+'.FON');
    {$I-} reset(arqfont); {$I+}
    if ioreult = 0 then
      begin
        read(arqfont,regdesc);
        With regdesc do
        Begin
          fonte := descfont;
        end;
        close(arqfont);
      end
    Else
      Begin
        rewrite(arqfont);
        close(arqfont);
      End;
  repeat
    FONTE:=LE_NOMES(15,12,25,FONTE);      {coordenadas da janela}
until ( (voltar) or (saida) or (acobou) );
```

```
With regdesc do
Begin
  descfont:= fonte;
End;
reset(arqfont);
if ioreult = 0 then
  write(arqfont,regdesc);
close(arqfont);
assign(arqres,arqnome+'.RES');
{$I-} reset(arqres); {$I+}
If ioreult <> 0 then
  rewrite(arqres);
assign(arqfug,arqnome+'.FUG');
{$I-} reset(arqfug); {$I+}
If ioreult <> 0 then
  rewrite(arqfug);
window(1,1,80,25);
End;
(****** fim DO NOME-ARQUIVO
*****)
Procedure ABRIR_ARQUIVO;
Begin
  TELA; gotoxy(5,2); write('ABRIR ARQUIVO'); JANELA(12,7,68,14,5);
  if existe then
    begin
      gotoxy(5,2); write('ARQUIVO JA EXISTENTE'); delay(1000);
      gotoxy(5,4); write('DESEJA SOBREPOR ? (S/N)');
      resp:=resposta('S','N');
      if not((voltar) or (saida)) then
        begin
          if resp='S' then begin
            gotoxy(5,6); write('ARQUIVO SENDO SOBREPOSTO');
            reset(arquivo); rewrite(arquivo); close(arquivo);
            end;
          end;
        end else begin
          gotoxy(5,2); write('ARQUIVO SENDO ABERTO');
          gotoxy(5,4); write('NOME => ',arqnome); delay(1000);
          assign(arquivo,arqnome+'.PAT');
          rewrite(arquivo); close(arquivo);
          EXISTE:=TRUE;
          end;
        gotoxy(5,6); write('MEMORIA DISPONIVEL NO DISCO : ');
        i:= ord(drive[1]) - 64; write(diskfree(i):6,' bytes');
        while not keypressed do;
        window(1,1,80,25);
```

```
END;
(***** FIM DO ABRE-ARQ *****)
Procedure LE_PONTOS_EXPERIMENTAIS(NPE : byte);
BEGIN
  reset(arquivo);
  For i:=1 to NPE do
    Begin
      seek(Arquivo,i-1); read(Arquivo,Valores);
      With Valores do
        Begin
          Leitor[1,i]:=Te; Leitor[2,i]:=Pe; Leitor[5,i]:=Fe;
          Leitor[3,i]:=Xe; Leitor[4,i]:=Ye; Leitor[6,i]:=Fe2;
        End;
    End;
  END;
(***** FIM DO LE-PONTOS-
EXPERIMENTAIS*****)
Procedure ENTRADA_DADOS;
  {#6=CTRL-F / #59=F1 }
Function NP : byte;
Begin
  NP:=( 10*(Numtela) ) + Ptela;
End;

BEGIN
  TELA; gotoxy(5,2); write('ENTRADA DOS VALORES DE x E y EXPERIMENTAIS ');
  gotoxy(3,24); write('<ENTER>-ENTRAR <CTRL-F>-ENCERRAR <F1>-VOLTAR
ENTRADA <BKS>-APAGAR');
  gotoxy(5,3); write('SISTEMA:', ARQNOME,' FONTE:',FONTE );
  gotoxy(6,5); Write('T (K)':10,'P (bar)':12,'Xe ':14,'Ye ':12,'Fe ':12,'Fe2 ':10);
  Ptela:=1; NumTela:=0; JANELA(10,17,68,21,4);
  Gotoxy(5,2); Write('Se nao houver algum valor experimental X ou Y,');
  Gotoxy(5,4); Write('dar o valor 10 ao ponto desconhecido');
  Textbackground(1); window(2,6,78,16); Reset(arquivo);
  NPE:=Filesize(arquivo); LE_PONTOS_EXPERIMENTAIS(NPE);
Repeat
  Leitor[1,NP] := LE_REAL(4,Ptela,Leitor[1,NP]);
  If (Ptela=1) and (Numtela>0) and (resp=#59) Then
    Begin
      NumTela:=Numtela-1; Ptela:=10; Clscr; resp:=#58;
    End;
  if (resp=#59) and (Ptela>1) then Ptela:=Ptela-1 ;
  if not ( (voltar) or (saida) or (resp=#59) ) then
    Begin
      if resp<>#6 then
```

```
Begin
    Leitor[2,NP]:= LE_REAL(16,Ptela,Leitor[2,NP]);
    if resp=#59 then Ptela:=Ptela-1;
    if not ( (voltar) or (saida) or (resp=#59) ) then
        Begin
            if resp<>#6 then
                Begin
                    Leitor[3,NP]:= LE_REAL(28,Ptela,Leitor[3,NP]);
                    if resp=#59 then Ptela:=Ptela-1;
                    if not ( (voltar) or (saida) or (resp=#59) ) then
                        Begin
                            if resp<>#6 then
                                Begin
                                    Leitor[4,NP]:= LE_REAL(41,Ptela,Leitor[4,NP]);
                                    if resp=#59 then Ptela:=Ptela-1;
                                    if not ( (voltar) or (saida) or (resp=#59) ) then
                                        Begin
                                            Leitor[5,NP]:= LE_REAL(52,Ptela,Leitor[5,NP]);
                                            if resp=#59 then Ptela:=Ptela-1;
                                            if not ( (voltar) or (saida) or (resp=#59) ) then
                                                Begin
                                                    Leitor[6,NP]:= LE_REAL(63,Ptela,Leitor[6,NP]);
                                                    if resp=#59 then Ptela:=Ptela-1;
                                                    Ptela:=Ptela+1;
                                                    End else Ptela:=Ptela-1;
                                                    End Else If voltar Then voltar:=false;
                                                End else Ptela:=Ptela-1;
                                            End
                                        End else Ptela:=Ptela-1;
                                    End
                                End
                            End else Ptela:=Ptela-1;
                        End
                    End
                End
            End else Ptela:=Ptela-1;
        End
    End else Ptela:=Ptela-1;
End;
If Ptela=11 Then
    Begin
        Ptela:=1; Numtela:=Numtela+1; Clrscr;
    End;
until (voltar) or (saida) or (resp=#6);
NPE:=NP;
For i:=1 to NPE do
    Begin
        With Valores do
            Begin
                Te:=Leitor[1,i]; Pe:=Leitor[2,i];
                Xe:=Leitor[3,i]; Ye:=Leitor[4,i];
                Fe:=Leitor[5,i]; Fe2:=Leitor[6,i];
            End;
    End;
```

```
        End;
        Seek(arquivo,i-1); Write(arquivo,valores);
    End;
    Window(1,1,80,25); close(arquivo);
END;
***** fim * do * entrada_dados *****
{ Gotoxy(3,1+NPE); Write('Te('NPE:2,)= '); Gotoxy(22,1+NPE); Write('Pe('NPE:2,)= ');
  Gotoxy(40,1+NPE); Write('Xe('NPE:2,)= '); Gotoxy(58,1+NPE); Write('Ye('NPE:2,)= ');
}

Procedure APAGAR_ARQUIVO;
Begin
    TELA; gotoxy(5,2); write('APAGAR ARQUIVO'); gotoxy(5,10);
    write('PRESSIONE <ENTER> PARA APAGAR DO DISCO O ARQUIVO ABAIXO');
    gotoxy(20,14); write('NOME => ',arqnome);
    gotoxy(5,24); write('<ESC> - VOLTAR <CTRL-END>-SAIR');
    resp:=RESPOSTA(#13,#27);
    if resp=#13 then begin
        gotoxy(15,18); write('ARQUIVO SENDO APAGADO');
        erase(arquivo); existe:=false; delay(2000);
    end;
End;
***** FIM DO APAGAR-ARQUIVO
*****
```

Procedure RENOMEAR_ARQUIVO;

```
Begin
    TELA; gotoxy(5,2); write('ALTERAR NOME DO ARQUIVO DE TRABALHO');
    gotoxy(5,24); write('<ENTER>-ENTRAR <ESC>-VOLTAR <CTRL-END>-SAIR');
    window(2,4,78,22);
    gotoxy(5,4); write('NOME ATUAL => ',arqnome);
    gotoxy(5,7); write('NOVO NOME => ');
    acabou:=false;
    repeat
        novonome:= LE_NOMES(21,7,12,novonome);
    until ( (ACABOU) or (voltar) or (saida) );
    if voltar then voltar:=false
    else begin
        gotoxy(25,12); write('MUDANDO NOME');
        assign(arquivo,arqnome+'.PAT');
        rename(arquivo,novonome+'.PAT');
        delay(1000); arqnome:=novonome;
    end;
    window(1,1,80,25);
End;
***** FIM DO RENOMEAR-ARQUIVO
*****
```

Procedure IMPRIMIR_ARQUIVO;

```
BEGIN
  TELA; Gotoxy(5,2); Write('IMPRESSAO DO ARQUIVO');
  Gotoxy(10,5); Write('Impressora esta pronta ? (s/n)');
  resp:=RESPOSTA('S','N');
  If resp='S' Then
    Begin
      Writeln(lst,:5,'Temper':10,'Pressao':10,'Xe':10,'Ye':10,'Fe':10,'Fe2':10);
      reset(arquivo); NPE:=Filesize(arquivo);
      For i:=1 to (NPE) Do
        Begin
          Seek(arquivo,i-1); read(arquivo,valores);
          With valores Do
            Writeln(lst,i:5,Te:10:2,Pe:10:4,Xe:10:6,Ye:10:6,Fe:10:7,Fe2:10:7);
        End;
      Close(Arquivo);
    End;
  END;
  (** FIM DO IMPRIMIR-ARQUIVO
  *****)
Procedure IMPRIMIR_RESULT;
BEGIN
  TELA; Gotoxy(5,2); Write('IMPRESSAO DO RESULTADO');
  Gotoxy(10,5); Write('Impressora esta pronta ? (s/n)');
  resp:=RESPOSTA('S','N');
  If resp='S' Then
    Begin
      Writeln(lst,' Resultado do processamento de '+arqnome+'.PAT');
      Writeln(lst);
      Writeln(lst,'Global':7,'Eta':10,'Csi':10,
              'Fun. Obj.':11);
      reset(arqres); NPE:=Filesize(arqres);
      For i:=1 to (NPE-1) Do
        Begin
          Seek(arqres,i-1); read(arqres,result);
          With result Do
            Writeln(lst,etp:7,Eta:10:4,
                    Csi:10:4,obj:11:4);
        End;
      seek(arqres,NPE-1);
      read(arqres,result);
      With result do
        Begin
          Writeln(lst);
          Writeln(lst,'Valores finais de convergencia:');
          Writeln(lst);
          Writeln(lst,'Numero de Iteracoes : ':20,Etp:10);
        End;
    End;
  END;
```

```
Writeln(lst);
Writeln(lst,'ETA ::20,Eta:10:8);
Writeln(lst);
Writeln(lst,'CSI ::20,Csi:10:8);
Writeln(lst);
Writeln(lst,'Funcao Objetivo ::20,Obj:10:4);
End;
Close(Arqres);
reset(arqfug);
NPE := filesize(arqfug);
writeln;
writeln(lst,'Valores de fugacidade calculados');
writeln(lst,'Etapa':8,'Pt':5,'fl(1)':10,'fl(2)':10,'fv(1)':10,
'fv(2)':10);

for ifug := 1 to Npe do
Begin
Seek(arqfug,ifug-1);
Read(arqfug,fugacom);
With fugacom do
writeln(lst,niter:8,ifug:5,fugl[1]:10:5,fugl[2]:10:5,
fugv[1]:10:5,fugv[2]:10:5);
End;
End;
END;
***** FIM DO IMPRIMIR-ARQUIVO
*****)
Procedure MANIPULACAO_ARQUIVO;
Begin
repeat
  gotoxy(5,2); write('MANIPULACAO De ARQUIVOS --> OPCOES DE TRABALHO
');
  gotoxy(5,24); write('<ESC>-VOLTAR    <ENTER>-SELECCIONAR    <CTRL-END>-SAIR');
  opcao_menu[4]:='MUDAR NOME';   opcao_menu[3]:='APAGAR ARQUIVO';
  opcao_menu[1]:='ABRIR ARQUIVO'; opcao_menu[5]:='IMPRIMIR ARQUIVO';
  opcao_menu[2]:='ENTRADA DE DADOS';
  opcao_menu[6]:='IMPRIMIR RESULTADO';
  JANELA(10,8,40,21,4);
  item:= FAZ_MENU(6,1,5,20,4);
  if voltar then clrscr;
  window(1,1,80,25);
  if not ( (saida) or (voltar) ) then
    begin
      arqfase:=10+item;
      NOME_ARQUIVO;
```

```
if not ( (voltar) or (saida) ) then
begin
  case arqfase of
    14: RENOMEAR_ARQUIVO; 13: APAGAR_ARQUIVO;
    11: ABRIR_ARQUIVO; 15: IMPRIMIR_ARQUIVO;
    12: ENTRADA_DADOS;
    16: IMPRIMIR_RESULT;
  end;
  voltar:=false;
end
else voltar:=false;
TELA;
end;
until (voltar) or (saida) ;
voltar:=false;
End;
(***** FIM DO MANIPULACAO-ARQUIVO
*****)
```

{ => CALCULOS <= }

```
Procedure CALCULA_AB_EQ_CUBICA;
BEGIN
  case EE of
    4 : begin {Van der Walls}
      for i:=1 to NC do
        begin
          a[i,i]:= 0.421875*sqr(R*Tc[i])/Pc[i] ;
          b[i,i]:= 0.125*R*Tc[i]/Pc[i] ;
        end;
      end;
    3 : begin {Redlich_kwog}
      for i:=1 to NC do
        begin
          a[i,i] := 0.42748*sqr(R*Tc[i])*sqrt(Tc[i])/Pc[i] ;
          b[i,i] := 0.08664*R*Tc[i]/Pc[i] ;
        end;
      end;
    2 : begin {Soave-Redlich-Kwong}
      for i:=1 to NC do
        begin
          Km := 0.480 + 1.574*w[i] - 0.176*sqr(w[i]) ;
          Alfa := sqr(1 + Km*(1 - sqrt(T/Tc[i])) ) ;
          a[i,i] := 0.42748*sqr(R*Tc[i])*Alfa/Pc[i] ;
          b[i,i] := 0.08664*R*Tc[i]/Pc[i] ;
        end;
      end;
```

```

    end;
    end;
1 : begin {Peng-Robinson}
    for i:= 1 to NC do
        begin
            Km := 0.37464 + 1.54226*w[i] - 0.26992*sqr(w[i]) ;
            b[i,i] := 0.07780*R*(Tc[i]/Pc[i]) ;
            Alfa := sqr(1 + Km*(1 - sqrt(T/Tc[i])) ) ;
            a[i,i] := 0.45724*sqr(R*Tc[i])*Alfa/Pc[i] ;
        end;
        end;
end; {do case}
for i:=1 to (NC-1) do
begin
    for j:=(i+1) to NC do
        begin
            a[i,j] := (1 - ETA[i,j])*sqrt(a[i,i]*a[j,j]);
            b[i,j] := (1 - CSI[i,j])*( b[i,i] + b[j,j] )/2;
            a[j,i] := a[i,j]; b[j,i] := b[i,j];
        end;
    end;
END;
(****** FIM DO CALCULA ABC EQ-CUBICA
*****)
Procedure CALCULA_FRACAO_MOLAR;
BEGIN
    SX := 1 - X[1];
    for i:=2 to NC do x[i] := Xa[i]*SX;
    for i:=1 to NC do y[i] := k[i]*x[i];
END;
(****** CALCULA-FRCAO-MOLAR
*****)
Procedure REPETE_CALCULOS;
Begin
    k[1] := 0.999/x[1]; SX := 1 - X[1];
    k[2]:= ( 1-x[1]*k[1] )*(1/SX);
    For i:=3 to NC do k[i] := k[i-1];
End;
(****** REPETE_CALCULOS *****)
Procedure ESTIMATIVA_INICIAL;
BEGIN
    x[1]:= 0.001 ; REPETE_CALCULOS;
    CALCULA_FRACAO_MOLAR; apsos:=0.001;
END;
(****** ESTIMATIVA
*****)

```

```
Procedure NOVA_ESTIMATIVA;
BEGIN
    for i:=1 to NC do k[i] := k[i]*(fL[i]/fV[i]); apoio:=0;
    for i:=2 to Nc do apoio := apoio + Xa[i]*(k[i] - 1);
    apoio:=(1-k[1])/apoio; X[1]:= 1/(apoio+1);
    If x[1]<0 Then
        Begin
            apsos:=sqrt(apsos); x[1]:=apsos;
            if x[1]<1e-8 then x[1]:=1e-8;
            Repete_Calculos;
        End;
    If x[1]>1 Then
        Begin
            apsos:=sqrt(apsos); x[1]:=apsos;
            if (1-apsos)<1e-8 then x[1]:=0.9999999;
            Repete_Calculos;
        End;
    if abs(1-k[1])<1e-7 then
        Begin
            x[1]:=0.999*x[1];
            Repete_Calculos;
        End;
CALCULA_FRACAO_MOLAR;
END;
(***** NOVA-ESTIMATIVA
*****)
Procedure PARAMETROS_MISTURA;
BEGIN
    for i:=1 to 2 do
        begin
            am[i]:=0; bm[i]:=0;
        end;
    for i:=1 to NC do
        for j:=1 to NC do
            begin
                am[1] := am[1] + x[i]*x[j]*a[i,j];
                bm[1] := bm[1] + x[i]*x[j]*b[i,j];
                am[2] := am[2] + y[i]*y[j]*a[i,j];
                bm[2] := bm[2] + y[i]*y[j]*b[i,j];
            end;
END;
(***** FIM DO PARAMETROS-MISTURA
*****)
Function CBRT(valor:real):real;
BEGIN
    if valor>0 then CBRT := exp( ln(valor)/3 )
```

```

else if valor=0 then CBRT:=0
else begin
    valor:=abs(valor); CBRT:= - CBRT(valor);
end;
END;
(***** FIM DO CBRT *****)
Procedure RESOLVE(Rp,Rq,Rr : real); {Equacao do tipo X3 + Rp.X2 + Rq.X + Rr = 0 }
BEGIN
for i:=1 to 3 do Z[i]:=0;
Ra := ( 3*Rq - sqr(Rp) )/3; Rb := ( 2*Rp*sqr(Rp) - 9*Rp*Rq +27*Rr )/27;
Dcm := ( sqr(Rb)/4 + Ra*sqr(Ra)/27 ); tresraiz:=true;
if Dcm>=0 then
begin
    Ar := CBRT(sqrt(Dcm) - Rb/2);
    Br := CBRT(-sqrt(Dcm) - Rb/2);
    if Ar<>Br then begin
        Z[1]:=Ar+Br; tresraiz:=false;
        end
    else if Ar<>0 then begin
        Z[1]:=Ar+Br;
        Z[2]:= - (Ar+Br)/2; Z[3]:=Z[2];
        end;
    end
else begin
    Dcm := abs(Dcm);
    modulo := sqrt( sqrt(-Rb/2) + Dcm );
    arg:= arctan( -2*sqrt(Dcm)/Rb );
    Z[1]:= 2*cos( arg/3 )*CBRT(modulo);
    Z[2]:= 2*cos( (arg+2*Pi)/3 )*CBRT(modulo);
    Z[3]:= 2*cos( (arg+4*Pi)/3 )*CBRT(modulo);
    end;
if tresraiz then for j:=1 to 3 do Z[j]:=Z[j]-Rp/3
else Z[1]:=Z[1]-Rp/3;
END;
(***** FIM DO RESOLVE *****)
Procedure ESCOLHE_RAIZ;
BEGIN
if (tresraiz) then
begin
    for i:=1 to 2 do
        for j:=i+1 to 3 do
            if Z[j]>Z[i] then
                begin
                    apoio:=Z[i]; Z[i]:=Z[j]; Z[j]:=apoio;

```

```
        end;
        if (fase=1) or (TEQ=1) then Vm[fase] := Z[3]*R*T/P {liquido}
        else   Vm[fase] := Z[1]*R*T/P           {vapor}
    end
else  Vm[fase] := Z[1]*R*T/P;
END;
(***** FIM DO ESCOLHE-RAIZ
*****)
Procedure PR_ANAL;
BEGIN
    Rp := BZ-1;          Rq := AZ - 3*sqr(BZ) - 2*BZ;
    Rr := (BZ+1)*sqr(BZ) - AZ*BZ;  RESOLVE(Rp,Rq,Rr);
    ESCOLHE_RAIZ;
END;
(***** FIM DO PR-ANAL
*****)
Procedure VdW_ANAL ;
BEGIN
    Rp:= -(BZ+1);  Rq:= AZ;  Rr:= -AZ*BZ;
    RESOLVE(Rp,Rr,Rr);  ESCOLHE_RAIZ;
END;
(***** fim do VdW_ANAL
*****)
Procedure RK_ANAL;
BEGIN
    Rp := -1;          Rq := -( sqr(BZ) + BZ - AZ/sqrt(T) );
    Rr := -AZ*BZ/sqrt(T);  RESOLVE(Rp,Rq,Rr);
    ESCOLHE_RAIZ;
END;
(***** fim do RK-ANAL *****)
Procedure SRK_ANAL;
BEGIN
    Rp := -1 ;  Rq := -( sqr(BZ) + BZ - AZ ) ;  Rr := -AZ*BZ ;
    RESOLVE(Rp,Rq,Rr);  ESCOLHE_RAIZ;
END;
(***** FIM DO SRK-ANAL
*****)
Procedure CALCULA_VM(aa,bb : real);
BEGIN
    AZ := (aa*P)/(sqr(R*T));
    BZ := (bb*P)/(R*T);
    case EE of
        1 : PR_ANAL;
        2 : SRK_ANAL;
        3 : RK_ANAL;
        4 : VdW_ANAL;
```

```

    end;
END;
(***** FIM DO RESOLUCAO
*****)
Procedure CALCULA_FUGACIDADE;
BEGIN
  Vd := R*T/P;
  for i:=1 to NC do
    begin
      SA[1]:=0;    SA[2]:=0;    SB[1]:=0;    SB[2]:=0;
      for j:=1 to NC do
        begin
          SA[1] := SA[1] + x[j]*a[i,j];
          SA[2] := SA[2] + y[j]*a[i,j];
          SB[1] := SB[1] + x[j]*b[i,j];
          SB[2] := SB[2] + y[j]*b[i,j];
        end;
      for j:=1 to 2 do
        begin
          case EE of
            4 : begin
              apoio := (2/(Vm[j] - bm[j])) * (SB[j] - bm[j]);
              apoio := (am[j] - 2*SA[j]) / (R*T*Vm[j]) + apoio;
              apoio := (P*Vm[j]) / (R*T) - 1 + ln(Vd / (Vm[j] - bm[j])) + apoio;
              LNFI[i,j] := apoio;
            end;
            3 : begin
              sos := am[j]*bm[j] + 2*bm[j]*SA[j] - 2*am[j]*SB[j];
              sos := (sos / (sqr(bm[j])*R*T*sqrt(T))) * ln(Vm[j] / (Vm[j] + bm[j]));
              apoio := bm[j]*R*T*sqrt(T)*(Vm[j] + bm[j]);
              apoio := 2*(1/(Vm[j] - bm[j]) - am[j]/apoio)*(SB[j] - bm[j]);
              apoio := apoio + (P*Vm[j]) / (R*T) + ln(Vd / (Vm[j] - bm[j])) - 1;
              LNFI[i,j] := apoio + sos;
            end;
            2 : begin
              sos := am[j]*bm[j] + 2*bm[j]*SA[j] - 2*am[j]*SB[j];
              sos := (sos / (sqr(bm[j])*R*T)) * ln(Vm[j] / (Vm[j] + bm[j]));
              apoio := bm[j]*R*T*(Vm[j] + bm[j]);
              apoio := 2*(1/(Vm[j] - bm[j]) - am[j]/apoio)*(SB[j] - bm[j]);
              apoio := apoio + (P*Vm[j]) / (R*T) + ln(Vd / (Vm[j] - bm[j])) - 1;
              LNFI[i,j] := apoio + sos;
            end;
            1 : begin

```

```
apoio := R*T*bm[j]*( Vm[j] + bm[j]*(1+sqrt(2)))*( Vm[j] +
bm[j]*(1-sqrt(2)) );
apoio := - 2*am[j]*Vm[j]*(SB[j]-bm[j])/apoio;
apoio := apoio + ( 2*(SB[j]-bm[j])/( Vm[j]-bm[j] ) );
sos := ( Vm[j] + bm[j]*(1+sqrt(2)))/( Vm[j] + bm[j]*(1-sqrt(2)) );
sos := ln(sos)*( 2*am[j]*SB[j] - am[j]*bm[j] - 2*bm[j]*SA[j] );
sos := sos/( 2*sqrt(2)*sqrt(bm[j])*R*T );
sos := (P*Vm[j])/(R*T) - 1 + ln( Vd/(Vm[j]-bm[j]) ) + sos ;
LNFI[i,j] := sos + apoio;
end;

end; {do case}
if j=1 then FL[i] := X[i]*P*exp(LNFI[i,j])
else FV[i] := Y[i]*P*exp(LNFI[i,j]);
end;
end; {do for i:=... }
END;
(****** FIM DO CALCULA_FUGACIDADE
*****)
Procedure CEF_ITERACOES;
BEGIN
  CALCULA_AB_EQ_CUBICA;
  ESTIMATIVA_INICIAL;
  Etapa_Local:=0;
  repeat
    PARAMETROS_MISTURA;
    etapa_Local:=etapa_Local + 1;
    for fase:=1 to 2 do CALCULA_VM(am[fase],bm[fase]);
    CALCULA_FUGACIDADE;
    FVFL:=0;
    for i:=1 to NC do
      FVFL:=FVFL + sqrt( ln( fV[i]/fL[i] ) );
    if (Etapa_Local<200) and (FVFL > 1E-10) then NOVA_ESTIMATIVA;
    until (FVFL < 1E-10) or (etapa_Local=200);
END;
(****** FIM DO ITERACOES
*****)

Procedure LE_ETA_CSI;
BEGIN
  JANELA(10,7,60,20,4); window(10,7,58,18);
  Gotoxy(5,2); Write('De as estimativas para Eta e CSI. Se desejar ');
  Gotoxy(5,3); Write('fixar algum parametro, tecle "10", senao de ');
  Gotoxy(5,4); Write('o valor a ser utilizado como estimativa.');
  Gotoxy(20,7); Write('ETA = '); Gotoxy(20,9); Write('CSI =');
```

```

Etha[1]:=LE_REAL(27,7,Etha[1]);
If not(saida or voltar) then
  begin
    Chsi[1]:=LE_REAL(27,9,Etha[1]);
    If not(saida or voltar) then
      begin
        If Etha[1]=10 then
          begin
            JANELA(12,14,45,18,2); ClrScr;
            Gotoxy(5,2); Write('De o valore a ser fixado');
            Gotoxy(5,4); Write('ETA = ');
            Etha[1]:=LE_REAL(12,4,Etha[1]);
            Etha[3]:=Etha[1]; Etha[2]:=Etha[1];
          end
        Else begin
          Etha[3]:=Etha[1]; Etha[2]:=0.9*Etha[1];
        end;
      If Chsi[1]=10 then
        begin
          JANELA(12,14,45,18,2); ClrScr;
          Gotoxy(5,2); Write('De o valore a ser fixado');
          Gotoxy(5,4); Write('CSI = ');
          Chsi[1]:=LE_REAL(12,4,Chsi[1]);
          Chsi[3]:=Chsi[1]; Chsi[2]:=Chsi[1];
        end
      Else begin
        Chsi[2]:=Chsi[1]; Chsi[3]:=0.9*Chsi[1];
      end;
    end;
    If voltar then voltar:=false;
  end;
  window(1,1,80,25);
END;
(***** FIM DO LE-ETA-CSI *****)
Procedure LE_CONSTANTES_CRITICAS;
BEGIN
  JANELA(10,7,60,20,2); window(10,7,58,20);
  Gotoxy(15,2); Write('ENTRADA DE CONSTANTES CRITICAS');
  Gotoxy(5,4); Write('Substancia 1 :');
  Gotoxy(10,5); Write('Pc = '); Pc[1]:=LE_REAL(16,5,Pc[1]);
  If not( (voltar) or (saida) ) Then
    Begin
      Gotoxy(10,6); Write('Tc = '); Tc[1]:=LE_REAL(16,6,Tc[1]);
      If not( (voltar) or (saida) ) Then
        Begin
          Gotoxy(10,7); Write('w = '); w[1]:=LE_REAL(16,7,w[1]);
        End;
    End;
  End;

```

```
If not( (voltar) or (saida) ) Then
Begin
  Gotoxy(5,9); Write('Substancia 2 :');
  Gotoxy(10,10); Write('Pc = ');
  Pc[2]:=LE_REAL(16,10,Pc[2]);
  If not( (voltar) or (saida) ) Then
    Begin
      Gotoxy(10,11); Write('Tc = ');
      Tc[2]:=LE_REAL(16,11,Tc[2]);
      If not( (voltar) or (saida) ) Then
        Begin
          Gotoxy(10,12); Write('w = ');
          w[2]:=LE_REAL(16,12,w[2]);
        End;
      End;
    End;
  End;
End;
END;
(****** FIM DO LE_CONSTANTES-CRITICAS *****)
```

Procedure ESCOLHE_FUNCAO;

```
BEGIN
  JANELA(10,8,55,17,4);
  gotoxy(5,2); write('ESCOLHA DA FUNCAO OBJETIVO');
  opcao_menu[1]:='AJUSTE DOS PONTOS Y e de f';
  opcao_menu[2]:='AJUSTE DOS PONTOS f';
  window(12,10,50,15); item:=FAZ_MENU(2,1,5,41,4);
  If not( (voltar) or (saida) ) Then FOB:=item;
  window(1,1,80,25);
END;
(****** FIM DO escolhe funcao *****)
```

Procedure DESVIO_PONTOS;

```
BEGIN
  JANELA(10,9,60,20,2); Window(10,9,58,20);
  Gotoxy(5,3); Write('De o Desvio Padrao desejado');
  Gotoxy(8,5); Write('DP = '); DES:=LE_REAL(14,5,DES);
  NPW := NPE-1;
  If not( (voltar) or (saida) ) Then
    Begin
      Gotoxy(5,7); Write('Numero de Pontos Contidos no Arquivo :,NPE');
      Gotoxy(5,8);
      Write('Com quantos pontos deseja trabalhar (max.,NPW:3,)?');
      Gotoxy(8,10); Write('NPE = '); Read(NPE);
    End;
  window(1,1,80,25);
```

```

END;
(***** FIM DO DESVIO-PADRAO
*****)
Procedure EQUACAO;
BEGIN
  opcao_menu[4]:='VAN DER WAALS';
  opcao_menu[3]:='REDLICH - KWONG';
  opcao_menu[2]:='SOAVE - REDLICH - KWONG';
  opcao_menu[1]:='PENG - ROBINSON';
  JANELA(10,8,60,20,4);
  gotoxy(4,2); write('ESCOLHA A EQUACAO COM QUE DESEJA TRABALHAR');
  window(12,10,50,18); item:=FAZ_MENU(4,1,5,41,4);
  If not( (voltar) or (saida) ) Then EE:=item;
  window(1,1,80,25);
END;
(***** FIM DO EQUACAO
*****)
Procedure EQUILIBRIO;
BEGIN
  JANELA(10,8,55,17,2);
  gotoxy(5,2); write('ESCOLHA O TIPO DE EQUILIBRIO');
  opcao_menu[1]:='LIQUIDO - LIQUIDO';
  opcao_menu[2]:='LIQUIDO - VAPOR';
  window(12,10,45,15); item := FAZ_MENU(2,2,5,40,2);
  window(1,1,80,25);
END;
(***** FIM DO EQUILIBRIO *****)
Procedure ESCOLHE_PARAMETROS_ITERATIVOS;
Var pronto : boolean;
BEGIN
  TELA; Gotoxy(5,2); Write('Defina os Parametros para o Processo Iterativo');
  gotoxy(5,24); write('<ESC>-VOLTAR <ENTER>-SELECCIONAR <CTRL-END>-SAIR');
  Reset(arquivo); NPE:=Filesize(arquivo); pronto:=false;
  REPEAT
    textbackground(0); Window(2,4,78,22); ClrScr;
    Gotoxy(40,2); Write('Substancia 1 :');
    Gotoxy(45,3); Write('Pc = ',Pc[1]:6:4);
    Gotoxy(45,4); Write('Tc = ',Tc[1]:6:4);
    Gotoxy(45,5); Write('w = ',w[1]:6:4);
    Gotoxy(40,6); Write('Substancia 2 :');
    Gotoxy(45,7); Write('Pc = ',Pc[2]:6:4);
    Gotoxy(45,8); Write('Tc = ',Tc[2]:6:4);
    Gotoxy(45,9); Write('w = ',w[2]:6:4);
    Gotoxy(40,11); Write('Equacao de Estado = ',EE);
    Gotoxy(40,12); Write('Tipo de Equilibrio = ',TEQ);

```

```
Gotoxy(40,13); Write('Funcao Objetivo = ',FOB);
Gotoxy(40,14); Write('Desvio Padrao = ',DES:6:4);
Gotoxy(40,15); Write('Pontos Experimentais = ',NPE);
Gotoxy(40,16); Write('Estimativas : ');
Gotoxy(45,17); Write('Eta = ',Etha[1]);
Gotoxy(45,18); Write('Csi = ',Chsi[1]);
opcao_menu[1]:='ESTIMATIVAS';   opcao_menu[2]:='CONSTANTES';
opcao_menu[3]:='FUNCAO OBJETIVO'; opcao_menu[4]:='DESVIO e PONTOS';
opcao_menu[5]:='TIPO EQUACAO';   opcao_menu[6]:='TIPO DE EQUILIBRIO';
opcao_menu[7]:='Prosseguir';
JANELA(4,5,34,21,4);
item := FAZ_MENU(7,1,3,40,4);    window(2,4,78,22);
If not((saida) or (voltar)) Then
  Begin
    Case item of
      1 : LE_ETA_CSI;
      2 : LE_CONSTANTES_CRITICAS;
      3 : ESCOLHE_FUNCAO;
      4 : DESVIO_PONTOS;
      5 : EQUACAO;
      6 : EQUILIBRIO;
      7 : pronto:=true;
    end;
    voltar:=false;
  End
  until (saida) or (pronto) or (voltar) ;
  window(1,1,80,25);
END;
(***** FIM DO ESCOLHE PARAMEROS *****)
```

Procedure CALCULA_FUNCAO_OBJETIVO(NCH : byte);
BEGIN
 ETA[1,2]:=Etha[NCH]; ETA[2,1]:=ETA[1,2];
 CSI[1,2]:=Chsi[NCH]; CSI[2,1]:=CSI[1,2];
 soma[NCH]:=0.0;
 Writeln('Etapa_global ',Etapa_Global:5);
 writeln('Pt':5,'fl(1)':10,'fl(2)':10,'fv(1)':10,
 'fv(2)':10);
 For Pt:=1 to NPE do
 begin
 T:=Leitor[1,Pt]; P:=Leitor[2,Pt];
 CEF_ITERACOES;
 for ifug:= 1 to 2 do
 Begin
 matfugv[ifug,Pt] := fv[ifug];
 matfugl[ifug,Pt] := fl[ifug];

```

    End;
With fugacom do
Begin
  niter := Etapa_global;
  fugv[1] := matfugv[1,Pt];
  fugv[2] := matfugv[2,Pt];
  fugl[1] := matfugl[1,Pt];
  fugl[2] := matfugl[2,Pt];
  write(arqfug,fugacom);
  writeln(Pt:5,matfugl[1,Pt]:10:5,matfugl[2,Pt]:10:5,
         matfugv[1,Pt]:10:5,matfugv[2,Pt]:10:5);
End;
apoio:=Leitor[3,Pt];  sos:=Leitor[4,Pt];
apoio1:=Leitor[5,Pt]; apoio2:=Leitor[6,Pt];
If etapa_Local=200 Then SPTO:=4
Else Begin
  if sos=10 then SPTO1:=0.0
  else begin
    if sos=1 then SPTO1:= sqr(1-Y[1])
    else begin
      if sos=0 then SPTO1:= sqr(Y[1])
      else begin
        SPTO1:= sqr ((Y[1]-sos)/(1-sos) ) + sqr(1-Y[1]/sos);
        SPTO:= sqr(ln(f1[1]/apoio1) + sqr(ln(f1[2]/apoio2) + ln (fv[2]/apoio2)));
        SPTO1:=SPTO1 + SPTO;
        end;
        end;
      end;
    if apoio=10 then SPTO2:=0.0
    else begin
      if apoio=0 then SPTO2:= sqr (ln(f1[1]))
      else begin
        if apoio=1 then SPTO2:= sqr(1-f1[1])
        else begin
          SPTO2:= sqr(ln(f1[1]/apoio1) + sqr(ln(f1[2]/apoio2) + ln
(fv[2]/apoio2)));
          end;
        end;
      end;
    end;
  end;
  If FOB=1 Then SPTO:= SPTO1 + SPTO2;
  If FOB=2 Then SPTO:= SPTO2;
  End;
  soma[NCH]:=soma[NCH] + SPTO;
End;
END;

```

```
(***** FIM DO CALCULA-FUNCAO-OBJETIVO
*****)
Procedure ORDENA_FUNCOES;
BEGIN
  For i:=1 to 2 do
    begin
      for j:=(i+1) to 3 do
        begin
          If soma[j]<soma[i] then
            begin
              Apoio:=soma[i]; soma[i]:=soma[j]; soma[j]:=apoio;
              Apoio:=Chsi[i]; Chsi[i]:=Chsi[j]; Chsi[j]:=apoio;
              Apoio:=Etha[i]; Etha[i]:=Etha[j]; Etha[j]:=apoio;
            End;
        End;
      End;
    End;
END;
(***** FIM DO ORDENA FUNCOES *****)
Procedure REFLEXAO;
BEGIN
  Chsi[4]:= (Chsi[1]+Chsi[2])/2;
  Etha[4]:= (Etha[1]+Etha[2])/2;
  Chsi[5]:= Chsi[4] + ReAlfa*(Chsi[4]-Chsi[3]);
  Etha[5]:= Etha[4] + ReAlfa*(Etha[4]-Etha[3]);
  CALCULA_FUNCAO_OBJETIVO(5);
END;
(***** FIM DO REFLEXAO *****)
Procedure EXPANSAO;
BEGIN
  Chsi[6]:= Chsi[4] + ExGama*(Chsi[5]-Chsi[4]);
  Etha[6]:= Etha[4] + ExGama*(Etha[5]-Etha[4]);
  CALCULA_FUNCAO_OBJETIVO(6);
END;
(***** FIM DO EXPANSAO *****)
Procedure CONTRACAO;
BEGIN
  Etha[7]:= Etha[4] - ConBeta*(Etha[4]-Etha[3]);
  Chsi[7]:= Chsi[4] - ConBeta*(Chsi[4]-Chsi[3]);
  CALCULA_FUNCAO_OBJETIVO(7);
END;
(***** FIM DO CONTRACAO *****)
Procedure CALCULA_NOVOS_PONTOS;
BEGIN
  Chsi[2]:= (Chsi[1]+Chsi[2])/2;
```

```
Chsi[3]:= (Chsi[3]+Chsi[1])/2;
Etha[2]:= (Etha[1]+Etha[2])/2;
Etha[3]:= (Etha[3]+Etha[1])/2;
for im:=2 to 3 do  CALCULA_FUNCAO_OBJETIVO(im);
END;
(***** FIM DO CALCULA NOVOS PONTOS ****)
Procedure ETAPAS_ITERATIVAS;
BEGIN
  TELA;
  Gotoxy(5,2); Write('RESULTADOS PARCIAIS DAS ITERACOES');
  Gotoxy(5,24); Write('AGUARDE, POR FAVOR');
  Window(2,4,78,21); textbackground(0); ClrScr;
  Window(2,7,78,21); etapa_global:=0;
  rewrite(arqres);
  close(arqres);
  reset(arqres);
  rewrite(arqfug);
  close(arqfug);
  reset(arqfug);
  LE_PONTOS_EXPERIMENTAIS(NPE);
  for im:=1 to 3 do
    CALCULA_FUNCAO_OBJETIVO(im);
  Writeln('ITERACOES   :20');
  Writeln('Global':7,'Eta':10,'Csi':10,'Fun. Obj.':11);
  ORDENA_FUNCOES;
  Repeat
    etapa_global:=etapa_global+1;
    REFLEXAO;
    If soma[5]<soma[1] Then
      Begin
        EXPANSAO;
        If soma[6]<soma[1] Then
          Begin
            soma[3]:=soma[1]; soma[2]:=soma[5]; soma[1]:=soma[6];
            Chsi[3]:=Chsi[1]; Chsi[2]:=Chsi[5]; Chsi[1]:=Chsi[6];
            Etha[3]:=Etha[1]; Etha[2]:=Etha[5]; Etha[1]:=Etha[6];
            ORDENA_FUNCOES;
          End
        Else Begin
          soma[3]:=soma[5];
          Chsi[3]:=Chsi[5];
          Etha[3]:=Etha[5];
          ORDENA_FUNCOES;
        End;
      End;
    End;
```

```
Else Begin
    If soma[5]>soma[2] Then
        Begin
            If soma[5]<soma[3] Then
                Begin
                    soma[3]:=soma[5]; Chsi[3]:=Chsi[5]; Etha[3]:=Etha[5];
                End;
            CONTRACAO;
            If soma[7]>soma[3] Then CALCULA_NOVOS_PONTOS
            Else Begin
                soma[3]:=soma[7]; Chsi[3]:=Chsi[7]; Etha[3]:=Etha[7];
            End;
            ORDENA_FUNCOES;
        End
    Else Begin
        soma[3]:=soma[2]; soma[2]:=soma[5];
        Chsi[3]:=Chsi[2]; Chsi[2]:=Chsi[5];
        Etha[3]:=Etha[2]; Etha[2]:=Etha[5];
    End;
End;
With result do
Begin
    etp := Etapa_Global;
    eta := Etha[1];
    csi := Chsi[1];
    obj := Soma[1];
    write(arqres,result);
End;
writeln('ITERACOES   ':20);
writeln('Global':7,'Eta':10,'Csi':10,'Fun. Obj.':11);
writeln(Etapa_Global:7,Etha[1]:10:4,Chsi[1]:10:4,Soma[1]:11:4);
precisao:=Abs( (soma[3]-soma[1])/soma[3] );
Until precisao<des;
writeln;
writeln('Etapa_global: ',Etapa_global:5);
writeln('Pt':5,'fl(1)':10,'fl(2)':10,'fv(1)':10,
      'fv(2)':10);
for ifug := 1 to NPE do
    With fugacom do
        Begin
            niter := etapa_global;
            fugl[1] := matfugl[1,ifug];
            fugl[2] := matfugl[2,ifug];
            fugv[1] := matfugv[1,ifug];
            fugv[2] := matfugv[2,ifug];
            Write(arqfug,fugacom);
```

```

writeln(ifug:5,matfugl[1,ifug]:10:5,matfugl[2,ifug]:10:5,
       matfugv[1,ifug]:10:5,matfugv[2,ifug]:10:5);
End;
window(1,1,80,25);
END;
(***** FIM DO ETAPAS
ITERATIVAS*****)
Procedure MOSTRA_RESULTADOS;
BEGIN
  TELA; gotoxy(5,2); write('RESULTADOS DAS INTERACOES ');
  gotoxy(3,24); write('<ESC>-RETORNAR    <ENTER>-ESCOLHER    <CTRL-END>-SAIR');
  window(4,5,77,21); Textbackground(6); Clrscr;
  Window(15,7,56,19); Textbackground(3); Clrscr;
  Window(17,8,54,18); Textbackground(4); Clrscr;
  Window(19,9,52,17); Textbackground(5); Clrscr;
  Writeln; Writeln('Numero de Iteracoes ::20,Etapa_global:10');
  Writeln; Writeln('ETA ::20,Etha[1]:10:8'); Writeln;
  Writeln('CSI ::20,Chsi[1]:10:8'); Writeln;
  Writeln('Funcao Objetivo ::20,Soma[1]:10:4');
  With result do
    Begin
      etp := Etapa_Global;
      eta := Etha[1];
      csi := Chsi[1];
      obj := Soma[1];
      write(arqres,result);
    End;
  window(1,1,80,25);
  repeat
    resp:=readkey;
  until resp in [#13,#27];
  if resp=#27 then voltar:=true;
END;
(***** fim do mostra resultados *****)
Procedure CALCULOS;
BEGIN
  repeat
    Voltar:=false;
    case calcfase of
      1 : NOME_ARQUIVO;
      2 : begin
        ESCOLHE_PARAMETROS_ITERATIVOS;
        if not( (voltar) or (saida) ) then
          ETAPAS_ITERATIVAS;
        end;
    end;

```

```
3 : MOSTRA_RESULTADOS;
end;
if not (saida) then
  if voltar then calcfase := calcfase - 1
  else calcfase := calcfase + 1;
until saida;
END;
(***** FIM DO CALCULOS *****)
(* {$I CPAR1.PAS} *)
```

Procedure INICIALIZA;

BEGIN

```
  DES:=1E-6; NPE:=4;
  Pc[1]:=38.301; Tc[1]:=523.25; w[1]:=0.3611;
  Pc[2]:=51.696; Tc[2]:=536.71; w[2]:=0.6279;
  EE:=1; arqnome:=''; Drive:='C:\TURBO'; TEQ:=2; FOB:=1;
  For i:=1 to 4 do
    For j:=1 to 50 do Leitor[i,j]:=0;
  For i:=1 to 7 do
    Begin
      Etha[i]:=0; Chsi[i]:=0; Soma[i]:=0;
    End;
  for i:=1 to 2 do
    begin
      x[i]:=0; y[i]:=0; k[i]:=0; Xa[i]:=1;
      for j:=1 to 2 do
        begin
          a[i,j]:=0; b[i,j]:=0;
        end;
    end;
  END;
(***** fim do inicializa *****)
```

Procedure MENU_PRINCIPAL;

Begin

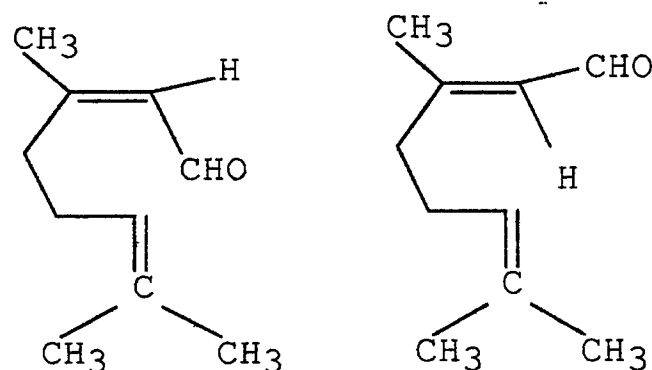
```
  TELA; VOLTAR:=false; SAIDA:=false;
  Gotoxy(20,02); Write('CALCULO DE PARAMETROS DE ITERACAO');
  Gotoxy(05,05); Write('Este programa é uma versão modificada do CPARTEST, no qual a função objetivo');
  Gotoxy(05,07); Write('é usada para o ajuste dos parâmetros Kaij e Kbij a pontos experimentais de ');
  Gotoxy(05,09); Write('Equilíbrio de fase de misturas binárias, inclui a diferença entre as ');
  Gotoxy(05,11); Write('fugacidades das fases, utilizando o método SIMPLEX modificado e diversas ');
  Gotoxy(05,13); Write('Equações de Estado.');
  Gotoxy(05,15); Write(' DOUTORANDA: Maria Lucia Masson ');
  Gotoxy(05,17); Write('PROF. ORIENTADORA : M. Angela A. Meireles');
```

```
Gotoxy(05,21); Write('FEA / UNICAMP - 1995');
Gotoxy(5,24); Write('<ENTER>-PROSSEGUIR    <ESC>-DEIXAR PROGRAMA ');
resp:=RESPOSTA(#13,#27);
if not (voltar) then
begin
  INICIALIZA; TELA;
  Repeat
    gotoxy(5,2); write('OPCOES DE TRABALHO ');
    opcao_menu[1]:='ARQUIVOS';
    opcao_menu[2]:='CALCULOS';
    gotoxy(5,24); write('<ENTER>-SELECCIONAR    <CTRL-END>-SAIR');
    JANELA(4,5,25,11,4);
    item := FAZ_MENU(2,1,5,20,4);
    window(1,1,80,25);
    if not ( (voltar) or (saida) ) then
      begin
        Case item Of
          1: MANIPULACAO_ARQUIVO;
          2: begin
              calcfase:=1; CALCULOS;
            end;
        End;
        end else voltar:=false;
      Until (saida) ;
    end;
    textbackground(0); clrscr;
End;
(***** FIM DO PROGRAMA
*****)
BEGIN
  MENU_PRINCIPAL;
END.
```

ANEXO A –

FÓRMULAS ESTRUTURAIS

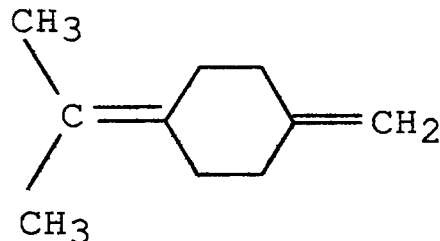
CITRAL (Neral+Geranal)



GRUPOS	QUANTIDADE
-CH ₃	3
>C=	2
>CH ₂	2
=CH-	2
-CHO	1

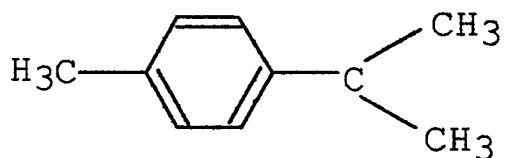
Fórmula - C₁₀H₁₆O Peso Molecular - 152,23 T_b = 501,15 P_c = 24,86 bar
 T_c = 682,73 K ω = 0,644

MIRCENO



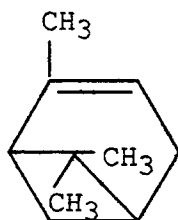
GRUPOS	QUANTIDADE
-CH ₃	2
=CH ₂	1
=C<	3
-CH ₂ -	4

Fórmula - C₁₀H₁₆ Peso Molecular = 136,24 T_b = 440,81 K P_c = 27,88 bar
 T_c = 689,58 K ω = 0,625

p-CIMENO

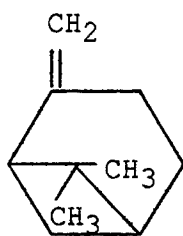
GRUPOS	QUANTIDADE
C	01
CH – CH ₂ (anel)	03
CH ₃	03

Fórmula – C₁₀H₁₄ Peso Molecular = 134,22 T_b = 449,00 K P_C = 28,13 bar
 T_C = 651,08 K ω = 0,374

α-PINENO

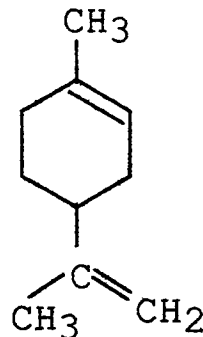
GRUPOS	QUANTIDADE
-CH ₃	3
-CH ₂ -	2
=CH-	3
>C<	2

Fórmula – C₁₀H₁₆ Peso Molecular = 136,23 T_b = 428,80 K P_C = 29,39 bar
 T_C = 632,10 K ω = 0,32

β -PINENO

GRUPOS	QUANTIDADE
$-\text{CH}_3$	2
$=\text{CH}_2$	4
$=\text{CH}-$	1
$>\text{C}<$	1

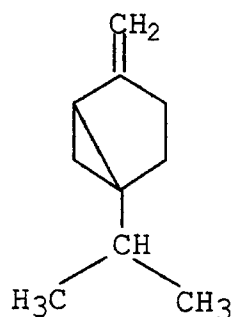
Fórmula - $\text{C}_{10}\text{H}_{16}$ Peso Molecular = 136,23 $T_b = 438,30 \text{ K}$ $P_c = 29,24 \text{ bar}$
 $T_c = 646,13 \text{ K}$ $\omega = 0,32$

D-LIMONENO

GRUPOS	QUANTIDADE
$-\text{CH}_3$	2
$-\text{CH}_2$	3
$=\text{CH}_2$	1
$=\text{CH}-$	2
$>\text{C}<$	2

Fórmula - $\text{C}_{10}\text{H}_{16}$ Peso Molecular = 136,23 $T_b = 450,60 \text{ K}$ $P_c = 27,87 \text{ bar}$
 $T_c = 650,38 \text{ K}$ $\omega = 0,39$

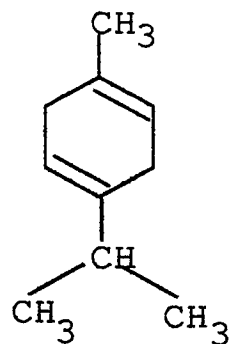
SABINENO



GRUPOS	QUANTIDADE
CH ₃	2
CH ₂	4
CH	2
C	2

Fórmula – C₁₀H₁₆ Peso Molecular = 280,12 T_b = 498,26 K P_C = 28,58 bar
 T_C = 638,05 K ω = 0,348

γ-TERPINENO

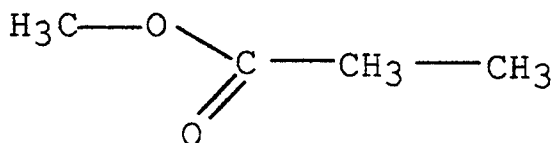


GRUPOS	QUANTIDADE
CH ₃	3
CH ₂	2
CH	3
C	2

Fórmula – C₁₀H₁₆ Peso Molecular = 280,12 T_b = 456,15 K P_C = 27,14 bar
 T_C = 658,97 K ω = 0,376

ANEXO A

METIL-PROPANOATO

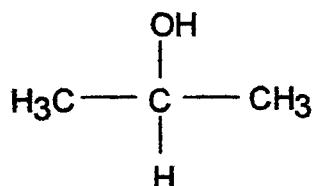


<u>GRUPOS</u>	<u>QUANTIDADE</u>
---------------	-------------------

CH ₃	2
CH ₂	1
C=O	1
O	1

Fórmula - C₄O₂H₈ Peso Molecular = 88,08 T_b = 352,60 K P_C = 40,04 bar
 T_C = 530,60 K ω = 0,353

2-PROPANOL

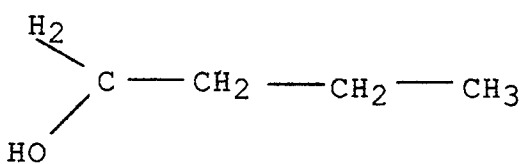


<u>GRUPOS</u>	<u>QUANTIDADE</u>
---------------	-------------------

-CH ₃	2
-CH	1
-OH	1

Fórmula - C₃O₁H₇ Peso Molecular = 59,08 T_b = 355,41 K P_C = 47,64 bar
 T_C = 508,31 K ω = 0,6689

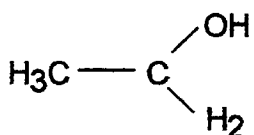
n-BUTANOL

GRUPOS QUANTIDADE

-CH ₃	1
-CH ₂	3
-OH	1

Fórmula - C₄OH₁₀ Peso Molecular = 74,02 T_b = 390,81 K P_C = 44,13 bar
 T_C = 562,93 K ω = 0,59

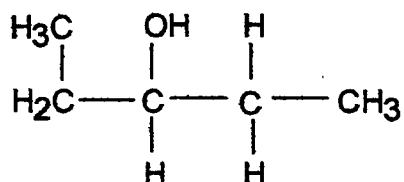
ETANOL

GRUPOS QUANTIDADE

-CH ₃	1
-CH ₂	1
-OH	1

Fórmula - C₂OH₄ Peso Molecular = 56,04 T_b = 351,44 K P_C = 63,84 bar
 T_C = 512,25 K ω = 0,6371

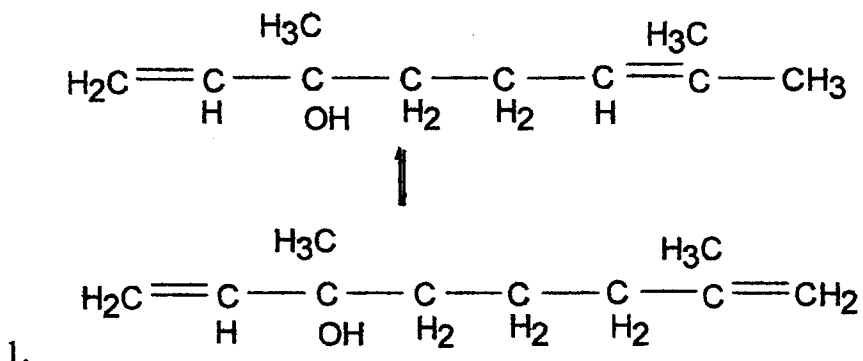
1-METIL 2-BUTANOL

GRUPOS QUANTIDADE

-CH ₃	1
-CH ₂	3
-OH	1

Fórmula - C₅OH₁₂ Peso Molecular = 88,05 T_b = 390,81 K P_C = 44,13 bar
 T_C = 562,93 K ω = 0,59

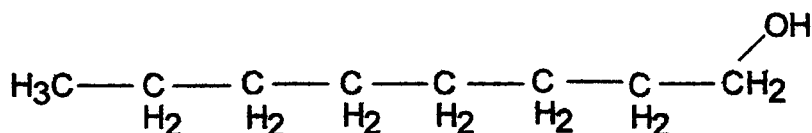
LINALOL



GRUPOS	QUANTIDADE
-CH ₃	2
-CH ₂	5
-CH	1
-C	2
-OH	1

Fórmula – C₁₀OH₁₈ Peso Molecular = 154,12 T_b = 471,15 K P_C = 26,62 bar
T_C = 653,46 K ω = 0,572

n-OCTANOL



GRUPOS	QUANTIDADE
-CH ₃	1
-CH ₂	7
-OH	1

Fórmula – C₇OH₁₈ Peso Molecular = 130,15 T_b = 420,81 K P_C = 44,13 bar
T_C = 562,93 K ω = 0,658

ANEXO B -

MÉTODO SIMPLEX MODIFICADO

O método SIMPLEX, modificado por Nelder & Mead (1965), foi o procedimento de minimização empregado para encontrar os parâmetros de interação binária. O SIMPLEX consiste no método básico com operações de reflexão, contração e expansão. Considera-se inicialmente, a minimização de uma função de n variáveis, sem restrições. $P_0, P_1, P_2, \dots, P_n$ são os $(n+1)$ pontos no espaço n -dimensional definindo o que se conhece por “simplex”.

Escrevendo y_i como sendo o valor da função em P_i e definindo h como sufixo que designa que:

$$y_h = \max(y_i) \quad (4.23)$$

e o sufixo l de modo que

$$y_l = \min(y_i) \quad (4.24)$$

Definindo \bar{P} como centróide dos pontos onde $i \neq h$, e com $[P_i P_j]$ para a distância de P_i a P_j . A cada estágio no processo P_h é substituído por um novo ponto; sendo utilizadas três operações - reflexão, contração e expansão, que são definidas por:

- reflexão de $P_h = P^*$, e suas coordenadas

$$P^* = (1 + \alpha)\bar{P} - \alpha P_h \quad (4.25)$$

onde α é uma constante positiva, o coeficiente de reflexão. Se y^* estiver entre y_h e y_l , então P_h é substituído por P^* e reiniciamos um novo SIMPLEX.

- se $y^* < y_l$, isto é, é produzido um novo mínimo, então faz-se a expansão de P^* a P^{**} pela relação

$$P^{**} = \gamma P^* + (1 - \gamma) \bar{P} \quad (4.26)$$

onde γ é o coeficiente de expansão com valor entre 0 e 1, sendo definido como a distância $[P^{**} \bar{P}]$ a $[P \bar{P}]$. Se $y^{**} < y_i$, substitui-se P_h por P^{**} e reiniciamos o processo; caso contrário, a expansão terá falhado e antes de reiniciar o processo, substituímos P_h por P^* .

- se na reflexão de P a P^* encontramos que $y^* > y_i$ para todo $i \neq h$ (y^* é máximo). então nos definimos um novo P_h na forma

$$P^{**} = \beta P_h + (1 - \beta) \bar{P} \quad (4.27)$$

onde o coeficiente de contração β é a distância $[P^{**} \bar{P}]$ a $[P \bar{P}]$, com valor entre 0 e 1. Aceita-se então P^{**} no lugar de P_h e reinicia-se, caso contrário substitui-se P_1 por $(P_i + P_1)/2$ e reinicia-se o processo.

O ponto final depende do critério usado no procedimento, ou seja comparando-se o erro padrão de y , na forma $\sqrt{\sum (y_i - \bar{y})^2 / n}$ com um valor pré-determinado e o procedimento termina quando se atinge um valor abaixo deste. O sucesso do critério depende do SIMPLEX não tornar-se muito pequeno em relação à curvatura da superfície até o mínimo ter sido atingido.